



جامعة الموصل

كلية الطب البيطري

دراسة مقارنة لنوعين من الزيوت على بعض الجوانب المناعية لفروج اللحم المحسن بفايروس مرض النيوكاسل

عبدالله عبدالمحسن حامد الكو

رسالة ماجستير

الطب البيطري / الأحياء المجهرية البيطريية

بأشراف

الأستاذ الدكتور

عمار محمود احمد العالم

أيلول / 2024 م

ربيع الأول / 1446 هـ

دراسة مقارنة لنوعين من الزيوت على بعض الجوانب المناعية لفروج اللحم المحسن بفايروس مرض النيوكاسل

رسالة تقدم بها

عبيده عبدالملك عبدالمحسن حامد الكلو

إلى

مجلس كلية الطب البيطري في جامعة الموصل
في اختصاص الطب البيطري / الأحياء المجهرية البيطريية
وهي جزء من متطلبات نيل شهادة الماجستير

بإشراف

الأستاذ الدكتور

عمار محمود احمد العالم

بِسْمِ اللَّهِ الرَّحْمَنِ الرَّحِيمِ

﴿يَرْفَعُ اللَّهُ الَّذِينَ آمَنُوا مِنْكُمْ وَالَّذِينَ أُوتُوا الْعِلْمَ دَرَجَاتٍ﴾

﴿وَاللَّهُ يَعْلَمُ مَا تَعْمَلُونَ فَلَا يُنْهَا

صدق الله العظيم

سورة المجادلة: الآية 11

إقرار المشرف

أشهد أن إعداد هذه الرسالة الموسومة "دراسة مقارنة لنوعين من الزيوت على بعض الجوانب المناعية لفروج اللحم المحسن بفايروس مرض النيوكاسل" جرى بإشرافى في جامعة الموصل/كلية الطب البيطري، وهي جزء من متطلبات شهادة الماجستير في اختصاص الطب البيطري / احياء مجهرية بيطرية.

التوقيع:

المشرف: أ.د. عمار محمود احمد العالم

التاريخ: 2024/7/11

إقرار المقوم اللغوى

أشهد أن هذه الرسالة الموسومة "دراسة مقارنة لنوعين من الزيوت على بعض الجوانب المناعية لفروج اللحم المحسن بفايروس مرض النيوكاسل" قد تمت مراجعتها من الناحية اللغوية وتصحيح ما ورد فيها من أخطاء لغوية وتعبيرية وبذلك أصبحت الرسالة مؤهلة للمناقشة بقدر تعلق الأمر بسلامة الأسلوب وصحة التعبير.

التوقيع:

المقوم اللغوى: أ.م.د. جمانة محمد نايف

التاريخ: 2024/7/14

إقرار المقوم الاحصائى

أشهد أن هذه الرسالة الموسومة "دراسة مقارنة لنوعين من الزيوت على بعض الجوانب المناعية لفروج اللحم المحسن بفايروس مرض النيوكاسل" قد تمت مراجعتها من الناحية الاحصائية وتصحيح ما ورد فيها من أخطاء احصائية وبذلك أصبحت الرسالة مؤهلة للمناقشة بقدر تعلق الأمر بسلامة التحليل الاحصائي.

التوقيع:

المقوم الاحصائي: م. خيري بدل رشيد

التاريخ: 2024/7/16

إقرار رئيس فرع / الاحياء المجهرية

بناءً على التوصيات المقدمة من المشرف والمقوم اللغوى والمقوم الاحصائي، أرشح هذه الرسالة للمناقشة.

التوقيع:

الاسم: أ.د. صفوان يوسف البارودي

التاريخ: 2024/7/21

إقرار رئيس لجنة الدراسات العليا

بناءً على التوصيات المقدمة من قبل المشرف والمقوم اللغوى والمقوم الاحصائي ورئيس فرع الاحياء المجهرية، أرشح هذه الرسالة للمناقشة.

التوقيع:

الاسم: أ.د. رعد عبد الغني بشير

التاريخ: 2024/8/4

قرار لجنة المناقشة

نشهد بأننا أعضاء لجنة التقويم والمناقشة قد اطلعنا على هذه الرسالة وناقشتنا الطالب عبيده عبدالملك عبدالمحسن في محتوياتها وفيما له علاقة بها بتاريخ 17/9/2024 وإنه جدير بنيل شهادة الماجستير في اختصاص الاحياء المجهرية البيطرية.

التوقيع

أ.م. د. ريزين فتاح عبدالرحمن
عضو لجنة المناقشة

التوقيع

أ. د. صفوان يوسف محمود
عضو لجنة المناقشة

التوقيع

أ.د. عمار محمود احمد العالم
عضو لجنة المناقشة (المشرف)

التوقيع

أ.د. فار ابلحد اسحق
رئيس لجنة المناقشة

قرار مجلس الكلية

اجتمع مجلس كلية الطب البيطري بجلسته المنعقدة في 1/9/2024 وقرر منحه شهادة الماجستير في اختصاص الاحياء المجهرية البيطرية وبتقدير

عميد الكلية

أ.د. ظافر محمد عزيز

مقرر مجلس الكلية

أ.د. رعد عبد الغني بشير

شكر وثناء

الحمد لله رب العالمين والصلوة والسلام على خير المرسلين سيدنا محمد وعلى آله وصحبه الطيبين الطاهرين، الحمد لله كما ينبغي لجلال وجهه الكريم وعظيم سلطانه، الحمد لله الذي تتم بنعمته الصالحات، الواسع برحمته الكريم بعطايه الذي منَّ علىَّ بإتمام هذه الدراسة فالحمد لله والشكر على كرمه ونعمه.

وأتقدم بواهر الشكر وعظيم الامتنان والتقدير لكل من ساهم في مساعدتي بإنجاز هذا البحث وأخص بالشكر والامتنان من علمي أصول البحث العلمي وكان مصدر الالهم والنجاح والارتقاء وخير معين الاستاذ الدكتور عمار محمود احمد العالم لما أبداه من روح علمية مخلصة وجهد متovan ومتابعة مستمرة فكان لمحظاته وتوجيهاته أبلغ الأثر في إظهار البحث بأكمل صورة.

أتوجه بالشكر إلى رئاسة جامعة الموصل، وعمادة كلية الطب البيطري على إتاحتهم الفرصة لي وتنليل الصعوبات في سبيل إتمام دراستي.

كما واتقدم بالشكر والامتنان إلى رئاسة فرع الأحياء المجهرية وكل الأساتذة المحترمين لما قدموه لي من تسهيلات في مختبرات الفرع لإكمال الجزء العلمي، والشكر الجزيل للقائمين على بيت الحيوانات المختبرية لما قدموه لي من عون وذللوا أمامي الصعاب كلها لإنجاز الجزء العلمي فلهم مني تحية طيبة وتقدير واعتذار.

وختاماً تتبعثر حروفني وتعجز كلماتي عن وصف ما يحمله قلبي من حب ووفاء وتقدير واعتذار وامتنان لمن أوصاني بهما ربي إحساناً "أبي" أ ملي وفخري وسندني الدائم وروح العطاء، وأغلى النعم "أمي" والشروع التي تنير دربي الداعمين لي في شدتني ورخائي "اخوتي واصدقائي" دمتم لي عوناً لا يخفُّ بريقه، لكم مني كل الشكر والعرفان والامتنان والاحترام فمهما أوتيت من علمٍ ورُفعةٍ لن أوفي حق شكركم فبارك الله تعالى فيكم وجزاكم عنِّي خير الجزاء.

وعذرًا لمن لم تثبت السطور أسماءهم فذكرهم باقٍ وفضلهم لن يُنسى ما حييت...

الخلاصة

يعد فايروس مرض النيوكاسل أحد أنواع فايروسيات الحامض النووي الرابيبي أحادي الخيط RNA virus غير المجزئ والذي يسبب الإصابة بمرض النيوكاسل في الطيور، تمثل الإصابة بمرض نيوكاين أحد أهم التحديات اليومية لصناعة الدواجن إذ منذ اكتشافه عام 1926 سبب العديد من الاندلعات المرضية في حقول الدواجن المترافقه مع الخسائر الاقتصادية الكبيرة، وتعتمد مكافحة المرض بشكل أساس على تحسين مستوى الحماية لدى الطيور ضد مرض النيوكاسل عن طريق تحصين الطيور مع تبني ظروف إدارة أفضل، استخدمت الكثير من الإضافات العلفية في علائق الدواجن لرفع مستوى المناعة عند أفراخ دجاج اللحم وجعلها أكثر مقاومة للأمراض والإجهاد، هدفت هذه الدراسة إلى معرفة تأثير إضافة زيت الأوميجا 3 وزيت بذور الكتان إلى علائق أفراخ دجاج اللحم الملقح بفايروس النيوكاسل وكذلك المقارنة بين الزيتين وتأثيرهما في الدجاج.

قسمت دراستنا إلى تجربتين إذ أجريت التجربة الأولى (الأولية) على 48 فرخ دجاج لاحم وأجريت التجربة الثانية (الرئيسية) على 240 فرخ دجاج لاحم (نوع 308 Ross)، استعمل زيت بذور الكتان وزيت الأوميجا 3 بتركيز 1% واستعمل أيضًا نوعين من اللقاحات الأول لقاح مبطل من عترة (ND Clone 30) من شركة (MSD) الهولندية وأعطي بطريقة الحقن تحت الجلد بعمر يوم واحد وبجرعة (0,1 مل) لكل فرخ واستعمل مسدس إعطاء ميكانيكي واللقالح الثاني كان لقاحاً مضعفاً من عترة (Nobilis® ND Clone 30) من شركة (MSD) الهولندية وأعطي بعمر (7 و 14 و 21) يوم بجرعة 2500 جرعة/10 لتر في ماء الشرب، قسمت أفراخ التجربة الأولى (الأولية) على أربع مجاميع بواقع 12 فرخاً لكل مجموعة وعواملت بمعاملات مختلفة.

أما التجربة الثانية (الرئيسية) قسمت أفراخها على ثمان مجاميع وكل مجموعة 30 فرخاً وكانت المجاميع كما يأتي:

المجموعة الأولى G1: تم تحصينها بلقاحين مرض النيوكاسل المبطل والمضعف وتم إعطائهما ماء وعلف فقط.

المجموعة الثانية G2: تم تحصينها بلقاحين مرض النيوكاسل المبطل والمضعف مع إضافة زيت بذور الكتان بنسبة 1% إلى العلف.

المجموعة الثالثة G3: تم تحصينها بلقاحين مرض النيوكاسل المبطن والمضعف مع إضافة زيت السمك (omega 3) بنسبة 1% إلى العلف.

المجموعة الرابعة G4: تم تحصينها بلقاحين مرض النيوكاسل المبطن والمضعف مع إضافة زيت بذور الكتان وزيت السمك (omega 3) بنسبة 1% إلى العلف.

المجموعة الخامسة G5: تم إضافة زيت السمك (omega 3) بنسبة 1% إلى العلف وبدون تحصين.

المجموعة السادسة G6: تم إضافة زيت بذور الكتان بنسبة 1% إلى العلف وبدون تحصين.

المجموعة السابعة G7: مجموعة السيطرة تم إعطائها علفاً وتركت بدون إضافات وبدون تحصين.

المجموعة الثامنة G8: تم إضافة زيت بذور الكتان وزيت (omega 3) بنسبة 1% إلى العلف وبدون تحصين.

عملت هذه المجاميع بمعاملات مختلفة لدراسة تأثير الإضافات والمكمّلات الغذائيّة في معايير الأجسام المضادة وقياس أعداد كريات الدم البيض الكلي والتفضالي وقياس مستوى مؤشر البلعمة والانفجار التنفسـي والمعلمـات المناعـية (الانترفيرون كاما والانترلوكـين 6 و4)، جمعـت عـينـات الدـم لـقيـاس مـعـايـير الـأـجـسـام المـضـادـة فيـ الأـيـام (1 و7 و14 و21 و28 و35)، بينما جـمعـت عـينـات الدـم لـقيـاس أـعـادـد كـريـات الدـم الـبـيـض وـمـؤـشـر الـبـلـعـة وـالـانـفـجـار الـتـنـفـسـي وـالـمـعـلـمـات الـمنـاعـية فيـ الأـيـام (1 و3 و10 و17 و24 و31) منـ التجـربـة.

تم إجراء تعداد كريات الدم البيض الكلي والتفرقيـيـ باـسـتـعـال جـهاـز تـحلـيل الدـم فيـ حين تم استـعـال اختـبارـات مؤـشـر الـبـلـعـة وـالـانـفـجـار الـتـنـفـسـي لـلكـشـف عنـ وـظـيـفـتها معـ استـعـال فـحـصـ المـقـايـسـة الـمنـاعـية المرـتـبـطة بـالـأـنـزـيمـ (ELISA) لـغـرض قـيـاس مـسـتـوـيـات المـعـلـمـات الـمنـاعـية (الـانـترـلـوكـين وـالـانـترـفيـرونـ).

بيـنـت نـتـائـج التجـربـة الأولى (الـأـولـيـة) عدم حدـوث أـعـراـض جـانـبـية لـلـحـيـوانـات عـند استـعـالـ الـزـيـوتـ (زيـت بـذـورـ الـكتـانـ وـزيـتـ الـأـوـمـيـجاـ 3ـ) وـبنـسـبـة 1ـ% معـ زـيـادـةـ فيـ مـعـايـيرـ الـأـجـسـامـ المـضـادـةـ الـخـاصـةـ بـمـرـضـ الـنيـوكـاسـلـ بـشـكـلـ بـشـكـلـ مـعـنـوـيـ عـندـ مـسـتـوـيـ اـحـتمـالـيـةـ (p≤0.05) عـندـ استـعـالـ زـيـتـ بـذـورـ الـكتـانـ وـزيـتـ الـأـوـمـيـجاـ 3ـ فيـ عـلـائـقـ دـجاجـ الـلـحـمـ.

بيـنـما أـظـهـرـت نـتـائـج التجـربـة الثانية (الـرـئـيـسـةـ) اـرـتفـاعـاً مـعـنـوـيـاً فيـ مـعـايـيرـ الـأـجـسـامـ المـضـادـةـ فيـ الـيـوـمـيـنـ الثـامـنـ وـالـعـشـرـيـنـ وـالـخـامـسـ وـالـثـلـاثـيـنـ وـفـيـ الـمـجـامـيعـ الـمـلـقـحةـ بـلـقـاحـ الـنيـوكـاسـلـ مـقـارـنـةـ

مع باقي أيام التجربة الأخرى وسجلت المجموعة الثانية المعاملة بزيت بذور الكتان مع إعطاء لقاح النيوكاسل أعلى معيار للأجسام المضادة في اليوم الخامس والثلاثين إذ كانت قيمتها (13.11 ± 13249.92) بينما لم تسجل المجاميع غير الملقحة أي ارتفاعٍ معنويٍّ بمعايير الأجسام المضادة وفي جميع أيام التجربة.

أظهرت النتائج أن هناك زيادة في عدد كريات الدم البيض الكلي والتراصلي في جميع المجموعات المعاملة ولكنها بقيت ضمن معدلاتها الطبيعية في افراخ التجربة، وانخفضت نسب العدلات، في حين زادت الخلايا الليمفاوية، أظهرت نسب الخلايا وحيدة الخلية، الحامضية والقاعدية استجابة قليلة ووصلت إلى $(0.7\% \text{ و } 4.1\%)$ على التوالي. يكشف مؤشر البلعمة والانفجار التنفسى عن زيادة كبيرة في جميع المجموعات المعالجة مقارنة مع السيطرة إذ بلغت أعلى قيمة لمؤشر البلعمة في المجموعة الأولى وفي اليوم الرابع والعشرين من التجربة إذ بلغت (0.64 ± 80.01) ، بينما بلغت أعلى نسبة للانفجار التنفسى في اليوم الرابع والعشرين وفي المجموعة الثانية والتي كانت قيمتها (0.67 ± 78.01) .

وبيّنت نتائج قياس مستوى الانترفيرون كاماً ارتفاعاً معنويًّا في الأيام السابع عشر والرابع والعشرين والحادي والثلاثين من التجربة وفي أغلب مجاميع التجربة وبلغت أعلى قيمة لمستوى الانترفيرون كاماً في المجموعة الثامنة المعاملة بزيت بذور الكتان مع زيت الأوميغا 3 وبدون تلقيح في اليوم السابع عشر إذ كانت قيمتها (0.05 ± 33.18) بينما لم يسجل اليومان الثالث والعشر ارتفاعاً ملحوظاً في مستوى الانترفيرون كاماً.

وعند مقارنة مستويات الاستجابة للانترلوكين 6 في مختلف مجاميع التجربة تبين وجود ارتفاعٍ معنويٍّ في الأيام السابع عشر والرابع والعشرين والحادي والثلاثين من التجربة وفي أغلب مجاميع التجربة، سجلت أعلى قيمة للانترلوكين 6 في اليوم الرابع والعشرين من التجربة وفي المجموعة الرابعة المعاملة بزيت بذور الكتان مع زيت الأوميغا 3 مع إعطاء اللقاح إذ بلغت قيمتها (0.05 ± 27.47) ولم يلاحظ ارتفاع في اليومين الثالث والعشر من التجربة.

أظهرت نتائج قياس مستوى الانترلوكين 4 ارتفاعاً معنويًّا في الأيام السابع عشر والرابع والعشرين والحادي والثلاثين من التجربة وفي أغلب مجاميع التجربة وكانت أعلى قيمة لمستوى الانترلوكين 4 في اليوم الرابع والعشرين وفي المجموعة الرابعة المعاملة بزيت بذور الكتان مع زيت الأوميغا 3 مع التلقيح إذ بلغت قيمتها (0.04 ± 33.98) بينما لم يسجل ارتفاعاً معنويًّا في اليومين الثالث والعشر من التجربة.

نستنتج من هذه الدراسة بان إضافة الزيوت المعززة (زيت بذور الكتان وزيت الأوميغا 3) إلى علائق الدجاج اللاحم لا يحدث أي اثار جانبية في صحة الدجاج بينما تساعد في تحفيز المناعة ورفع مستويات الأجسام المضادة في الدجاج، كما أن استعمال الزيوت يمكن أن يحسن إجمالي عدد خلايا الدم البيض وكذلك يزيد من قدرتها على نشاط البلعمة والقتل، فضلاً عن ذلك فإن لكلا الزيوتين (زيوت بذور الكتان والأوميغا 3) تأثيرات إضافية في استجابة الانترفيرون كاما والإنترلوكين 6 و 4 ويمكنهما تعديل مناعة الدجاج اللاحم لتوفير حالة مناعية جيدة بعد اللقاح بالنيوكاسل مما قد يوفر حماية أكبر ضد العدوى.

ثبات المحتويات

الصفحة	الموضوع
أ-د	الخلاصة
٥	ثبات المحتويات
ك	ثبات الأشكال
ن	ثبات الجداول
3-1	الفصل الأول: المقدمة
26-4	الفصل الثاني: استعراض المراجع
4	1- مرض النيوكاسل Newcastle disease
5	1-1-2 العامل المسبب لمرض نيو كاسل
5	2-2-1-2 الوصف الجزيئي لفيروس نيو كاسل
6	3-1-2 تصنیف فيروس نيو كاسل
7	4-1-2 خصائص فيروس مرض نيو كاسل
7	5-1-2 إمراضية مرض نيو كاسل
8	6-1-2 الآفات والعلامات السريرية
10	7-1-2 تشخيص مرض نيو كاسل
11	8-1-2 السيطرة على مرض نيو كاسل
12	9-1-2 أنواع لقاحات مرض النيوكاسل
16	10-1-2 المناعة ضد فيروس النيوكاسل
16	1-10-1-2 الاستجابة المناعية الفطرية (Immunity)
17	2-10-1-2 الجهاز المناعي الخلطي (Humoral Immune System)
18	3-10-1-2 المناعة الخلوية (Cellular Immunity)
20	2-2 الزيوت المعززة
20	1-2-2 تركيب الزيوت المعززة
20	2-2-2 بعض أنواع الزيوت المستخدمة في علاقى الدواجن
21	1-2-2-2 زيت بذور الكتان
21	2-2-2-2 زيت السمك
22	3-2-2 التأثير الإيجابي لاستخدام الزيوت غير المشبعة في علاقى الدواجن
22	1-3-2-2 تأثير استخدام الزيوت غير المشبعة على الجهاز المناعي للدواجن
25	2-3-2-2 اليات التنظيم المناعي باستخدام الزيوت المعززة
45-27	الفصل الثالث: المواد وطرائق العمل
27	1-3 المواد والأجهزة المستخدمة في التجربة
28	1-1-3 المواد الكيميائية والاوساط الزرعية
29	2-3 اللقاح والزيوت المعززة

الصفحة	الموضوع
29	1-2-3 لقاح النيوكاسل
29	2-2-3 الزيوت المعززة
30	1-2-2-3 زيت بذور الكتان
30	2-2-2-3 زيت السمك (Omega 3)
30	3-3 حيوانات التجربة
30	4-3 الاعلاف المستعملة في التجربة
31	5-3 تحضير الوسائط الزرعية والصبغات
31	1-5-3 وسط نقيع المخ والقلب brain heart infusion agar
32	2-5-3 sabouraud dextrose agar
32	3-5-3 تحضير صبغة Nitroblue Tetrazolium Chloride
32	6-3 دراسة الاستجابة المناعية باستخدام اختبار البلعمة
33	7-3 دراسة الاستجابة المناعية باستخدام اختبار الانفجار التنفسى Respiratory Burst
34	8-3 قياس معدل كريات الدم البيض
34	9-3 تصميم التجارب
34	1-9-3 التجربة الأولى (الأولية)
35	2-9-3 التجربة الثانية (الرئيسية)
38	3-10-3 اختبارات المقاسة المناعية المرتبطة بإنزيم (ELISA)
38	1-10-3 اجراء اختبار المقاسة المناعية المرتبطة بإنزيم (ELISA) الخاص بالأجسام المضادة
39	2-10-3 اجراء اختبار المقاسة المناعية المرتبطة بإنزيم (ELISA) الخاص بالانترفيرون كاما IFN-gamma
41	3-10-3 اجراء اختبار المقاسة المناعية المرتبطة بإنزيم (ELISA) الخاص بالانترلوكين 6 IL-6
43	4-10-3 اجراء اختبار المقاسة المناعية المرتبطة بإنزيم (ELISA) الخاص بالانترلوكين 4 IL-4
45	11-3 التحليل الاحصائي
108-46	الفصل الرابع: النتائج
46	1-4 نتائج التجربة الأولى (الأولية)
46	1-1-4 نتائج قياس معيارية الأجسام المضادة لمرض النيوكاسل
46	1-1-1-4 مقارنة معايير الأجسام المضادة في الأساليب المختلفة ضمن المجموعة الأولى
47	1-1-1-4 مقارنة معايير الأجسام المضادة في الأساليب المختلفة ضمن المجموعة الثانية
47	3-1-1-4 مقارنة معايير الأجسام المضادة في الأساليب المختلفة ضمن المجموعة الثالثة

الصفحة	الموضوع
48	4-1-1-4 مقارنة معايير الأجسام المضادة في الأسابيع المختلفة ضمن المجموعة الرابعة
49	5-1-1-4 مقارنة معايير الأجسام المضادة في أيام التجربة وبين المجاميع المختلفة
50	2-4 نتائج التجربة الثانية (الرئيسة)
50	1-2-4 نتائج قياس معيارية الأجسام المضادة لمرض النيوكاسل
50	1-1-2-4 مقارنة معايير الأجسام المضادة في الأسابيع المختلفة ضمن المجموعة الأولى
50	2-1-2-4 مقارنة معايير الأجسام المضادة في الأسابيع المختلفة ضمن المجموعة الثانية
51	3-1-2-4 مقارنة معايير الأجسام المضادة في الأسابيع المختلفة ضمن المجموعة الثالثة
52	4-1-2-4 مقارنة معايير الأجسام المضادة في الأسابيع المختلفة ضمن المجموعة الرابعة
52	5-1-2-4 مقارنة معايير الأجسام المضادة في الأسابيع المختلفة ضمن المجموعة الخامسة
53	6-1-2-4 مقارنة معايير الأجسام المضادة في الأسابيع المختلفة ضمن المجموعة السادسة
54	7-1-2-4 مقارنة معايير الأجسام المضادة في الأسابيع المختلفة ضمن المجموعة السابعة
55	8-1-2-4 مقارنة معايير الأجسام المضادة في الأسابيع المختلفة ضمن المجموعة الثامنة
56	9-1-2-4 مقارنة معايير الأجسام المضادة بين المجاميع المختلفة خلال فترة التجربة
59	2-2-4 نتائج العد الكلوي والتفرقي لكريات الدم البيض
59	1-2-2-4 عدد خلايا الدم البيض في المجاميع والأيام المختلفة
59	2-2-2-4 نسبة خلايا العدلات (Neutrophils) في المجاميع والأيام المختلفة
60	3-2-2-4 نسبة الخلايا المفتوحة (Lymphocytes) في المجاميع والأيام المختلفة
61	4-2-2-4 نسبة الخلايا الوحيدة الخلية (Monocytes) والخلايا الحمضة (Eosinophils) والخلايا العدة (Basophils) في المجاميع والأيام المختلفة
63	3-2-4 نتائج قياس نسبة اختبار مؤشر البلعمة
63	1-3-2-4 مقارنة نسبة مؤشر البلعمة في الأسابيع المختلفة ضمن المجموعة الأولى
64	2-3-2-4 مقارنة نسبة مؤشر البلعمة في الأسابيع المختلفة ضمن المجموعة الثانية

الصفحة	الموضوع
65	3-3-2-4 مقارنة نسبة مؤشر البلعمة في الأسابيع المختلفة ضمن المجموعة الثالثة
66	4-3-2-4 مقارنة نسبة مؤشر البلعمة في الأسابيع المختلفة ضمن المجموعة الرابعة
67	5-3-2-4 مقارنة نسبة مؤشر البلعمة في الأسابيع المختلفة ضمن المجموعة الخامسة
68	6-3-2-4 مقارنة نسبة مؤشر البلعمة في الأسابيع المختلفة ضمن المجموعة السادسة
69	7-3-2-4 مقارنة نسبة مؤشر البلعمة في الأسابيع المختلفة ضمن المجموعة السابعة
70	8-3-2-4 مقارنة نسبة مؤشر البلعمة في الأسابيع المختلفة ضمن المجموعة الثامنة
71	9-3-2-4 مقارنة نسبة مؤشر البلعمة بين المجاميع المختلفة خلال فترة التجربة
74	4-2-4 نتائج قياس نسبة اختبار الانفجار التنفسى (Respiratory Burst)
74	1-4-2-4 مقارنة نسبة الانفجار التنفسى في الأسابيع المختلفة ضمن المجموعة الأولى
75	2-4-2-4 مقارنة نسبة الانفجار التنفسى في الأسابيع المختلفة ضمن المجموعة الثانية
76	3-4-2-4 مقارنة نسبة الانفجار التنفسى في الأسابيع المختلفة ضمن المجموعة الثالثة
77	4-4-2-4 مقارنة نسبة الانفجار التنفسى في الأسابيع المختلفة ضمن المجموعة الرابعة
78	5-4-2-4 مقارنة نسبة الانفجار التنفسى في الأسابيع المختلفة ضمن المجموعة الخامسة
79	6-4-2-4 مقارنة نسبة الانفجار التنفسى في الأسابيع المختلفة ضمن المجموعة السادسة
80	7-4-2-4 مقارنة نسبة الانفجار التنفسى في الأسابيع المختلفة ضمن المجموعة السابعة
81	8-4-2-4 مقارنة نسبة الانفجار التنفسى في الأسابيع المختلفة ضمن المجموعة الثامنة
82	9-4-2-4 مقارنة نسبة اختبار الانفجار التنفسى بين المجاميع المختلفة خلال فترة التجربة
85	5-2-4 نتائج قياس مستوى الانترفيرون كاما
85	1-5-2-4 مقارنة مستوى الانترفيرون كاما في الأسابيع المختلفة ضمن المجموعة الأولى
85	2-5-2-4 مقارنة مستوى الانترفيرون كاما في الأسابيع المختلفة ضمن المجموعة الثانية

الصفحة	الموضوع
86	3-5-2-4 مقارنة مستوى الانترفيرون كاما في الأسابيع المختلفة ضمن المجموعة الثالثة
87	4-5-2-4 مقارنة مستوى الانترفيرون كاما في الأسابيع المختلفة ضمن المجموعة الرابعة
87	5-5-2-4 مقارنة مستوى الانترفيرون كاما في الأسابيع المختلفة ضمن المجموعة الخامسة
88	6-5-2-4 مقارنة مستوى الانترفيرون كاما في الأسابيع المختلفة ضمن المجموعة السادسة
89	7-5-2-4 مقارنة مستوى الانترفيرون كاما في الأسابيع المختلفة ضمن المجموعة السابعة
89	8-5-2-4 مقارنة مستوى الانترفيرون كاما في الأسابيع المختلفة ضمن المجموعة الثامنة
90	9-5-2-4 مقارنة مستوى الانترفيرون كاما بين المجاميع المختلفة خلال فترة التجربة
93	6-2-4 نتائج قياس مستوى الانترلوكين 6
93	1-6-2-4 مقارنة مستوى الانترلوكين 6 في الأسابيع المختلفة ضمن المجموعة الأولى
93	2-6-2-4 مقارنة مستوى الانترلوكين 6 في الأسابيع المختلفة ضمن المجموعة الثانية
94	3-6-2-4 مقارنة مستوى الانترلوكين 6 في الأسابيع المختلفة ضمن المجموعة الثالثة
95	4-6-2-4 مقارنة مستوى الانترلوكين 6 في الأسابيع المختلفة ضمن المجموعة الرابعة
95	5-6-2-4 مقارنة مستوى الانترلوكين 6 في الأسابيع المختلفة ضمن المجموعة الخامسة
96	6-6-2-4 مقارنة مستوى الانترلوكين 6 في الأسابيع المختلفة ضمن المجموعة السادسة
97	7-6-2-4 مقارنة مستوى الانترلوكين 6 في الأسابيع المختلفة ضمن المجموعة السابعة
97	8-6-2-4 مقارنة مستوى الانترلوكين 6 في الأسابيع المختلفة ضمن المجموعة الثامنة
98	9-6-2-4 مقارنة مستوى الانترلوكين 6 بين المجاميع المختلفة خلال فترة التجربة
101	7-2-4 نتائج قياس مستوى الانترلوكين 4
101	1-7-2-4 مقارنة مستوى الانترلوكين 4 في الأسابيع المختلفة ضمن المجموعة الأولى

الصفحة	الموضوع
101	2-7-2-4 مقارنة مستوى الانترلوكين 4 في الأسابيع المختلفة ضمن المجموعة الثانية
102	3-7-2-4 مقارنة مستوى الانترلوكين 4 في الأسابيع المختلفة ضمن المجموعة الثالثة
103	4-7-2-4 مقارنة مستوى الانترلوكين 4 في الأسابيع المختلفة ضمن المجموعة الرابعة
103	5-7-2-4 مقارنة مستوى الانترلوكين 4 في الأسابيع المختلفة ضمن المجموعة الخامسة
104	6-7-2-4 مقارنة مستوى الانترلوكين 4 في الأسابيع المختلفة ضمن المجموعة السادسة
105	7-7-2-4 مقارنة مستوى الانترلوكين 4 في الأسابيع المختلفة ضمن المجموعة السابعة
105	8-7-2-4 مقارنة مستوى الانترلوكين 4 في الأسابيع المختلفة ضمن المجموعة الثامنة
106	9-7-2-4 مقارنة مستوى الانترلوكين 4 بين المجاميع المختلفة خلال فترة التجربة
118-109	الفصل الخامس: المناقشة
109	1-5 التجربة الأولى (الأولية)
109	2-5 التجربة الثانية (الرئيسية)
109	1-2-5 تأثير الزيوت المعززة على لفاح مرض النيوكاسل
111	2-2-5 كريات الدم البيض
113	3-2-5 قياس مؤشر البلعمة
114	4-2-5 الانفجار التنفسى
115	5-2-5 الأجسام المضادة
116	6-2-5 الانترفيرون كاما
117	7-2-5 الانترلوكين 6
118	8-2-5 الانترلوكين 4
120-119	الفصل السادس: الاستنتاجات والتوصيات
119	الاستنتاجات
120	التوصيات
148-121	المصادر
121	المصادر العربية
122	المصادر الأجنبية
152-149	الملاحق
149	ملحق رقم (1)
151	ملحق رقم (2)

الصفحة	الموضوع
152	ملحق رقم (3)
A-D	Abstract

ثبت الاشكال

الصفحة	عنوان الشكل	رقم الشكل
6	شكل فيروس مرض النيوكاسل وتركيبه الجيني	1
19	المناعة الفطرية والخلطية ضد فايروس مرض النيوكاسل	2
22	التركيب الكيميائي لزيت بذور الكتان	3
26	آلية تأثير الزيوت الحاوية على مجاميع الـوميجا 3 و 6 على فعالية نظام المناعة	4
35	تصميم التجربة الأولى (الأولية)	5
37	تصميم التجربة الثانية (الرئيسية) أثناء الدراسة	6
40	طريقة تخفيف محلول المعياري للإنترفيرون كاما	7
42	طريقة تخفيف محلول المعياري للانترلوكين 6	8
44	طريقة تخفيف محلول المعياري للانترلوكين 4	9
46	مقارنة معايير الأجسام المضادة في المجموعة الأولى	10
47	مقارنة معايير الأجسام المضادة في المجموعة الثانية	11
48	مقارنة معايير الأجسام المضادة في المجموعة الثالثة	12
48	مقارنة معايير الأجسام المضادة في المجموعة الرابعة	13
49	مقارنة معايير الأجسام المضادة بين المجاميع المختلفة خلال فترة التجربة	14
50	مقارنة معايير الأجسام المضادة في المجموعة الأولى	15
51	مقارنة معايير الأجسام المضادة في المجموعة الثانية	16
51	مقارنة معايير الأجسام المضادة في المجموعة الثالثة	17
52	مقارنة معايير الأجسام المضادة في المجموعة الرابعة	18
53	مقارنة معايير الأجسام المضادة في المجموعة الخامسة	19

الصفحة	عنوان الشكل	رقم الشكل
54	مقارنة معايير الأجسام المضادة في المجموعة السادسة	20
55	مقارنة معايير الأجسام المضادة في المجموعة السابعة	21
55	مقارنة معايير الأجسام المضادة في المجموعة الثامنة	22
58	مقارنة معايير الأجسام المضادة بين المجاميع المختلفة خلال فترة التجربة	23
59	عدد خلايا الدم البيض في الأيام والمجاميع المختلفة	24
60	نسبة خلايا العدلات	25
60	نسبة الخلايا الملفاوية	26
61	نسبة الخلايا الوحيدة الخلية (Monocytes)	27
62	نسبة الخلايا الحمضيات (Eosinophils)	28
62	نسبة الخلايا القاعدية (Basophils)	29
63	بلعمة خلايا فطر المبيضنة البيضاء من قبل الخلايا البلعمية، السهم الأحمر يوضح الفطر داخل الخلية البلعمية (قوة التكبير 1000X)	30
64	مقارنة نسبة مؤشر البلعمة في المجموعة الأولى	31
65	مقارنة نسبة مؤشر البلعمة في المجموعة الثانية	32
66	مقارنة نسبة مؤشر البلعمة في المجموعة الثالثة	33
67	مقارنة نسبة مؤشر البلعمة في المجموعة الرابعة	34
68	مقارنة نسبة مؤشر البلعمة في المجموعة الخامسة	35
69	مقارنة نسبة مؤشر البلعمة في المجموعة السادسة	36
70	مقارنة نسبة مؤشر البلعمة في المجموعة السابعة	37
71	مقارنة نسبة مؤشر البلعمة في المجموعة الثامنة	38
73	مقارنة نسبة مؤشر البلعمة بين المجاميع المختلفة خلال فترة التجربة	39
74	الخلايا الملفية المحفزة الحاوية على حبيبات formazan، السهم الأحمر يوضح حبيبات formazan داخل الخلية البلعمية (قوة التكبير 1000X)	40
75	مقارنة نسبة اختبار الانفجار التنفسى في المجموعة الأولى	41
76	مقارنة نسبة اختبار الانفجار التنفسى في المجموعة الثانية	42
77	مقارنة نسبة اختبار الانفجار التنفسى في المجموعة الثالثة	43

الصفحة	عنوان الشكل	رقم الشكل
78	مقارنة نسبة اختبار الانفجار التنفسى في المجموعة الرابعة	44
79	مقارنة نسبة اختبار الانفجار التنفسى في المجموعة الخامسة	45
80	مقارنة نسبة اختبار الانفجار التنفسى في المجموعة السادسة	46
81	مقارنة نسبة اختبار الانفجار التنفسى في المجموعة السابعة	47
82	مقارنة نسبة اختبار الانفجار التنفسى في المجموعة الثامنة	48
84	مقارنة نسبة اختبار الانفجار التنفسى بين المجاميع المختلفة خلال فترة التجربة	49
85	مقارنة مستوى الانترفيرون كاما في المجموعة الأولى	50
86	مقارنة مستوى الانترفيرون كاما في المجموعة الثانية	51
86	مقارنة مستوى الانترفيرون كاما في المجموعة الثالثة	52
87	مقارنة مستوى الانترفيرون كاما في المجموعة الرابعة	53
88	مقارنة مستوى الانترفيرون كاما في المجموعة الخامسة	54
88	مقارنة مستوى الانترفيرون كاما في المجموعة السادسة	55
89	مقارنة مستوى الانترفيرون كاما في المجموعة السابعة	56
90	مقارنة مستوى الانترفيرون كاما في المجموعة الثامنة	57
92	مقارنة مستوى الانترفيرون كاما بين المجاميع المختلفة خلال فترة التجربة	58
93	مقارنة مستوى الانترلوكين 6 في المجموعة الأولى	59
94	مقارنة مستوى الانترلوكين 6 في المجموعة الثانية	60
94	مقارنة مستوى الانترلوكين 6 في المجموعة الثالثة	61
95	مقارنة مستوى الانترلوكين 6 في المجموعة الرابعة	62
96	مقارنة مستوى الانترلوكين 6 في المجموعة الخامسة	63
96	مقارنة مستوى الانترلوكين 6 في المجموعة السادسة	64
97	مقارنة مستوى الانترلوكين 6 في المجموعة السابعة	65
98	مقارنة مستوى الانترلوكين 6 في المجموعة الثامنة	66
100	مقارنة مستوى الانترلوكين 6 بين المجاميع المختلفة خلال فترة التجربة	67

رقم الشكل	عنوان الشكل	الصفحة
68	مقارنة مستوى الانترلوكين 4 في المجموعة الأولى	101
69	مقارنة مستوى الانترلوكين 4 في المجموعة الثانية	102
70	مقارنة مستوى الانترلوكين 4 في المجموعة الثالثة	102
71	مقارنة مستوى الانترلوكين 4 في المجموعة الرابعة	103
72	مقارنة مستوى الانترلوكين 4 في المجموعة الخامسة	104
73	مقارنة مستوى الانترلوكين 4 في المجموعة السادسة	104
74	مقارنة مستوى الانترلوكين 4 في المجموعة السابعة	105
75	مقارنة مستوى الانترلوكين 4 في المجموعة الثامنة	106
76	مقارنة مستوى الانترلوكين 4 بين المجاميع المختلفة خلال فترة التجربة	108

ثبت الجداول

الصفحة	الجدول
27	الجدول (1) المواد والاجهزة المستعملة في التجربة مع المصدر ومنشأ الشركة المصنعة
28	الجدول (2) المواد الكيميائية والاوساط الزرعية المستخدمة في التجربة مع المصدر ومنشأ الشركة المصنعة
31	جدول (3) نسب المكونات الأساسية والطاقة للعلف البدائي
31	جدول (4) نسب المكونات الأساسية والطاقة للعلف النهائي
32	جدول (5) معادلة صبغة ال Nitroblue tetrazolium chloride

الفصل الأول

المقدمة

Introduction

تعد صناعة الدواجن من أهم قطاعات الاقتصاد التي تساهم بتوفير الغذاء في معظم الدول النامية ومنها العراق إذ بدأت نواة إنتاج الدجاج المكثف مع أوائل القرن العشرين في عام 1905 (الرحيبي ، 1974) وتم الاهتمام بهذا القطاع بشكل مطرد وازداد عدد المشاريع المنتجة لدجاج اللحم لتصل إلى 2830 مشروعًا في عام 2001 وبمعدل إنتاج يصل إلى 111000 طن سنويًا (وزارة التخطيط، 2002) بينما وصل معدل الإنتاج إلى 156.5 ألف طن في عام 2020 من 4828 مشروعًا إذ احتلت محافظة نينوى المركز الثامن بعد حقول التسمين العاملة والبالغ عددها 111 حقلًا لدجاج التسمين (وزارة التخطيط ،2020).

ويتموضع إنتاج دجاج اللحم في مقدمة صناعة الدواجن من حيث الأهمية الغذائية والصناعية والتجارية إذ يُسهم في سد الحاجة المتنامية لتوفير البروتين الحيواني الذي يتصف بسهولة الهضم والنوعية الجيدة ورخص الثمن (عودة ،2009)، وكأي صناعة أخرى تعاني صناعة الدواجن من العديد من المشكلات الإدارية والفنية والتسويقية فضلاً عن المشكلات الإنتاجية والتي تشكل النسبة الأكبر من المشاكل في هذا القطاع وبنسبة تصل إلى 56.3% حسب دراسة عودة لسنة 2009 (عودة، 2009).

وتعد الإصابات بالأمراض إحدى أهم المشاكل الإنتاجية في قطاع صناعة الدواجن إذ تعاني حقول الدواجن من الإصابات البكتيرية والفايروسية والفطرية المستمرة (العلي، 2023)، مع كل الجهود الوقائية، بما في ذلك برامج الأمان الحيوي والتحصين، إلا أن قطاع الدواجن لا يزال يعاني من تفشي الأمراض في الدجاج البياض ودجاج اللحم (العلي، 2023).

وتمثل الإصابة بمرض النيوكاسل إحدى أهم التحديات اليومية لصناعة الدواجن إذ منذ اكتشافه عام 1926 تسبب في العديد من الاندلاعات المرضية في حقول الدواجن (Miller and Koch, 2013; Tanveer *et al.*, 2023)

يعد فايروس مرض النيوكاسل المسبب للمرض أحد أنواع فايروسات الحامض النووي الرايبي احادي الخطير RNA virus غير المجزئ الحاوي على ستة مناطق جينية أساسية (Samal *et al.*, 2019)

وتتسبب الإصابة بهذا الفايروس بظهور أعراض مرضية تنفسية ومعوية وعصبية فضلاً عن إصابة الجهاز التناسلي، إذ تصل نسب الهالكات في الأفراد المصابة إلى 100% في الحقول غير المحسنة (Swayne, 2013)، ويمكن ملاحظة إصابات مرض النيوكاسل بشكل شائع في كل من القطعان غير المحسنة والمحسنة، مما يؤثر بشدة في الأداء الإنتاجي لكل من دجاج التسمين ودجاج اللحم (Carrascoa *et al.*, 2016، الحمداني وعبد الرحمن، 2009).

يتم تحسين مستوى الحماية لدى الطيور ضد مرض النيوكاسل عن طريق تحصين الطيور مع تبني ظروف إدارة أفضل (Tanveer *et al.*, 2023)، إلا أن تحصين الطيور لا يمنع حدوث تفشي المرض بواسطة العتر الفواعية من فايروس مرض النيوكاسل وخصوصاً في البلدان التي يس徙ون فيها الفايروس (Cardenas-Garcia *et al.*, 2016)، ويعد استعمال اللقاحات الحية المضعة واللقاحات المبطلة الاستراتيجية الأولى في مقاومة ومكافحة الإصابة بمرض نيوكاصل في جميع أنحاء العالم، إذ يتم إعطاء هذه اللقاحات لغرض تحفيز استجابات مناعية عالية خلطيه وخلوية تساعد في الحماية من الإصابة بعتر الفايروس (Hu *et al.*, 2022)، كما أن استعمال المحفزات والمعدلات المناعية أصبح أحد الاستراتيجيات المهمة في صناعة الدواجن لتقوية الجهاز المناعي للطائر فضلاً عن تأثيرها المهم في زيادة الإنتاج وتحسين الصحة العامة للقطيع (Alders, 2014).

استعمل الباحثون إضافات علفية مختلفة لتعزيز أداء الدجاج ومنعه، كما تم استعمال العديد من المكممات الغذائية الزيتية مثل زيت بذور الكتان و زيت السمك لزيادة أداء الدجاج وتعزيزه وتعزز زيوت بذور الكتان مصدراً جيداً للبروتين وحمض ألفا لينولينيك، وتم استعمالها لإثراء لحوم الدواجن وبيضاها ويتمنع زيت بذور الكتان بأنشطة بيولوجية مختلفة مثل مضاد البكتيريا ومضاد الأكسدة ومضاد الفطريات (Steiner, 2009; Taher, 2018) كما يعمل على تحسين الأداء الإنتاجي للأفراد عن طريق تغيير البكتيريا المعوية، وشكل الإنزيمات الهاضمة، وتحفيز الجهاز المناعي (Taher, 2018).

ويعد زيت السمك أو ما يدعى بالأوميغا 3 أحد المصادر الغنية بالسلسل الدهنية الطويلة غير المشبعة المسئولة عن تقليل الالتهاب في جميع أنحاء الجسم (Awadin *et al.*, 2020)، إذ لوحظ إن إدراج زيوت أوميغا 3 في الوجبات الغذائية بمستويات معتدلة يعزز من فعالية مضادات الأكسدة فضلاً عن تحسين إنتاج الأجسام المضادة (Ebeid *et al.*, 2011).

أهداف الدراسة:

نظراً لأهمية استعمال المعدلات المناعية الزيتية في تحسين الاستجابات المناعية والمقاومة لدى الطيور تم إجراء هذه الدراسة للوقوف على:

1- التعرف على تأثير استعمال زيوت الأوميغا 3 في الأفراخ الملقحة ضد مرض النيوكاسل.

2- التحري عن التأثير التحفيزي لزيت بذور الكتان في الاستجابة المناعية المتولدة لدى الأفراخ الملقحة ضد مرض النيوكاسل.

3- المقارنة بين نوعي الزيوت المستخدمة وتحديد أيهما أفضل في تعزيز الاستجابات المناعية.

4- تحديد معيار الأجسام المضادة لفايروس مرض النيوكاسل في الأفراخ بعد التحصين.

5- تحديد مستويات الانترلوكينات المناعية (الانترفيرون كاما، الانترلوكين 4، الانترلوكين 6) بعد التلقيح وتأثير استعمال الزيوت على مستوياتها في افراخ التجربة.

6- التحري عن تغيير مستويات البلعمة وفعالية القتل بعد التحصين فضلاً عن دراسة التأثير التحفيزي لاستعمال الزيوت عليها.

الفصل الثاني

استعراض المراجع

Review of Literatures

2-1: مرض النيوكاسل Newcastle disease

مرض النيوكاسل هو مرض فيروسي شديد العدوى ومميت يصيب الدواجن ويسبب خسائر اقتصادية عالية في جميع أنحاء العالم (Nooruzzaman *et al.*, 2022)، يصيب المرض العديد من أنواع الطيور ويسبب أعراضًا تنفسية وهضمية وعصبية وتختلف العلامات والأفات والهلاكات من حالة إلى أخرى وتعتمد على عوامل عدة منها ضراوة السلالة المعدية وجرعة الفيروس والحالة المناعية وعمر المضيف وطريقة العدوى (Ibrahim & Fayyadh, 2022)، وينتشر مرض النيوكاسل في أنحاء مختلفة من العالم، إذ تُظهر الدراسات الوبائية لمرض النيوكاسل انتشار المرض في جميع أنحاء أمريكا الوسطى والجنوبية، وأفريقيا، وآسيا، وإلى حد أقل في أوروبا (Tanveer *et al.*, 2023)، وسجل أول تفشي لمرض نيوکاسل في عام 1926 في جزيرة جاوة ، إندونيسيا وتبنته اندلاعات أخرى في مناطق مختلفة من العالم كما في مدينة نيوكاسل في إنكلترا والفلبين واليابان وأستراليا، وفي عام 1952 تم الإبلاغ عنه في سوريا وفلسطين وأروبا والولايات المتحدة ثم انتشر في جميع أنحاء العالم (swayne, 2013).

عانت تجارة الدواجن ولمدة طويلة من مرض النيوكاسل إذ يعد تهديدا خطيراً لأنواع كثيرة من الطيور وخاصة الدواجن، وتلعب الدواجن دوراً مهما في إنتاج أكثر من 30% من البروتينات الحيوانية كونها إحدى أكبر مجموعات الحيوانات الداجنة التي يتم تربيتها (Tanveer *et al.*, 2023)، وتُظهر الأهمية الاقتصادية وخطورة المرض على صناعة الدواجن من كبر حجم الخسائر الاقتصادية الناتجة عن الإصابة إذ تسبب المرض بموت حوالي 4 ملايين طائر وخسارة حوالي 162 مليون دولار أمريكي في آخر تفشي كبير لمرض النيوكاسل في الولايات المتحدة الأمريكية ، (Rehan *et al.*, 2019).

2-1-1: العامل المسبب لمرض النيوكاسل

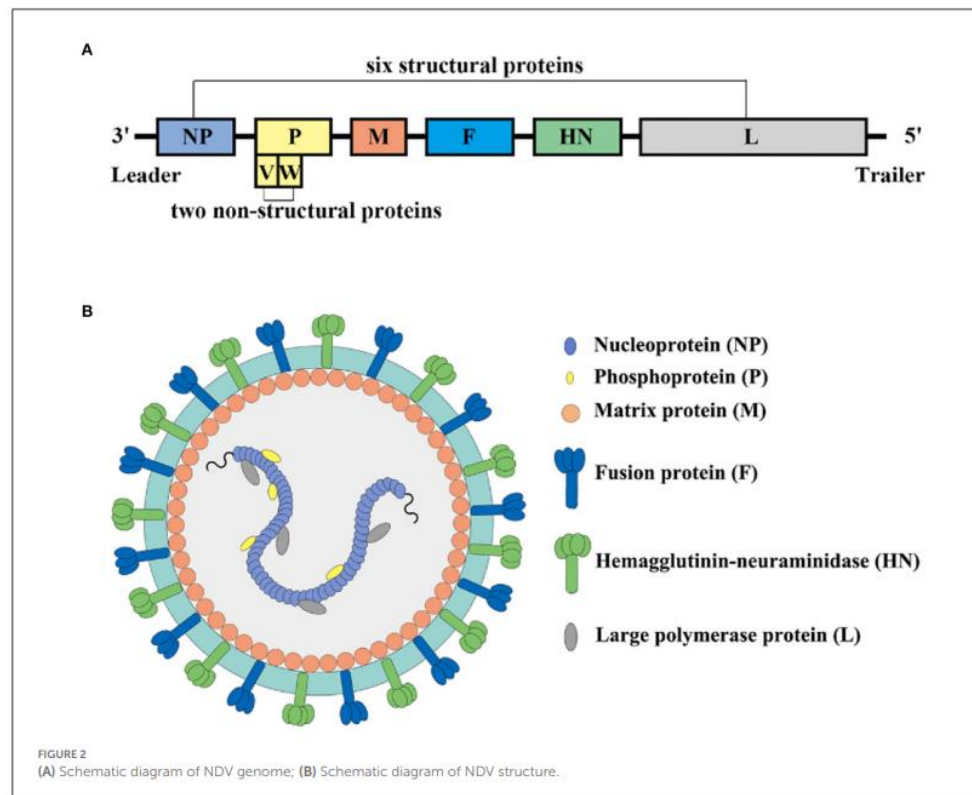
ان مسبب مرض النيوكاسل هو فايروس Paramyxovirus والذي يعود إلى عائلة Paramyxoviridae، رتبة Mononegavirales، جنس Avula virus، يشمل جنس Avula virus عشرة أنماط مصلية من فيروسات Paramyxovirus للطيور (APMV 1 - 10). ولا يزال مرض النيوكاسل الناجم عن الأنماط المصلية الأولى لفيروس النيوكاسل المعروف باسم (APMV-1) أهم مرض فيروسي من الناحية الاقتصادية في صناعة الدواجن (Phale, 2018; Xu *et al.*, 2017).

2-1-2: الوصف الجزيئي لفيروس نيووكاسل

فيروس مرض النيوكاسل هو أحد الفايروسات المخاطية المغلفة سالبة الحامض النووي الريبيوزي RNA أحادي السلسلة غير المجزئ، يتراوح حجم الفايروس بين 150 إلى 400 نانوميتر ويتواجد الحامض النووي ضمن المحفظة النووية ذات التنسق الاهليي والمحاطة بغلاف دهني متحور مشتق من الغشاء البلازمي للخلايا المصابة والذي يحيط بالفايروس أثناء عملية التبرعم إلى خارج الخلايا يبلغ وزن الحامض النووي له حوالي 5.7×10^7 دالتون وبحجم جينوم يبلغ 15.186 ألف قاعدة نيتروجينية المضمنة في ست جينات والتي تشفّر لست بروتينات هيكلية بالترتيب التالي 5'-NP-P-M-F-HN-L-5' بروتين نووي Matrix (NP)، بروتين فسفوري (P)، بروتين الالتصاق (F)، بروتين الالتصاق Hemagglutinin-Neuraminidase (M)، بروتين البروتين البوليمريز الكبير Large polymerase protein (HN) على التوالي (Muñoz-Barroso *et al.*, 1997). شكل (1)

تحتوي العتر الضاربة من الفايروس على تتابع أحماض أمينية متوجّع ضمن مناطق الانقسام التحللية لبروتين الالتصاق وبالتالي تم تصنيف الفايروس إلى ستة عشر نمطاً جينياً والمضمنة في مجموعتين أساسيتين، وبالرغم من التنوع الوراثي الكبير للفايروس والذي يعكس الاختلاف في حجم الجينوم ضمن مجاميعه الأساسية إلا أنه يلاحظ أن جميع فايروسات النيوكاسل تتبع النمط المصلّي الأول APMV-1 (Phale, 2018).

يعد بروتين HN من أهم بروتينات الفايروس إذ يكون مسؤولاً عن التعرف والالتصاق بمستقبلات حمض السكريات على سطح الخلايا الحية فيما يتّوسط نشاط اندماج البروتين F في غشاء الخلية لإطلاق مركب nucleocapsid في السيتوبلازم (Naz *et al.*, 2022; Nooruzzaman *et al.*, 2022).



الشكل (1) شكل فيروس مرض النيوكاسل وتركيبه الجيني (Mao *et al.*, 2022)

2-1-3: تصنيف فيروس نيوكاسل

يتم تصنيف فيروس مرض النيوكاسل إلى سلالات مختلفة وحسب شدة إمراضيتها في الدواجن إذ يوجد أربع عترات رئيسية وهي النمط المعموي غير الضار (غير ممرض)، والنمط منخفض الضراوة Lentogenic والنط المتوسط الضراوة Mesogenic والنط الضاري Velogenic (Alexander, 2000)، وتعد العترات الضاربة ومتوسطة الضراوة مسؤولة عن معظم الاندلاعات المرضية في حقول الدجاج في معظم بلدان العالم، وعلى الرغم من استعمال عترات غير ضاربة أو منخفضة الضراوة كلقاحات حية للسيطرة على المرض إلا أنه يتم الإبلاغ عن تفشي مرض النيوكاسل في الدواجن الملقحة باستمرار .(Putri *et al.*, 2017)

4-1-2: خصائص فيروس مرض النيوكاسل

يمكن لفايروس مرض النيوكاسل البقاء لفترات طويلة في درجة حرارة الغرفة والتي تتراوح بين (18 إلى 23.5 درجة مئوية) (Moustapha *et al.*, 2023)، ويمكن قتل الفايروس بالمعاملة لمدة 3 ساعات بدرجات الحرارة المرتفعة والتي تصل لـ 56 درجة مئوية أو باستعمال 60 درجة مئوية لمدة نصف ساعة، وبعد الفايروس حساس جداً عند درجة المحموضة $\text{pH} \geq 2$ والتي تسبب فقدان حيوية الفايروس، كما أن فايروس مرض النيوكاسل يظهر حساسية شديدة للمنظفات والمذيبات الدهنية و الفورمالدهايد والعوامل المؤكسدة (Getabalew *et al.*, 2019).

4-1-3: إمراضية مرض نيوكايل

يمكن لفايروس مرض النيوكاسل إصابة أكثر من 200 نوع من الطيور ولكن تختلف شدة الإصابة وطبيعتها بالاعتماد على نوع الطير المصايب وضراوة عترات فيروس مرض النيوكاسل. يعد الدجاج شديد الحساسية للإصابة بالفايروس، وبعد كل من الحمام، الحبش، السمان، الحجل، الدراج، والببغوات، العصافير والغربان حساسة للإصابة، بينما يعد البط والوز والنوارس ذات مقاومة للفايروس وقد تحدث الإصابة مترافقاً مع ظهور أعراض سريرية قليلة أو بدونها حتى لو كانت الإصابة بالنمط الضاري للفايروس، كما يمكن للفايروس إصابة مصائف غير الطيور إذ سجلت الإصابة في معظم المبائين فضلاً عن الإنسان (Moustapha *et al.*, 2023).

يتم تحديد إمراضية فيروس مرض النيوكاسل في الدجاج بشكل رئيس من خلال سلالة الفيروس بالرغم من أن الجرعة الفايروسية، طريقة دخول الفايروس، عمر الدجاج فضلاً عن الظروف البيئية تلعب دوراً مؤثراً في إمراضية الفايروس في الدواجن، و تختلف إمراضية فيروس مرض النيوكاسل اعتماداً على عترة الفيروس (Getabalew *et al.*, 2019).

من المعروف أن تنشيط بروتين الالتصاق (F) بواسطة إنزيم بروتيليز الخلية المضيفة هو المحدد الأساس لضراوة الفايروس (Ganar *et al.*, 2014)، إذ يتم إنتاج سلائف بروتين سكري غير نشط (F0) أثناء عملية تكاثر الفايروس، يتم إنصاف بروتين الالتصاق عن طريق شطره إلى سلسلتين من المتعدد الببتيدي F1 و F2 وتعود هذه العملية مفتاحاً لضراوة الفايروس وقدرتها على إحداث المرض (Worku & Teshome, 2020)، وترتبط قابلية انقسام جزيئه F0 ارتباطاً مباشراً بضراوة الفيروس و تتأثر عملية الانقسام بطبيعة إنزيم البروتيليز الموجودة في أنسجة وأعضاء المضيف. أظهرت الدراسات الجزيئية

للبروتين السكري F0 أن تسلسل موقع الانقسام لسلسلة متعدد السكريد البروتيني F يقع بين الموضع 112 و 116 وبالتالي يعمل على تحديد ضراوة عزلات فيروس مرض النيوكاسل (Puro & Sen, 2022)، تعمل الأنواع الانزيمية المختلفة لأنزيم البروتينيز على مناطق متغيرة لشطر متعدد السكريد البروتيني لبروتين الالتصاق إذ أظهرت الدراسات ان انزيم البروتينيز الشبيه بالفيورين furin-like proteases والموجود في العديد من أنسجة وأعضاء المضييف يعمل على انقسام بروتين الالتصاق في الأنواع الفايروسية عالية الضراوة، مما يسمح لها بالتسبب في التهابات جهازية قاتلة وعلى العكس، يمكن لأنزيم البروتينيز الشبيه بالتربيسين trypsin-like proteases أن يقسم الفيروسات منخفضة الفوعة فقط و في مناطق محدودة، مثل الجهاز التنفسي والأمعاء (Phale, 2018)، وبالاعتماد على ما جاء في (Heiden *et al.*, 2014) فإن مناطق البروتين F المستهدفة تسبب تغير الفوعة بغض النظر عن تسلسل الأحماض الأمينية في موقع الانشطار.

سمح تطور علم الوراثة الرجوعي على مدى العقود الماضيين للباحثين بتعديل فيروس مرض النيوكاسل وراثياً ودراسة المساهمة الفردية للجينات ومناطق الجينوم فيما يتعلق بضرارته (Dortmans *et al.*, 2011)، أوضح (Samal *et al.*, 2011) إن بقايا الجلوتامين الموجودة في موضع الانشطار 114 للبروتين الالتصاق F مهمة في تكاثر فيروس مرض النيوكاسل وإمراضيته، كما أن استبدال الحامض الأميني الأيسوزولوسين في الموضع 118 بالحامض الأميني الفالين حول موقع الانشطار يقلل من إمراضية الفيروس، فضلاً عن ذلك يمكن أن تؤدي طفرة في موقع الارتباط ببعض السكريات في بروتين الالتصاق F إلى زيادة القابلية الجينية للالتصاق وبالتالي قد تزيد من ضراوة الفايروس، كما لوحظ أن وجود طفرات في الجزء السيتوبلازمي لبروتين الالتصاق سبب زيادة في قدرة الفايروس الالتصاقية الجينية hyperfusogenic والتي تزيد من اختراف الفايروس والإمراضية، وأوضحت دراسات أخرى إمكانية تعزيز انقسام بروتين الالتصاق للفايروس بواسطة الأحماض الأمينية الموجودة في الموضع 430 في بروتين HN مما يسبب تعديلاً في قدرة بروتين الالتصاق على الاندماج مع الخلايا المصابة (Chen *et al.*, 2021).

6-1-2: الآفات والعلامات السريرية

يلعب النمط المصلي للفايروس، نوع وعمر المضييف، الاصابات المرضية الثانوية، الإجهاد، الظروف البيئية، الحالة المناعية للمضييف والجرعة الفايروسية، فضلاً عن طريقة التعرض للفايروس دوراً في تحديد وقت الحضانة وشدة المرض (Getabalew *et al.*, 2019)،

وتسبب الإصابة بفايروس النيوكاسل منخفضة الضراوة (lentogenic) أمراضًا في الجهاز التنفسي أو الجهاز الهضمي وبشكل غير ظاهر والتي قد تتطور بظهور علامات سريرية قليلة في الدجاج البالغ، بينما تسبب العدوى بعترات الفايروس ذات الضراوة المتوسطة (mesogenic) إلى تطور أمراض الجهاز التنفسي غير المميتة وانخفاض إنتاج البيض، متراقة وبشكل نادر مع ظهور علامات عصبية، مع بقاء معدل الوفيات منخفضاً بشكل عام (Moustapha *et al.*, 2023) (Abdisa & Tagesu, 2017)، وأوضح (Caroline, 2022) أن إصابة القطعان الحساسة بواسطة سلالات الفايروس شديدة الضراوة تسبب حدوث هلاكات عالية تصل إلى 100٪ ، تسبب سلالات فايروس النيوكاسل شديدة الضراوة ذات الانتقاء الحشوي إمراضية شديدة وحادة في الغشاء المخاطي المعموي وتؤدي إلى آفات نزفية والموت (Caroline, 2022)، تشمل العلامات السريرية الناتجة عن عدوى الدجاج بفايروس مرض النيوكاسل اعتلال الصحة العامة للطيور، اضطرابات في الجهاز التنفسي، ظهور الإسهال الأخضر أو الأبيض، ارتعاش العضلات وشلل الأطراف (Caroline, 2022)، تسبب عترات فايروس مرض النيوكاسل ذات الانتقاء العصبي، إصابات تنفسية شديدة متعددة بأمراض عصبية وانخفاض في إنتاج البيض (Abdisa & Tagesu, 2017) .

تتميز آفات فيروس مرض النيوكاسل بحدوث التزيف والتقرحات في المعدة الغربية والأمعاء (Rauw *et al.*, 2009)، وتسبب العدوى بفيروس مرض النيوكاسل ذو الانتقاء الحشوي إلى علامات سريرية شديدة في الدجاج بما في ذلك الجفاف وهزال جثة الدجاج، والآفات النزفية، والتقرحات النخرية في كل من المعدة الغربية والأمعاء والأعورين وطلائية الطحال مع وجود آفات احتقانيه وونديه ونزفية في نسيج الرئة (Mariappan *et al.*, 2018; Sonkusale *et al.*, 2023)، يعد الشكل التنفسي للمرض في الدجاج من أكثر الاشكال شيوعاً، وتميز الآفات المترافقه لهذا الشكل بالتهاب القصبات الاحتقاني أو النزفي والذي يتراوح من الالتهاب البسيط إلى المعقد وخصوصاً عند ترافقه مع الإصابات البكتيرية الثانوية إذ تتطور الإصابات إلى التهاب القصبات الهوائية الليفي، الالتهاب الرئوي الليفي والتهاب الاكياس الهوائية، التهاب التامور والتهاب الكبد (Fellahi & Boudouma, 2021)، ويمكن ملاحظة الآفات الحادثة في الجهاز العصبي المركزي عند الإصابة بالشكل العصبي من المرض بعد إجراء عملية التشرير للطيور المصابة والتي تشمل التهاب الدماغ، نخر الخلايا العصبية، ارتشاح الخلايا البلعمية وتجمع الخلايا الدبقية الصغيرة في المادة الرمادية للدماغ والمخيخ والحلب الشوكي مع التنسك المحوري وآفات إزالة المايلين (Ecco *et al.*, 2011a).

2-7-1: تشخيص مرض نيوكايل

لا يمكن أن توفر العلامات السريرية أساساً موثقاً للتشخيص، ولكن يمكن استعمالها كعنصر مساعد في التوجيه نحو التشخيص الصحيح (Abdisa & Tagesu, 2017)، كما أن الآفات التي ترافق الإصابة بالنيوكايل لا يمكن أن تعطي تشخيصاً دقيقاً للمرض لكونها مشابهة للآفات التي تحدث مع أمراض أخرى وخصوصاً انفلونزا الطيور (Ganar *et al.*, 2014).

يعتمد التشخيص النهائي لمرض نيوكايل على الكشف المباشر عن الفايروس المسبب، وذلك عن طريق عزل الفايروس من مسحات الحيوانات الحية أو الأعضاء المأخوذة من الهاكلات وزراعتها على أجنة البيض المخصب بعمر 9-11 يوماً أو يمكن زراعة العينات على المزارع الخلوية المنتجة من الخلايا الليفية لجنين الدجاج، خلايا الكبد الجنينية للدجاج، خلايا كل قرد الأفريقي، والخلايا الشبكية لجنين الدجاج (Moustapha *et al.*, 2023).

كما يتم استعمال الاختبارات الدموية والمصلية مثل اختبار التلازن الدموي واختبار تثبيط التلازن الدموي، تقنية الانتشار المناعي لهلام الأكار، التألق المناعي، التعادل المصلي الفيروسي وأخيراً تقنية تحمل الذهب الغروية المناعية لغرض تأكيد الإصابة بفايروس مرض نيوكايل باستعمال الطرائق الجزيئية (Moustapha *et al.*, 2023) وتم في الآونة الأخيرة استعمال الطرائق الجزيئية في تشخيص الفايروس من الأنسجة المصابة، فضلاً عن استعمال المجهر الإلكتروني للاحظة تناسق وتركيب فايروس نيوكايل (Cattoli *et al.*, 2011).

يوفر التشخيص المصلي دليلاً غير مباشر على وجود فايروس مرض نيوكايل من خلال وجود الأجسام المضادة التي تثبت الإصابة و يعد اختبار تثبيط التلازن الدموي (HI) هو الاختبار المرجعي والتاكيدية الأكثر استعمالاً على نطاق واسع لأمصال مرض نيوكايل (Moustapha *et al.*, 2023)، يعتمد الاختبار على تثبيط تلازن خلايا الدم الحمراء للدجاج الناتج عن التلازن الدموي hemagglutinin الموجود في الغلاف الفيروسي بواسطة أجسام مضادة محددة، ويعد فحص المقاسة المناعية المرتبطة بالإلزيم (ELISA) أحد أكثر الفحوصات شيوعاً للكشف عن الأجسام المضادة للنيوكايل وتقديرها كمياً (Dzogbema *et al.*, 2021)، وترتبط نتائج اختبار HI بشكل جيد مع نتائج اختبار ELISA (Getabalew *et al.*, 2019).

ومع الانتشار الواسع للاختبارات المصلية إلا أنه يؤخذ عليها أنها تعطي نتائج إيجابية خاطئة في حالة الإصابة بالعتر الفيروسي التابع لنفس العائلة نتيجة التفاعلات التصالبة للأجسام المضادة (Mao *et al.*, 2022).

وأخيراً تم استعمال طرق التشخيص الجزئية المختلفة كما في استعمال تقنية تفاعل البلمرة المتسلسل، تفاعل البلمرة بالوقت الحقيقي، تقنية الهضم بواسطة الانزيمات القاطعة، فضلاً عن تشخيص تسلسل القواعد النيتروجينية للفايروس sequencing والتي تعتمد جميعها على وجود بوادء خاصة لجينات معينة لغرض تشخيص مرض النيوكاسل (Dzogbema *et al.*, 2021; Mao *et al.*, 2022).

8-2: السيطرة على مرض نيوكاسل

تتم السيطرة على مرض النيوكاسل بواسطة الأمان الحيوي الصارم الذي يساهم في الحد من وصول الفايروس إلى قاعات الدواجن واحادث الإصابة مع استعمال برامج لقاحية موثوقة باستعمال اللقاحات الفعالة (Dimitrov *et al.*, 2017)، فضلاً عن ذلك، يجب إجراء المراقبة المصلية للحالة المناعية لقطاعان الملقحة لتقدير استجابة الأجسام المضادة للقاحات المعطاة (Ahmed & Odisho, 2018).

تم استعمال اللقاحات التقليدية (اللقاحات الحية والمعطلة) على نطاق واسع لعدة عقود للسيطرة على الاندلاعات المرضية لفايروس مرض النيوكاسل في حقول الدواجن (Dimitrov *et al.*, 2017)، ومؤخراً تم اعتماد جيل آخر من اللقاحات، مثل اللقاحات المؤتلفة (Recumbent vaccines) واللقاحات المطابقة للمستضدات.

هناك العديد من التجارب التي تقوم بها العديد من بلدان العالم لتطوير لقاحات أخرى والتي لا تزال في المرحلة التجريبية (Dimitrov *et al.*, 2017; Nurzijah *et al.*, 2022)، وتمثل باستعمال السلالات غير المسببة للإمراضية بشكل طبيعي، أو منخفضة الإمراضية، أو متوسطة الإمراضية من الفايروس في إنتاج اللقاحات (Dimitrov *et al.*, 2017; Hu *et al.*, 2022)، ومع تطور الهندسة الوراثية، ظهرت عترات فيروس مرض النيوكاسل كنقالات واعدة لتطوير لقاحات متعددة الأغراض فعالة ضد مسببات الأمراض التي تصيب كل من الحيوانات والبشر (Choi, 2017; Kim & Samal, 2016)، كما في استعمال لقاح فيروس مرض النيوكاسل والذي يشفر لبروتين F لفيروس مرض النيوكاسل وبروتين فيروس الأنفلونزا 1 (M1) الذي يسبب تقليل طرح الفيروس بشكل كبير مع توفير حماية الدجاج من التحدي المميت لكل من فيروس الأنفلونزا والنيوكاسل، فضلاً عن إمكانية استعماله أيضاً للتمييز بين الحيوانات المصابة والملقحة (Park *et al.*, 2014).

2-9: أنواع لقاحات مرض النيوكاسل

تشمل لقاحات مرض النيوكاسل الحية لقاحات مصنعة من عتر فايروسيّة قليلة أو متوسطة الضراوة، على الصعيد العالمي تعد اللقاحات الحية المضيفة الأكثر استعمالاً على نطاق واسع والتي تصنع من العتر الفايروسيّة التابعة للأنماط المصلية I2, B1, F, LaSota, V4, and B1، تعد اللالات لاسوتا و B1 هي السلالات التي تتنمي إلى النمط الجيني الثاني وتظهر أوجه تشابه عالية على المستوى الجيني والمستضدي، يمكن للقاحات المضيفة أن تحفز استجابات الأجسام المضادة الوقائية، مع أنها تختلف في انتقاء الأنسجة ونمط التكاثر في الدجاج (Bello *et al.*, 2018)، تُظهر سلالة لاسوتا انتقاءً عالياً في الجهاز التنفسي وتتكرر بمستويات عالية في الدجاج، ويكون معيار الأضداد الناجمة عن التلقيح بلقاح لاسوتا مرتفعة بشكل عام، لهذا يعد هذا اللقاح مناسب للاستعمال في البلدان التي يكون فيها فيروس مرض النيوكاسل ضارٍ ومتowan (Perozo *et al.*, 2008).

يعد لقاح B1 منخفض الضراوة آمناً للغاية عند استعماله في الأفراخ مقارنة بباقي اللقاحات الحية المضيفة وعادة ما يستعمل عند حدوث العدوى منخفضة المستوى أو في الصيصان صغيرة العمر، تعتمد أنواع أخرى من اللقاح الحي المضف على النمط الجيني الأول و V4 و I-2 و I و V4 (Habibi *et al.*, 2020)، فضلاً عن مستوى أمان جيد عند تلقيح الدجاج من جميع الأعمار (Habibi *et al.*, 2014)، وذلك أصيحاً بذلك، فإن (V4 و I-2) يعدان لقاحان نموذجيان مقاومان للحرارة مما أكسبهما مزايا فريدة تتمثل في استعمالهما في المناطق الريفية النائية ذات سلسلة تبريد محدودة، لذلك أصبح بالإمكان إعطاؤها من خلال مياه الشرب لتحسين الدجاج في المناطق الريفية (Habibi *et al.*, 2014).

توفر لقاحات مرض النيوكاسل الحية حماية جيدة لكونها تسبب تفاعلات تطعيمية قليلة في الدجاج الملقح وذلك يعود إلى أن هذه اللالات اللقاحية تظهر ضراوة منخفضة أو معدومة (Hu *et al.*, 2022).

تحفز اللقاحات الحية المناعة الخلطية والخلوية ويمكن إعطاؤها عن طريق الرش أو مياه الشرب ومع ذلك، في ظل ظروف معينة، قد تسبب اللقاحات الحية تفاعلات تطعيمية غير مرغوب فيها مثل تأثير النمو، وعلامات مرضية قليلة في الجهاز التنفسي، وزيادة التعرض لمسببات الأمراض الأخرى وقد تصل لحد حدوث الوفيات في حالات نادرة، ويعتمد نوع آخر من اللقاحات الحية على اللالات المضيفة مثل النمط الجيني الثالث (Mukteswar) و النمط

الجيني الثاني (Komarov و Roakin) والتي تظهر ضراوة متوسطة إلى عالية ويمكن أن تسبب الوفيات خصوصاً في الصيchan (Hu *et al.*, 2022).

يتم تطبيق اللقاحات الحية بشكل عام على الأفراخ الصغيرة مما قد يؤدي إلى تداخلها مع الأجسام المضادة الأممية وفعاليتها، لذلك فإن إعطاء لقاحات النيوكاسل الحية في الوقت المناسب بناءً على مراقبة المناعة الأممية أمر ضروري لفعالية اللقاح (Nurzijah *et al.*, 2022).

يتم إنتاج لقاحات النيوكاسل الحية في أجنة بيض الدجاج الخالي من المسببات المرضية، يتم حقن الفيروس في التجويف اللقائقي لأجنة بيض الدجاج التي تتراوح أعمارها بين 9 و11 يوماً، ويتم جمع السائل الأنتروليسي بعد الحضانة ليُخضع إلى بعض المعاملات فضلاً عن إضافة بعض المثبتات وبعدها يتم خزنه باستعمال عملية التجفيف وذلك بعد اجتياز سلسلة من اختبارات مراقبة الجودة، ومع أن الطريقة استعملت لفترة طويلة لإنتاج اللقاحات إلا أنه تم استبدالها حالياً باستعمال طرائق التقنيات الجزيئية والهندسة الحيوية في عملية إنتاج اللقاحات الحية (Hu *et al.*, 2022).

أحد المخاوف الرئيسية المتعلقة بعمليات التحصين هو عدم التطابق باللقاحات الحية الحالية مع الفيروسات الحقلية السائدة مع أن فيروس مرض النيوكاسل ينتمي إلى نمط مصلي واحد إلا أن هناك اختلافات جينية ومستضدية كبيرة بين اللقاحات الحية النقلية والفيروسات الموجودة في الحقول إذ كشفت العديد من الدراسات أن مستوى التطابق في تسلسل الأحماض الأمينية لبروتينات الالتصاق والتلازن F وHN بين سلالة لقاح لاسوتا وسلالات لقاح النمط الجيني السابع 1.1 GVII تراوح بين 87-89% و 87-88% على التوالي (Qin *et al.*, 2008; Xiao *et al.*, 2012) وتضاربت اراء الباحثين حول إمكانية حدوث اندلاعات مرضية شديدة نتيجة عدم قدرة العتر اللقاحية على توفير الحماية اللازمة نتيجة الفروقات المستضدية بين العتر اللقاحية والعتر السائدة في الحقول إلا أن بعض البحوث أشارت إلى أن الفرق المستضدي بين العتر اللقاحية والعتر السائدة ليس السبب الرئيس لتفشي الأمراض في هذا المجال وبدلاً من ذلك، قد يكون ضعف مناعة القطيع الناجم عن عدم كفاية ممارسات التحصين مسؤولاً عن انخفاض الحماية التي توفرها اللقاحات الحية (Dortmans *et al.*, 2012; Liu *et al.*, 2018)، إذ تسلط هذه الدراسات الضوء على أهمية التحصين الكافي لفعالية اللقاحات الحية في الحقول، ومن ناحية أخرى فإن إعطاء لقاحات مرض النيوكاسل الحية المماثلة للفيروسات المنتشرة في الحقول مفید في تقليل انتشار الفيروس في قطعان الدجاج، وبين Dewidar وجماعته في دراسة لمستوى الحماية الذي يوفره لقاح لاسوتا

و فيروس اللقاح المبطل المؤتلف للننمط الجيني السابع ضد الإصابة بالعترة الحقلية لفايروس مرض النيوكاسل من الننمط الجيني السابع GVII 1.1 NDV أن مستوى الحماية باستعمال اللقاح المبطل المطابق للعترة الحقلية المستخدمة وصل إلى 100% مقارنة بنسبة 93.3% التي يقدمها لقاح لاسوتا (Dewidar *et al.*, 2022; Dortmans *et al.*, 2012).

يتمثل التحدي الرئيس لتوليد لقاحات حية ضد فيروس مرض النيوكاسل متطابقة مع الننمط الجيني المتفشي حقلياً في كيفية انتاج المستضادات الملائمة وكذلك سلامه اللقاح، يتم استعمال استراتيجيتين رئيستين لتصنيع لقاحات حية متطابقة مع الننمط الجيني الحقلبي إذ يتم تهجين مستضادات السلالات الفواعية باستعمال علم الوراثة العكسي وهندستها للحصول على لقاحات حية معدلة (Dortmans *et al.*, 2012; Ji *et al.*, 2018; Ruan *et al.*, 2020)، وذلك عن طريق تعديل موقع الانشطار لبروتين الالتصاق F ، ويمكن أن تضمن الطفرات المحددة الإضافية في البروتين L سلامه الفيروس المضاعف (Ji *et al.*, 2018)، بينما تمثل الاستراتيجية الأخرى باستبدال مستضادات F و HN الواقية لفيروس النيوكاسل المضاعف بالبروتينات المقابلة من السلالات الفواعية السائدة في الحقول مع تحور موقع الانشطار لبروتين الالتصاق F (Cho *et al.*, 2008)، وقد تم تسويق واستعمال العديد من لقاحات مرض النيوكاسل الحية المؤتلفة من هذا النوع في كوريا (Himmvac Dalguban N (Plus) Live) وفي مصر (RINNOVAC™ELI-7 المضاعف الحي) والمكسيك (Genovax Vaccine) فضلاً عن ذلك، قد يؤثر أصل فيروس النيوكاسل المضاعف المستخدم لتصنيع اللقاحات المؤتلفة في فعالية اللقاحات (Dewidar *et al.*, 2022)، وهنا تجدر الإشارة إلى أنه ينبغي التأكد من سلامه هذه اللقاحات الحية المشتقة من الفيروسات الفواعية بعناية، حتى عندما تثبت الدراسات التي أجريت في ظل ظروف خاصة للرقابة الجيدة في المختبر سلامتها في الحيوانات التجريبية (Hu *et al.*, 2022).

و للتغلب على مخاطر استعمال اللقاحات الحية المضاعفة ذهب البعض إلى استعمال اللقاحات المعطلة على نطاق واسع إذ يتم تعطيل الفايرروس الضاري بالعديد من المواد الكيميائية كما في استعمال الفورمالين أو β بروبيولاكتون بعد حصاد السائل الأنثوسي من أجنة بيين الدواجن المحصنة بفيروس مرض نيووكاسل (Hu *et al.*, 2022)، ويجب إجراء تعطيل السائل الأنثوسي عدة مرات لضمان الفقدان الكامل لقدرة الفايرروس على إحداث العدوى وضمان تعطيله بالكامل، وتضاف المواد المساعدة مثل الزيوت المعدنية إلى السائل الأنثوسي الحاوي على الفايرروسات المعطلة لإعداد اللقاحات المستحلبة و تستخدم سلالات فيروس مرض النيوكاسل

ذات الضراوة الضعيفة بما في ذلك عترة لاسوتا، Ulster و B1، كذور رئيسة لأعداد اللقاحات المؤتلفة أو المعطلة بسبب ارتفاع محسولها الفيروسي في أجنة بيض الدجاج إلا أنه تأخذ مثل هذه اللقاحات تكاليف إنتاج عالية، مع ضمان سلامة اللقاحات المعطلة حقلياً وذلك لأن الفيروسات لا يمكن أن تتكاثر وتنتشر بين الدجاج الملقح إلا أنها تستغرق وقتاً وجهداً كبيراً اثناء عملية التحصين في القطعان وذلك لكون اللقاح المعطل يتم إعطاؤه بشكل فردي عبر طرائق الحقن مثل الحقن العضلي أو تحت الجلد وتعد اللقاحات المعطلة ذات إمكانية كبيرة في تحفيز المناعة الخاطية بشكل كبير وبمستويات معيارية عالية إلا أنها تحفز استجابات ضعيفة للمناعية الخلوية أو المخاطية (Hu *et al.*, 2015, 2022).

على غرار اللقاحات الحية، تتأثر فعالية الحماية للقاحات المعطلة بدرجة المطابقة مع الفيروسات الحقلية المنتشرة في معظم البلدان التي يتوطن فيها مرض النيوكاسل، يتم إعطاء اللقاحات المعطلة التي تحتوي على عترة لاسوتا في الدواجن، والجدير بالذكر أن اللقاحات المعطلة القائمة على استعمال عترة لاسوتا تثير معايير أضداد ضد مستضدات التلازن الفيروسي بشكل أقل بكثير ضد الفيروسات الحقلية غير المطابقة للعترة اللقاحية مقارنة بالمستضد المتماثل لها (Hu *et al.*, 2009; Miller *et al.*, 2013)، إذ أن تسلسل الأحماض الأمينية للبروتينات المتطابقة بين بروتينات الالتصاق والتلازن F و HN بين سلالات لقاح لاسوتا التقليدية و فيروسات النيوكاسل الحقلية السائدة هي 87-89% و 87-88% على التوالي (Dortmans *et al.*, 2012; Miller *et al.*, 2007) وعلى الرغم من إن الدجاج المحسن باللقاحات التقليدية محمي تماماً من حدوث الاصابات والوفيات إلا أنه لا يزال بإمكانه طرح كميات كبيرة من الفيروس (Hu *et al.*, 2011; Miller *et al.*, 2007).

ويمكن بسهولة حل مشكلة مطابقة النمط الجيني الحقلاني السائد في لقاحات مرض النيوكاسل المعطلة باستعمال علم الوراثة الرجوعي كما في إنتاج لقاحات مؤتلفة خاصة بالنمط الجيني السابع لفيروس النيوكاسل عبر استراتيجيات مختلفة (Bu *et al.*, 2019; Xiao *et al.*, 2012; Hu *et al.*, 2009; Cho *et al.*, 2008)، وقد تم بالفعل تسويق بعض هذه اللقاحات المرشحة في بلدان مختلفة (Hu *et al.*, 2009).

2-10: المناعة ضد فيروس مرض النيوكاسل

1-10-1-2: الاستجابة المناعية الفطرية (Response of Innate Immunity)

تشتمل الاستجابة المناعية الفطرية على عوامل موجودة قبل ظهور العدوى وهي قادرة على الاستجابة السريعة للميكروبات ومقاومتها، المكونات الأساسية للمناعة الفطرية للدواجن هي (1) الحواجز الفيزيائية والكيميائية، مثل الريش والجلد والظهارة وإنتاج المخاط؛ (2) الخلايا البلعمية، بما في ذلك البلعميات والخلايا القاتلة الطبيعية؛ (3) بروتينات نظام المتم والنواقل الخلوية المتوسطة بعملية الالتهاب؛ (4) السيتوكينات . (Behboudi & Hamidi-Sofiani, 2021)

تعد الاستجابة المناعية الفطرية لعدوى الفيروس رد فعل فوري مصمم للسيطرة على نمو الفيروسات، السيطرة على تكاثرها، ايقاف انتشارها ومساعدة الجسم في تطوير الحماية الخاصة بالمرض من خلال الاستجابة المناعية التكيفية التي تنشط بوجود مستقبلات التعرف على الأنماط الجزيئية المترافقة للمرضى (Kapczynski *et al.*, 2013)، وهي مجموعة من العوامل التي تحدد الأنماط الجزيئية المسببة للأمراض (PAMPs) وبالتالي تعزز الاستجابة المناعية الفطرية والمكتسبة ضد العامل الممرض (Takeuchi & Akira, 2010).

ان التفاعل الأولي للمناعة الفطرية يتضمن تفعيل العديد من الجينات عن طريق تحفيز الاستجابة داخل الخلية المتوسطة بتحفيز مستضدات مختلفة داخل وخارج الخلية متضمنة (NOD , TLR) والتي تنقل الاستجابة بسرعة محفزة عوامل الترجمة الخلوية لمعظم جينات المقاومة ومسببة انتاج السيتوكينات والإنترفيرون التي تعمل على مقاومة وتنبيط تكاثر الفايروسات (Kapczynski *et al.*, 2013)

تحفز عدوى فيروس مرض النيوكاسل إنتاج السيتوكينات الالتهابية منها IFN- α و IFN- β و IL-6 و IL-1 β على نطاق واسع (Kapczynski *et al.*, 2013) إذ تزداد الاستجابة المناعية في الأنسجة المختلفة مثل الطحال واللطخات الليمفاوية والدم مسببة زيادة تعبير mRNA للسيتوكينات الالتهابية والكيموكتينات (السيتوكينات الصغيرة) مثل IFN- γ و IL-12 α و IL-18 و IL-1 β و IL-6 (الشكل 2) (Ecco *et al.*, 2011b; Hu *et al.*, 2015; Li *et al.*, 2016) دورا مهما في الاستجابة الالتهابية للمضييف، وبالتالي فإن إنتاج هذه السيتوكينات ووظيفتها تعمل كآليات رئيسة في السيطرة على الالتهاب (Wei *et al.*, 2015)، تجدر الإشارة إلى أن جميع العوامل المتعلقة بالكيموكتينات والسيتوكينات قبل الالتهاب تظهر في المراحل

الأولية من الاستجابة المناعية الفطرية ضد الفيروس كما في إنتاج IFN-I ، و IFN-II إلا أنه يلاحظ وجود الاختلاف في أنواع النوائل الخلوية وطبيعة السيتوكينات المنتجة من قبل السلالات المختلفة من فايروس مرض النيوكاسل (Wang *et al.*, 2014)، والذي يعكس التنوع الكبير في التعبير الجيني في المراحل الأولية من الاستجابة للعامل المعدى إذ وجد أن إصابة الطائر بنمط NDV-CA20 عالي الضراوة يسبب إنتاج المضيف 6-IL و IFIT-5 و MIP-3a من الطحال، ولكن لا يتم ملاحظة نفس التعبير الجيني عند الإصابة بالسلالات قليلة الفوحة من فيروس النيوكاسل كما في حالة الإصابة بنمط لاسوتا (Vénéreau *et al.*, 2015).

2-10-2: الجهاز المناعي الخلطي (Humoral Immune System)

الأجسام المضادة هي عوامل مهمة في حماية المضييف من الفيروس عن طريق إزالة وتحييد مسببات الأمراض بطرقين: (1) عن طريق الارتباط بالخلية المصابة، مما يمنع إنتاج الفيروس، (2) عن طريق الارتباط بالفيروس، مما يمنع انتشار الفايروس & (Behboudi, Hamidi-Sofiani, 2021) (Zhao *et al.*, 2016b) (Neutralization Test)، وتمت دراسة أنواع الأجسام المضادة المختلفة المتوسطة في إنتاج الحماية ضد فيروس مرض النيوكاسل وبيّنت معظم الدراسات أن الأجسام المضادة من نمط IgM و IgG توجد بكثرة وبشكل سائد عند الإصابة بمرض نيوكاـسل (Zhao *et al.*, 2016a)، إذ يظهر نمط الأجسام المضادة IgM أولاً و يصل إلى الحد الأقصى له خلال الأيام الأربع الأولى من الاستجابة المناعية، ثم يتبع بازدياد مطرد لكل من نمطي الأجسام المضادة IgA و IgG، إذ تعمل الأجسام المضادة IgG ، IgM في المصل على منع انتشار العدوى ومعادلة الفايروسات، بينما تقلل الأجسام المضادة المفرزة IgA في الأغشية المخاطية التنفسية والهضمية من انتشار الفيروس في الظهارة (Al-Garib *et al.*, 2003a)، أشارت الدراسات إلى إمكانية استعمال الأجسام المضادة غير الفعالة في الحماية من الإصابة بفيروس نيوكاـسل وذلك عن طريق معادلة مستضدات الالتصاق F والتلازن HN إلا أن هذه الأجسام ليست متوجة لكافة البروتينات الفايروسية حيث لا تعمل على حماية الجسم ضد البروتينات الفايروسية M ، NP/P

(Palya *et al.*, 2010; Rauw *et al.*, 2010, 2015)، بشكل عام يمكن القول أن المناعة الخلطية هي عامل رئيس فعال في حماية المضييف من العامل الفيروسي (Basavarajappa *et al.*, 2014)، وذكر (Reynolds & Maraqa, 2000) إن الأجسام المضادة المنتجة خلال الأيام الأربع الأولى من حضانة فيروس مرض النيوكاسل تكون قليلة

الفعالية في توفير الحماية الكاملة للأنسجة الطلائية في القصبات الهوائية للحيوانات المصابة بالفايروس، وأكد الباحثون أن الأجسام المضادة ضد البروتينات السكرية F و HN للفايروس هي من توفر الحماية ضد الخمج فضلاً عن أن استعمال الأجسام المضادة الموضعية تلعب دوراً مهماً في الحماية من الفايروس في مناطق دخوله الجسم عن طريق الطبقات الظهارية .(Palya *et al.*, 2012; Reynolds & Maraqa, 2000)

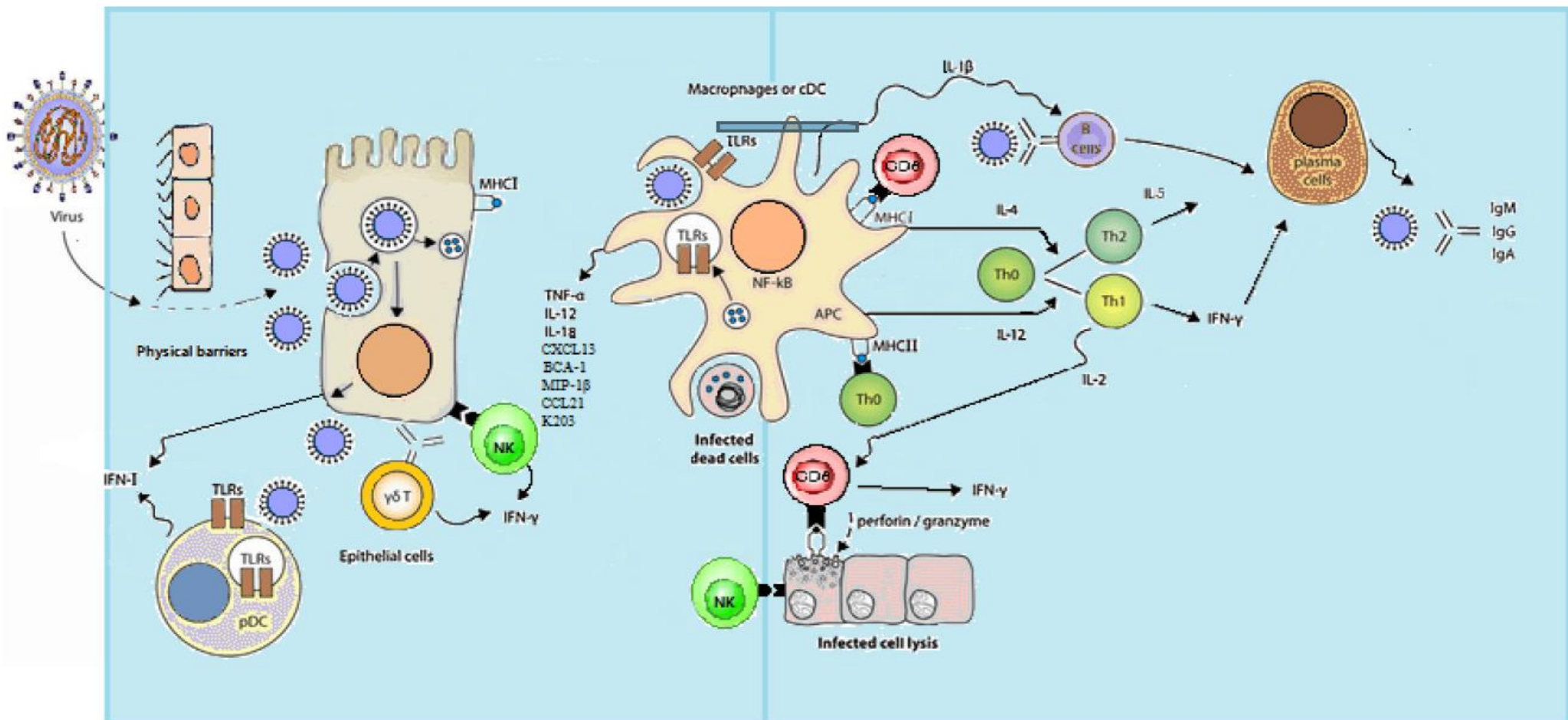
3-10-1-2 المناعة الخلوية (Cellular Immunity)

تعد المناعة الخلوية عاملًا مهمًا في حماية المضييف من فايروس مرض النيوكاسل (Sachan *et al.*, 2015; Yu *et al.*, 2013)، ويتم تعزيز نمط المناعة الخلوية بعد مرور يومين إلى ثلاثة أيام من الإصابة، تشير بعض الابحاث إلى أن المناعة الخلوية تلعب دوراً أساسياً في مقاومة الإصابة بفايروس مرض النيوكاسل الذي قد يكون أكثر أهمية من دور المناعة الخلطية (Tseng *et al.*, 2009)، بينت إحدى الدراسات الارتباط الوثيق بين الاستجابة المناعية الخلطية والخلوية لزيادة المقاومة ضد الإصابة بمرض النيوكاسل إذ ثبتت أن الحيوانات الملقحة والتي تنتج مستويات عالية من الأجسام المضادة ضد مستضدات التلازن فضلاً عن الأجسام المضادة المعادلة للفايروس متزامنة مع وجود مناعة خلوية تكون محمية ضد الجرعة المخجنة من فايروس مرض النيوكاسل الضاري (Reynolds & Maraqa, 2000)، في عدو فيروس مرض النيوكاسل يظهر ارتفاع للخلايا اللمفية البيضاء والبلعميات والخلايا التائية نمط CD4 و CD8 في مناطق دخول وتكاثر الفايروس كما في غدة هارديريان وظهارة الجهاز التنفسي (Perozo *et al.*, 2012)، ولوحظ أن تعرض الحيوانات إلى السلالات الفايروسية قليلة إلى متوسطة الضراوة لفايروس النيوكاسل يسبب زيادة في عدد الخلايا اللمفية البيضاء والخلايا البائية والتائية بمقادير مرتفعات إلى ثلاثة مرات عن أعدادها الطبيعية في غدة هارديريان (HG) (Al-Garib *et al.*, 2003b).

يحصل تنشيط الخلايا التائية بعد تقديم المستضدات الفايروسية من قبل الخلايا البلعمية والخلايا المقدمة للمستضد مؤدية إلى إنتاج كميات كبيرة من السيتوكينات المهمة في عملية تمثيل وإنجاح الأنماط القاتلة من الخلايا التائية التي تعمل على تدمير وإزالة الخلايا المصابة وإنجاح الأنسجة القاتلة من الخلايا التائية (Al-Garib *et al.*, 2003a)، من ناحية أخرى، يؤدي تنشيط الخلايا البائية بواسطة الخلايا التائية نمط CD4 إلى تكاثر هذه الخلايا والتمثيل في إنتاج الأجسام المضادة المتخصصة فضلاً عن تطور خلايا الذاكرة البائية المناعية (Ramakrishnan *et al.*, 2015).

Innate Immunity

Adaptive Immunity



شكل (2) المناعة الفطرية والخلطية ضد فيروس مرض النيوكاسل
(Behboudi & Hamidi-Sofiani, 2021)

2-2: الزيوت المعززة

نظراً لأهمية صناعة الدواجن في توفير الغذاء للإنسان فقد تم الاهتمام بها من مختلف الجوانب، تلعب تغذية الدواجن دوراً أساسياً في إنتاجية الدجاج وصحته لهذا تم الاهتمام بشكل مطرد بالأعلاف المقدمة للدواجن مع دراسة التغيرات التي تطرأ على المستوى الفسلجي والأدائي والمناعي عند تغيير أنواع أو نسبة مكونات العلف المقدم لها (مصطفى ويونس، 2016).

تعد الدهون إحدى الإضافات الرئيسية في أعلاف الدواجن والتي تم استعمالها لغرض رفع مستويات الطاقة فضلاً عن قدرتها في زيادة امتصاصية الفيتامينات الأساسية وتجهيز الطائر باحتياجاته من الأحماض الدهنية الأساسية (مصطفى ويونس، 2016؛ عبد كاظم وجعفر، 2014).

2-2-1: تركيب الزيوت المعززة

تعرف الزيوت بأنها دهون سائلة في درجة حرارة الغرفة والتي تتكون من سلاسل مختلفة من الأحماض الدهنية الحاوية على الأوكسجين والكاربون والهيدروجين؛ يتم تقسيم الزيوت إلى نمطين أساسيين بالاعتماد على نوعية الأحماض الدهنية الداخلة في تركيبها وكما يأتي:

1. الزيوت الحاوية على أحماض دهنية مشبعة
2. الزيوت الحاوية على أحماض دهنية غير مشبعة

تختلف الزيوت المشبعة عن الزيوت غير المشبعة بكونها تحتوي أصراة مزدوجة كما في الحامض الدهني الشمعي Stearic acid بينما لا تحتوي الدهون غير المشبعة على الأصراة المزدوجة كما في حمض الأوليك oleic acid والأركونديك arachidonic acid وحامض eicosapentaenoic acid الذي يدعى تجارياً بزيت السمك، كما أن الزيوت غير المشبعة تقسم إلى مجموعتين أساسيتين اعتماداً على موقع الأصراة المزدوجة الأولى مقارنة مع مجموعة المثيل في نهاية سلسلة جزيئه الزيت إذ تقسم إلى زيوت من نوع أوميغا 3 (n-3) omega 3 وزيوت من نوع أوميغا 6 (n-6) omega 6 (Gonzalez, 2008; Sahib *et al.*, 2012).

2-2-2: بعض أنواع الزيوت المستخدمة في علائق الدواجن

تختلف علائق الدواجن في مكوناتها لكنها تشتراك في كونها يجب أن تقدم كافة الاحتياجات الغذائية للنمو والتطور الصحي للدواجن فضلاً عن احتواها على الأحماض الدهنية الأساسية التي لا تصنع داخل جسم الطائر والتي يتم تجهيزها عن طريق إضافة العديد من أنواع الزيوت

إلى علائق الدواجن كإضافة زيت بذور الكتان، زيت السمك، زيت الذرة الصفراء، زيت جبوب زهرة الشمس أو زيت الكانيولا (Shaikh & Edidin, 2006).

2-2-2: زيت بذور الكتان

يعد زيت بذور الكتان مصدراً مهماً لكل من البروتين 20% فضلاً عن الدهون 41% وخصوصاً الدهون غير المشبعة إذ يحتوي زيت بذور الكتان على نسبة عالية تصل إلى 57% من الحامض الدهني الفالنولنك α -linolenic acid من مجموع كافة أنواع الأحماض الدهنية المكونة له ويعتبر الحامض الدهني ألفا لنولنك α -linolenic acid أحد أنواع زيوت الأوميغا 3 المهمة فضلاً عن احتوائه على نسبة جيدة تصل إلى 15% من الحامض الدهني لنولنك Linoleic acid والذي يدرج ضمن زيوت الأوميغا 6 وبعد هذان الحامضان الدهنيان من الأحماض الدهنية غير المشبعة الأساسية لعدم قدرة الطائر على تصنيعهما داخل الجسم لهذا يعد زيت بذور الكتان أحد أهم المصادر الأساسية في تجهيز هذين الحامضين. شكل(3) (Al-zuhairy & Taher, 2014; Bernacchia *et al.*, 2014; Gheorghe *et al.*, 2022)

2-2-2-2: زيت السمك

يحتوي زيت السمك Fish oils على نسبة عالية جداً من الأحماض الدهنية غير المشبعة العائدية لمجموعة أوميغا 3 والتي تشمل وجود حامضين دهنيين أساسيين هم docosahexaenoic acid و eicosapentaenoic acid حيث يشكلان نسبة 30% من زيت السمك الطبيعي (Gao *et al.*, 2020; Song *et al.*, 2023)، والذين يجب تجهيزهما من مصادر خارجية لعدم قدرة الطائر على تصنيعهما داخلياً (Al Daraji *et al.*, 2011).

Fatty Acid [9]	g/100g of flaxseed	Minerals [9]	mg/100g of flaxseed
α-linolenic acid	22.8	Calcium	236
Linoleic acid	55.9	Magnesium	431
Oleic acid	7.3	Phosphorus	622
Stearic acid	1.3	Potassium	831
Palmitic acid	2.1	Sodium	27
Aminoacids [14]	g/100g of proteins	Zinc	4
Glutamic acid	19.6	Copper	1
Aspartic acid	9.3	Iron	5
Arginine	9.2	Manganese	3
Glycine	5.8	Vitamins [9]	mg/100 of flaxseed
Cysteine	1.1	γ-tocopherol	522
Histidine	2.2	α-tocopherol	7
Isoleucine	4	δ-tocopherol	10
Leucine	5.8	Ascorbic acid/vitamin C	0.5
Lysine	4	Thiamin/vitamin B1	0.5
Methionine	1.5	Riboflavin/vitamin B2	0.2
Proline	3.5	Niacin/nicotinic acid	3.2
Serine	4.5	Pyridoxine/vitamin B6	0.6
Threonine	3.6	Pantothenic acid	0.6
Tryptophan	1.8	Carbohydrates [14]	mg/100g of flaxseed
Tyrosine	2.3	Neutral arabinoxylan fraction	1.2
Valine	4.6	Acidic Rhamnogalacturonan Fraction	0.4
Dietary Fibres [9]	g/100g of flaxseed	Phenolic Compounds [14]	
Soluble Fibres	4.3-8.6	mg/g flaxseed powder	
Insoluble Fibres	12.8-17.1	Ferulic acid	10.9
Adverse Health Compounds [9]		Chlorogenic acid	7.5
Cadmium	0.52µg/kg of flaxseed	Gallic acid	2.8
Protease inhibitors	13.3 mg/g crude protein	mg/100g of flaxseed	
Cyanogenic Compounds:	mg/100g of flaxseed	Secoisolariciresinol	165
Limamarin	11	Laricinesol	1.7
Linustatin	150	Pinoresinol	0.8
Neolinustatin	140	Total Flavonoids	35-70

الشكل (3) التركيب الكيميائي لزيت بذور الكتان (Bernacchia *et al.*, 2014)

2-2-3: التأثير الإيجابي لاستخدام الزيوت غير المشبعة في علاج الدوادن

2-3-2-2: تأثير استخدام الزيوت غير المشبعة على الجهاز المناعي للدواجن

يلعب النظام المناعي دوراً مهماً في التصدي للعوامل الممرضة المختلفة التي بإمكانها أن تسبب أمراضاً في الطيور، ويكون هذا النظام الدقيق من مجموعة من الآليات المعتمدة على الخلايا المناعية فضلاً عن مجموعة من الآليات غير المعتمدة على الاستجابات الخلوية، تلعب خلايا البلعميات، خلايا التشجيرية، خلايا القاتلة الطبيعية، وخلايا البدينة، فضلاً عن خلايا كريات الدم البيض دوراً مهماً في الاستجابات المناعية الفطرية؛ بينما تعمل الخلايا المناعية البابية والثانوية على تنظيم وتحفيز الاستجابة المناعية المكتسبة والتي تحدث بعد مدة من الإصابة وتنثر شدتها ب مدى تعرض هذه الخلايا للعامل الممرض وعدد مرات التعرض، ينظم التفاعل الدقيق بين الأنواع المختلفة من الخلايا المناعية باستعمال مجموعة من النوافل التي تدعى

السيتوكينات والكيموكينات والتي تفرز أساساً من الخلايا المناعية وفي بعض الأحيان من الخلايا غير المناعية وتعمل هذه التوافل على السيطرة على الخلايا المناعية وتنظيم استجابتها الخلوية فضلاً عن تحفيز انتقالها إلى مناطق الإصابة .(Iwasaki & Medzhitov, 2015; Sokol & Luster, 2015)

تلعب التغذية المناسبة دوراً أساسياً في توازن ونشاط وفاعلية أعضاء وخلايا الجهاز المناعي، إذ وجد أن بعض الأغذية تمتلك تأثيراً معتدلاً على الجهاز المناعي كما في فيتامين D وأيضاً الأحماض الدهنية (Wu *et al.*, 2019)، بدأ الاهتمام بدراسة تأثير الأحماض الدهنية غير المشبعة على النظام المناعي منذ عقود، مع التركيز على الأحماض الدهنية من مجموعة الأوميغا 3 والأوميغا 6 (كما في استعمال حامض الفالنوليك الموجود في بذور النباتات وحمض إيكوسابنتانويك acid eicosapentaenoic acid ، وحمض دوكوساهيكسانويك acid docosahexaenoic acid اللذان يعدان المكونان الأساسية لزيت السمك) . (Calder, 2014; Paschoal *et al.*, 2013)

تعمل كل من مجموعة الأوميغا 3 و 6 على تعديل استجابات الجهاز المناعية الفاعلة والمنفعة وبطرق ميكانيكيات مختلفة إذ تنتج زيوت الأوميغا مواداً أيضية تمتلك فعاليات تنظيمية مناعية مهمة والتي تدعى pro-resolving mediators والتي تشمل مجاميع مختلفة من البروستاكلاندين والليكوتريين Leukotrienes والثربوكسان thromboxanes والبرونكتين protectins والروزولفين resolvin .(Gutiérrez *et al.*, 2019)

تنوع تأثيرات الأحماض الدهنية غير المشبعة إذ لاحظ Shawky وجماعته في دراستهم لتأثير زيت بذور الكتان وزيت بذور الشمر على الاستجابات المناعية لدجاج اللحم وحدث تحسن معنوي في عدد الكريات البيض مترافقاً مع الزيادة في النسبة المئوية لخلايا الهتروفيل ونشاط عمليات البلعمة (Shawky *et al.*, 2020)، وتوصل Al-zuhairy & taher إلى نتائج مشابهة إذ لاحظ ارتفاعاً معنواً في تعداد كريات الدم البيض وكريات الدم الحمر بصورة معنوية عند تغذية الدجاج على 10% من زيت بذور الكتان (Al-zuhairy & Taher, 2014)، بينما سجل انخفاضاً معنواً في معامل البلعمة مع قلة تكاثر الخلايا المفيدة عند تغذية الدواجن على علبة تحتوي 60% من زيت السمك (Al-Khalaifah & Al-Nasser, 2012)، ووضح Al-Khalifa *et al.*, 2012)

الغنية بمحاميع الأوميغا 3 كزيت بذور الكتان وزيت السمك تسبب زيادة الاستجابة المناعية للدواجن (Al-Khalaifah & Al-Nasser, 2021).

تعمل الزيوت المستخدمة على تعديل استجابة الخلايا البلعمة على المستوى الجيني وبطريق غير متماثلة وذلك لاختلاف تأثير حمض إيكوسابنتاينويك eicosapentaenoic acid، وحمض دوكوساهيكسانويك docosahexaenoic acid على الجينات المحفزة إذ يعزز الأول من جينات تكاثر الخلايا بينما يستهدف الثاني جينات الاستجابات المناعية وبالتالي يؤثران كلاهما في نوعية وطبيعة الحامض الرايبوي الميكروي miRNA وبالتالي يؤثر في التعبير الجيني وانتقال الإشارات الخلوية وتكاثر الخلايا ونموها ونشاطها (Allam-Ndoul *et al.*, 2017; Roessler *et al.*, 2017) ، تعمل زيوت مجموعة الأوميغا 3 على زيادة نشاط البلعمة وذلك بسب تعديل هذه الزيوت لتركيب الجدار الخلوي للخلايا نوعية وكمية الاحماس الدهنية في الزيوت المستخدمة على عملية الانفجار التنفسى إذ لوحظ ازدياد الانفجار التنفسى المترافق مع استعمال الحامض الدهنى يكوسابنتاينويك (Gutiérrez *et al.*, 2019; Paschoal eicosapentaenoic acid *et al.*, 2013).

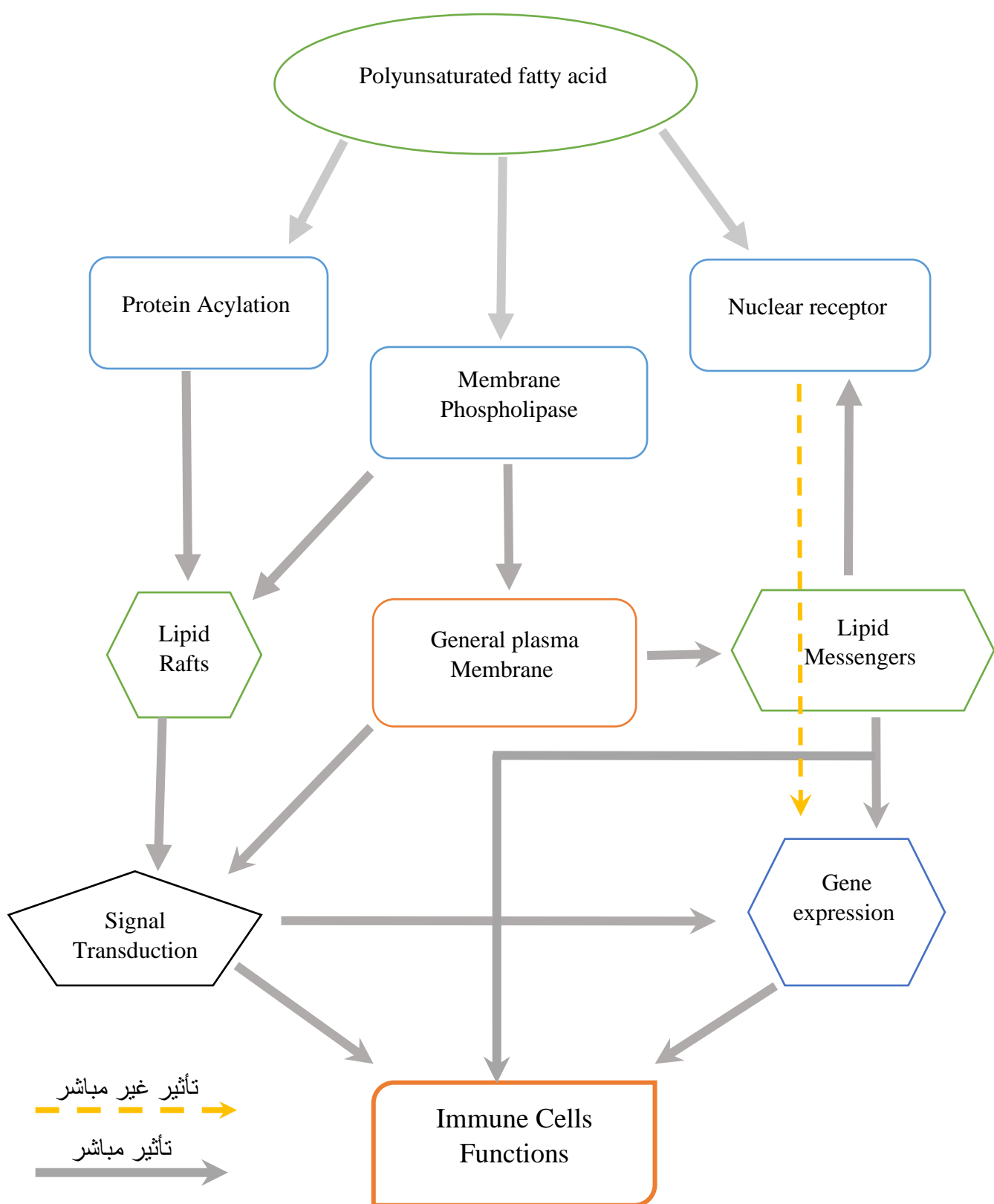
تؤثر مجاميع الأوميغا 3 بشكل موجب في معايير الأجسام المضادة في الدواجن إذ لاحظ Alagawany وجماعته ارتفاعاً معنوياً في معايير الأجسام المضادة ضد فايروس مرض النيوكاسل (Alagawany *et al.*, 2019)، وأشار باحثون آخرون إلى ارتفاع مستويات الأجسام المضادة والحماية لكل من فيروس التهاب القصبات المعدى وفيروس مرض النيوكاسل في الأجنحة الفاقسية حديثاً والتي تم معاملة امهاتها بعلاقة حاوية على زيوت غنية بمحاميع الأوميغا 3 (Kakhki *et al.*, 2021; Kakhki & Kiarie, 2020)، ولاحظ Ebeid وجماعته وجود ارتفاع معنوي في معايير المناعة الخلطية المتمثلة بمستوى الأجسام المضادة لفايروس النيوكاسل بعد معاملة الدواجن لمدة 42 يوماً بعلاقة حاوية على زيت بذور الكتان وزيت السمك (Ebeid *et al.*, 2011)، وأكد Yuming وجماعته و Ghobashy وجماعته ان استعمال الزيوت سابقة الذكر يتسبب بارتفاع مستوى الأجسام المضادة في دجاج البيض مقارنة باستعمال زيت الذرة الغني بمجموعة الأوميغا 6 (Ghobashy *et al.*, 2023; Yuming *et al.*, 2004).

تلعب السيتوكينات دوراً أساسياً في نقل وتنظيم الاستجابات المناعية، أظهرت الدراسات أن زيادة إنتاج البروستاكلاندينات تسبب نقصاً في إنتاج معامل النخر الخلوي Tumor (Ghobashy *et al.*, 2023) و الانترلوكين 6 و necrosis factor .

ونظراً لكون حمض الأركونيك البروستاكلاندينات أحد النواتج الأيضية الناتجة من معاملة الأحماض الدهنية غير المشبعة كما في حالة الأوميغا 3 و 6 لهذا فإن تغذية الحيوانات على زيوت حاوية على نسبة عالية من مجاميع الأوميغا 3 و 6 سوف تؤثر في إنتاج السيتوكينات .(Wang, 2001)

2-3-2-2: الآليات التنظيم المناعي باستخدام الزيوت المعززة

اقترح Stulnig آلية تأثير الزيوت الحاوية على مجاميع الأوميغا 3 و 6 على فعالية النظام المناعي و يعد اقتراحه الأكثر مقبولية إذ أن عمليات الأكسدة و تحلل الدهون باستعمال إنزيمات مثل إنزيم فوسفالايباز phospholipase والسايكلاوجينيز cyclooxygenases والليبوجينيز p450 lipooxygenases فضلاً عن الإنزيمات التنفسية والتي تدعى السايتوكروم cytochrome 450p والتي تسبب إنتاج عوامل بيولوجية مؤثرة تدعى باليكوساينويد eicosanoids والتي تشمل على (البروستاكلاندينات Prostaglandin و ليكوتريين leukotriene الثرمبوكسان thromboxane) فضلاً عن العوامل التي تعمل على السيطرة على التفاعلات الالتهابية والتي تدعى نوافل الحل الأولية pre resolving mediator والتي تسبب إنتاج عوامل ضد الالتهاب بدون تثبيط الجهاز المناعي بأكمله فضلاً عن تخفيض إنتاج السيتوكينات الالتهابية و زيادة إنتاج السيتوكينات ضد الالتهابية (Al-Khalaifah, 2020; Gonzalez, 2008; Stulnig, 2003).



شكل (4): آلية تأثير الزيوت الحاوية على مجاميع الأوميجا 3 و 6 على فعالية نظام المناعة

(Stulnig, 2003)

الفصل الثالث

المواد وطرائق العمل

Materials and Methods

3-1: المواد والأجهزة المستعملة في التجربة

يشمل الجدول (1) المواد والأجهزة المستخدمة والمطلوبة خلال هذه الدراسة:

الجدول (1) المواد والأجهزة المستخدمة في التجربة مع المصدر ومنشأ الشركة المصنعة

المنشأ	الشركة المصنعة	المواد المستعملة	ت
الهند	Vacsure	أنابيب جمع الدم حاوية على Heparin	1
إسبانيا	IVD	أنابيب جمع الدم مع مادة جيلاتينية	2
الصين	Cito test	أنابيب ابندروف	3
الصين	Sptonsin	شرائح زجاجية مجهرية	4
الصين	Sptonsin	حافظة شرائح زجاجية	5
العراق	Iraq golden gate	محاقن طبية	6
-	-	قطن	7
كوريا	Labtech	حجرة زراعة البكتيريا (هود)	8
الصين	Getein animal medical	جهاز تحليل الدم	9
اليابان	Hirayama	مؤصدة رقمية	10
اليابان	Sony	كاميرا رقمية	11
أمريكا	Thermo fisher scientific™	جهاز تقطير الماء	12
تركيا	Profilo	مجمدة (20-)	13
المانيا	Memmert	حاضنة	14

فرنسا/المهد	ABimed Gilson's / Accumax	ماصة دقيقة (Micropipette) بأحجام مختلفة	15
الصين	Olympus CX21 FS1	مجهر ضوئي	16
الصين	Citotest	اطباق بتري (Petri dish)	17
العراق	ER elryan	ثلاثة	18
المملكة المتحدة	aeADAM	ميزان الكتروني حساس	19
العراق	Max media	(احجام مختلفة) Tips	20
هولندا	BioChek	عدة المقاسة المناعية المرتبطة بالإنزيم (ELISA) نوع CK116	21
الصين	Sunlong biotech	عدة (ELISA) نوع SL0040Ch	22
الصين	Sunlong biotech	عدة (ELISA) نوع SL0093Ch	23
الصين	Sunlong biotech	عدة (ELISA) نوع SL0049Ch	24
الصين	Rayto	قارئ المقاسة المناعية المرتبطة بالإنزيم (ELISA Reader)	25

3-1-1: المواد الكيميائية والأوساط الزرعية

يشمل الجدول (2) المواد الكيميائية والأوساط الزرعية المستخدمة خلال هذه الدراسة

الجدول (2) المواد الكيميائية والأوساط الزرعية المستخدمة في التجربة مع المصدر

ومنشأ الشركة المصنعة

المنشأ	الشركة المصنعة	المواد الكيميائية المستخدمة	ت
إسبانيا	Scharlau	كحول الالثيلي %70	1
إسبانيا	Scharlau	ميثانول	2
المملكة المتحدة	----	Oli immersion	3

الولايات المتحدة الأمريكية	Chem Cruz [®]	صبغة Nitroblue tetrazolium chloride (NBT)	4
المملكة المتحدة	Atom scientific	صبغة May-Grünwald-Giemsa stain	5
المملكة المتحدة	Lab M / Neogen	Agar-Agar	6
المملكة المتحدة	Lab M / Neogen	Brain heart infusion agar	7
المملكة المتحدة	Himedia	sabouraud dextrose agar	8

2-3: اللقاح والزيوت المعززة

1-2-3: لقاح النيوكاسل

تم إعطاء لقاح مرض النيوكاسل المبطن عترة (ND Clone 30) والمنتج من شركة (MSD) الهولندية تحت الجلد لأفراخ الدجاج اللحم وفي عمر يوم واحد بجرعة (0.1 مل) لكل فرخ باستعمال مسدس إعطاء ميكانيكي كل جرعة تحتوي على ما لا يقل عن 20 PD_{50} من فايروس مرض النيوكاسل.

وتم إعطاء لقاح مرض النيوكاسل المضعف عترة (Nobilis[®] ND Clone 30) من شركة (MSD) الهولندية لأفراخ دجاج اللحم بعمر (7 و 14 و 21) يوماً بجرعة 2500 جرعة/10 لتر في ماء الشرب (حسب تعليمات الشركة المصنعة للقاح) كل جرعة تحتوي على ما لا يقل عن 10^6 ELD_{50} من فايروس مرض النيوكاسل. وتتضمن التطعيم الخطوات الآتية:

1. عطشت الأفراخ لمدة ساعتين قبل إعطاء اللقاح
2. إذابة اللقاح في ماء نظيف بدرجة حرارة من 15-20[°] م و خالٍ من المطهرات والأملاح
3. بعد إذابة اللقاح أضيفت بودرة الحليب الخالي الدسم بمقدار 2 غم/ لتر
4. أعطي اللقاح أفراخ دجاج اللحم لمدة 3 ساعات (Eidson & Kleven, 1975)

2-2-3: الزيوت المعززة

تم اختيار نسبة (1%) بالاعتماد على الدراسة التجريبية والتي أجريت قبل التجربة الرئيسية وبالاعتماد أيضاً على ما جاء في (Abdulwahid & Mudheher, 2017; Al-zuhairy & Taher, 2014; Sahib *et al.*, 2012).

1-2-2-3: زيت بذور الكتان

تم استعمال زيت بذور الكتان المصنوع من شركة عmad عراقي المنشأ وتم خلطه مع العلف بنسبة (1%) وبواقع 1لتر/100كغم علف وتم خلطه يدوياً ومزجه جيداً مع العلف حتى تجانس معه.

(Omega 3): زيت السمك 2-2-2-3

تم استعمال زيت السمك (Omega 3) المصنوع من قبل شركة HATVET التركية وتم خلطه مع العلف بنسبة (1%) حيث أضيف 1لتر/100كغم علف وتم خلطه يدوياً ومزجه جيداً مع العلف حتى تجانس معه.

3-3: حيوانات التجربة

تم استعمال 288 صوص من أفراخ دجاج اللحم سلالة Ross 308 بعمر يوم واحد والمجهز من قبل مفاس النبراس في محافظة نينوى، وضعت الأفراخ في اقفاص أرضية معزولة داخل قاعة الدواجن التابعة لبيت الحيوان في كلية الطب البيطري / جامعة الموصل ذات الأبعاد 2.5*2.5 م والمفروشة بنشاره الخشب سمك 7 سم وقدم لها الماء والعلف طيلة مدة التجربة واستعمال نظام الإضاءة المستمرة 100 واط لمدة 24 ساعة لكل مجموعة وضبطت درجة الحرارة على 34 °م في الأسبوع الأول ثم خفضت (من 30 إلى 29) °م في الأسبوع الثاني والثالث ولغاية الأسبوع الأخير من التجربة وبنسبة رطوبة 55% (Azis, 2012).

4-3: الاعلاف المستعملة في التجربة

استُخدِمَ في هذه التجربة نوعان من الاعلاف وهما العلف البادي إذ تم إعطائه إلى اليوم العشرين من التجربة والعلف النهائي والذي تم إعطائه إلى نهاية التجربة وتم تجهيز العلف من شركة أربيل فيد لتصنيع الاعلاف والتجارة العامة المحدودة وقد تم فحص العليقة في مختبرات الشركة (مختبر أربيل فيد) وذلك لقياس نسب المكونات الأساسية والطاقة للأعلاف وكانت مكونات العلف البادي كما في الجدول (3) وكانت مكونات العلف النهائي كما في الجدول (4).

جدول (3) نسب المكونات الأساسية والطاقة للعلف البادي

المادة	قيمتها
الطاقة	(سعة حرارية/اكلغم) 3050
البروتين	(%) 22.5
الرماد	(%) 5.25
الرطوبة	(%) 11.4
الدهن	(%) 3
الالياف	(%) 2.98

جدول (4) نسب المكونات الأساسية والطاقة للعلف النهائي

المادة	قيمتها
الطاقة	(سعة حرارية/اكلغم) 3098
البروتين	(%) 21.23
الرماد	(%) 5.1
الرطوبة	(%) 11.45
الدهن	(%) 3.25
الالياف	(%) 3.1

3-5: تحضير الاوساط الزرعية والصبغات

3-5-1: وسط نقيع المخ والقلب **brain heart infusion agar**

تم تحضير الوسط حسب تعليمات الشركة المصنعة عن طريق مزج 37 غم في 1 لتر من الماء المقطر، بعد إذابتها تماماً عن طريق الغليان، تم وضعها في دورق وتعقيمها بواسطة

المؤصدة عند 121°C لمدة 15 دقيقة في 1.5 بار ومن ثم تم تبريدها لدرجة حرارة 45°C ومن ثم صبها في أطباق بتري وتركها لتصلب بدرجة حرارة الغرفة ومن ثم خزنها في الثلاجة بدرجة 4°C.

2-5-2: وسط sabouraud dextrose agar

تم تحضير الوسط حسب تعليمات الشركة المصنعة عن طريق مزج 65 غم من الوسط في 1 لتر من الماء المقطر، ثم إذابتها تماماً عن طريق الغليان، ومن ثم وضعها في دورق وتعقيمها بواسطة المؤصدة عند 121°C و 1.5 بار ضغط ولمدة 15 دقيقة ومن ثم تبريدها لدرجة حرارة 45°C ومن ثم صبها في أنابيب متعددة وبشكل موازي وتركها لتصلب ومن ثم خزنها في الثلاجة بدرجة 4°C.

3-5-3: تحضير صبغة Nitroblue Tetrazolium Chloride

تم تحضير محلول مركز للصبغة بتركيز (0.2%) من صبغة ال Nitroblue Tetrazolium Chloride كما في الجدول (5).

جدول (5) معادلة صبغة ال Nitroblue tetrazolium chloride

Volume	Material
20 ملغم	صبغة Nitroblue tetrazolium chloride
10 مل	ماء مقطر Phosphate buffer saline

تم تحضير محلول العمل عن طريق خلط حجم متساوي من محلول المركز مع الماء المقطر لإعطاء تركيز نهائي بنسبة 0.1%， وتم تخزين محلول الصبغة في الظلام في درجة حرارة الغرفة لعدة أسابيع (Ahmed, 2013; Gooty *et al.*, 2019; Krasimira *et al.*, 2013).

3-6: دراسة الاستجابة المناعية باستخدام اختبار البلعمة

هذا الاختبار انجز بالاعتماد على طريقة العمل التي فسرت بواسطة (Shanmugam *et al.*, 2015) باستعمال فطر المبيضة البيضاء وكما يأتي:

❖ تحضير فطر المبيضة البيضاء

تمت زراعة فطر المبيضة البيضاء والذي مصدره من عزلة محفوظة في مختبر الاحياء المجهرية في كلية الطب البيطري بجامعة الموصل على طبق brain heart infusion agar ولمدة 24 ساعة عند درجة حرارة 37°C وهو طبق مغنى وذلك لغرض تنشيط الفطر ومن ثم تم

اخذ لوب من الطبق وزراعتها على موائل وسط sabouraud dextrose agar وحضنها لمدة 24 ساعة وعند درجة حرارة 37°C، وبعد ذلك تم جمع سبورات فطر المبيضة البيضاء عن طريق إضافة 2 مل من الماء المقطر إلى موائل الوسط الزرعي ورجه جيداً ومن ثم جمع السائل.

❖ اجراء الاختبار

تم اخذ 0.1 مل من الدم مع 0.1 مل من سائل سبورات فطر المبيضة البيضاء المحضر ومن ثم مزجهم جيداً ووضعه في الحاضنة عند درجة 37°C ولمدة 30 دقيقة، ومن ثم إجراء مسحة على الشريحة الزجاجية وثبتتها بواسطة الميثانول وصبغها بصبغة May-Grünwald-Giemsa وبعد ذلك فحصها بواسطة المجهر الضوئي وباستعمال العدسة الزيتية.

❖ نسبة البلعمة يمكن حسابها بالاعتماد على المعادلة الآتية:

نسبة البلعمة = $\frac{\text{عدد الخلايا البلعمية الحاوية على فطر المبيضة البيضاء}}{\text{العدد الكلي للخلايا البلعمية}} \times 100$

7-3: دراسة الاستجابة المناعية باستخدام اختبار الانفجار التنفسى

Respiratory Burst

تمت طريقة عمل هذا الاختبار بالاعتماد على ما جاء في (Ahmed, 2013; Gooty., et al 2019; Shanmugam et al., 2015) وذلك بأخذ 0.1 مل من الدم الموضوع في أنبوب حاوي على الهبارين ووضعه في أنبوب Eppendorf ومزجه مع 0.1 مل من محلول العمل 3-5-3% من صبغة Nitroblue tetrazolium chloride المحضرة كما في الخطوة 3 ووضعه في الحاضنة لمدة 15 دقيقة بدرجة حرارة 37°C.

تحضر مسحة من الدم بعد حضنه بالحاضنة على شريحة زجاجية نظيفة ويثبت باستعمال الميثانول ومن ثم يتم صبغة بصبغة May-Grünwald-Giemsa ولمدة 20 دقيقة ومن ثم فحص العينة بواسطة المجهر الضوئي تحت العدسة الزيتية والتي تستخدم لرؤية حبيبات الـ formazan المكونة داخل الخلايا البلعمية والتي تحسب كنسبة مئوية بالاعتماد على المعادلة الحسابية الآتية:

الانفجار التنفسى = $\frac{\text{عدد الخلايا البلعمية الحاوية على الـ formazan}}{\text{العدد الكلي للخلايا البلعمية}} \times 100$

8-3: قياس معدل كريات الدم البيض

تم قياس معدل كريات الدم البيض ونسبها باستعمال جهاز تحليل الدم الالوتوماتيكي صيني المنشأ من شركة (Getein animal medical) وذلك بعد سحب الدم بأنابيب حاوية على الهيبارين في الأيام (7 و 10 و 17 و 24 و 31) من التجربة تم اجراء الفحوصات في مختبر HPLC للأبحاث العلمية وهو مختبر خاص خارج جامعة الموصل.

9-3: تصميم التجارب

9-1: التجربة الأولى (الأولية)

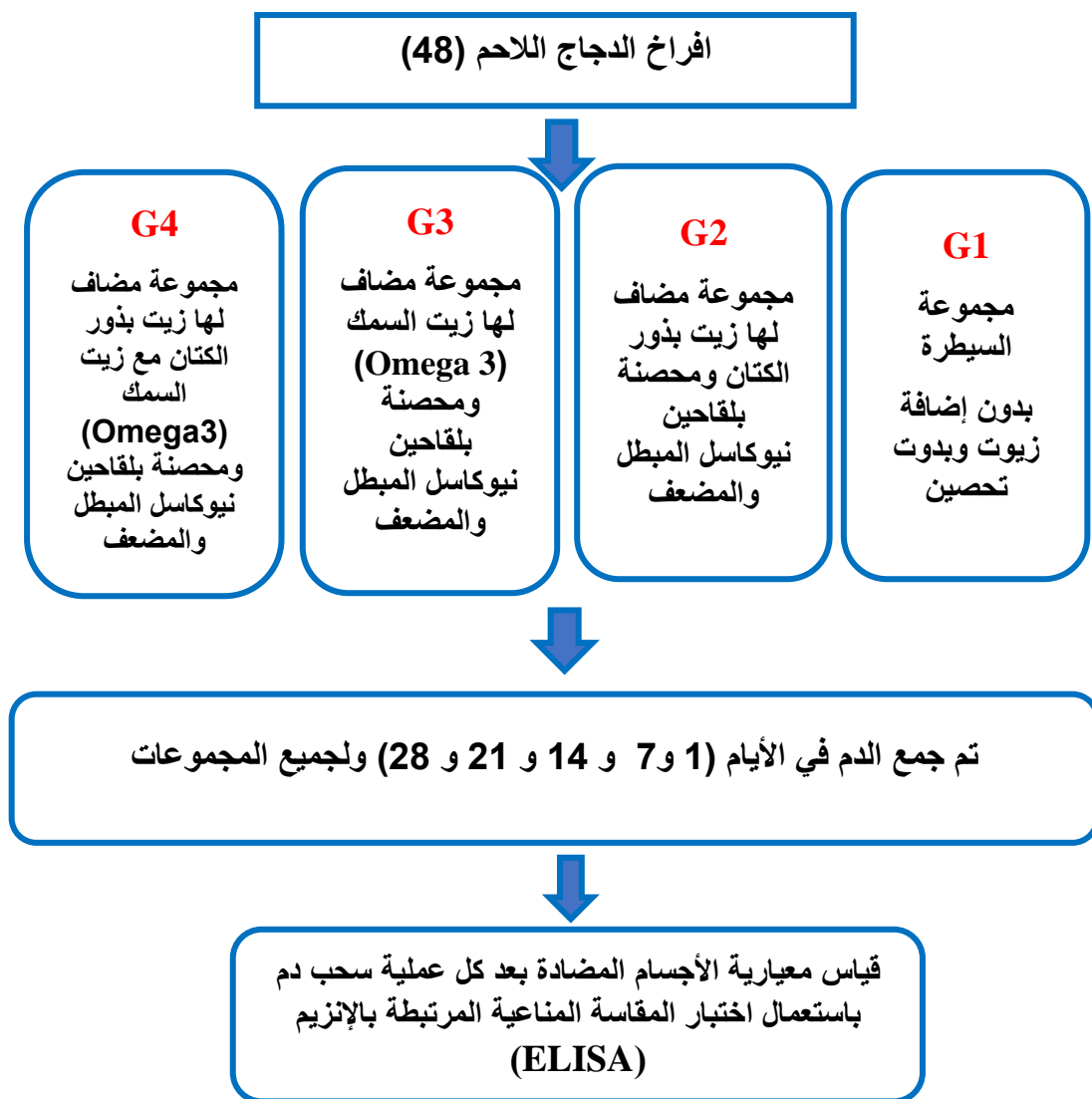
تضمنت الدراسة استعمال 48 من أفراخ دجاج اللحم نوع Ross 308 بعمر يوم واحد وتم تقسيم الأفراخ على أربع مجاميع بواقع 12 فرخاً لكل مجموعة وتمت التربية في قاعة الدواجن التابعة لبيت الحيوانات المختبرية في كلية الطب البيطري / جامعة الموصل لمدة من 2023/7/30 ولغاية 2023/8/29، حصنت الأفراخ بلقاح مرض النيوكاسل خلال الأيام (1 و 7 و 14 و 21) وتم جمع الدم خلال الأيام (1 و 7 و 14 و 21 و 28) على التوالي لقياس معيارية الأجسام المضادة وكانت المجاميع كما يأتي:

المجموعة الأولى G1: مجموعة السيطرة تم إعطائها علماً بدون إضافات وبدون تحصين.

المجموعة الثانية G2: تم تحصينها بلقاحين مرض النيوكاسل المبطل والمضعف مع إضافة زيت بذور الكتان إلى العلف.

المجموعة الثالثة G3: تم تحصينها بلقاحين مرض النيوكاسل المبطل والمضعف مع إضافة زيت السمك (Omega 3) إلى العلف.

المجموعة الرابعة G4: تم تحصينها بلقاح مرض النيوكاسل المبطل والمضعف مع إضافة زيت بذور الكتان وزيت السمك (Omega 3) إلى العلف. الشكل (5)



الشكل (5) تصميم التجربة الأولى (الأولية)

2-9-3: التجربة الثانية (الرئيسة)

تضمنت الدراسة استعمال 240 من أفراخ فروج اللحم نوع Ross 308 بعمر يوم واحد إذ قسمت الأفراخ على ثماني مجامي بواقع 30 فرخاً لكل مجموعة وربت في قاعة الدواجن التابعة لبيت الحيوانات المختبرية في كلية الطب البيطري / جامعة الموصل لمدة من 2023/11/5 ولغاية 2023/12/10 ، وكانت المجاميع كما يأتي:

المجموعة الأولى G1: تم تحصينها بلقاحين مرض النيوكاسل المبطل والمضuffer وتم إعطائهما ماء وعلف فقط.

المجموعة الثانية G2: تم تحصينها بلقاحين مرض النيوكاسل المبطل والمضuffer مع إضافة زيت بذور الكتان بنسبة 1% إلى العلف.

المجموعة الثالثة G3: تم تحسينها بـلـقـاحـين مـرـضـ الـنـيـوـكـاـسـلـ الـمـبـطـلـ وـالـمـضـعـفـ معـ إـضـافـةـ زـيـتـ السـمـكـ (omega 3) بـنـسـبـةـ 1% إـلـىـ الـعـلـفـ.

المجموعة الرابعة G4: تم تحسينها بـلـقـاحـين مـرـضـ الـنـيـوـكـاـسـلـ الـمـبـطـلـ وـالـمـضـعـفـ معـ إـضـافـةـ زـيـتـ بـذـورـ الـكـتـانـ وـزـيـتـ السـمـكـ (omega 3) بـنـسـبـةـ 1% إـلـىـ الـعـلـفـ.

المجموعة الخامسة G5: تم إـضـافـةـ زـيـتـ السـمـكـ (omega 3) بـنـسـبـةـ 1% إـلـىـ الـعـلـفـ وـبـدـونـ تـحـصـينـ.

المجموعة السادسة G6: تم إـضـافـةـ زـيـتـ بـذـورـ الـكـتـانـ بـنـسـبـةـ 1% إـلـىـ الـعـلـفـ وـبـدـونـ تـحـصـينـ.

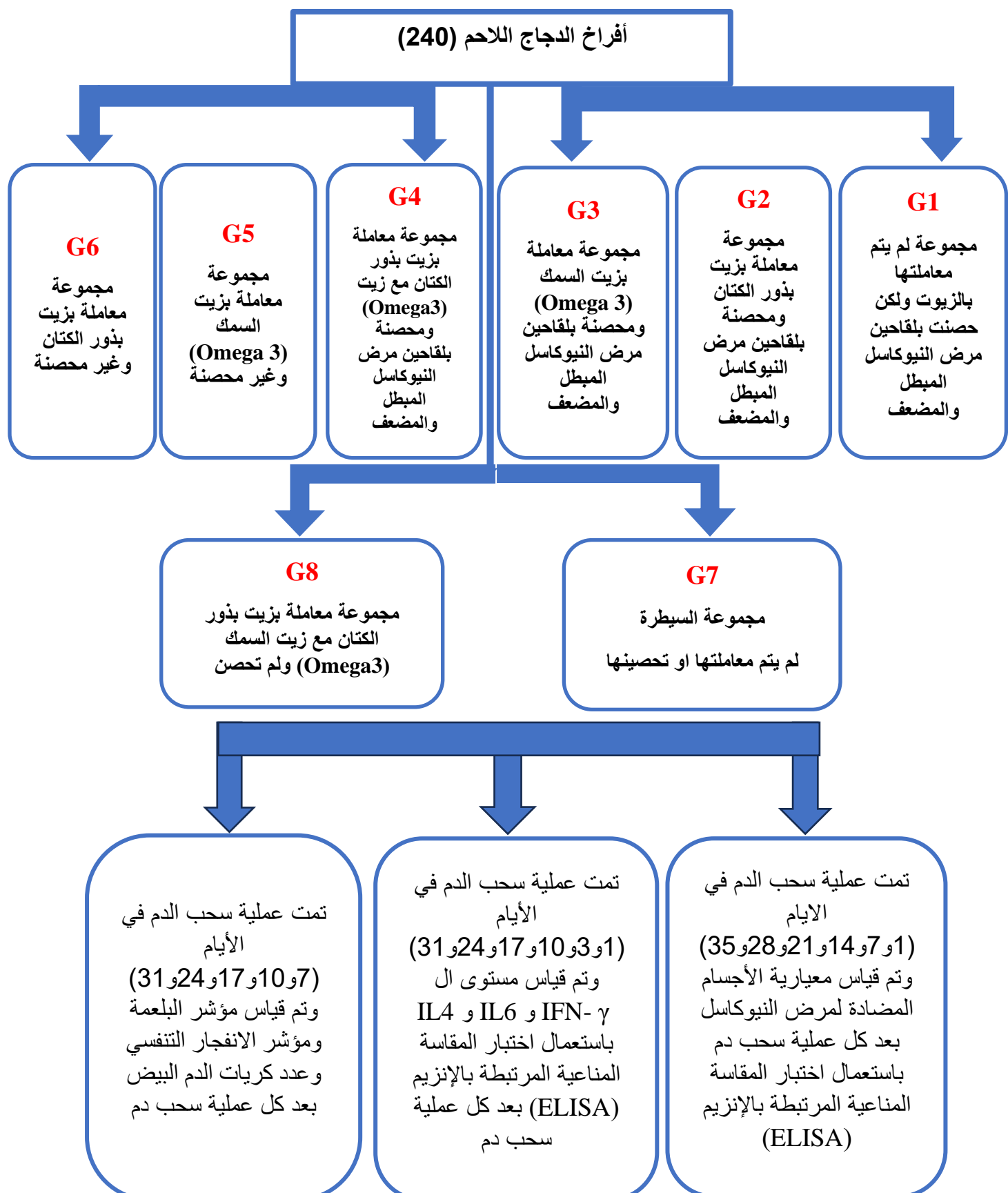
المجموعة السابعة G7: مجموعة السيطرة تم إـعـطـائـهـاـ عـلـفـاـ وـتـرـكـتـ بـدـونـ إـضـافـاتـ وـبـدـونـ تـحـصـينـ.

المجموعة الثامنة G8: تم إـضـافـةـ زـيـتـ بـذـورـ الـكـتـانـ وـزـيـتـ (omega 3) بـنـسـبـةـ 1% إـلـىـ الـعـلـفـ وـبـدـونـ تـحـصـينـ. شـكـلـ (6)

تمت إـضـافـةـ الـزـيـوـتـ إـلـىـ الـعـلـفـ بـشـكـلـ مـسـتـمـرـ حـتـىـ نـهـاـيـةـ الـتـجـرـبـةـ وـلـقـحـتـ الـأـفـرـاـخـ بـلـقـاحـ الـنـيـوـكـاـسـلـ خـلـالـ الـأـيـامـ (1 وـ7 وـ14 وـ21) وـتـمـ سـحـبـ عـيـنـاتـ الـدـمـ مـنـهـاـ لـقـيـاسـ الـمـعـلـمـيـاتـ بـعـدـ إـجـرـاءـ عـمـلـيـاتـ التـحـصـينـ الـمـتـعـاقـبـةـ.

جمع عينات الدم: تم جمع عينات الدم من القلب في الأسابيع الثلاثة الأولى، أما في باقي الأسابيع تم جمع الدم عن طريق الوريد الوداجي في الرقبة إذ جمع في أنابيب حاوية على مادة جيلاتينية لتسرير فصل مصل الدم، وكان جمع الدم في الأيام (1 وـ7 وـ14 وـ21 وـ28 وـ35) واستخدم في الكشف عن الأجسام المضادة لفيروس مرض النيوكاسل وجمع الدم أيضاً في الأيام (1 وـ3 وـ10 وـ17 وـ24 وـ31) واستخدم في الكشف عن المعلميات المناعية (γ -IL-6, IL4, IFN- γ ، وـTـu~b~)، وـتـمـ أـيـضـاـ سـحـبـ الدـمـ فـيـ أـنـابـيبـ حـاوـيـةـ عـلـىـ الـهـيـبـارـينـ وـذـلـكـ لـإـجـرـاءـ اـخـتـيـارـ الـبـلـعـمـةـ وـاـخـتـيـارـ الـانـفـجـارـ الـتـنـفـسـيـ وـلـقـيـاسـ مـعـدـلـ كـرـيـاتـ الـدـمـ الـبـيـضـ وـنـسـبـهـاـ الـمـؤـوـيـةـ وـفـيـ الـأـيـامـ (7 وـ10 وـ17 وـ24 وـ31) وبعد كل عملية جمع تم ترك الدم لغرض التجلط ثم فصل المصل في جهاز الطرد المركزي عند سرعة 3000 دورة/ دقيقة لمدة 15 دقيقة، وـتـمـ حـفـظـ عـيـنـاتـ المـصـلـ فـيـ التـجـمـيدـ عـنـ درـجـةـ -20°C لـحـينـ إـجـرـاءـ الـاـخـتـيـارـاتـ الـلـاحـقـةـ عـلـيـهـ (Tariq *et al.*, 2020).

تم معاملة الحيوانات وفق بروتوكول اخلاقيات البحث العلمي إذ تم سحب الدم بطرق غير مؤذية للحيوانات وذلك حسب التعليمات المقدمة من قبل لجنة رعاية واستعمال الحيوان المؤسسة التابعة لكلية الطب البيطري - جامعة الموصل وحسب الكتاب المرفم



الشكل (6) تصميم التجربة الثانية (الرئيسية)

3-10-3: اختبارات المقاسة المناعية المرتبطة بالإنزيم (ELISA)**3-10-3-1: إجراء اختبار المقاسة المناعية المرتبطة بالإنزيم (ELISA) الخاص بالأجسام المضادة**

تم استعمال عدة المقاسة المناعية المرتبطة بالإنزيم (ELISA) المجهزة من شركة BioChek / الهولندية ذات الرمز الإنتاجي (CK116) من نوع ال (Indirect ELISA) وكانت عدة الاختبار حاوية على المواد الآتية:

1. طبق حاوي على مستضد غير فعال لفايروس مرض النيوكاسل بالحفر الدقيقة في الطبق المطلي.
2. كاشف conjugate.
3. المادة المتفاعلة (الركيزة)
4. محلول التوقف
5. مخفف العينات
6. محلول للغسل
7. السيطرة السالبة
8. السيطرة الموجبة

طريقة العمل: تم عمل هذا الاختبار حسب تعليمات الشركة المصنعة وحسب الخطوات الآتية:
تحضير العينات: تم تخفيف كل عينة بنسبة (1:500) باستعمال مخفف العينات، وتم من خلال خطوتين وكما يأتي:

1. اخذ 5مايكروليتر من العينة ووضعها في حفر مختلفة في طبق خاص للتخفيف وتسجيل موقع كل عينة بالحفرة.
2. يتم إضافة 245مايكروليتر من مخفف العينات لجعل التركيز (1:50) مخففاً.
3. لعمل التخفيف الثاني نضع 90مايكروليتر من مخفف العينات إلى كل حفرة من الطبق الحاوي على مستضد غير فعال لمرض النيوكاسل.
4. اخذ 10مايكروليتر من العينة المخففة (1:50) وتصاف مباشراً إلى الطبق الحاوي على المستضد غير الفعال وبعد هذا التخفيف ستكون العينة مخففة بنسبة (1:500) وفي الطبق الحاوي على المستضد غير الفعال.

اجراء الاختبار:

1. تعليم موقع العينات على الحفر الموجودة في الطبق الحاوي على المستضد غير الفعال.

2. إضافة 100 ملليلتر من السيطرة السالبة في الحفر A1,B1.
3. إضافة 100 ملليلتر من السيطرة الموجبة في الحفر C1,D1.
4. إضافة 100 ملليلتر من العينة المخففة بنسبة (1:500) في حفر منفردة، وتغطية الطبق بورقة بلاستيكية وحضنه بدرجة حرارة الغرفة (27°C) ولمدة 30 دقيقة.
5. يتم إفراغ مكونات الحفرة ومن ثم غسلها 4 مرات باستعمال محلول الغسل (350 ملليلتر لكل حفرة) ومن ثم تنشيف الطبق جيداً لغاية عدم مشاهدة أي رطوبة على الطبق.
6. يتم إضافة 100 ملليلتر من كاشف conjugate ولجميع الحفر ومن ثم تغطية الطبق بورقة بلاستيكية وحضنه بدرجة حرارة الغرفة (27°C) ولمدة 30 دقيقة.
7. إعادة عملية الغسل كما في الخطوة الخامسة.
8. يتم إضافة 100 ملليلتر من المادة المتفاعلة (الركيزة) ولجميع الحفر ومن ثم تغطية الطبق بورقة بلاستيكية وحضنه بدرجة حرارة الغرفة (27°C) ولمدة 15 دقيقة.
9. يتم إضافة 100 ملليلتر من محلول التوقف ولجميع الحفر لتوقيف التفاعل وقراءتها باستعمال قارئ الـ (ELISA) وعند طول موجي 405 نانوميتر) خلال مدة أقصاها 30 دقيقة.
10. تحليل النتائج بالاعتماد على تعليمات الشركة حيث ذكرت إذا كان مدى المعيار 1158 واقل يعني النتيجة سالبة وعدم وجود الأجسام المضادة، أما إذا كان مدى المعيار 1159 وأكثر يعني النتيجة موجبة.

10-3-2: إجراء اختبار المقاسة المناعية المرتبطة بالإنزيم (ELISA) الخاص بالانترفيرون كاما IFN-gamma

تم استعمال عدة المقاسة المناعية المرتبطة بالإنزيم (ELISA) من شركة Sunlong صينية المنشأ ذات الرمز الإنتاجي (SL0040Ch) من نوع (Sandwich ELISA) وكانت عدة الاختبار حاوية على المواد الآتية:

1. طبق حاوي على أجسام مضادة متخصصة بالانترفيرون كاما γ IFN بالحفر الدقيقة في الطبق المطلبي.
2. محلول المعياري (standard)
3. مخفف محلول المعياري (standard diluent)
4. كاشف HRP-Conjugate

5. مخفف العينات

6. محلول الكروموجين A (Chromogen solution A)

7. محلول الكروموجين B (Chromogen solution B)

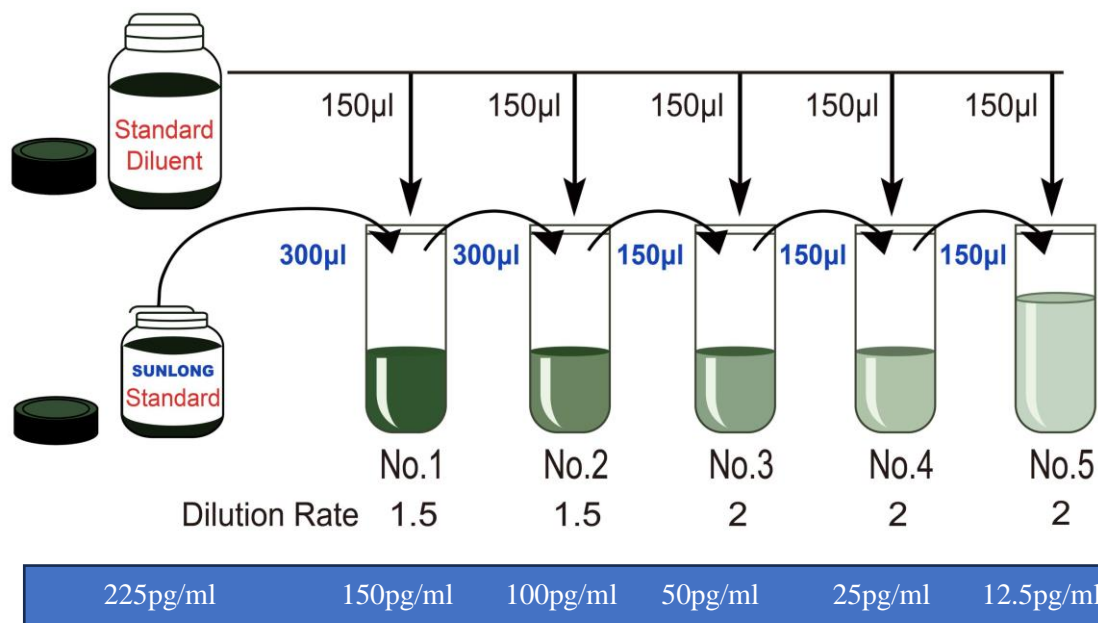
8. محلول التوقف

9. محلول للغسل

طريقة العمل: تم عمل هذا الاختبار حسب تعليمات الشركة المصنعة وحسب الخطوات الآتية:

1. تخفيف محلول المعياري: يتم تخفيف محلول المعياري باستعمال أنابيب صغيرة أولاً، ومن ثم باستعمال ماصة دقيقة إضافة 50 ميكروليتر من كل أنبوب إلى الحفر الصغيرة الموجودة في الطبق الحاوي على الأجسام المضادة وبواقع حفرتين لكل تخفيف وبمجموع عشرة حفر. وكما مبين في شكل (7) وحسب الطريقة الآتية: ملحق رقم (1)

150pg/ml	STD No.1	300μl original STD + 150μl STD diluents
100pg/ml	STD No.2	300μl STD No.1 + 150μl STD diluents
50pg/ml	STD No.3	150μl STD No.2 + 150μl STD diluents
25pg/ml	STD No.4	150μl STD No.3 + 150μl STD diluents
12.5pg/ml	STD No.5	150μl STD No.4 + 150μl STD diluents



الشكل (7) طريقة تخفيف محلول المعياري للإنترفيرون كاما

2. يتم ترك حفرة فارغة سالبة في الطبق الحاوي على الأجسام المضادة، إضافة 40 ملليلتر من محلول تخفيف العينة مع 10 ملليلتر من العينة (ذات معامل التخفيف 1:5) في كل حفرة موجودة في الطبق الحاوي على الأجسام المضادة وتم تعليم مكان كل عينة في الطبق.
3. يتم تغطية الطبق بورقة بلاستيكية ومن ثم حضنه بدرجة حرارة 37°C ولمدة 30 دقيقة.
4. يتم إفراغ مكونات الحفر ومن ثم غسلها 5 مرات باستعمال محلول الغسل (350 ملليلتر لكل حفرة) ومن ثم تنشيف الطبق جيداً لغاية عدم مشاهدة أي رطوبة على الطبق.
5. يتم إضافة 50 ملليلتر من كاشف HRP-Conjugate ولجميع الحفر ومن ثم تغطية الطبق بورقة بلاستيكية وحضنه بدرجة حرارة (37°C) ولمدة 30 دقيقة.
6. إعادة عملية الغسل كما في الخطوة الرابعة.
7. يتم إضافة 50 ملليلتر من Chromogen Solution A مع إضافة 50 ملليلتر من Chromogen Solution B ولجميع الحفر ومزجها بصورة بطيئة ومن ثم تغطية الطبق بورقة بلاستيكية وحضنه بدرجة حرارة (37°C) ولمدة 15 دقيقة مع تجنب الضوء في هذه الخطوة ونلاحظ تكون اللون الأزرق دليلاً على حدوث التفاعل.
8. يتم إضافة 50 ملليلتر من محلول التوقف ولجميع الحفر لتوقيف التفاعل وقراءتها باستعمال قارئ الـ (ELISA) وعند طول موجي (450 نانوميتر) خلال مدة أقصاها 15 دقيقة.
9. تحليل النتائج: حيث ان (assay range is: 2.8pg/ml – 180pg/ml).

3-10-3: إجراء اختبار المقاسة المناعية المرتبطة بالإنزيم (ELISA) الخاص بالانترلوكين (IL-6) 6

تم استعمال عدة المقاسة المناعية المرتبطة بالإنزيم (ELISA) من شركة Sunlong صينية المنشأ ذات الرمز الإنتاجي (SL0093Ch) من نوع (Sandwich ELISA) وكانت عدة الاختبار حاوية على المواد الآتية:

1. طبق حاوي على أجسام مضادة متخصصة بالانترلوكين 6 (IL-6) بالحفر الدقيقة في الطبق المطلي.
2. محلول المعياري (standard).
3. مخفف محلول المعياري (standard diluent).

4. كاشف HRP-Conjugate

5. مخفف العينات

6. محلول الكروموجين A (Chromogen solution A)

7. محلول الكروموجين B (Chromogen solution B)

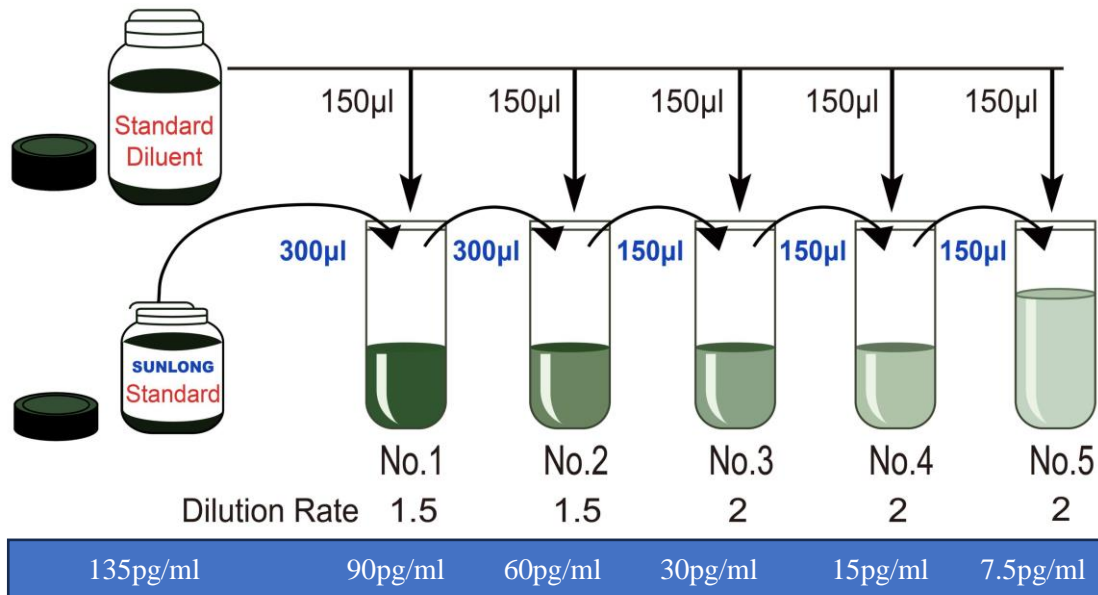
8. محلول التوقف

9. محلول للغسل

طريقة العمل: تم عمل هذا الاختبار حسب تعليمات الشركة المصنعة وحسب الخطوات الآتية:

1. تخفيف محلول المعياري: يتم تخفيف محلول المعياري باستعمال أنابيب صغيرة أولاً، ومن ثم باستعمال ماصة دقيقة إضافة 50 ميكروليتر من كل أنبوب إلى الحفر الصغيرة الموجودة في الطبق الحاوي على الأجسام المضادة وبواقع حفرتين لكل تخفيف وبمجموع عشرة حفر. وكما مبين في شكل (8) وحسب الطريقة الآتية: ملحق رقم (1)

90pg/ml	STD No.1	300 μ l original STD + 150 μ l STD diluents
60pg/ml	STD No.2	300 μ l STD No.1 + 150 μ l STD diluents
30pg/ml	STD No.3	150 μ l STD No.2 + 150 μ l STD diluents
15pg/ml	STD No.4	150 μ l STD No.3 + 150 μ l STD diluents
7.5pg/ml	STD No.5	150 μ l STD No.4 + 150 μ l STD diluents



الشكل (8) طريقة تخفيف محلول المعياري للانترلوكين 6

2. يتم ترك حفرة فارغة كسيطرة سالبة في الطبق الحاوي على الأجسام المضادة، إضافة 40 ملليلتر من محلول تخفيف العينة مع 10 ملليلتر من العينة (ذات معامل التخفيف 1:5) في كل حفرة موجودة في الطبق الحاوي على الأجسام المضادة ويتم تعليم مكان كل عينة في الطبق.
3. يتم تغطية الطبق بورقة بلاستيكية ومن ثم حضنه بدرجة حرارة 37°C ولمدة 30 دقيقة.
4. يتم افراج مكونات الحفرة ومن ثم غسلها 5 مرات باستعمال محلول الغسل (350 ملليلتر لكل حفرة) ومن ثم تنشيف الطبق جيداً لغاية عدم مشاهدة أي رطوبة على الطبق.
5. يتم إضافة 50 ملليلتر من كاشف HRP-Conjugate ولجميع الحفر ومن ثم تغطية الطبق بورقة بلاستيكية وحضنه بدرجة حرارة (37°C) ولمدة 30 دقيقة.
6. إعادة عملية الغسل كما في الخطوة الرابعة.
7. يتم إضافة 50 ملليلتر من Chromogen Solution A مع إضافة 50 ملليلتر من Chromogen Solution B ولجميع الحفر ومزجها بصورة بطيئة ومن ثم تغطية الطبق بورقة بلاستيكية وحضنه بدرجة حرارة (37°C) ولمدة 15 دقيقة مع تجنب الضوء في هذه الخطوة ونلاحظ تكون اللون الأزرق دليلاً على حدوث التفاعل.
8. يتم إضافة 50 ملليلتر من محلول التوقف ولجميع الحفر لتوقيف التفاعل وقراءتها باستعمال قارئ الـ (ELISA) وقراءتها عند طول موجي (450 نانومتر) خلال مدة أقصاها 15 دقيقة.
9. تحليل النتائج: حيث ان (assay range is: 1.6 pg/ml – 100 pg/ml).

4-10-3: إجراء اختبار المقاسة المناعية المرتبطة بالإنزيم (ELISA) الخاص بالانترلوكين (IL-4) 4

تم استعمال عدة المقاسة المناعية المرتبطة بالإنزيم (ELISA) من شركة Sunlong صينية المنشأ ذات الرمز الإنتاجي (SL0049Ch) من نوع (Sandwich ELISA) وكانت عدة الاختبار حاوية على المواد الآتية:

1. طبق حاوي على أجسام مضادة متخصصة بالانترلوكين 4 (IL-4) بالحفر الدقيقة في الطبق المطلي.
2. محلول المعياري (standard).
3. مخفف محلول المعياري (standard diluent).

4. كاشف HRP-Conjugate

5. مخفف العينات

6. محلول الكروموجين A (Chromogen solution A)

7. محلول الكروموجين B (Chromogen solution B)

8. محلول التوقف

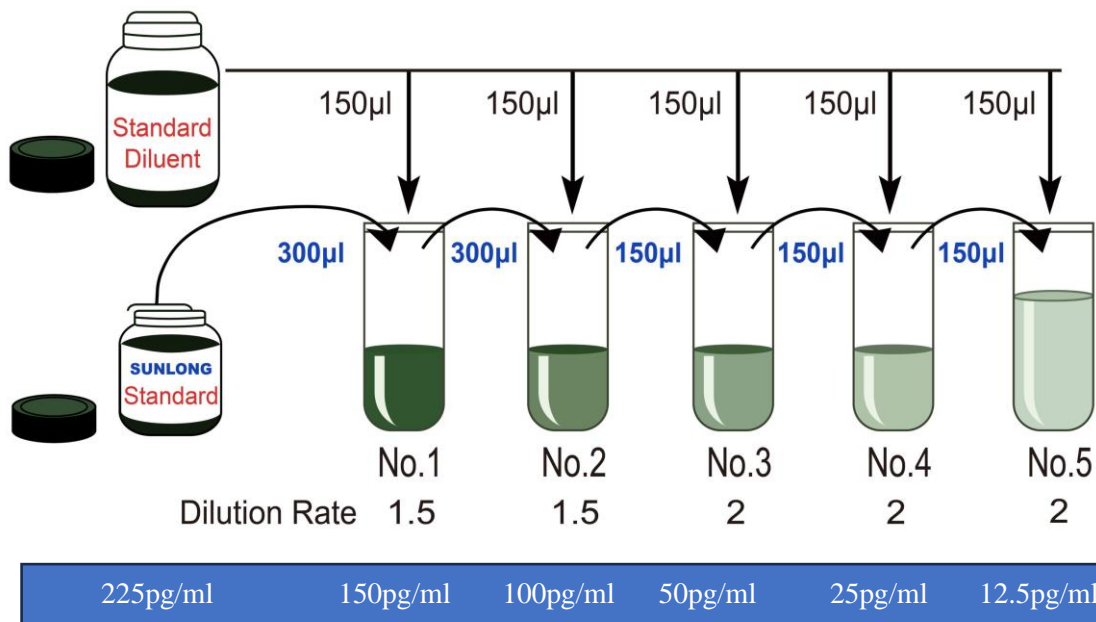
9. محلول للغسل

طريقة العمل: تم عمل هذا الاختبار حسب تعليمات الشركة المصنعة وحسب الخطوات الآتية:

1. تخفيف محلول المعياري: يتم تخفيف محلول المعياري باستعمال أنابيب صغيرة أولاً،

ومن ثم باستعمال ماصة دقيقة إضافة 50 ميكروليتر من كل أنبوب إلى الحفر الصغيرة الموجودة في الطبق الحاوي على الأجسام المضادة وبواقع حفرتين لكل تخفيف وبمجموع عشرة حفر. وكما مبين في شكل (9) وحسب الطريقة الآتية: ملحق رقم (1)

150pg/ml	STD No.1	300μl original STD + 150μl STD diluents
100pg/ml	STD No.2	300μl STD No.1 + 150μl STD diluents
50pg/ml	STD No.3	150μl STD No.2 + 150μl STD diluents
25pg/ml	STD No.4	150μl STD No.3 + 150μl STD diluents
12.5pg/ml	STD No.5	150μl STD No.4 + 150μl STD diluents



الشكل (9) طريقة تخفيف محلول المعياري للانترلوكين 4

2. يتم ترك حفرة فارغة كسيطرة سالبة في الطبق الحاوي على الأجسام المضادة، إضافة 40 ملليلتر من محلول تخفيف العينة مع 10 ملليلتر من العينة (ذات معامل التخفيف: 1:5) في كل حفرة موجودة في الطبق الحاوي على الأجسام المضادة ويتم تعليم مكان كل عينة في الطبق.
3. يتم تغطية الطبق بورقة بلاستيكية ومن ثم حضنه بدرجة حرارة 37°C ولمدة 30 دقيقة.
4. يتم إفراغ مكونات الحفرة ومن ثم غسلها 5 مرات باستعمال محلول الغسل (350 ملليلتر لكل حفرة) ومن ثم تنشيف الطبق جيداً لغاية عدم مشاهدة أي رطوبة على الطبق.
5. إضافة 50 ملليلتر من كاشف HRP-Conjugate ولجميع الحفر ومن ثم تغطية الطبق بورقة بلاستيكية وحضنه بدرجة حرارة (37°C) ولمدة 30 دقيقة.
6. إعادة عملية الغسل كما في الخطوة الرابعة.
7. يتم إضافة 50 ملليلتر من Chromogen Solution A مع إضافة 50 ملليلتر من Chromogen Solution B ولجميع الحفر ومزجها بصورة بطيئة ومن ثم تغطية الطبق بورقة بلاستيكية وحضنه بدرجة حرارة (37°C) ولمدة 15 دقيقة مع تجنب الضوء في هذه الخطوة ونلاحظ تكون اللون الأزرق دليلاً على حدوث التفاعل.
8. يتم إضافة 50 ملليلتر من محلول التوقف ولجميع الحفر لتوقيف التفاعل وقراءتها باستعمال قارئ الـ (ELISA) وقراءتها عند طول موجي (450 نانوميتر) خلال مدة أقصاها 15 دقيقة.
9. تحليل النتائج: حيث ان (assay range is: 2.6 pg/ml – 180 pg/ml).

11-3: التحليل الاحصائي

تم استعمال الوسط الحسابي (Mean) للمجاميع المختلفة إذ استخدم اختبار T لإيجاد فروق معنوية بين ازواج العينات المترابطة المتمثلة هنا بالمدة الزمنية في أيام التجربة وكل مجموعة من المجاميع الثمانية (G1, G2, G3, G4, G5, G6, G7, G8) على التوالي.

وتم استعمال الاختبار (One way ANOVA) بالإضافة إلى اختبار Dunn لبيان معنوية العينات المستقلة بين كل مجموعة من المجاميع الثمانية (G1, G2, G3, G4, G5, G6, G7, G8) وفي كل من أيام التجربة، وتم استعمال برنامج (IBM SPSS Version 24) لتحليل البيانات (Denis, 2021)، وتم إجراء التحليل الإحصائي في المكتب الاستشاري الإحصائي التابع لجامعة الموصل. ملحق رقم (3)

الفصل الرابع

النتائج

Results

4-1: نتائج التجربة الأولى (الأولية)

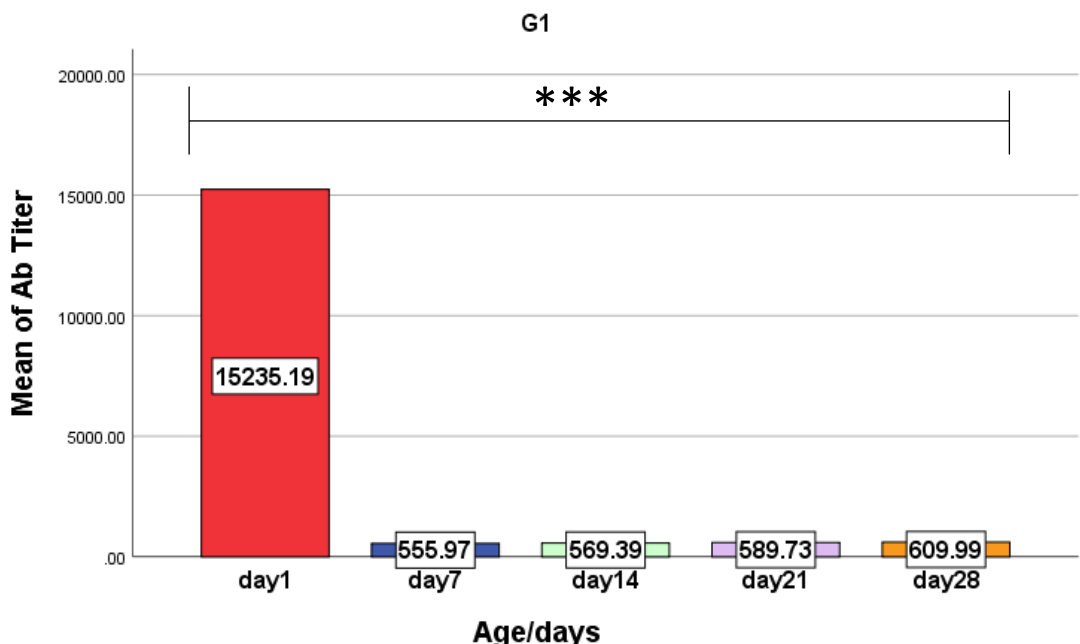
بيّنت نتائج التجربة الأولى (الأولية) إمكانية استعمال الزيوت بتركيز 1% مع العلقة دون وجود أي تأثير ضار على حيوانات التجربة.

4-1-1: نتائج قياس معيارية الأجسام المضادة لمرض النيوكاسل

4-1-1-1: مقارنة معايير الأجسام المضادة في الأسابيع المختلفة ضمن المجموعة الأولى

أظهرت النتائج فروقاً معنوية بين جميع الأسابيع في المجموعة الأولى عند مستوى معنوية ($p<0.05$) إذ سجلت أعلى قيمة للأجسام المضادة في اليوم الأول للتجربة ومن ثم انخفضت لتصل إلى أقل قيمة لها في اليوم السابع ومن ثم ارتفعت ارتفاعاً طفيفاً جداً حتى نهاية التجربة.

شكل (10)



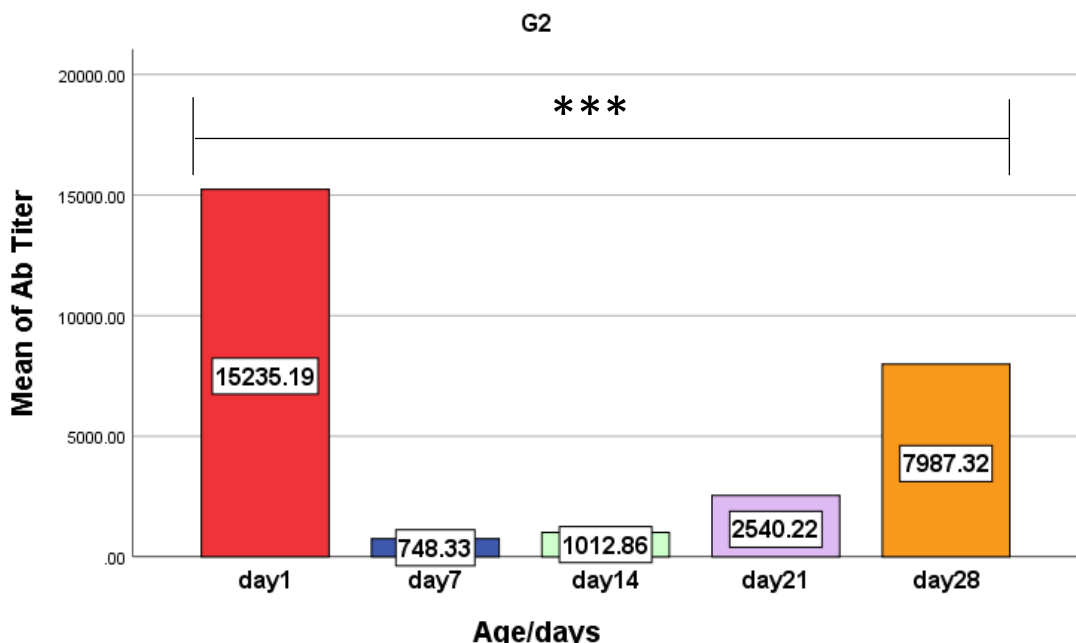
(***) القيم تختلف معنويًا عند مستوى احتمالية $p<0.05$.

شكل (10) مقارنة معايير الأجسام المضادة في المجموعة الأولى

4-1-1-4: مقارنة معايير الأجسام المضادة في الأسابيع المختلفة ضمن المجموعة الثانية

أظهرت النتائج فروقاً معنوية بين جميع الأسابيع في المجموعة الثانية عند مستوى احتمالية ($p<0.05$) إذ بلغت أعلى قيمة لمعيارية الأجسام المضادة في اليوم الأول للتجربة ومن ثم انخفضت إلى أقل قيمة لها في اليوم السابع للتجربة ومن ثم ارتفعت تدريجياً إلى نهاية التجربة.

شكل (11)

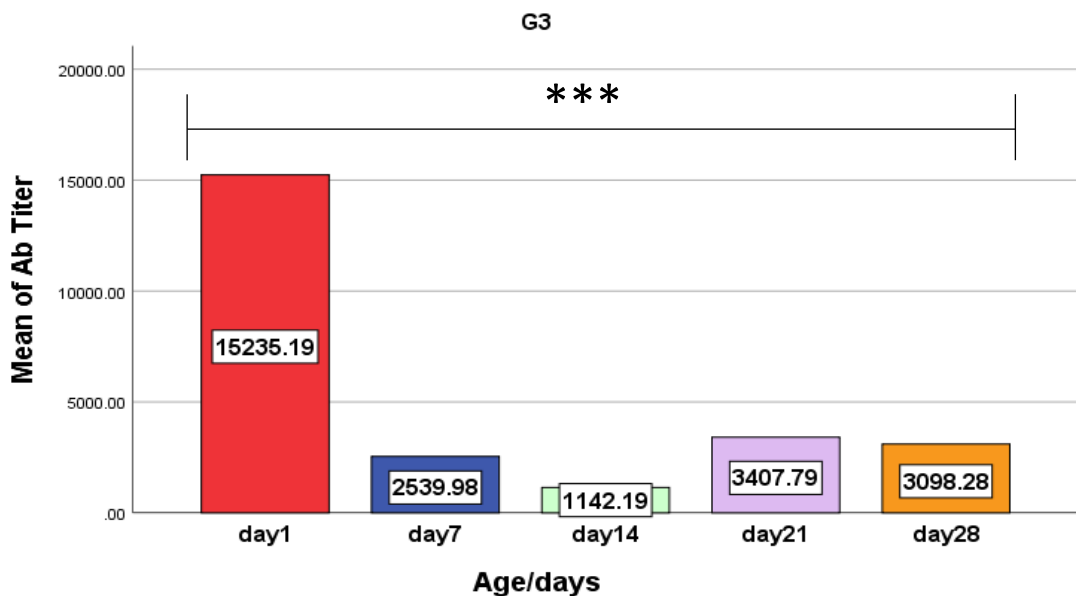


(**) القيم تختلف معنويًا عند مستوى احتمالية $p<0.05$.

شكل (11) مقارنة معايير الأجسام المضادة في المجموعة الثانية**4-1-1-4: مقارنة معايير الأجسام المضادة في الأسابيع المختلفة ضمن المجموعة الثالثة**

أظهرت النتائج فروقاً معنوية بين جميع الأسابيع في المجموعة الثالثة عند مستوى احتمالية ($p<0.05$) إذ بلغت أعلى قيمة لمعيارية الأجسام المضادة في اليوم الأول للتجربة ثم انخفضت تدريجياً حتى بلغت أقل قيمة لها في اليوم الرابع عشر للتجربة ومن ثم ارتفعت في اليوم الحادي والعشرين للتجربة وبعدها انخفضت بشكل طفيف في اليوم الثامن والعشرين للتجربة. شكل

(12)

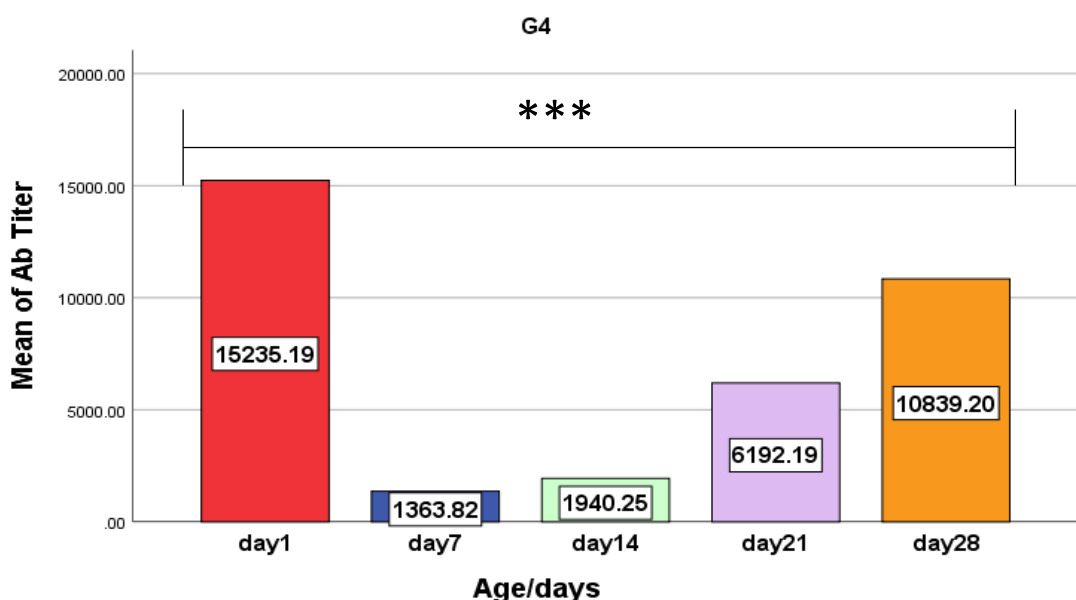


(***) القيم تختلف معنوياً عند مستوى احتمالية $p<0.05$.

شكل (12) مقارنة معايير الأجسام المضادة في المجموعة الثالثة

4-1-1-4: مقارنة معايير الأجسام المضادة في الأسابيع المختلفة ضمن المجموعة الرابعة

أظهرت النتائج فروقاً معنوية بين جميع الأسابيع في المجموعة الرابعة عند مستوى احتمالية ($p<0.05$) إذ بلغت أعلى قيمة لمعيارية الأجسام المضادة في اليوم الأول للتجربة ثم انخفضت إلى أقل قيمة لها في اليوم السابع للتجربة ثم ارتفعت ارتفاعاً تدريجياً إلى اليوم الثامن والعشرين للتجربة. شكل (13)

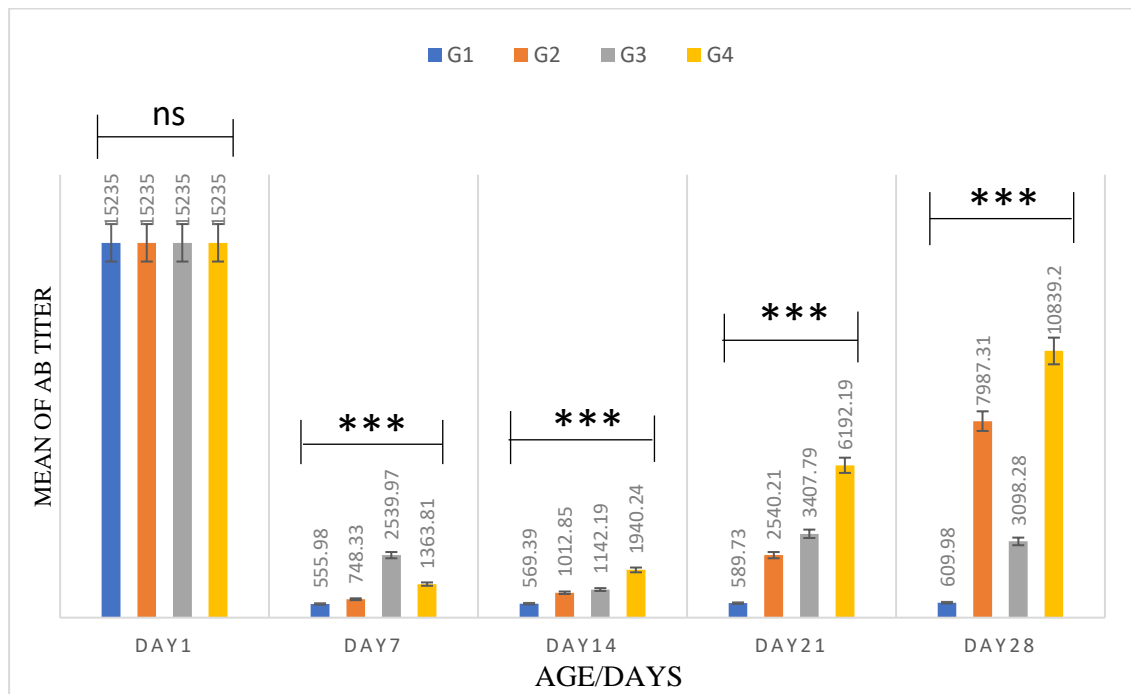


(***) القيم تختلف معنوياً عند مستوى احتمالية $p<0.05$.

شكل (13) مقارنة معايير الأجسام المضادة في المجموعة الرابعة

4-1-1-4: مقارنة معايير الأجسام المضادة في أيام التجربة وبين المجاميع المختلفة

في هذه المقارنة تم استعمال اختبار (One way ANOVA) بالإضافة إلى اختبار دنكن للعينات المستقلة، إذ ظهر عدم وجود فروق معنوية بين المجاميع في اليوم الأول للتجربة بينما سجلت فروقات معنوية بين مجاميع التجربة ضمن الأيام المختلفة (اليوم السابع والرابع عشر والواحد والعشرين والثامن والعشرين) بين جميع مجاميع التجربة الملقحة والمعاملة بالزيوت وغير الملقحة وغير المعاملة بالزيوت وسجلت المجاميع المختلفة أعلى قيمة لمعيارية الأجسام المضادة خلال اليوم الثامن والعشرين من التجربة وبلغ أعلى قيمة لمعيارية الأجسام المضادة في المجموعة الرابعة (G4) والتي كانت ($0,78 \pm 10839,2$) بينما سجلت المجموعة الثالثة (G3) أعلى معيار للأضداد في اليوم الواحد والعشرين واظهرت المجموعة الأولى (G1) تناقصاً مطرداً للأضداد ليصل إلى ($0,57 \pm 609,98$) في اليوم الثامن والعشرين من التجربة. شكل (14)



(***) القيم تختلف معنويًّا عند مستوى احتمالية $p < 0.05$

(ns) لا يوجد فرق معنوي عند مستوى احتمالية $p > 0.05$

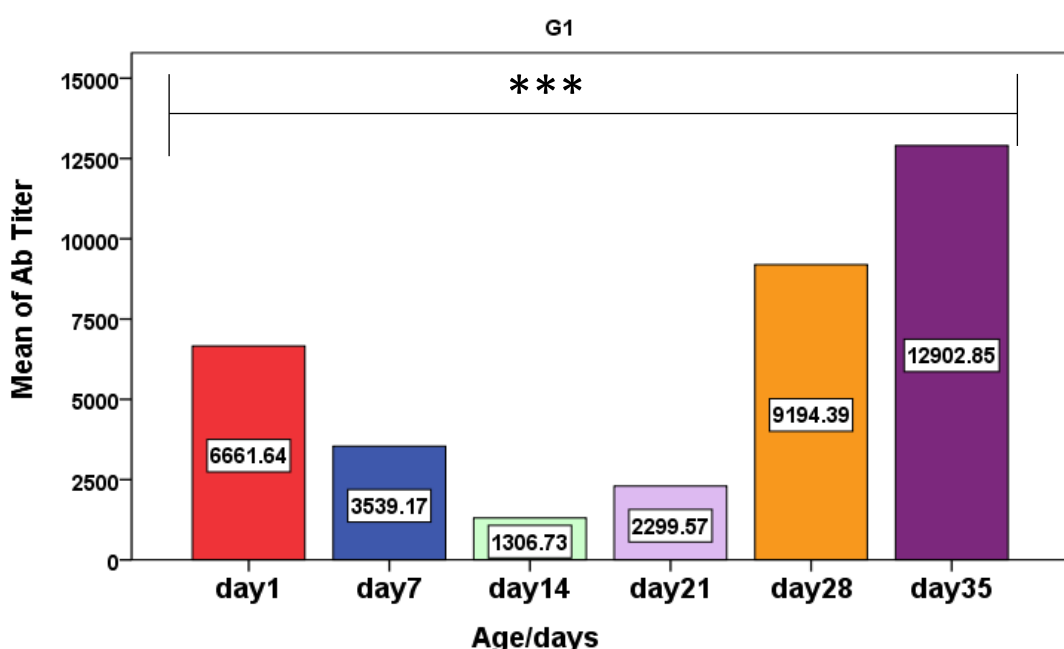
شكل (14) مقارنة معايير الأجسام المضادة في أيام التجربة وبين المجاميع المختلفة

4-2: نتائج التجربة الثانية (الرئيسة)

4-2-1: نتائج قياس معيارية الأجسام المضادة لمرض النيوكاسل

4-1-2-4: مقارنة معايير الأجسام المضادة في الأسابيع المختلفة ضمن المجموعة الأولى

أظهرت النتائج وجود فروقٍ معنوية بين جميع الأسابيع في المجموعة الأولى عند مستوى احتمالية ($p < 0.05$) إذ لوحظ انخفاض معيارية الأجسام المضادة لتصل أقل قيمة لها في اليوم الرابع عشر ثم بدأت معايير الأجسام المضادة بالارتفاع حتى وصلت أعلى قيمة لها في اليوم الخامس والثلاثين. شكل (15)

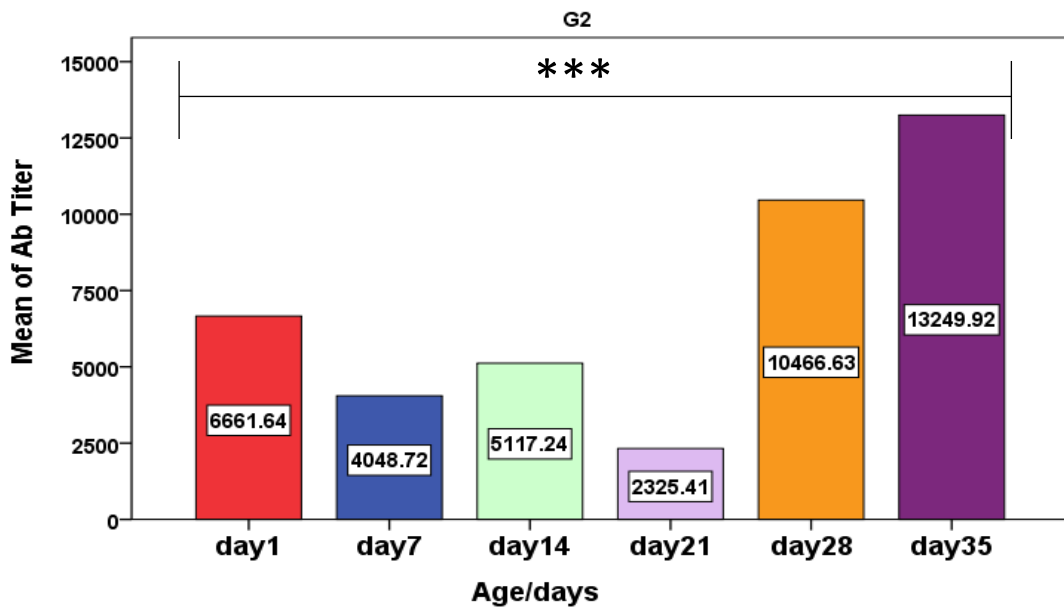


(***) القيم تختلف معنويًا عند مستوى احتمالية $p < 0.05$.

شكل (15) مقارنة معايير الأجسام المضادة في المجموعة الأولى

4-1-2-4: مقارنة معايير الأجسام المضادة في الأسابيع المختلفة ضمن المجموعة الثانية

أظهرت النتائج وجود فروقٍ معنوية بين جميع الأسابيع في المجموعة الثانية عند مستوى احتمالية ($p < 0.05$) إذ تراوحت معيارية الأجسام المضادة بين الارتفاع والانخفاض لتسجل أقل قيمة لها في اليوم الحادي والعشرين متباينةً بارتفاع مطرد لتصل لأعلى قيمة لها في اليوم الخامس والثلاثين من التجربة. شكل (16)

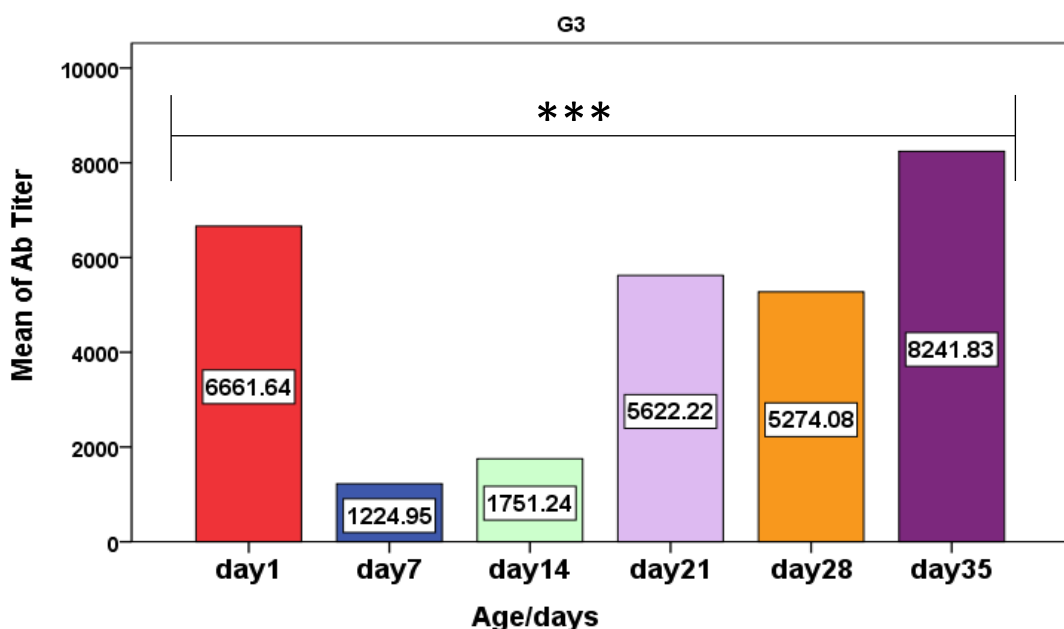


(***) القيم تختلف معنوياً عند مستوى احتمالية $p < 0.05$

شكل (16) مقارنة معايير الأجسام المضادة في المجموعة الثانية

3-1-2-4: مقارنة معايير الأجسام المضادة في الأسابيع المختلفة ضمن المجموعة الثالثة

بيّنت النتائج وجود فروقٍ معنوية بين جميع الأسابيع في المجموعة الثالثة عند مستوى احتمالية ($p < 0.05$)، لوحظ ارتفاع معايير الأجسام المضادة في اليوم الأول للتجربة ومن ثم تم تسجيل أقل قيمة لمعيارية الأجسام المضادة في اليوم السابع للتجربة، وسجل أعلى قيمة معيارية للأجسام المضادة في اليوم الخامس والثلاثين. شكل (17)

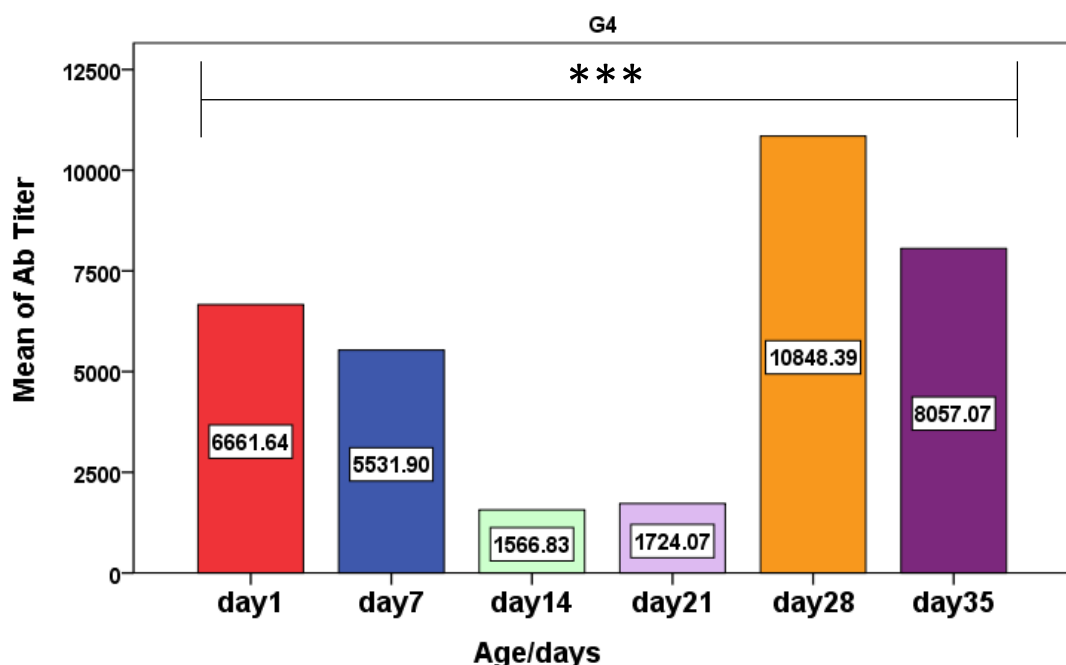


(***) القيم تختلف معنويًا عند مستوى احتمالية $p < 0.05$

شكل (17) مقارنة معايير الأجسام المضادة في المجموعة الثالثة

4-2-4: مقارنة معايير الأجسام المضادة في الأسابيع المختلفة ضمن المجموعة الرابعة

سجلت أفراد المجموعة الرابعة فروقاً معنوية بين جميع الأسابيع في المجموعة الرابعة عند مستوى احتمالية ($p < 0.05$) إذ لوحظ ارتفاع في اليوم الأول للتجربة ومن ثم انخفض حتى وصل أقل قيمة لمعيارية الأجسام المضادة في اليوم الرابع عشر للتجربة ومن ثم ارتفع معيار الأضداد ليبلغ أعلى قيمة في اليوم الثامن والعشرين للتجربة اتبّعه انخفاض طفيف في اليوم الخامس والثلاثين من التجربة. شكل (18)

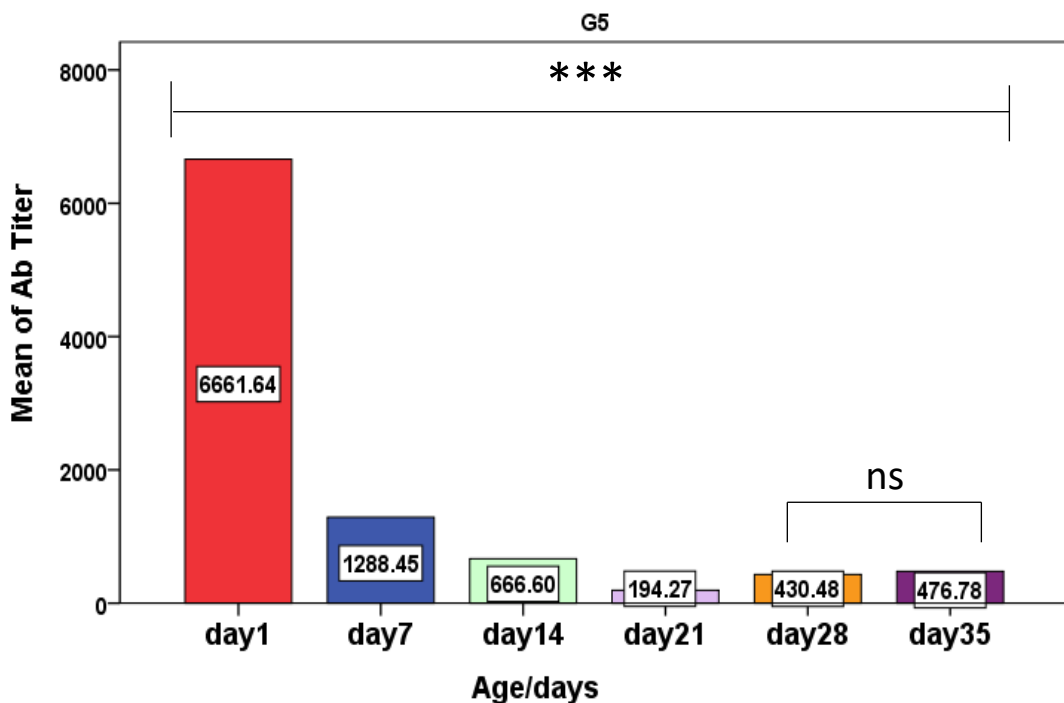


(***) القيم تختلف معنويًّا عند مستوى احتمالية $p < 0.05$.

شكل (18) مقارنة معايير الأجسام المضادة في المجموعة الرابعة

4-2-4: مقارنة معايير الأجسام المضادة في الأسابيع المختلفة ضمن المجموعة الخامسة

بيّنت النتائج وجود فروقٍ معنوية بين الأسابيع المختلفة لهذه المجموعة باستثناء يومي (28 و 35) إذ لم يسجل وجود فرق معنوي بينهم عند مستوى احتمالية ($p < 0.05$), وسجلت أعلى قيمة لمعيارية الأجسام المضادة في اليوم الأول ومن ثم انخفضت معيارية الأجسام المضادة لتبلغ أقل قيمة لها في اليوم الحادي والعشرين متّبعةً بارتفاع في الأسبوعين الأخيرين من التجربة. شكل (19)



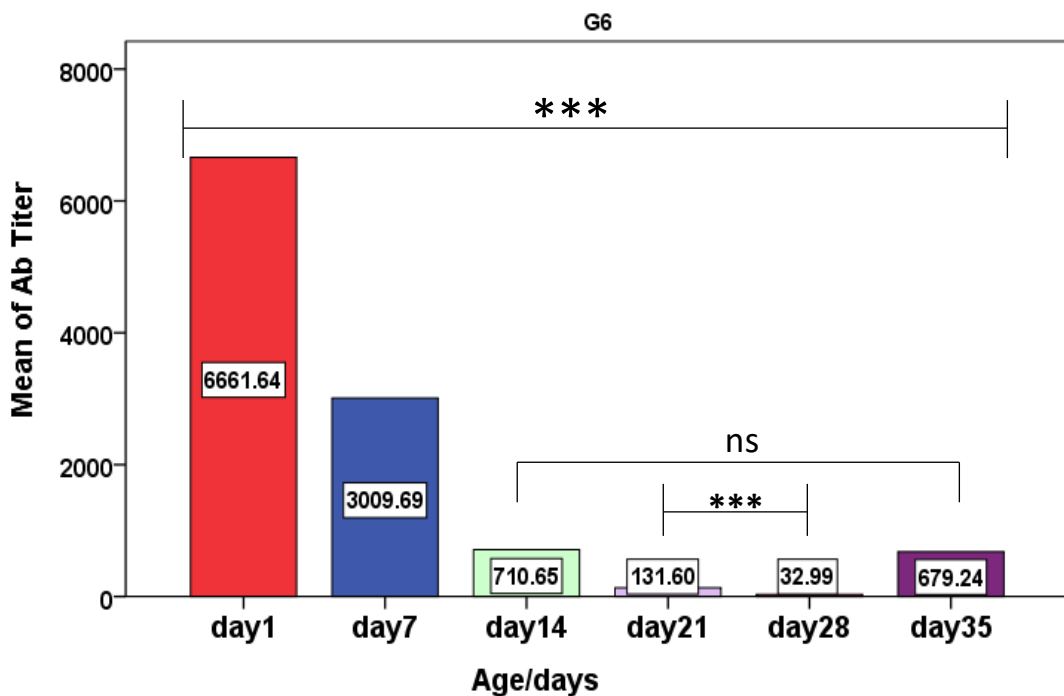
(***) القيم تختلف معنوياً عند مستوى احتمالية $p < 0.05$

.(ns) لا يوجد فرق معنوي عند مستوى احتمالية $p > 0.05$

شكل (19) مقارنة معايير الأجسام المضادة في المجموعة الخامسة

4-6-1-2-4: مقارنة معايير الأجسام المضادة في الأسابيع المختلفة ضمن المجموعة السادسة

أظهرت النتائج انخفاضاً معنوياً عند مستوى احتمالية ($p < 0.05$) لمعايير الأجسام المضادة ضمن أفراد المجموعة السادسة مع تقدم أيام التجربة باستثناء يومي (14 و 35) فلا يوجد فرق معنوي بينهم، إذ سجلت أعلى قيمة لمعايير الأجسام المضادة في اليوم الأول من التجربة ومن ثم انخفضت قيمة معيارية الأجسام المضادة تدريجياً مع الأيام حتى بلغت أقل قيمة لها في اليوم الثامن والعشرين من التجربة. شكل (20)



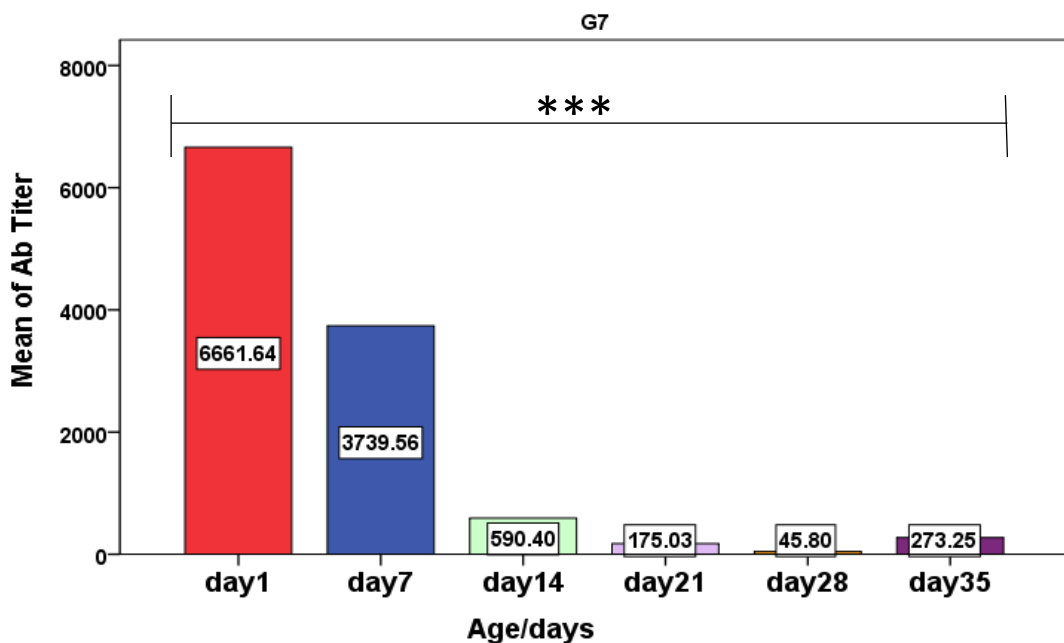
(***) القيم تختلف معنوياً عند مستوى احتمالية $p < 0.05$.

(ns) لا يوجد فرق معنوي عند مستوى احتمالية $p > 0.05$.

شكل (20) مقارنة معايير الأجسام المضادة في المجموعة السادسة

7-1-2-4: مقارنة معايير الأجسام المضادة في الأسابيع المختلفة ضمن المجموعة السابعة

بيّنت النتائج وجود انخفاض معنوي في معيارия الأجسام المضادة بين جميع الأسابيع في المجموعة السابعة عند مستوى احتمالية ($p < 0.05$)، وسجلت أعلى قيمة لمعيارية الأجسام المضادة في اليوم الأول ومن ثم انخفضت تدريجياً حتى بلغت أقل قيمة لها في اليوم الثامن والعشرين من التجربة. شكل (21)

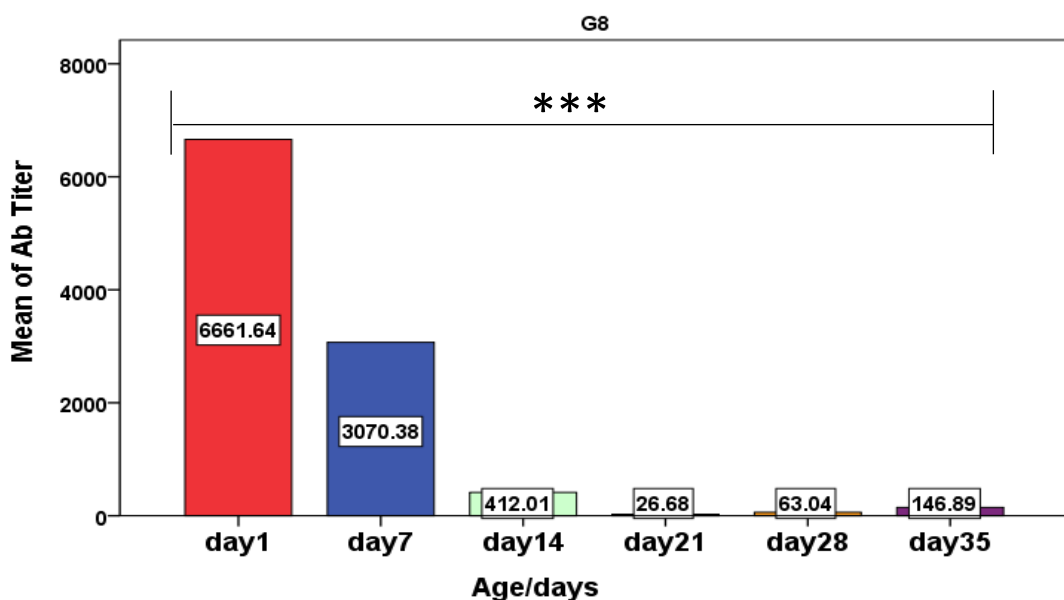


(***) القيم تختلف معنوياً عند مستوى احتمالية $p < 0.05$

شكل (21) مقارنة معايير الأجسام المضادة في المجموعة السابعة

8-1-2-4: مقارنة معايير الأجسام المضادة في الأساليب المختلفة ضمن المجموعة الثامنة

أظهرت النتائج انخفاضاً معنوياً بين جميع الأساليب في المجموعة الثامنة عند مستوى احتمالية ($p < 0.05$) إذ سجلت أعلى نسبة لمعايير الأجسام المضادة في اليوم الأول للتجربة وبعدها انخفضت بصورة تدريجية حتى بلغت أقل قيمة لها في اليوم الحادي والعشرين من التجربة. شكل (22)



(***) القيم تختلف معنوياً عند مستوى احتمالية $p < 0.05$

شكل (22) مقارنة معايير الأجسام المضادة في المجموعة الثامنة

4-2-4: مقارنة معايير الأجسام المضادة بين المجاميع المختلفة خلال فترة التجربة

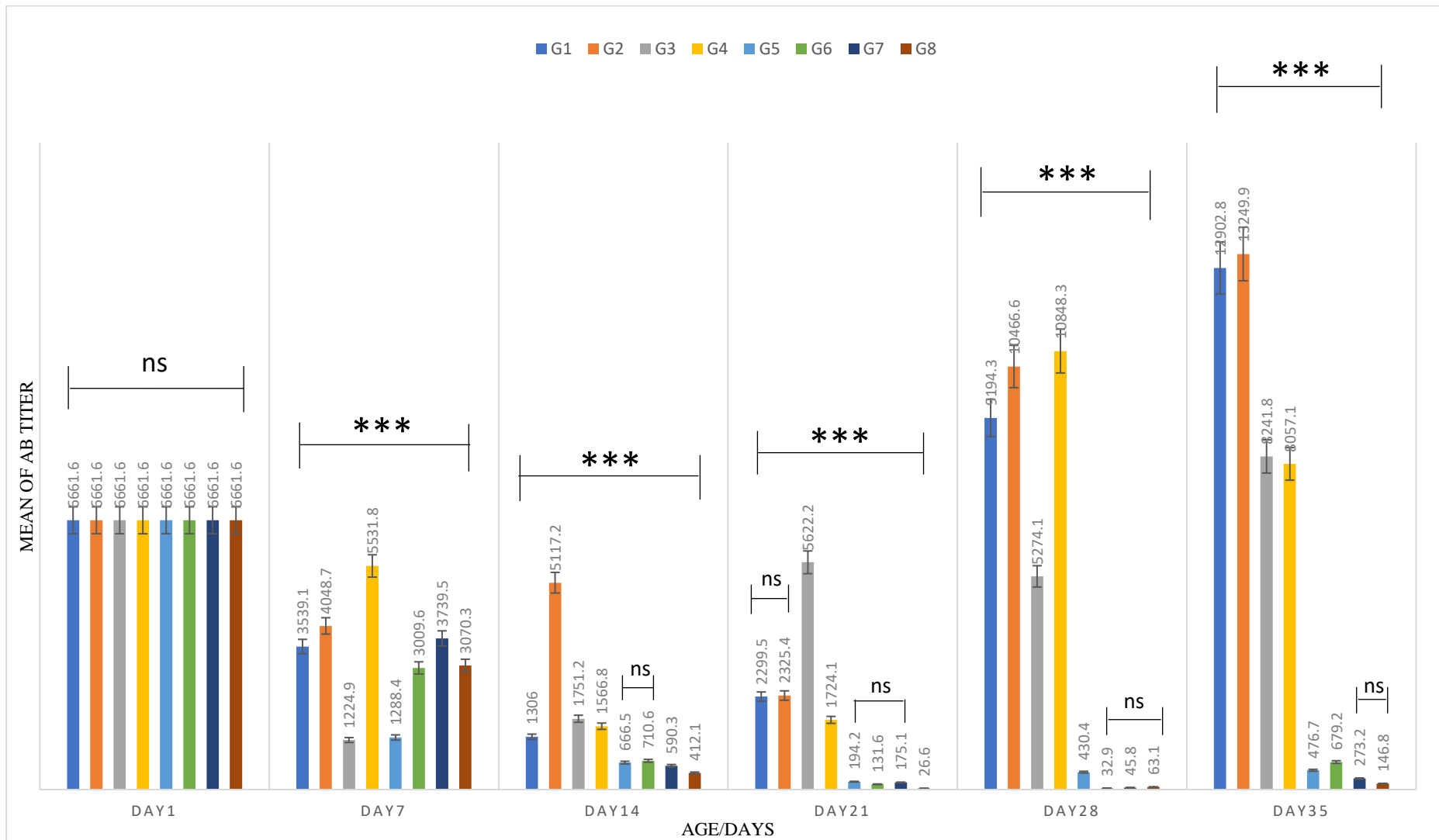
أظهرت النتائج عدم وجود فروق معنوية بين كافة المجاميع في اليوم الأول للتجربة بينما لوحظ وجود فروقات معنوية في الأيام 7، 14، 21، 28، 35 ضمن جميع مجاميع التجربة الملقة وغير الملقة والمعاملة بالزيوت وغير المعاملة ايضاً وسجلت المجموعة الرابعة (G4) أعلى قيمة لمعيارية الأجسام المضادة في اليوم السابع إذ بلغت (20.09 ± 5531.89) وبلغت أقل قيمة في المجموعة الثالثة (G3) والتي كانت قيمتها (1.72 ± 1224.95).

ولم يسجل فروقات معنوية بين المجموعة الخامسة (G5) التي كانت قيمتها (666.59 ± 35.51) والمجموعة السادسة (G6) التي كانت قيمتها (4.41 ± 710.65) في اليوم الرابع عشر من التجربة، حيث بلغت أعلى قيمة لمعيارية الأجسام المضادة في المجموعة الثانية (G2) والتي كانت قيمتها (5117.23 ± 201.88) وكانت أقل قيمة في المجموعة الثامنة (G8) إذ بلغت (21.33 ± 412.01).

وأظهرت المجموعة الثالثة ارتفاعاً معنرياً في اليوم الحادي والعشرين مقارنة مع مجاميع التجربة الأخرى بينما لم يكن هناك فرق معنوي بين المجموعة الأولى (G1) التي كانت قيمتها (50.31 ± 2299.57) والمجموعة الثانية (G2) والتي كانت قيمتها (51.9 ± 2299.57) وأيضاً لم يظهر فرق معنوي بين المجموعة الخامسة (G5) والتي كانت قيمتها (± 194.26) والمجموعة السابعة (G7) التي كانت قيمتها (0.71 ± 175.06)، وبلغت أعلى قيمة لمعيارية الأجسام المضادة في المجموعة الثالثة (G3) والتي كانت قيمتها (± 5622.22) وكانت أقل قيمة في المجموعة الثامنة (G8) والتي بلغت (1.85 ± 26.67) ضمن اليوم نفسه.

ولم يسجل فرق معنوي بين المجاميع السادسة (G6) والسبعين (G7) والمجموعة السابعة (G6) والتي كانت قيمتهم (0.91 ± 32.99 و 1.76 ± 45.8 و 0.71 ± 63.04) على التوالي في اليوم الثامن والعشرين مع وجود ارتفاع معنوي لكل من المجموعة الأولى والثانية والرابعة مقارنة مع بقية مجاميع التجربة، وبلغت أعلى قيمة لمعيارية الأجسام المضادة في المجموعة الرابعة (G4) والتي كانت (107.24 ± 10848.39) وكانت أقل قيمة في المجموعة السادسة (G6) إذ بلغت (0.91 ± 32.99).

ولوحظ وجود ارتفاع معنوي في معيار الأجسام المضادة للمجموعة الأولى والثانية في اليوم الخامس والثلاثين مقارنة مع مجاميع التجربة الأخرى بينما لم يكن هناك فرق معنوي بين المجموعة السابعة (G7) والتي كانت قيمتها 53.42 ± 273.25 والمجموعة الثامنة (G8) والتي كانت قيمتها 146.88 ± 2.27 ، وكانت أعلى قيمة لمعيارية الأجسام المضادة في المجموعة الثانية (G2) حيث بلغت 13.11 ± 13249.92 وكانت أقل قيمة في المجموعة الثامنة (G8) والتي بلغت 2.27 ± 146.88 . شكل (23).



(***) القيم تختلف معنوياً عند مستوى احتمالية $p < 0.05$.

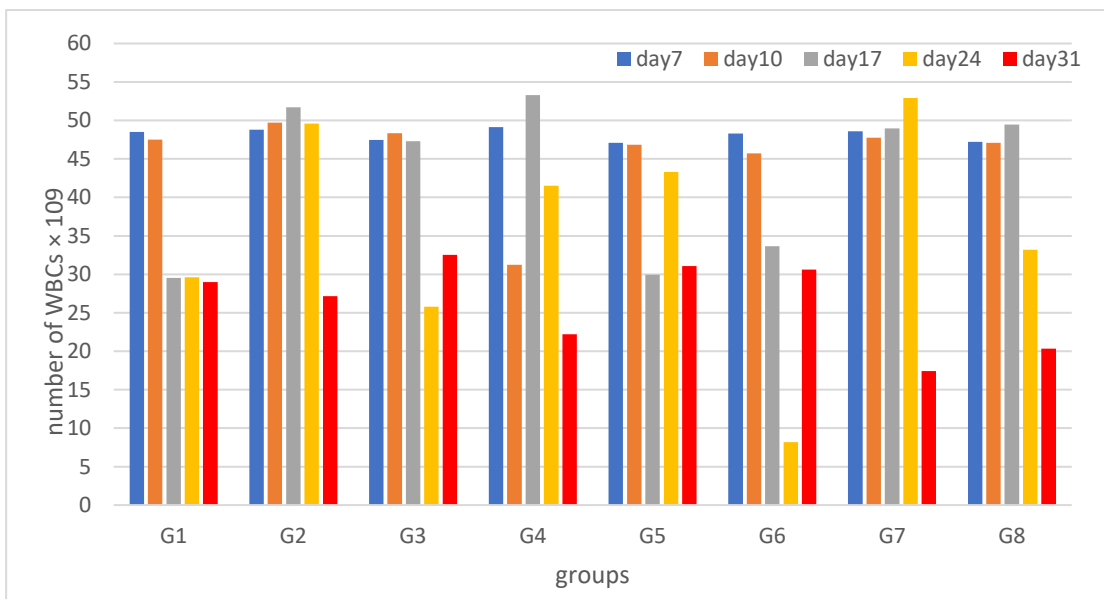
(ns) لا يوجد فرق معنوي عند مستوى احتمالية $p > 0.05$.

شكل (23) مقارنة معايير الأجسام المضادة بين المجاميع المختلفة خلال فترة التجربة

4-2-2: نتائج العد الكلي والتفرقي لكريات الدم البيض

1-2-2-4: عدد خلايا الدم البيض في المجاميع والأيام المختلفة

سجلت نتائج تعداد خلايا الدم البيض وجود اختلافات طفيفة مع وجود العديد من التقلبات في أعدادها ضمن المجاميع والأيام المختلفة، إلا أنها بقيت ضمن الحدود الطبيعية وتتراوح قيمها بين 17.14×10^9 و 53.28×10^9 شكل (24)

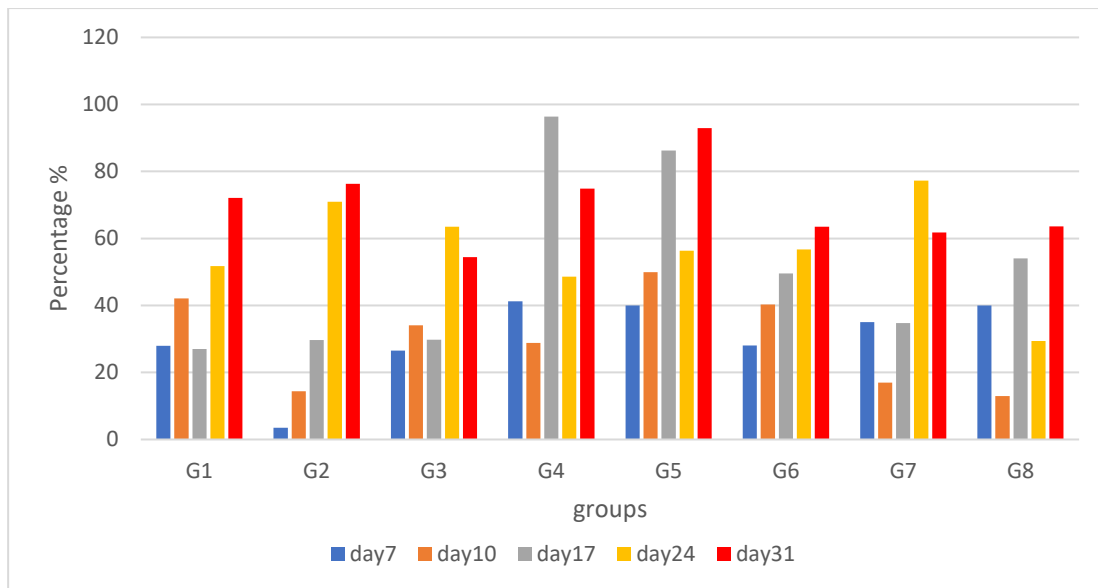


شكل (24) عدد خلايا الدم البيض في الأيام والمجاميع المختلفة

4-2-2-4: نسبة خلايا العدلات (Neutrophils) في المجاميع والأيام المختلفة

أظهرت نتائج صورة الدم ارتفاعاً في نسب خلايا العدلات في أيام التجربة المختلفة بين المجاميع المختلفة إذ سجلت أعلى قيم لها في اليوم الحادي والثلاثين من التجربة بينما سجلت المجموعة الرابعة (G4) والمجموعة السابعة (G7) أعلى قيمة لها في اليوم السابع عشر واليوم الرابع والعشرين على التوالي وأظهرت المجموعات الرابعة والسابعة والتاسعة انخفاضاً في نسبة خلايا العدلات في اليوم العاشر من التجربة وبلغت أقل قيمة لها في اليوم العاشر من التجربة.

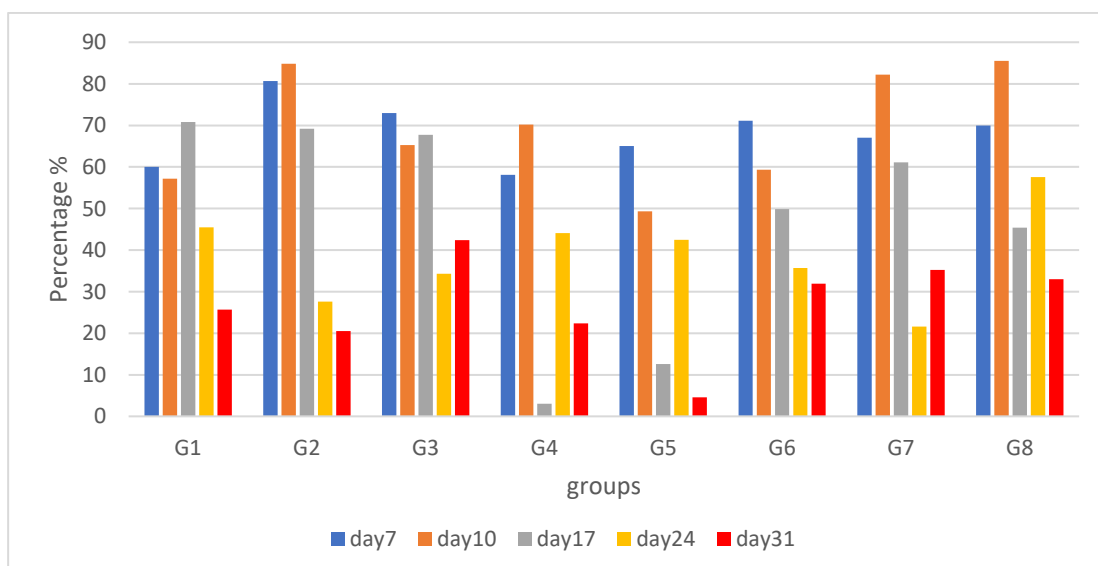
شكل (25)



شكل (25) نسبة خلايا العدات

3-2-2-4: نسبة الخلايا المفاوية (Lymphocytes) في المجاميع والأيام المختلفة

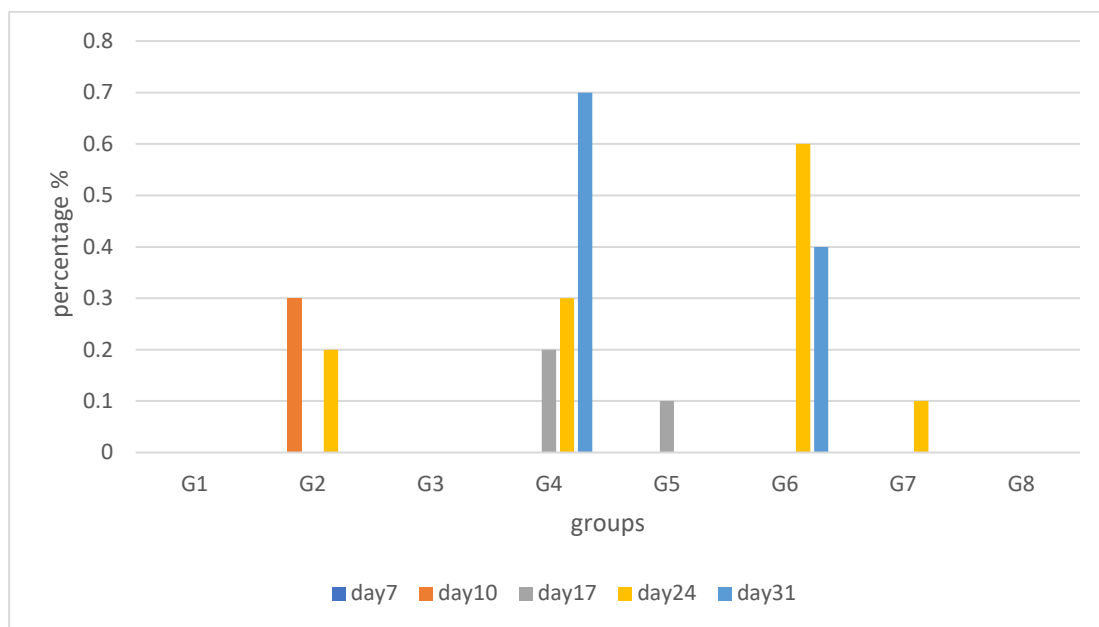
أظهرت نتائج صورة الدم اختلافات في نسب الخلايا المفاوية وبشكل معاكس للاستجابة المسجلة من قبل الخلايا العدالة ضمن أيام التجربة المختلفة وبين المجاميع المختلفة إذ أظهرت النتائج انخفاضاً في النسبة المئوية للخلايا المفاوية مع تقدم التجربة ولكل المجاميع بينما سجلت المجموعة الأولى (G1) ارتفاعاً طفيفاً في اليوم السابع عشر من التجربة وبينما لوحظ وجود ارتفاع مؤقت في نسبة الخلايا في اليوم العاشر ولكل من المجموعة الثانية (G2) والرابعة (G4) والسبعين (G7) والثانية (G8) على التوالي. شكل (26)



شكل (26) نسبة الخلايا المفاوية

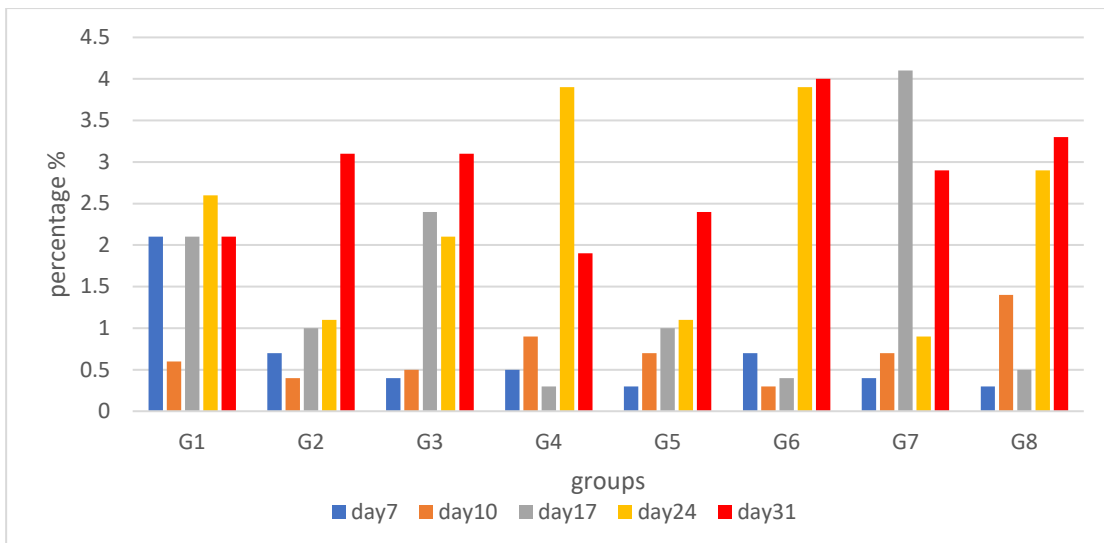
4-2-4: نسبة الخلايا وحيدة الخلية (Eosinophils) والخلايا الحمضة (Monocytes) والخلايا القعده (Basophils) في المجاميع والأيام المختلفة

أظهرت نتائج صورة الدم ارتفاعات بسيطة في نسبة الخلايا وحيدة الخلية في بعض أيام بعض المجاميع المختلفة من التجربة بينما كانت قيمتها صفر في أغلب الأيام والمجاميع المختلفة من التجربة وسجلت أعلى نسبة لهذه الخلايا 0.7% في اليوم الحادي والثلاثين ضمن المجموعة الرابعة (G4)، شكل (27).



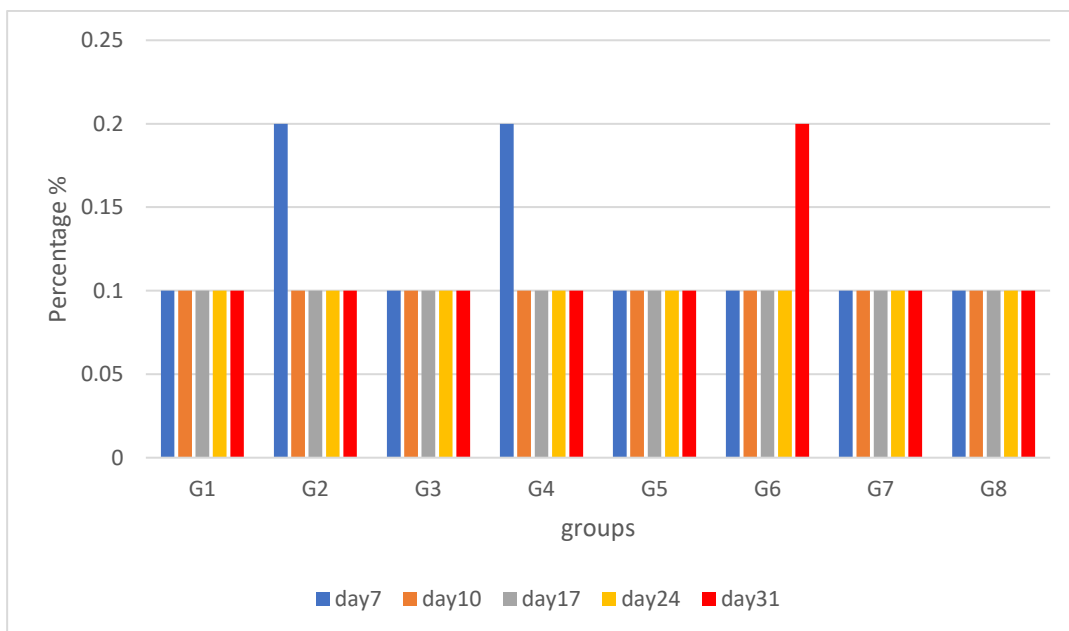
شكل (27) نسبة الخلايا وحيدة الخلية (Monocytes)

وسجلت المجاميع ارتفاعاً في النسبة المئوية للخلايا الحمضة مترافقاً مع تقدم أيام التجربة ليصل إلى أعلى نسبة 4.1% في اليوم السابع عشر ضمن المجموعة السابعة (G7)، بالرغم من ذلك لوحظ وجود انخفاض طفيف سجل في كل من اليوم العاشر في أفراخ المجموعة الأولى (G1) والثانية (G2) وال السادسة (G6) وفي اليوم السابع عشر في أفراخ كل من المجموعة الرابعة (G4) والثامنة (G8) بينما لوحظ هذا الانخفاض في اليوم الرابع والعشرين في أفراخ المجموعة السابعة (G7). شكل (28)



شكل (28) نسبة الخلايا الحمضات (Eosinophils)

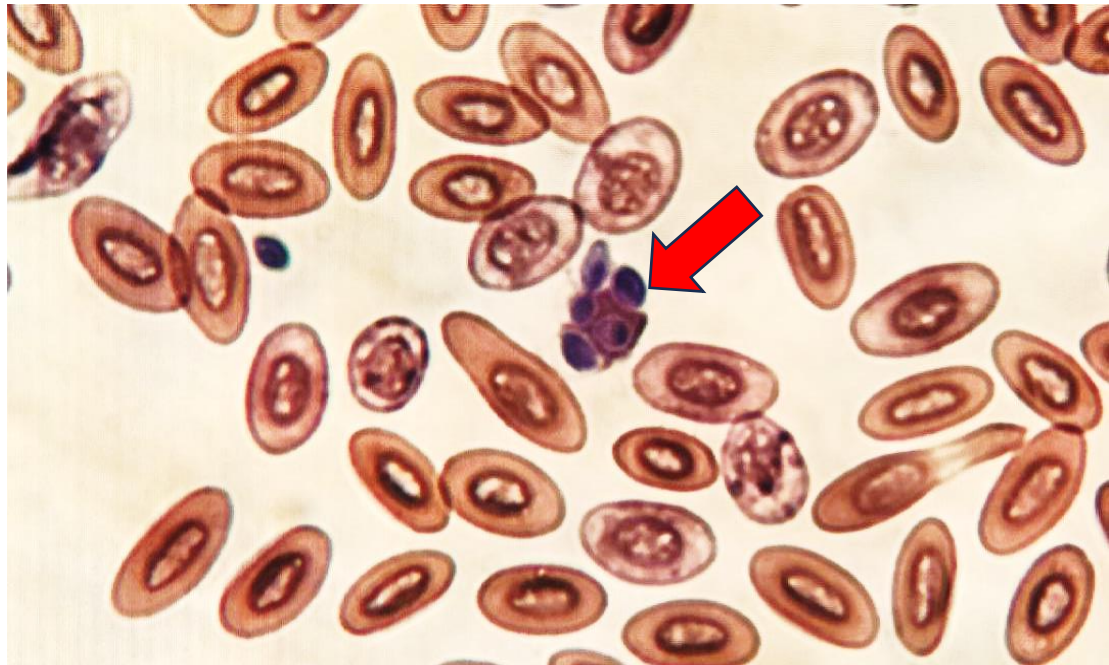
وسجلت الخلايا القاعدية ثبوتاً في نسبها على مدار أيام التجربة باستثناء اليوم السابع وكل من المجموعة الثانية (G2) والمجموعة الرابعة (G4) واليوم الحادي والثلاثين من المجموعة السادسة (G6) فقد اظهروا ارتفاعاً في نسبة الخلايا لتصل إلى 0,2%. شكل (29)



شكل (29) نسبة الخلايا القاعدية (Basophils)

4-2-3: نتائج قياس نسبة اختبار مؤشر البلعمة

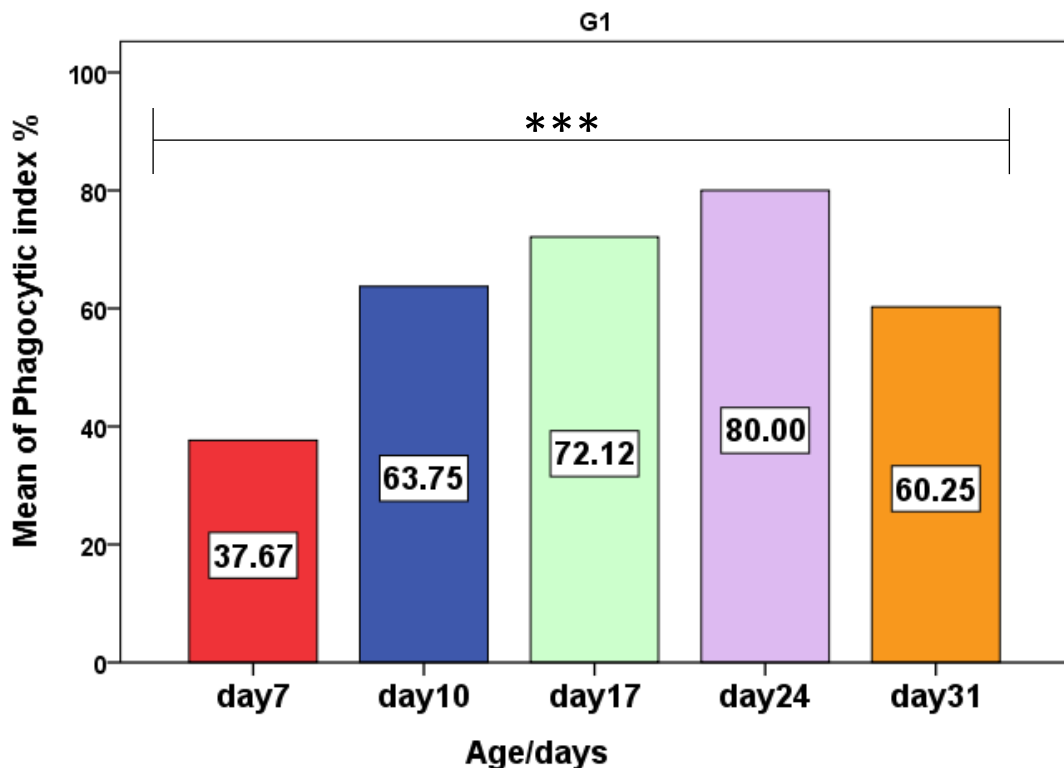
بين هذا الاختبار تواجد أبواغ فطر المبيضنة البيضاء داخل سايتوبلازم الخلايا البلعمة بصورة واضحة تحت المجهر الصوئي عند قوة تكبير $1000\times$ كما في الشكل (30).



شكل (30) بلعمة خلايا فطر المبيضنة البيضاء من قبل الخلايا البلعمة، السهم **الأحمر** يوضح الفطر داخل الخلية البلعمة (قوة التكبير $1000\times$)

4-1-3-2-4: مقارنة نسبة مؤشر البلعمة في الأسابيع المختلفة ضمن المجموعة الأولى

أظهرت النتائج وجود فروقات معنوية بين جميع الأسابيع في المجموعة الأولى عند مستوى احتمالية ($p < 0.05$) إذ بلغت أقل نسبة لمؤشر البلعمة في اليوم السابع للتجربة ومن ثم ارتفعت تدريجياً حتى بلغت أعلى قيمة لها في اليوم الرابع والعشرين من التجربة ثم انخفضت في اليوم الحادي والثلاثين من التجربة. شكل (31)

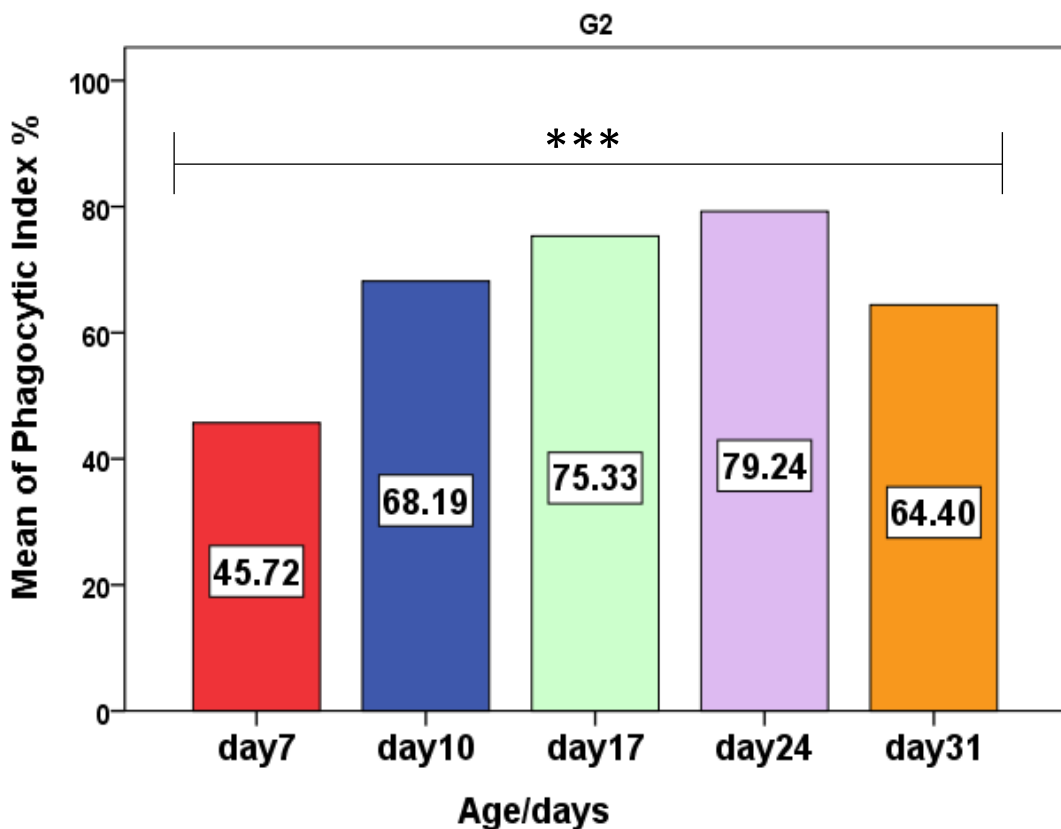


(***) القيم تختلف معنوياً عند مستوى احتمالية $p < 0.05$.

شكل (31) مقارنة نسبة مؤشر البلعمة في المجموعة الأولى

4-3-2-4: مقارنة نسبة مؤشر البلعمة في الأسابيع المختلفة ضمن المجموعة الثانية

أوضحت النتائج وجود فروقات معنوية بين جميع الأسابيع في المجموعة الثانية عند مستوى احتمالية ($p < 0.05$) إذ كانت أقل قيمة لنسبة مؤشر البلعمة في اليوم السابع للتجربة ثم ارتفعت تدريجياً حتى بلغت أعلى قيمة لها في اليوم الرابع والعشرين للتجربة ومن ثم انخفضت في اليوم الحادي والثلاثين من التجربة. شكل (32)

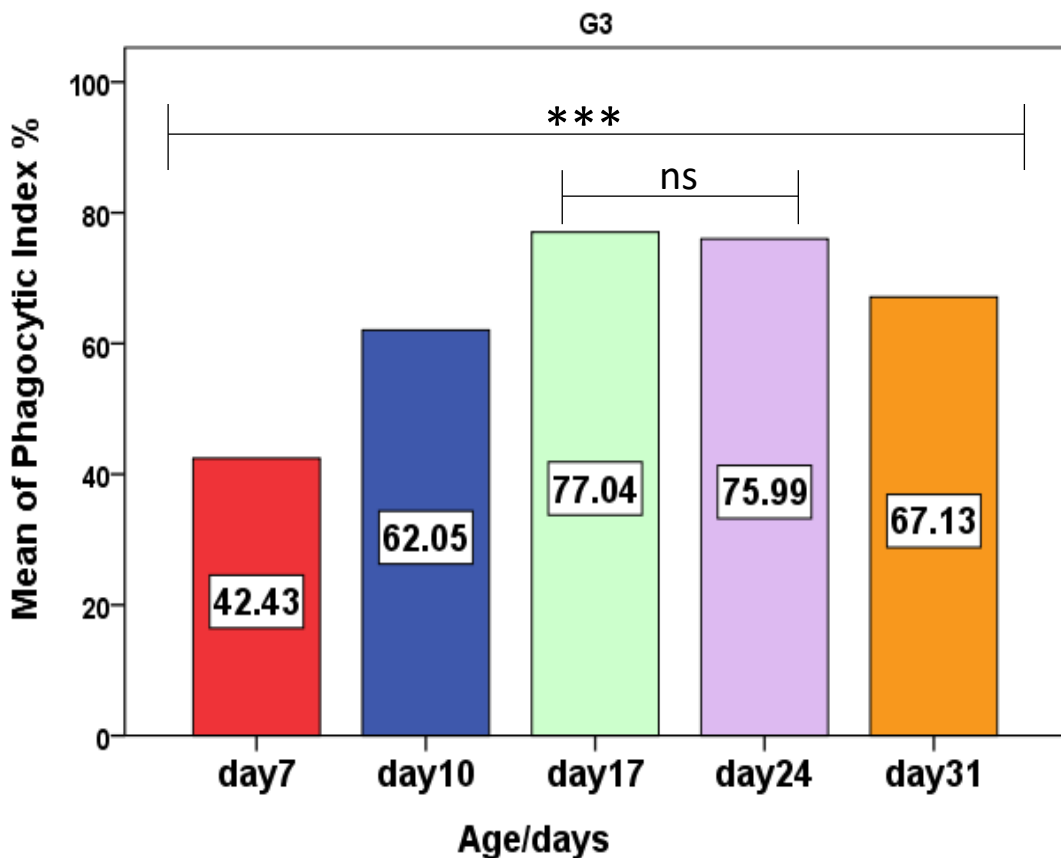


(***) القيم تختلف معنوياً عند مستوى احتمالية $p<0.05$.

شكل (32) مقارنة نسبة مؤشر البلعمة في المجموعة الثانية

3-3-2-4: مقارنة نسبة مؤشر البلعمة في الأسابيع المختلفة ضمن المجموعة الثالثة

أظهرت النتائج وجود فروقات معنوية بين جميع الأسابيع باستثناء يومي السابع عشر والرابع والعشرين إذ لا يوجد فرق معنوي بينهم في المجموعة الثالثة عند مستوى احتمالية ($p<0.05$)، وبلغت أقل قيمة لنسبة مؤشر البلعمة في اليوم السابع من التجربة وارتفعت تدريجياً حتى بلغت أعلى قيمة لها في اليوم السابع عشر من التجربة. شكل (33)



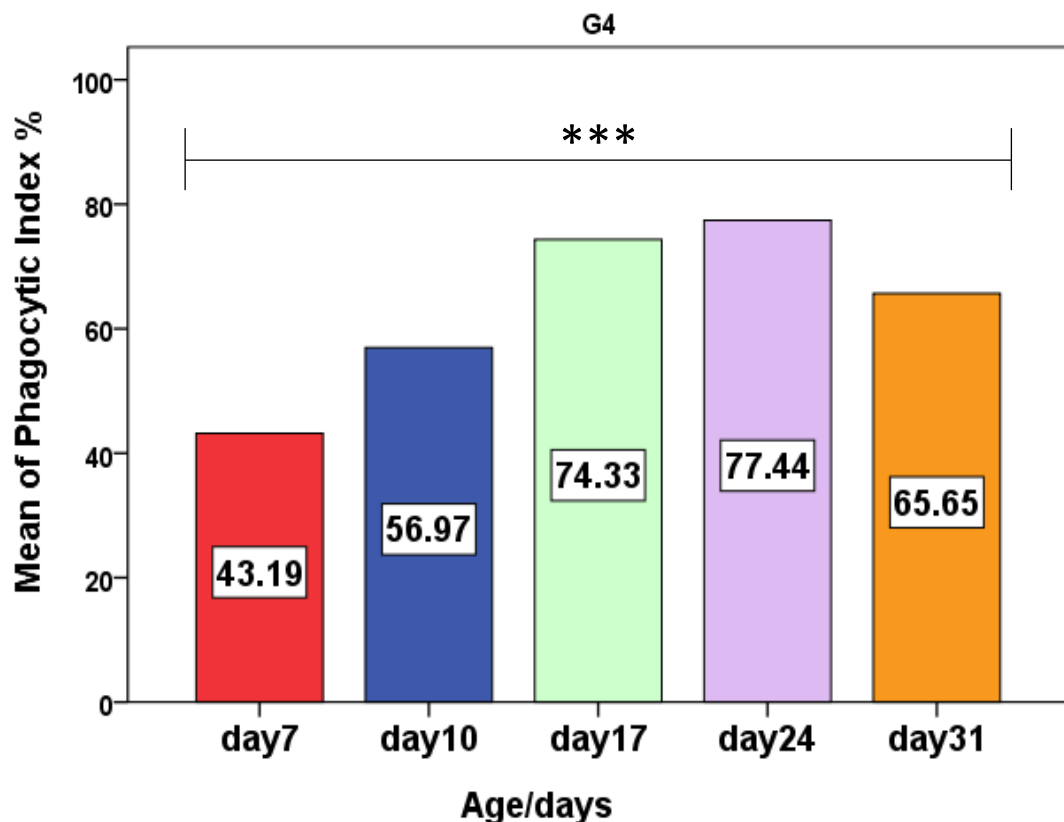
(***) القيم تختلف معنوياً عند مستوى احتمالية $p<0.05$

(ns) لا يوجد فرق معنوي عند مستوى احتمالية $p>0.05$

شكل (33) مقارنة نسبة مؤشر البلعمة في المجموعة الثالثة

4-3-2-4: مقارنة نسبة مؤشر البلعمة في الأساليب المختلفة ضمن المجموعة الرابعة

سجلت النتائج وجود فروقات معنوية بين جميع الأساليب في جميع المجموعات عند مستوى احتمالية ($p<0.05$)، وبلغت أقل قيمة لنسبة مؤشر البلعمة في اليوم السابع من التجربة ومن ثم ارتفعت تدريجياً حتى بلغت أعلى قيمة لها في اليوم الرابع والعشرين من التجربة. شكل (34)

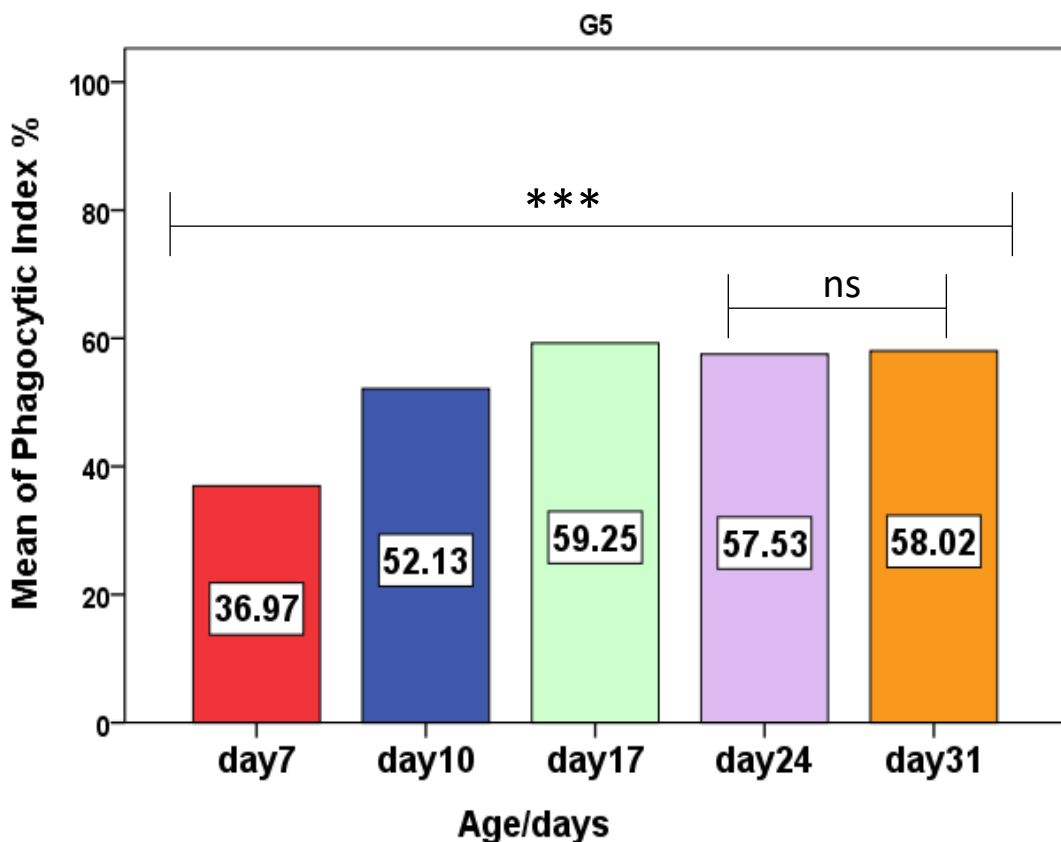


***) القيم تختلف معنوياً عند مستوى احتمالية $p<0.05$

شكل (34) مقارنة نسبة مؤشر البلعمة في المجموعة الرابعة

4-3-2-4: مقارنة نسبة مؤشر البلعمة في الأسابيع المختلفة ضمن المجموعة الخامسة

بيّنت النتائج وجود فروقات معنوية بين جميع الأسابيع باستثناء يومي الرابع والعشرين والحادي والثلاثين إذ لم يسجل وجود فرق معنوي بينهم عند مستوى احتمالية ($p<0.05$)، وبلغت أقل قيمة لنسبة مؤشر البلعمة في اليوم السابع للتجربة ومن ثم ارتفعت حتى بلغت أعلى قيمة لها في اليوم السابع عشر من التجربة. شكل (35)



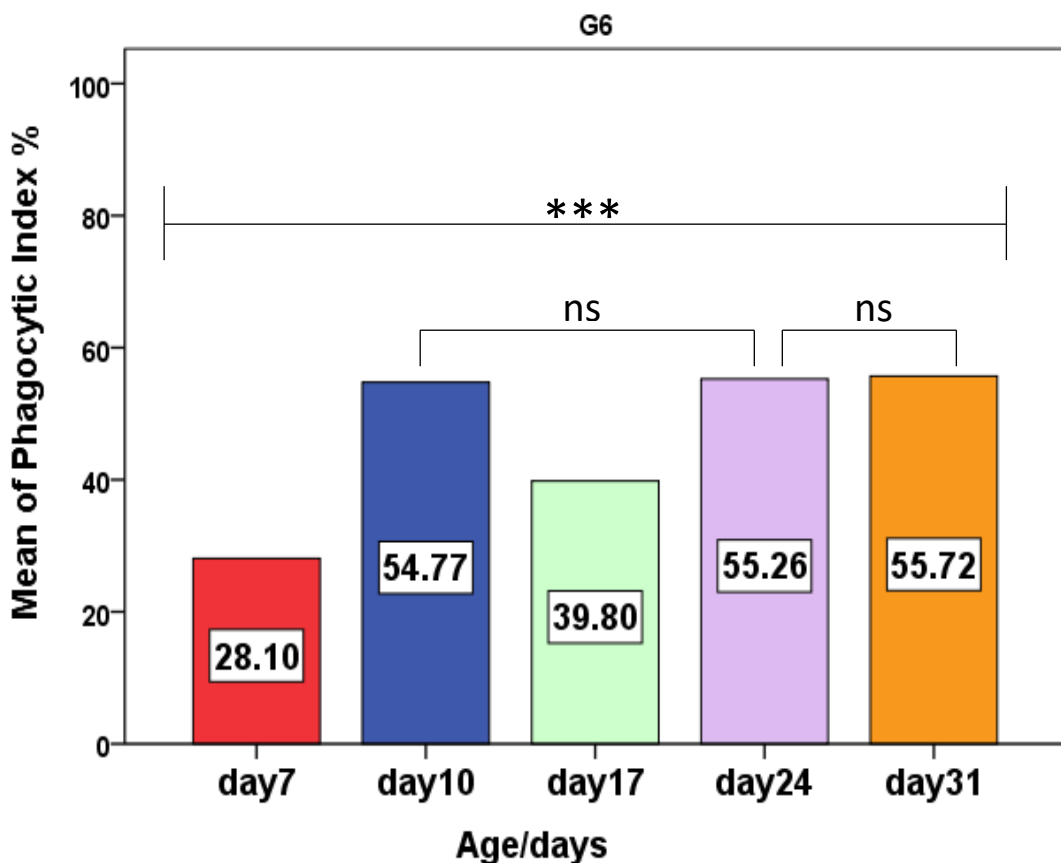
(***) القيم تختلف معنوياً عند مستوى احتمالية $p < 0.05$.

(ns) لا يوجد فرق معنوي عند مستوى احتمالية $p > 0.05$.

شكل (35) مقارنة نسبة مؤشر البلعمة في المجموعة الخامسة

4-3-2-4: مقارنة نسبة مؤشر البلعمة في الأسابيع المختلفة ضمن المجموعة السادسة

أظهرت النتائج وجود فروقات معنوية بين جميع الأسابيع باستثناء اليومين العاشر والرابع والعشرين واليومين الرابع والعشرين والحادي والثلاثين إذ لم يلاحظ وجود فرق معنوي بينهم في المجموعة السادسة عند مستوى احتمالية ($p < 0.05$)، وبلغت أقل قيمة لنسبة مؤشر البلعمة في اليوم السابع من التجربة ومن ثم ارتفعت تدريجياً حتى بلغت أعلى قيمة لها في اليوم الحادي والثلاثين من التجربة. شكل (36)



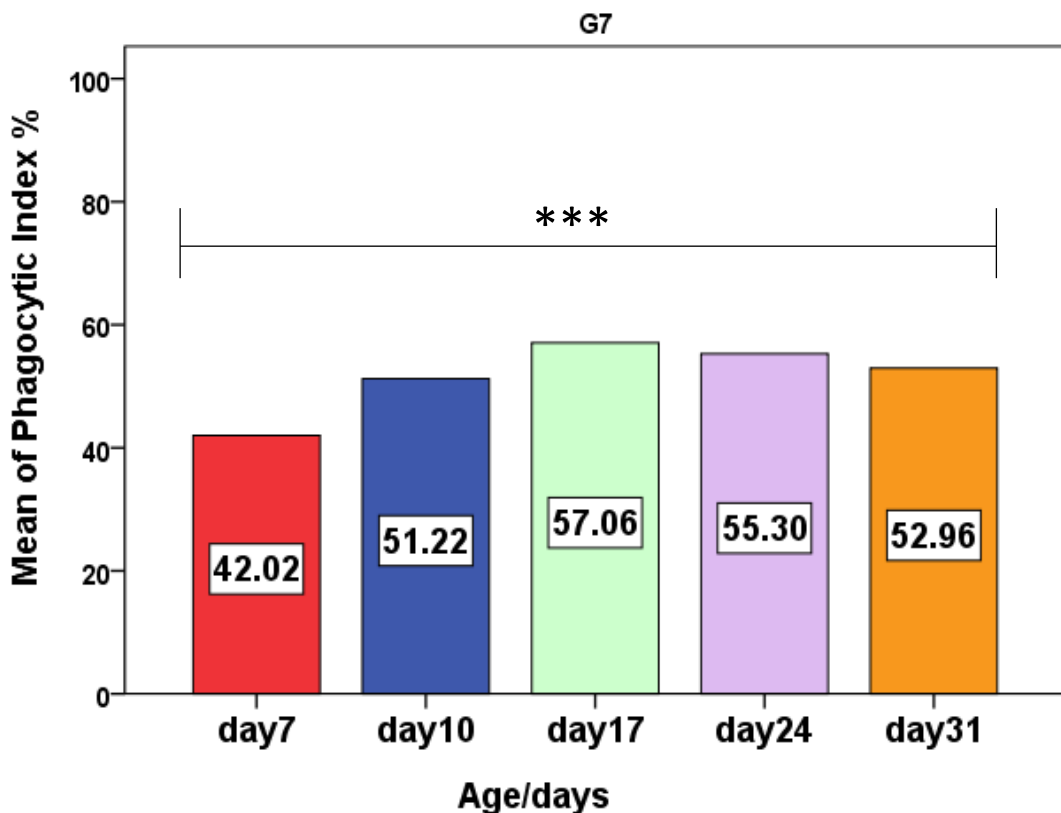
(***) القيم تختلف معنوياً عند مستوى احتمالية $p<0.05$

(ns) لا يوجد فرق معنوي عند مستوى احتمالية $p>0.05$

شكل (36) مقارنة نسبة مؤشر البلعمة في المجموعة السادسة

4-3-2-4: مقارنة نسبة مؤشر البلعمة في الأسابيع المختلفة ضمن المجموعة السابعة

أظهرت النتائج وجود فروقات معنوية بين جميع الأسابيع في المجموعة السابعة عند مستوى احتمالية ($p<0.05$)، وبلغت أقل قيمة لنسبة مؤشر البلعمة في اليوم السابع للتجربة ومن ثم ارتفعت حتى بلغت أعلى قيمة لها في اليوم السابع عشر من التجربة. شكل (37)

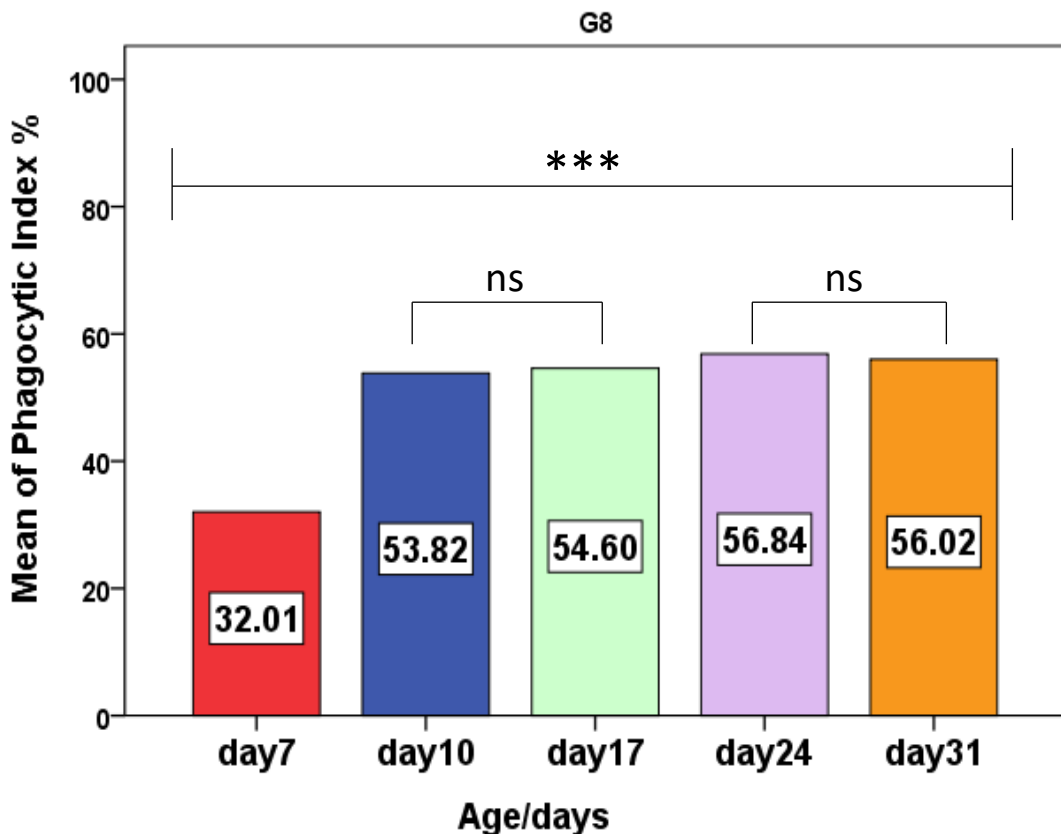


(***) القيم تختلف معنوياً عند مستوى احتمالية $p<0.05$.

شكل (37) مقارنة نسبة مؤشر البلعمة في المجموعة السابعة

4-3-2-4: مقارنة نسبة مؤشر البلعمة في الأسابيع المختلفة ضمن المجموعة الثامنة

بيّنت النتائج وجود فروقات معنوية بين جميع الأسابيع باستثناء اليومين العاشر والسابع عشر واليومين الرابع والعشرين والحادي والثلاثين إذ لم يسجل فرقاً معنويّاً بينهم في المجموعة الثامنة عند مستوى احتمالية ($p<0.05$), وبلغت أقل نسبة لمؤشر البلعمة في اليوم السابع من التجربة ومن ثم ارتفعت بصورة تدريجية حتى بلغت أعلى قيمة لها في اليوم الرابع والعشرين من التجربة. شكل (38)



*** (القيم تختلف معنوياً عند مستوى احتمالية $p < 0.05$)

.ns (لا يوجد فرق معنوي عند مستوى احتمالية $p > 0.05$)

شكل (38) مقارنة نسبة مؤشر البلعمة في المجموعة الثامنة

9-3-2-4: مقارنة نسبة مؤشر البلعمة بين المجاميع المختلفة خلال فترة التجربة

أظهرت مقارنة النتائج وجود فروقات معنوية بين مجاميع التجربة في اليوم السابع من التجربة بينما لم يكن هناك فرق معنوي بين المجموعة الأولى (G1) والتي كانت قيمتها 0.45 ± 37.66 والمجموعة الخامسة (G5) والتي كانت قيمتها 0.58 ± 36.96 وكذلك لم يكن هناك فرق بين المجموعة الثالثة (G3) والتي كانت قيمتها 1.25 ± 42.43 والمجموعة السابعة (G7) والتي كانت قيمتها 0.62 ± 42.02 وكانت أعلى قيمة لنسبة مؤشر البلعمة في المجموعة الثانية (G2) إذ بلغت 1.01 ± 45.72 وكانت أقل قيمة لها في المجموعة السادسة (G6) والتي بلغت 0.65 ± 28.10 .

وفي اليوم العاشر من التجربة أظهرت النتائج وجود فروقات معنوية بين جميع مجاميع التجربة الملقحة وغير الملقحة والمعاملة بالزيوت وغير المعاملة إذ بلغت أعلى قيمة لنسبة

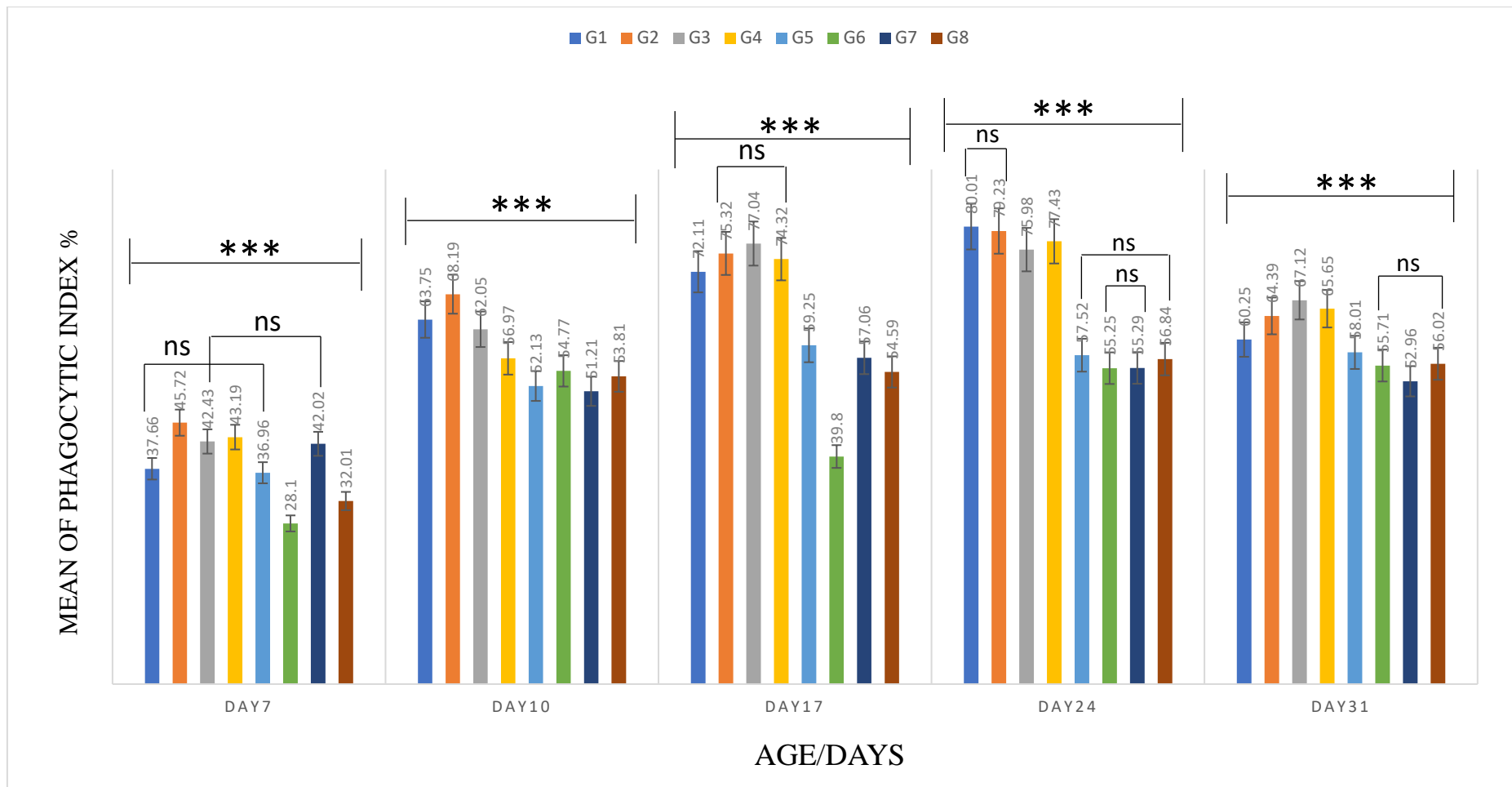
مؤشر البلعمة في المجموعة الثانية (G2) والتي كانت قيمتها 68.19 ± 0.62 وكانت أقل قيمة لها في المجموعة السابعة (G7) والتي بلغت 51.21 ± 1.41 .

وفي اليوم السابع عشر من التجربة أظهرت النتائج فروقات معنوية بين مجاميع التجربة بينما لم يكن هناك فرق معنوي بين المجموعة الثانية (G2) والتي كانت قيمتها ± 75.32 ± 1.08 والمجموعة الرابعة (G4) والتي بلغت قيمتها 74.32 ± 0.46 وبلغت أعلى قيمة لنسبة مؤشر البلعمة في المجموعة الثالثة (G3) إذ كانت قيمتها 77.04 ± 1.42 وكانت أقل قيمة لها في المجموعة السادسة (G6) إذ بلغت 39.80 ± 1.43 .

وفي اليوم الرابع والعشرين من التجربة أظهرت النتائج فروقات معنوية بين مجاميع التجربة بينما لم يظهر فرق معنوي بين المجموعة الأولى (G1) والتي كانت قيمتها 80.01 ± 0.64 والمجموعة الثانية (G2) والتي كانت قيمتها 79.23 ± 0.88 وكذلك لم يسجل وجود فرق معنوي بين المجموعة الخامسة (G5) والتي كانت قيمتها 57.53 ± 1.11 والمجموعة الثامنة (G8) والتي كانت قيمتها 56.84 ± 1.21 ولم يلاحظ أيضاً وجود فرق معنوي بين المجموعة السادسة (G6) والتي كانت قيمتها 55.25 ± 0.98 والمجموعة السابعة (G7) والتي كانت قيمتها 55.29 ± 0.93 وكانت أعلى قيمة لنسبة مؤشر البلعمة في المجموعة الأولى (G1) إذ بلغت 80.01 ± 0.64 وكانت أقل قيمة في المجموعة السادسة (G6) إذ بلغت 55.25 ± 0.98 .

وفي اليوم الحادي والثلاثين من التجربة أظهرت النتائج وجود فروقات معنوية بين مجاميع التجربة بينما لم يكن هناك فرق معنوي بين المجموعة السادسة (G6) والتي كانت قيمتها ± 55.71 ± 0.49 والمجموعة الثامنة (G8) والتي كانت قيمتها 56.02 ± 0.54 وكانت أعلى قيمة لنسبة مؤشر البلعمة في المجموعة الثالثة (G3) إذ بلغت 67.12 ± 1.04 وكانت أقل قيمة لها في المجموعة السابعة (G7) إذ بلغت 52.96 ± 0.85 . شكل (39).

وبدراسة الشكل (39) يلاحظ ارتفاع مؤشر نسبة البلعمة في معظم مجاميع التجربة متراقة مع تقدم أيام التجربة وبصورة معنوية عند مقارنتها مع مجاميع السيطرة ويؤشر ذلك قدرة الزيوت المستخدمة لزيادة قابلية البلعمة.



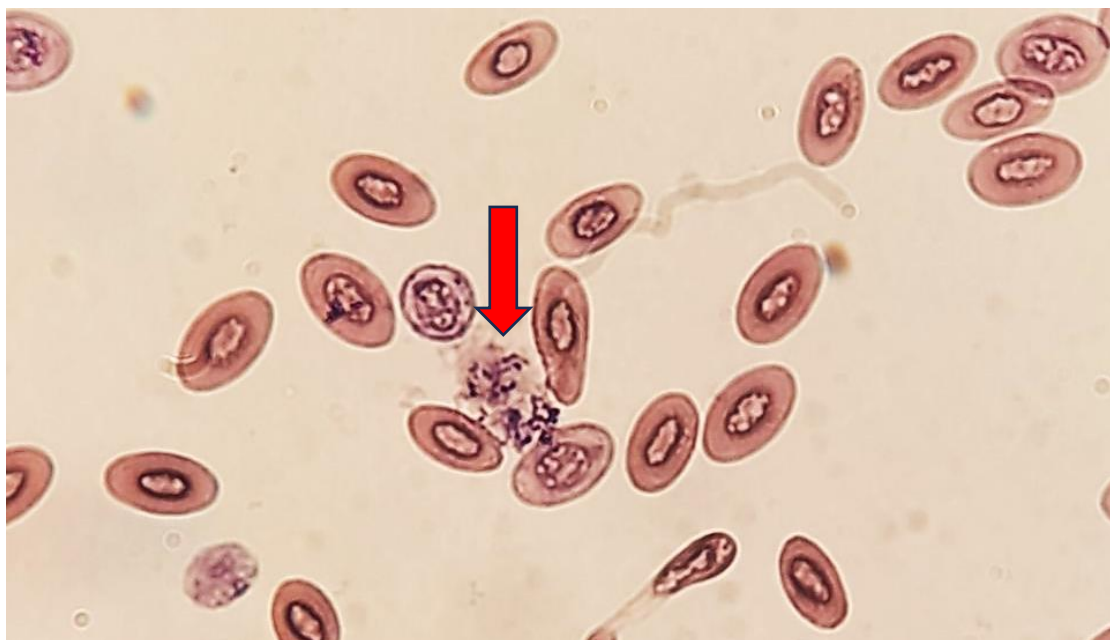
(***) القيم تختلف معنوياً عند مستوى احتمالية $p < 0.05$.

(ns) لا يوجد فرق معنوي عند مستوى احتمالية $p < 0.05$.

شكل (39) مقارنة نسبة مؤشر البلعمة في أيام التجربة وبين المجاميع المختلفة

4-2-4: نتائج قياس نسبة اختبار الانفجار التنفسi (Respiratory Burst)

استخدم في هذا الاختبار صبغة ال Nitroblue Tetrazolium Chloride وذلك لقياس تأثير اللقاح والزيوت المستخدمة في مؤشر الانفجار التنفسi، إذ ظهرت حبيبات formazan داخل ستيوبلازم الخلايا البلعمية بصورة واضحة تحت المجهر الضوئي عند قوة تكبير 1000X كما في الشكل (40)، مما يوضح ارتفاع مؤشر الانفجار التنفسi لخلايا الحيوانات المعاملة.

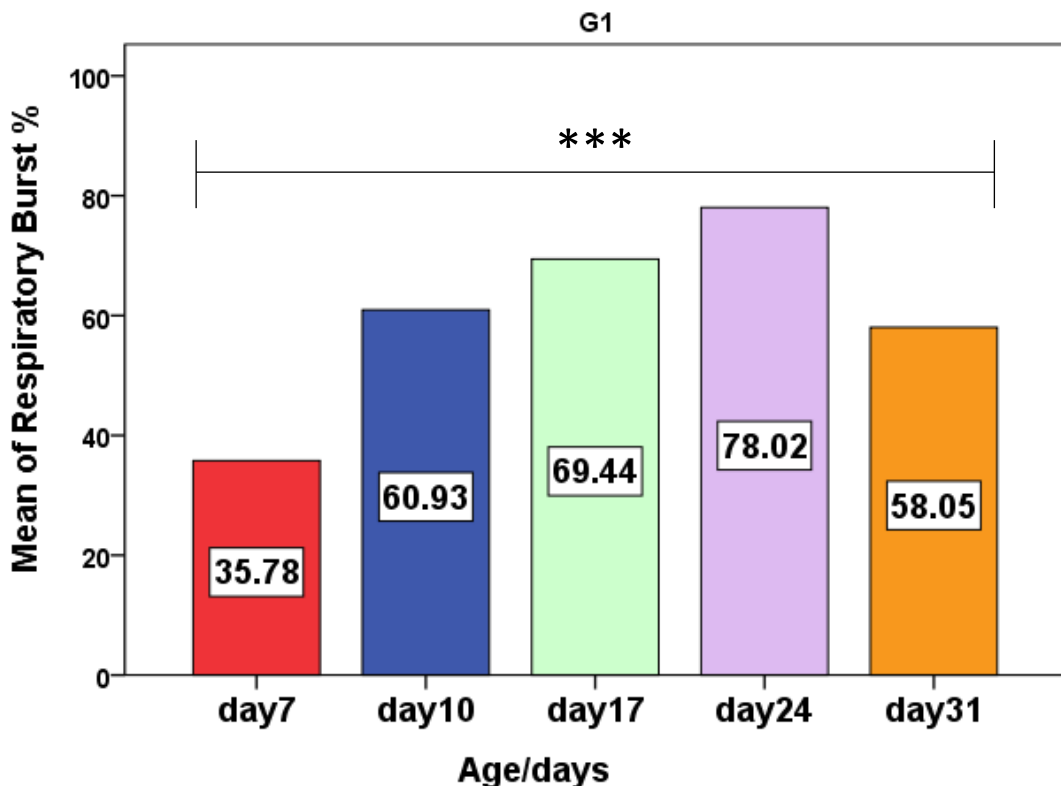


شكل (40) الخلايا اللمفية المحفزة الحاوية على حبيبات formazan، السهم الأحمر يوضح حبيبات formazan داخل الخلية البلعمية (قوة التكبير 1000X)

4-2-4-1: مقارنة نسبة الانفجار التنفسi في الأسابيع المختلفة ضمن المجموعة الأولى

أظهرت النتائج وجود فروقات معنوية بين جميع الأسابيع في المجموعة الأولى عند مستوى احتمالية ($p < 0.05$)، وبلغت أقل نسبة لاختبار الانفجار التنفسi في اليوم السابع من التجربة ثم ارتفعت تدريجياً حتى بلغت أعلى قيمة لها في اليوم الرابع والعشرين للتجربة. شكل

(41)

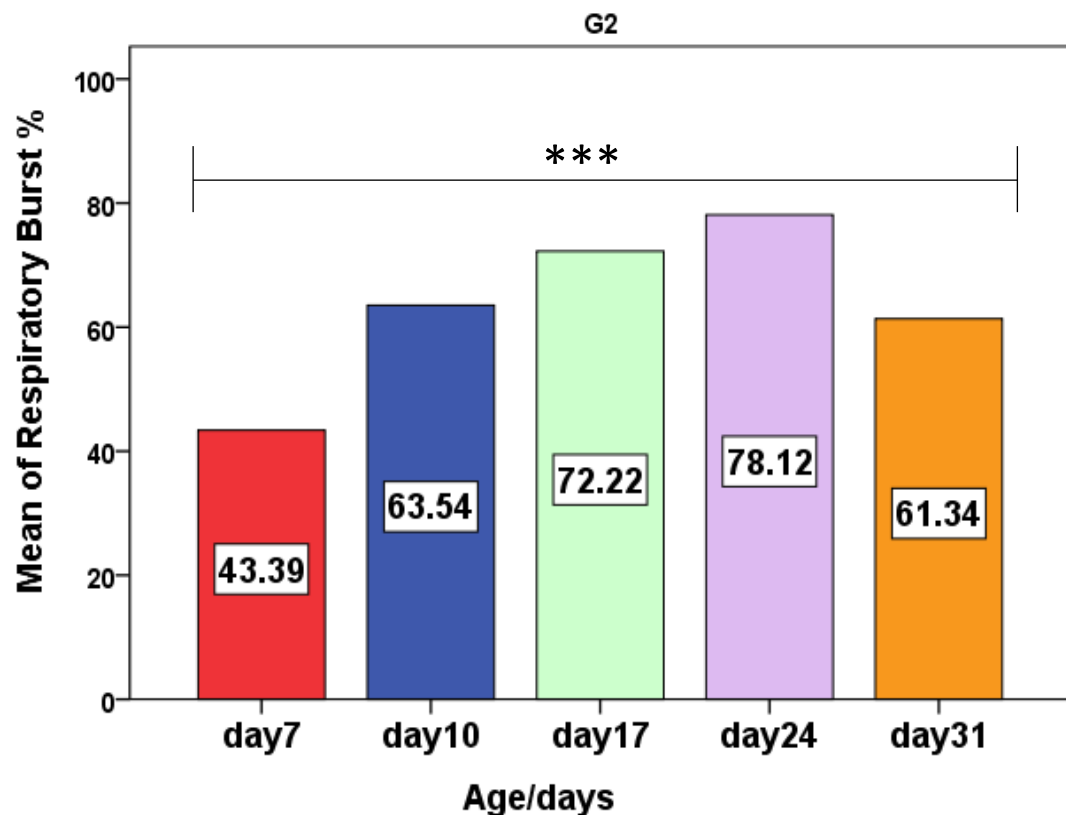


(***) القيم تختلف معنوياً عند مستوى احتمالية $p < 0.05$.

شكل (41) مقارنة نسبة اختبار الانفجار التنفسi في المجموعة الأولى

4-2-4-2: مقارنة نسبة الانفجار التنفسi في الأسابيع المختلفة ضمن المجموعة الثانية

أوضحت النتائج وجود فروقات معنوية بين جميع الأسابيع في المجموعة الثانية عند مستوى احتمالية ($p < 0.05$)، وبلغت أقل قيمة لنسبة اختبار الانفجار التنفسi في اليوم السابع من التجربة ومن ثم ارتفعت تدريجياً حتى بلغت أعلى قيمة لها في اليوم الرابع والعشرين من التجربة. شكل (42)

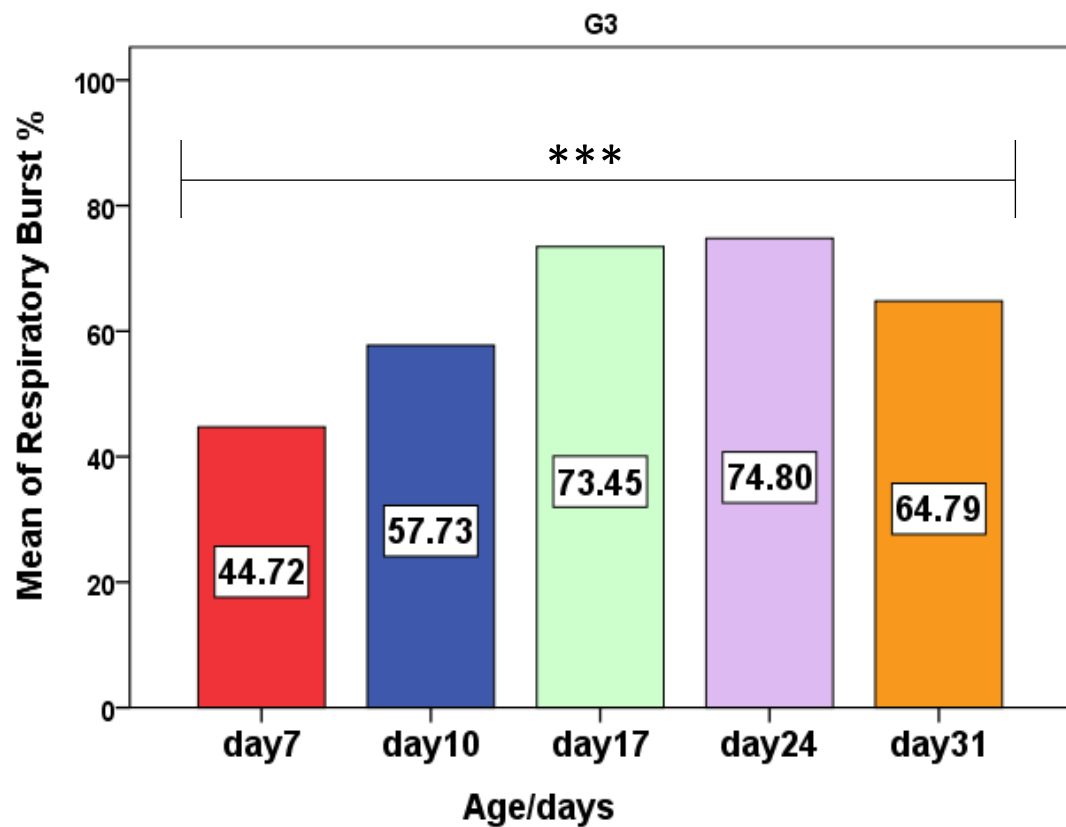


(***) القيم تختلف معنوياً عند مستوى احتمالية $p < 0.05$.

شكل (42) مقارنة نسبة اختبار الانفجار التنفسi في المجموعة الثانية

4-3-4-2-4: مقارنة نسبة الانفجار التنفسi في الأسابيع المختلفة ضمن المجموعة الثالثة

بيّنت النتائج وجود فروقات معنوية بين جميع الأسابيع في المجموعة الثالثة عند مستوى احتمالية ($p < 0.05$)، وبلغت أقل قيمة لنسبة اختبار الانفجار التنفسi في اليوم السابع من التجربة ومن ثم ارتفعت تدريجياً حتى بلغت أعلى قيمة لها في اليوم الرابع والعشرين من التجربة. شكل (43)

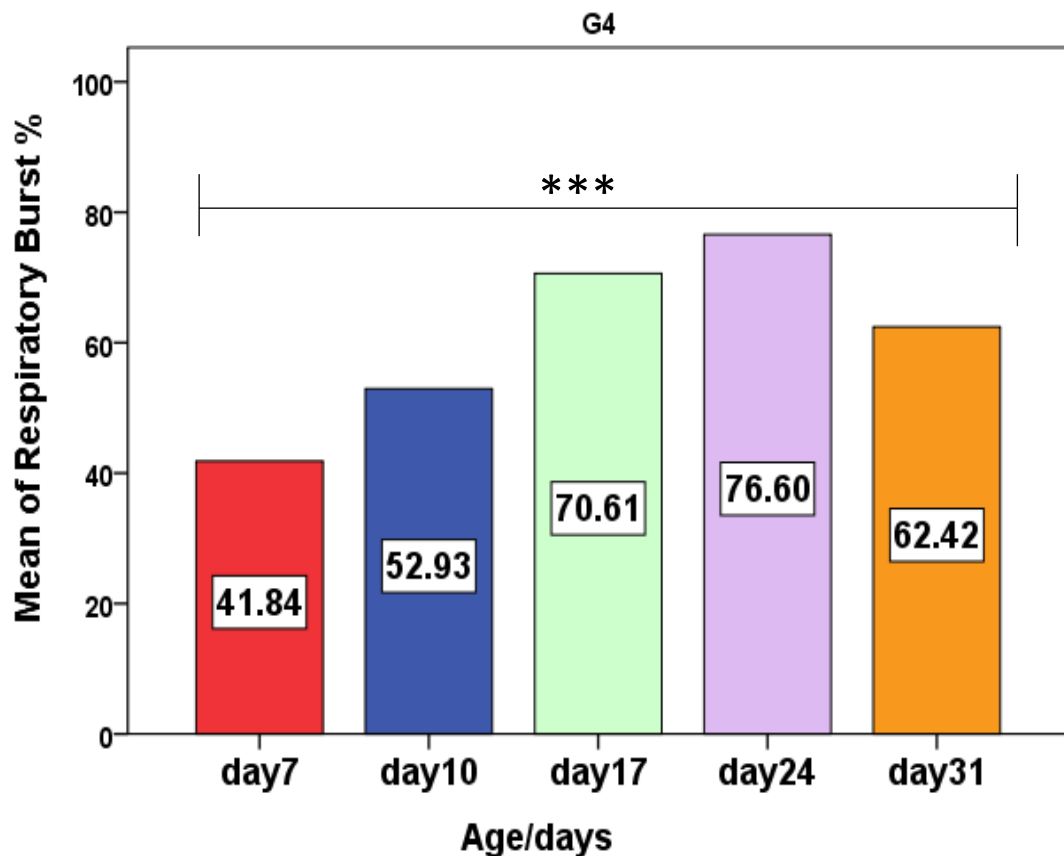


***) القيم تختلف معنوياً عند مستوى احتمالية $p<0.05$

شكل (43) مقارنة نسبة اختبار الانفجار التنفسى في المجموعة الثالثة

4-4-2-4: مقارنة نسبة الانفجار التنفسى في الأسابيع المختلفة ضمن المجموعة الرابعة

أظهرت النتائج وجود فروقات معنوية بين جميع الأسابيع في المجموعة الرابعة عند مستوى احتمالية ($p<0.05$), وبلغت أقل قيمة لنسبة اختبار الانفجار التنفسى في اليوم السابع من التجربة ومن ثم ارتفعت تدريجياً حتى بلغت أعلى قيمة لها في اليوم الرابع والعشرين من التجربة. شكل (44)

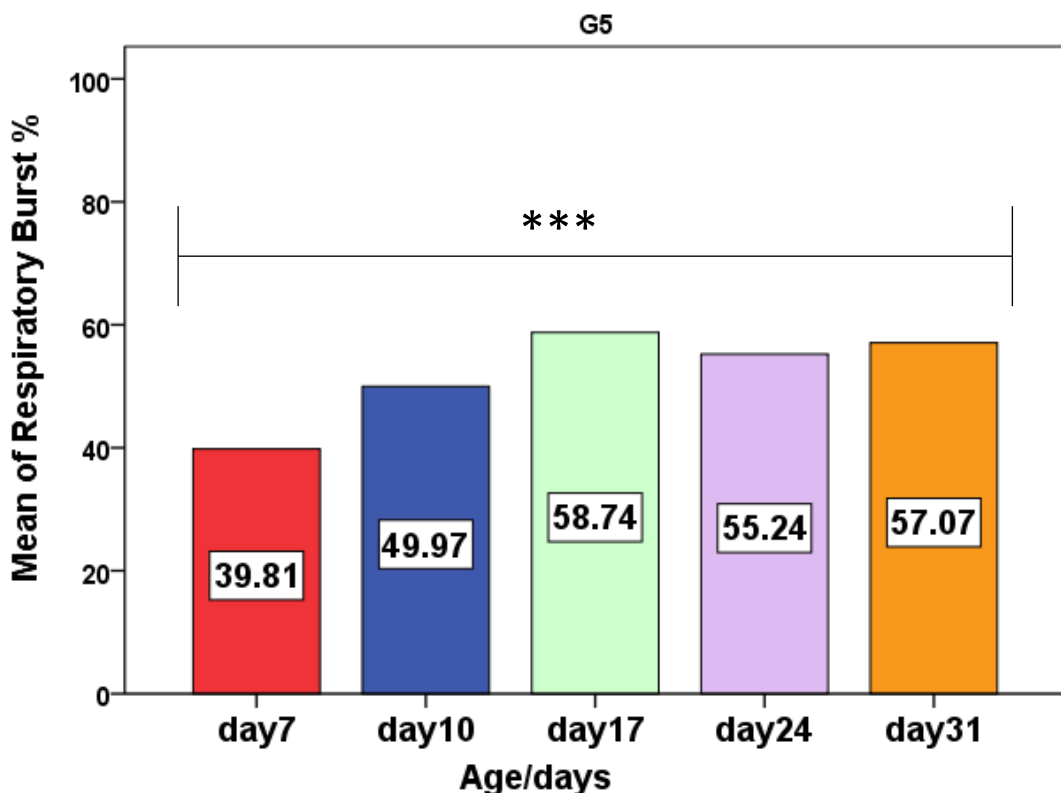


(***) القيم تختلف معنوياً عند مستوى احتمالية $p < 0.05$.

شكل (44) مقارنة نسبة اختبار الانفجار التنفسى في المجموعة الرابعة

5-4-2-4: مقارنة نسبة الانفجار التنفسى في الأسابيع المختلفة ضمن المجموعة الخامسة

سجلت النتائج وجود فروقات معنوية بين جميع الأسابيع في المجموعة الخامسة عند مستوى احتمالية ($p < 0.05$), وبلغت أقل قيمة لنسبة اختبار الانفجار التنفسى في اليوم السابع من التجربة ومن ثم ارتفعت تدريجياً حتى بلغت أعلى قيمة لها في اليوم السابع عشر من التجربة. شكل (45)

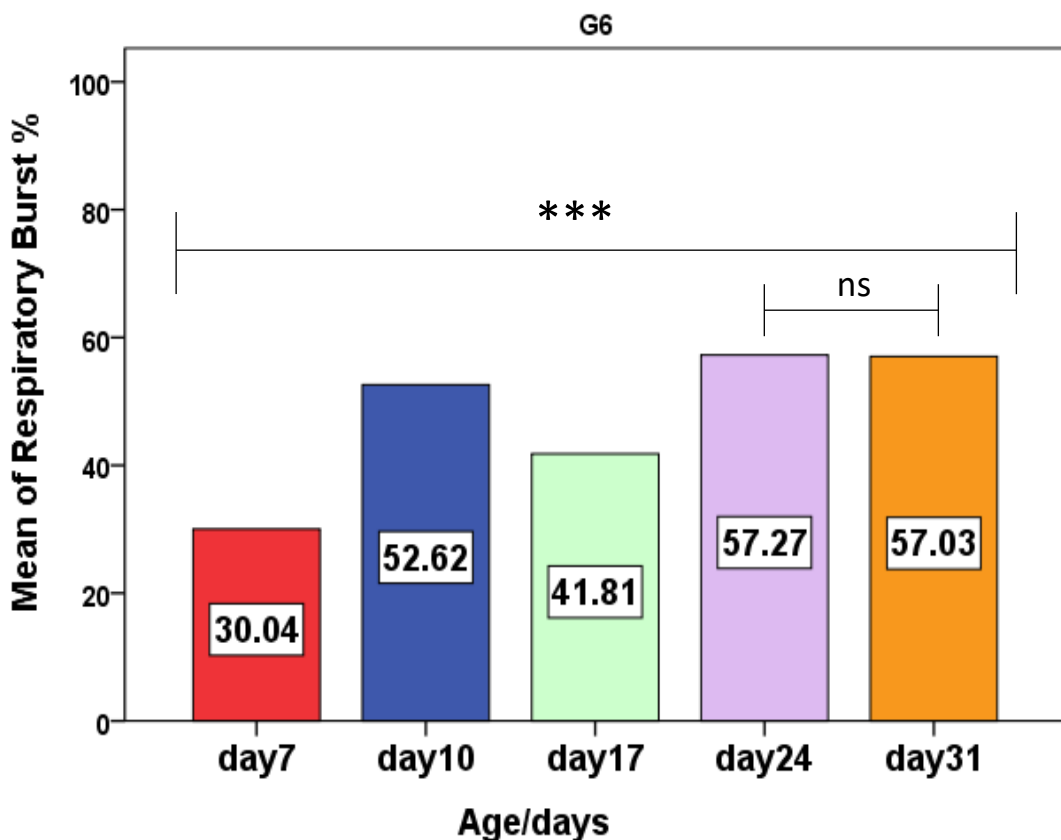


(***) القيم تختلف معنوياً عند مستوى احتمالية $p < 0.05$.

شكل (45) مقارنة نسبة اختبار الانفجار التنفسi في المجموعة الخامسة

4-4-2-4: مقارنة نسبة الانفجار التنفسi في الأسابيع المختلفة ضمن المجموعة السادسة

بيّنت النتائج وجود فروقات معنوية بين جميع الأسابيع في المجموعة السادسة باستثناء اليومين الرابع والعشرين والحادي والثلاثين فلم يسجل وجود فرق معنوي بينهما عند مستوى احتمالية ($p < 0.05$)، وبلغت أقل قيمة لنسبة اختبار الانفجار التنفسi في اليوم السابع من التجربة ومن ثم ارتفعت ارتفاعاً تدريجياً حتى بلغت أعلى قيمة لها في اليوم الرابع والعشرين من التجربة. شكل (46)

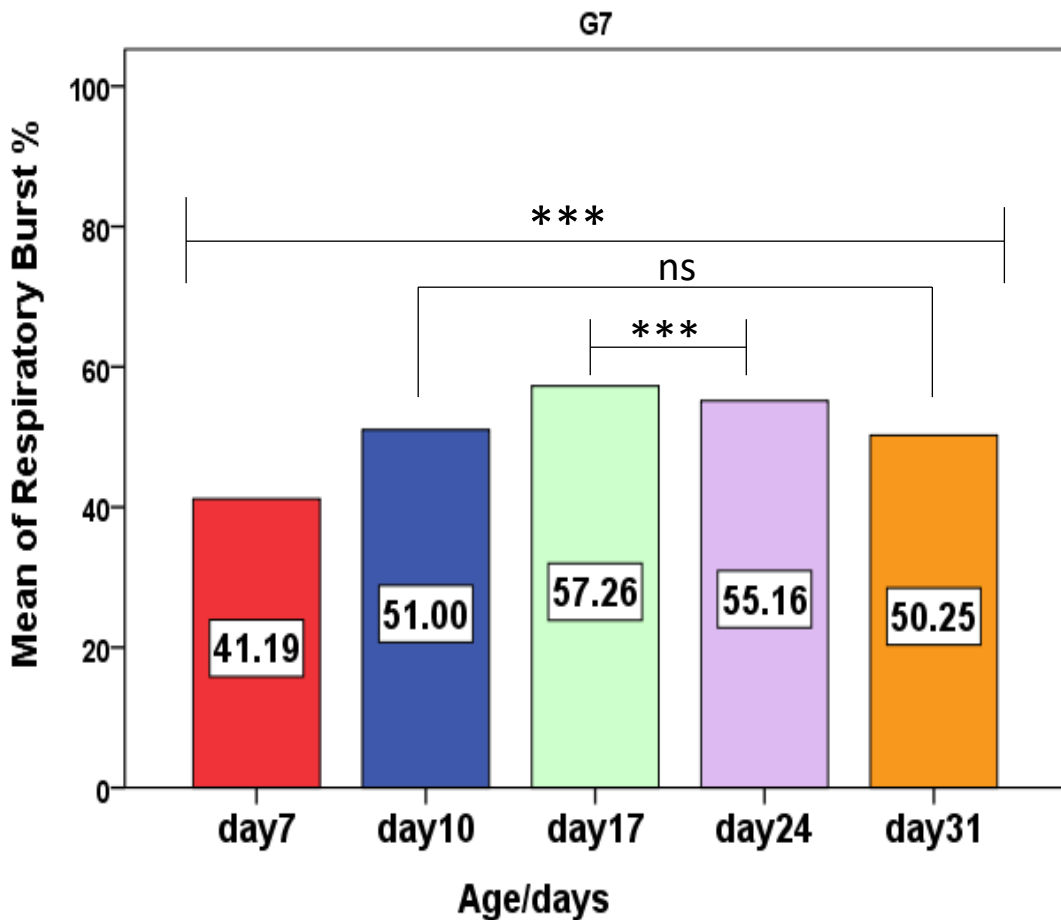


*** (القيم تختلف معنوياً عند مستوى احتمالية $p<0.05$)
 (ns) (لا يوجد فرق معنوي عند مستوى احتمالية $p>0.05$)

شكل (46) مقارنة نسبة اختبار الانفجار التنفسى في المجموعة السادسة

4-7-4-2-4: مقارنة نسبة الانفجار التنفسى في الأسابيع المختلفة ضمن المجموعة السابعة

أظهرت النتائج تواجد فروقات معنوية بين جميع الأسابيع في المجموعة السابعة باستثناء اليومين العاشر والحادي والثلاثين فلم يلاحظ وجود فرق معنوي عند مستوى احتمالية ($p<0.05$)، وبلغت أقل قيمة لنسبة اختبار الانفجار التنفسى في اليوم السابع من التجربة ثم ارتفعت حتى بلغت أعلى قيمة لها في اليوم السابع عشر. شكل (47)

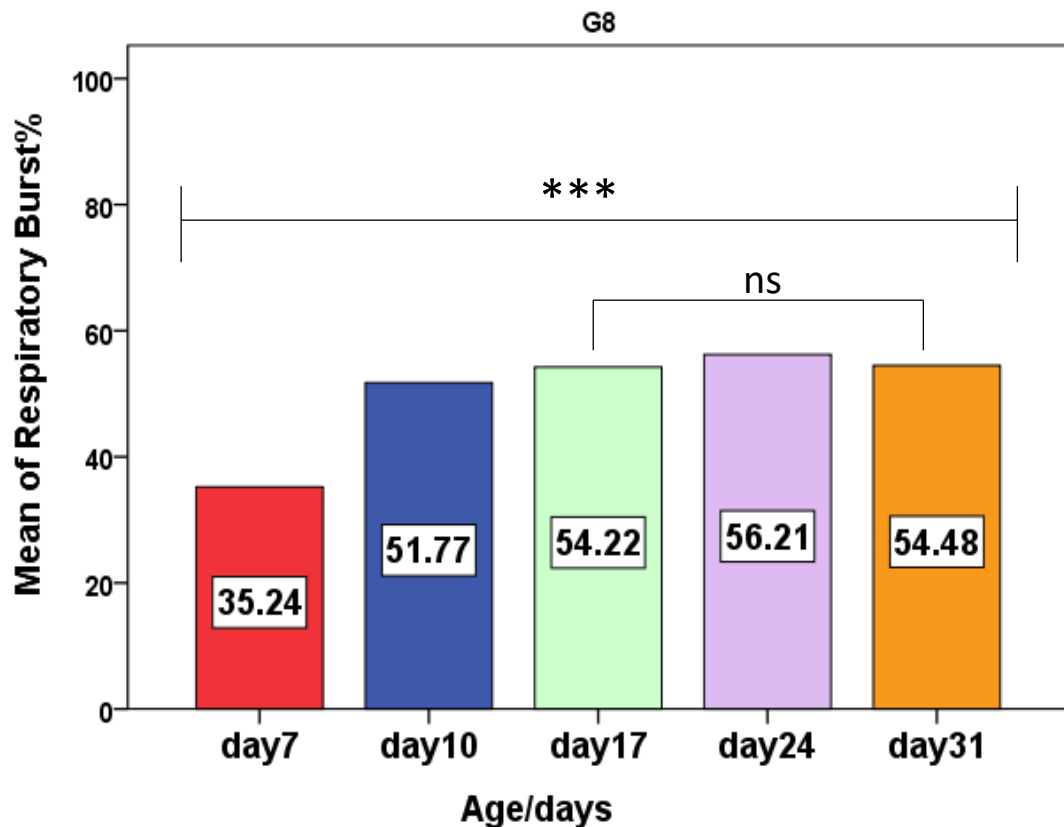


(***) القيم تختلف معنوياً عند مستوى احتمالية $p<0.05$
 (ns) لا يوجد فرق معنوي عند مستوى احتمالية $p>0.05$

شكل (47) مقارنة نسبة اختبار الانفجار التنفسى في المجموعة السابعة

8-4-2-4: مقارنة نسبة الانفجار التنفسى في الأسابيع المختلفة ضمن المجموعة الثامنة

أوضحت النتائج وجود فروقات معنوية بين جميع الأسابيع في المجموعة الثامنة باستثناء اليومين السابع والحادي والثلاثين فلم يسجل وجود فرق معنوي عند مستوى احتمالية ($p<0.05$)، وبلغت أقل قيمة لنسبة اختبار الانفجار التنفسى في اليوم السابع من التجربة ثم ارتفعت لأعلى قيمة لها في اليوم الرابع والعشرين من التجربة. شكل (48)



*** (القيم تختلف معنوياً عند مستوى احتمالية $p < 0.05$).

.ns (لا يوجد فرق معنوي عند مستوى احتمالية $p > 0.05$).

شكل (48) مقارنة نسبة اختبار الانفجار التنفسى في المجموعة الثامنة

4-9-4-2-4: مقارنة نسبة اختبار الانفجار التنفسى بين المجاميع المختلفة خلال فترة التجربة

أظهرت مقارنة نتائج المجاميع المختلفة وجود فروقات معنوية بين مجاميع التجربة في اليوم السابع من التجربة ولم يسجل وجود فرق معنوي بين المجموعة الأولى (G1) والتي كانت قيمتها (1.20 ± 35.23) والمجموعة الثامنة (G8) والتي كانت قيمتها (0.60 ± 35.78) ووكذلك لم يكن هناك فرق معنوي بين المجموعة الرابعة (G4) والتي كانت قيمتها ± 42.83 والمجموعة السابعة (G7) والتي كانت قيمتها (0.47 ± 41.18) ، وسجلت أعلى قيمة لنسبة اختبار الانفجار التنفسى في المجموعة الثالثة (G3) إذ بلغت (1.12 ± 44.72) وكانت أقل قيمة لها في المجموعة السادسة (G6) والتي بلغت (0.55 ± 30.04) .

وفي اليوم العاشر من التجربة أظهرت النتائج وجود فروقات معنوية بين مجاميع التجربة بينما لم يسجل فرق معنوي بين المجموعة الرابعة (G4) والتي كانت قيمتها ± 52.92

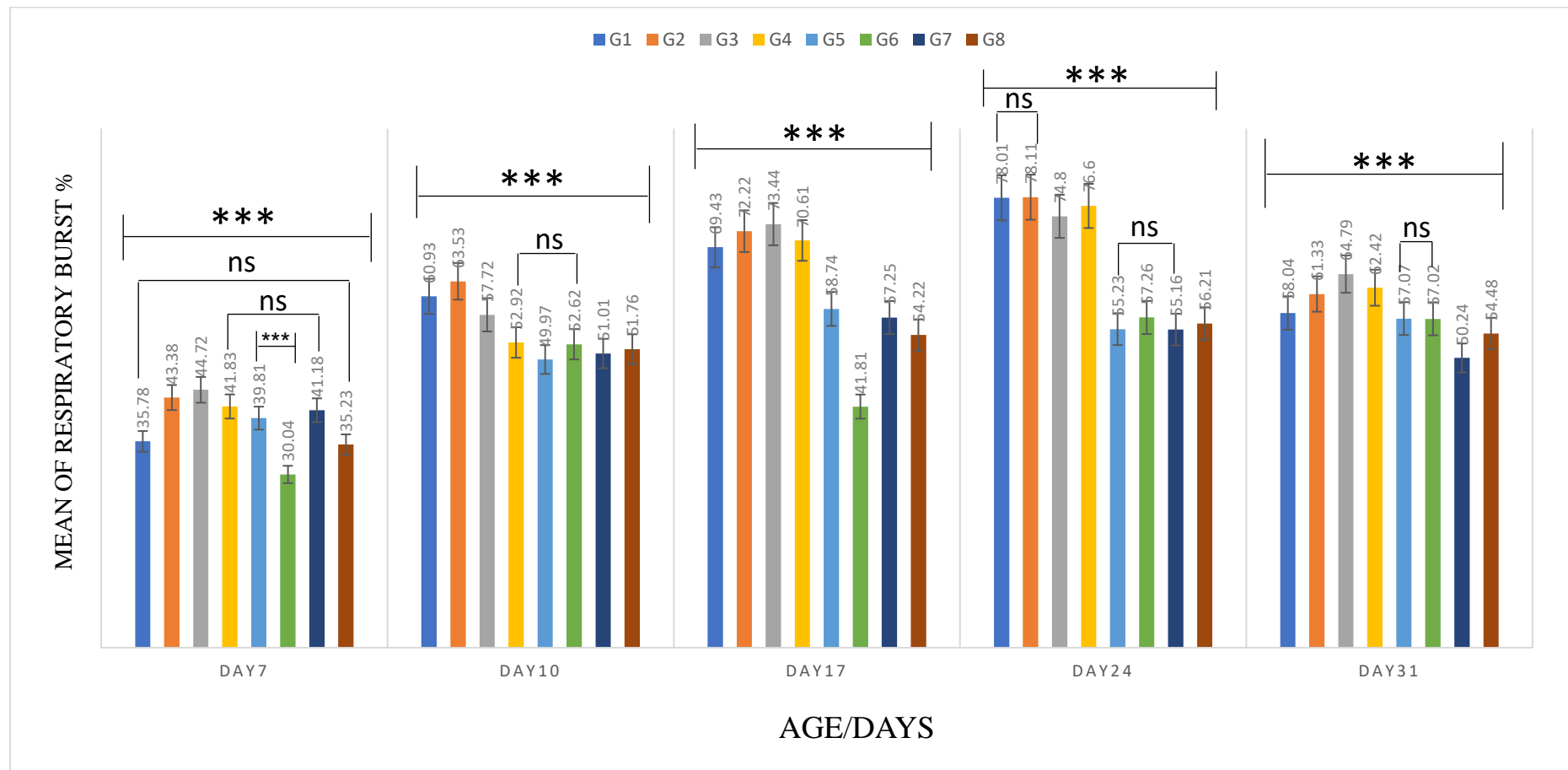
0.59 والمجموعة السادسة (G6) والتي كانت قيمتها 0.98 ± 52.62 ، وبلغت أعلى قيمة نسبة اختبار الانفجار التنفسى في المجموعة الثانية (G2) إذ بلغت 1.13 ± 63.53 وكانت أقل قيمة لها في المجموعة الخامسة (G5) والتي بلغت 0.55 ± 49.97 .

وفي اليوم السابع عشر من التجربة أظهرت النتائج وجود فروقات معنوية بين جميع مجاميع التجربة الملقحة وغير الملقحة والمعاملة بالزيوت وغير المعاملة، وبلغت أعلى قيمة نسبة اختبار الانفجار التنفسى في المجموعة الثالثة (G3) والتي كانت قيمتها ± 73.44 و كانت أقل قيمة لها في المجموعة السادسة (G6) إذ بلغت قيمتها 0.39 ± 41.81 .

وفي اليوم الرابع والعشرين من التجربة أظهرت النتائج تسجيل فروقات معنوية بين مجاميع التجربة بينما لم يؤشر وجود فرق معنوي بين المجموعة الأولى (G1) والتي كانت قيمتها 0.51 ± 78.11 والمجموعة الثانية (G2) والتي كانت قيمتها 0.67 ± 78.01 ، فضلا عن عدم تواجد فرق معنوي بين المجموعة الخامسة (G5) والتي كانت قيمتها 55.23 ± 1.12 والمجموعة السابعة (G7) والتي كانت قيمتها 16.45 ± 55.16 ، وبلغت أعلى قيمة لنسبة اختبار الانفجار التنفسى في المجموعة الثانية (G2) والتي كانت قيمتها ± 78.01 وكانت أقل قيمة لها في المجموعة السابعة (G7) والتي كانت قيمتها 0.67 ± 55.16 (1.45).

وفي اليوم الحادى والثلاثين أظهرت النتائج وجود فروقات معنوية بين مجاميع التجربة، ولم يسجل وجود فرق معنوي بين المجموعة الخامسة (G5) والتي كانت قيمتها ± 57.07 ± 1.11 والمجموعة السادسة (G6) والتي كانت قيمتها 0.77 ± 57.02 ، وكانت أعلى قيمة لنسبة اختبار الانفجار التنفسى في المجموعة الثالثة (G3) إذ بلغت 0.60 ± 64.79 وبلغت أقل قيمة لها في المجموعة السابعة (G7) والتي كانت قيمتها 1.26 ± 50.24 (49). شكل (49)

وبدراسة الشكل (49) يتبيّن لنا وجود ارتفاعٍ معنويٍّ في مؤشر الانفجار التنفسى مترافقاً مع تقدم ايام التجربة ليصل إلى أعلى مدى له في اليوم الرابع والعشرين و يؤشر ذلك إلى الاستجابة والفعالية العالية التي اكتسبتها الخلايا نتيجة المعاملات بالزيوت واللقالات.



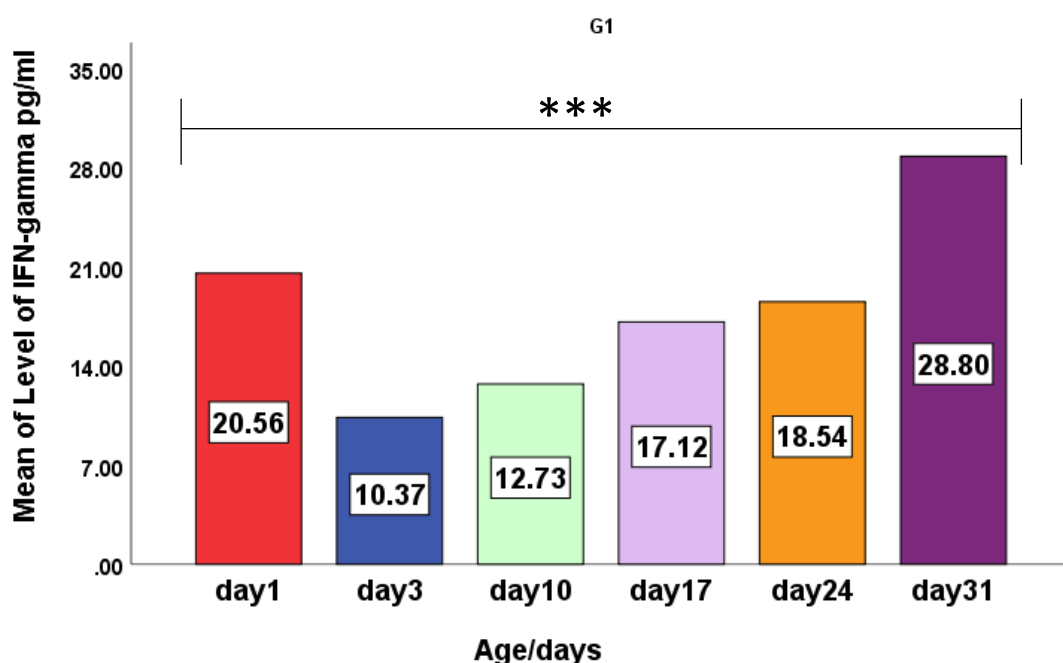
(**) القيم تختلف معنوياً عند مستوى احتمالية $p < 0.05$.

(ns) لا يوجد فرق معنوي عند مستوى احتمالية $p > 0.05$.

شكل (49) مقارنة نسبة اختبار الانفجار التنفسi بين المجاميع المختلفة خلال فترة التجربة

4-2-4: نتائج قياس مستوى الانترفيرون كاما**1-5-2-4: مقارنة مستوى الانترفيرون كاما في الأسابيع المختلفة ضمن المجموعة الأولى**

أظهرت نتائج قياس الانترفيرون كاما وجود فروقات معنوية بين جميع الأسابيع في المجموعة الأولى عند مستوى احتمالية ($p < 0.05$)، إذ لوحظ ارتفاع في اليوم الأول ومن ثم بلغت أقل قيمة لها في اليوم الثالث ثم ارتفعت تدريجياً حتى بلغت أعلى قيمة لمستوى الانترفيرون كاما في اليوم الحادي والثلاثين. شكل (50)

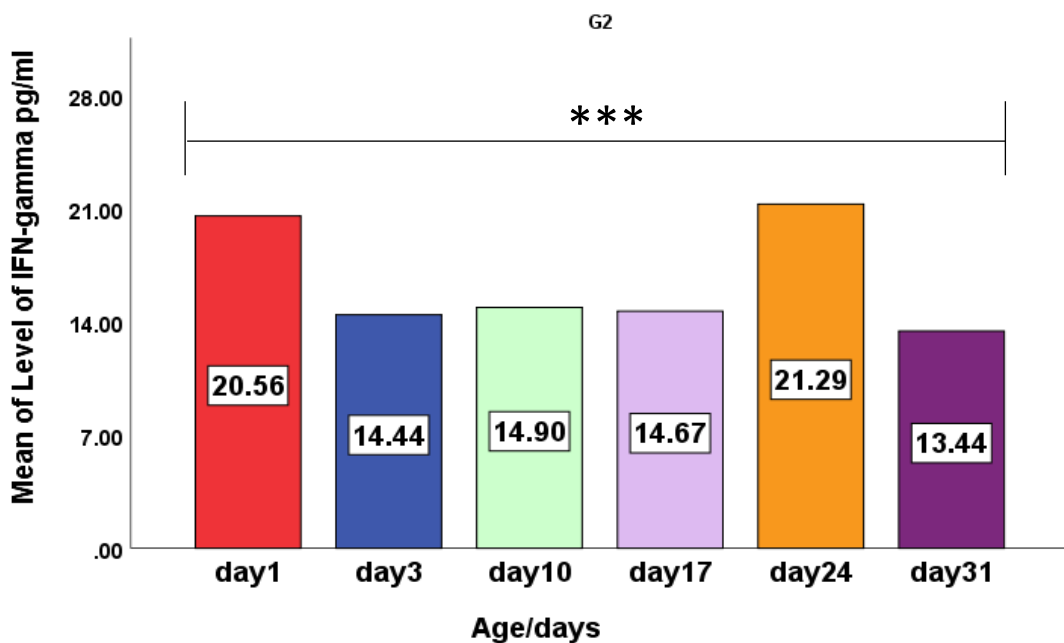


(***) القيم تختلف معنويًا عند مستوى احتمالية $p < 0.05$.

شكل (50) مقارنة مستوى الانترفيرون كاما في المجموعة الأولى

4-2-4: مقارنة مستوى الانترفيرون كاما في الأسابيع المختلفة ضمن المجموعة الثانية

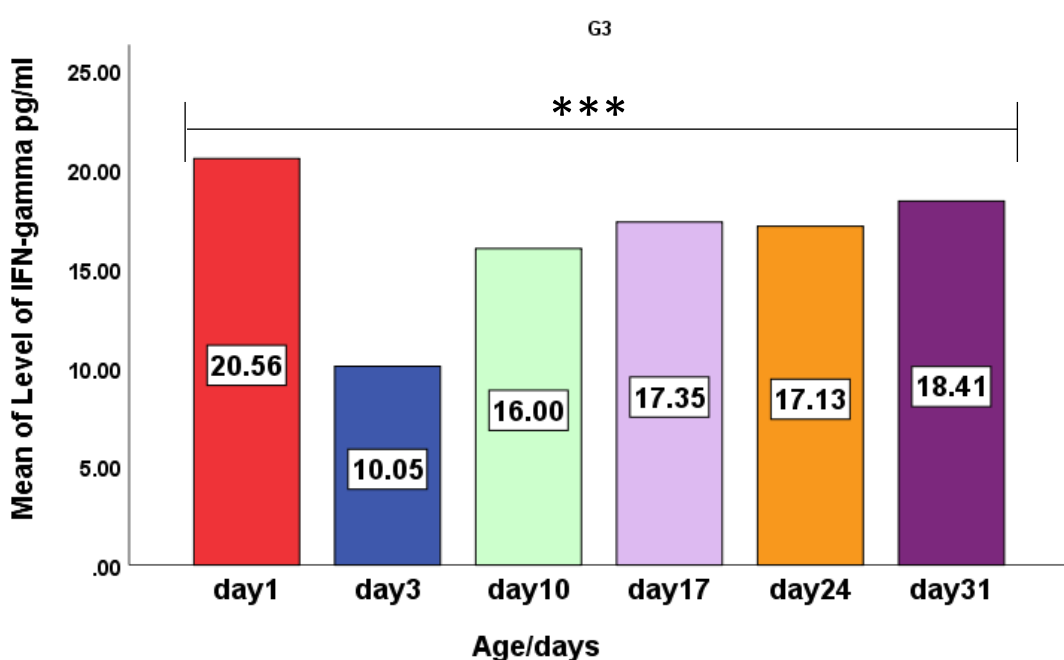
بيّنت النتائج وجود فروقات معنوية بين جميع الأسابيع في المجموعة الثانية عند مستوى احتمالية ($p < 0.05$)، إذ كان هناك ارتفاع ملحوظ في اليوم الأول ومن ثم انخفضت قيمة مستوى الانترفيرون كاما تدريجياً ثم ارتفعت حتى بلغت أعلى قيمة لها في اليوم الرابع والعشرين وكانت أقل قيمة لها في اليوم الحادي والثلاثين. شكل (51)



***) القيم تختلف معنوياً عند مستوى احتمالية $p < 0.05$.

شكل (51) مقارنة مستوى الانترفيرون كاما في المجموعة الثانية

3-5-2-4: مقارنة مستوى الانترفيرون كاما في الأسابيع المختلفة ضمن المجموعة الثالثة
 أظهرت النتائج وجود فروقات معنوية بين جميع الأسابيع في المجموعة الثالثة عند مستوى احتمالية ($p < 0.05$), وبلغت أعلى قيمة لها في اليوم الأول ومن ثم انخفضت لتصل أقل قيمة لها في اليوم الثالث ثم ارتفعت تدريجياً إلى آخر يوم في التجربة. شكل (52)

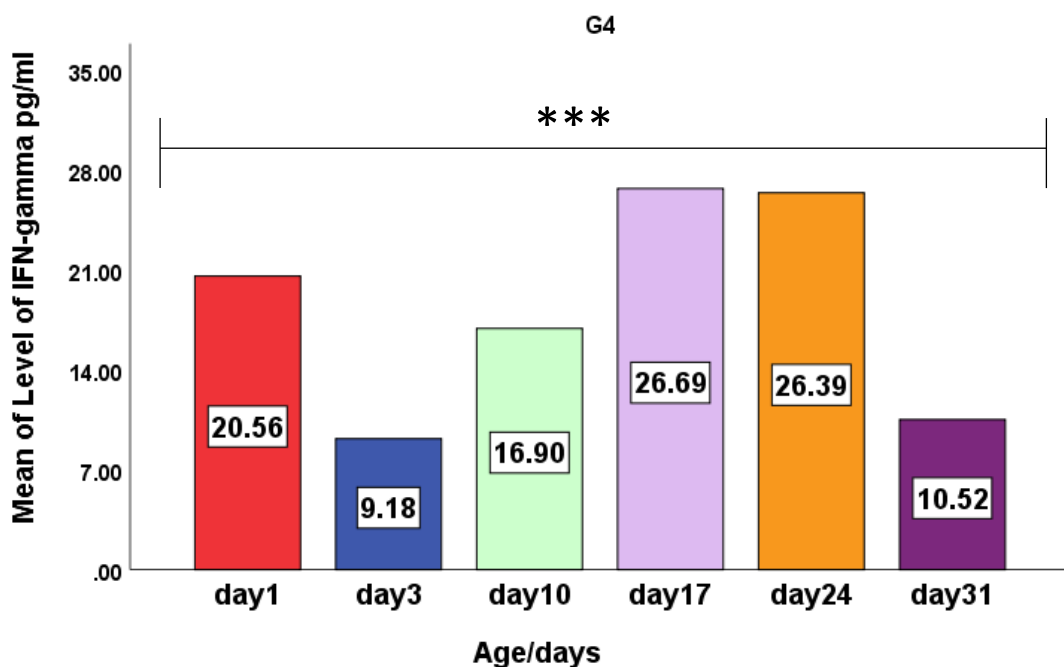


***) القيم تختلف معنوياً عند مستوى احتمالية $p < 0.05$.

شكل (52) مقارنة مستوى الانترفيرون كاما في المجموعة الثالثة

4-5-2-4: مقارنة مستوى الانترفيرون كاما في الأسابيع المختلفة ضمن المجموعة الرابعة

بيّنت النتائج وجود فروقات معنوية بين جميع الأسابيع في المجموعة الرابعة عند مستوى احتمالية ($p<0.05$)، ولوحظ ارتفاع في اليوم الأول للتجربة ومن ثم انخفضت حتى بلغت أقل قيمة لها في اليوم الثالث للتجربة ومن ثم ارتفعت تدريجياً حتى بلغت أعلى قيمة لها في اليوم السابع عشر للتجربة. شكل (53)

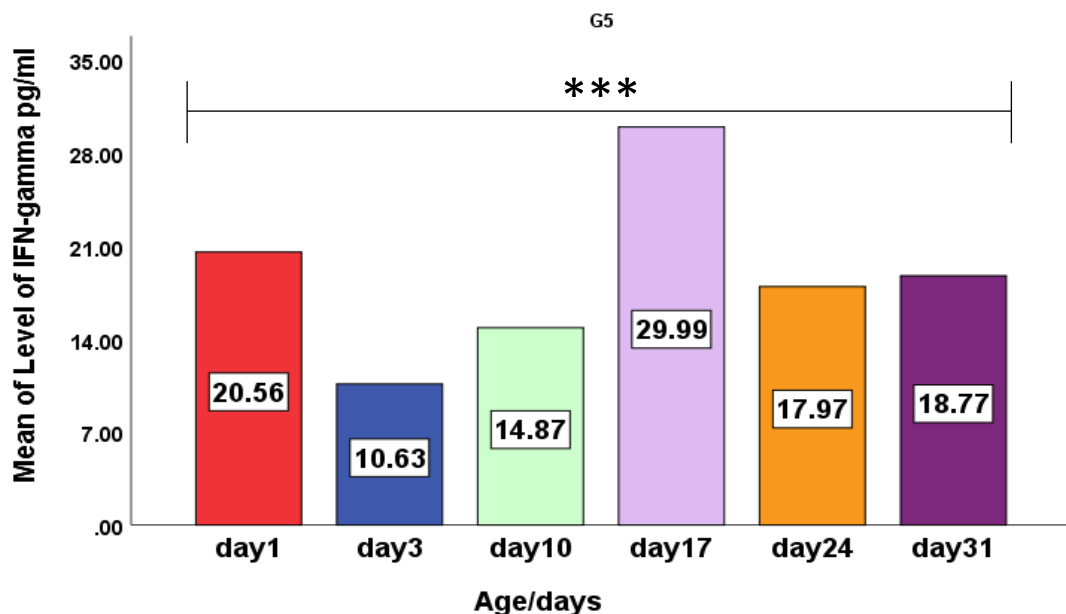


(***) القيم تختلف معنويًا عند مستوى احتمالية $p<0.05$.

شكل (53) مقارنة مستوى الانترفيرون كاما في المجموعة الرابعة

4-5-2-4: مقارنة مستوى الانترفيرون كاما في الأسابيع المختلفة ضمن المجموعة الخامسة

أظهرت النتائج وجود فروقات معنوية بين جميع الأسابيع في المجموعة الخامسة عند مستوى احتمالية ($p<0.05$)، إذ لوحظ ارتفاع في مستوى الانترفيرون كاما في اليوم الأول ثم انخفضت حتى بلغت أقل قيمة لها في اليوم الثالث ومن ثم ارتفعت حتى بلغت أعلى قيمة لها في اليوم السابع عشر من التجربة. شكل (54)

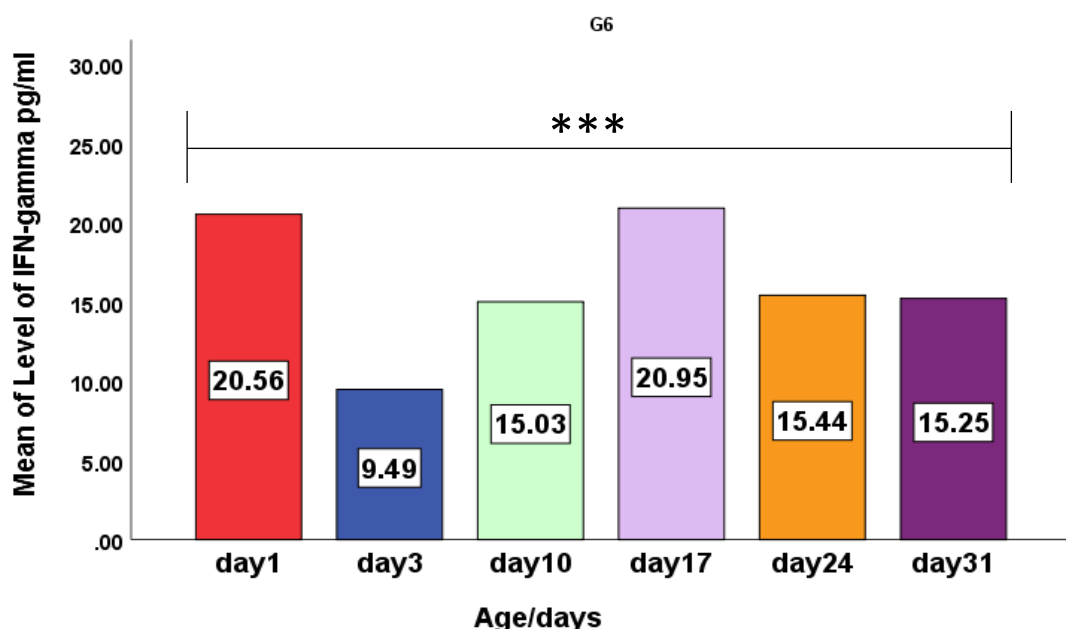


(***) القيم تختلف معنوياً عند مستوى احتمالية $p < 0.05$

شكل (54) مقارنة مستوى الانترفيرون كاما في المجموعة الخامسة

6-5-2-4: مقارنة مستوى الانترفيرون كاما في الأسابيع المختلفة ضمن المجموعة السادسة

أظهرت النتائج فروقات معنوية بين جميع الأسابيع في المجموعة السادسة عند مستوى احتمالية ($p < 0.05$)، ولوحظ ارتفاع في اليوم الأول للتجربة ثم انخفضت حتى بلغت أقل قيمة لها في اليوم الثالث ومن ثم ارتفع مستوى الانترفيرون كاما حتى بلغ أعلى قيمة له في اليوم السابع عشر. شكل (55)

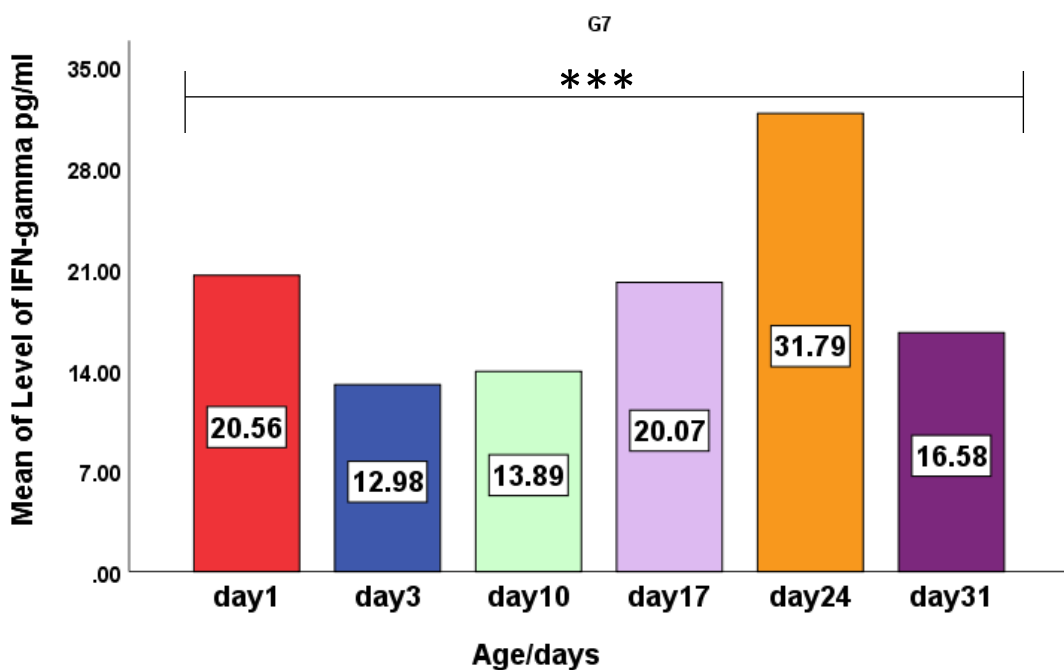


(***) القيم تختلف معنوياً عند مستوى احتمالية $p < 0.05$

شكل (55) مقارنة مستوى الانترفيرون كاما في المجموعة السادسة

4-5-2-4: مقارنة مستوى الانترفيرون كاما في الأسابيع المختلفة ضمن المجموعة السابعة

بيّنت النتائج وجود فروقات معنوية بين جميع الأسابيع في المجموعة السابعة عند مستوى احتمالية ($p<0.05$)، ولوحظ ارتفاع في اليوم الأول للتجربة ومن ثم انخفضت حتى بلغت أقل قيمة في اليوم الثالث ومن ثم ارتفع مستوى الانترفيرون كاما حتى بلغ أعلى قيمة له في اليوم الرابع والعشرين للتجربة. شكل (56)

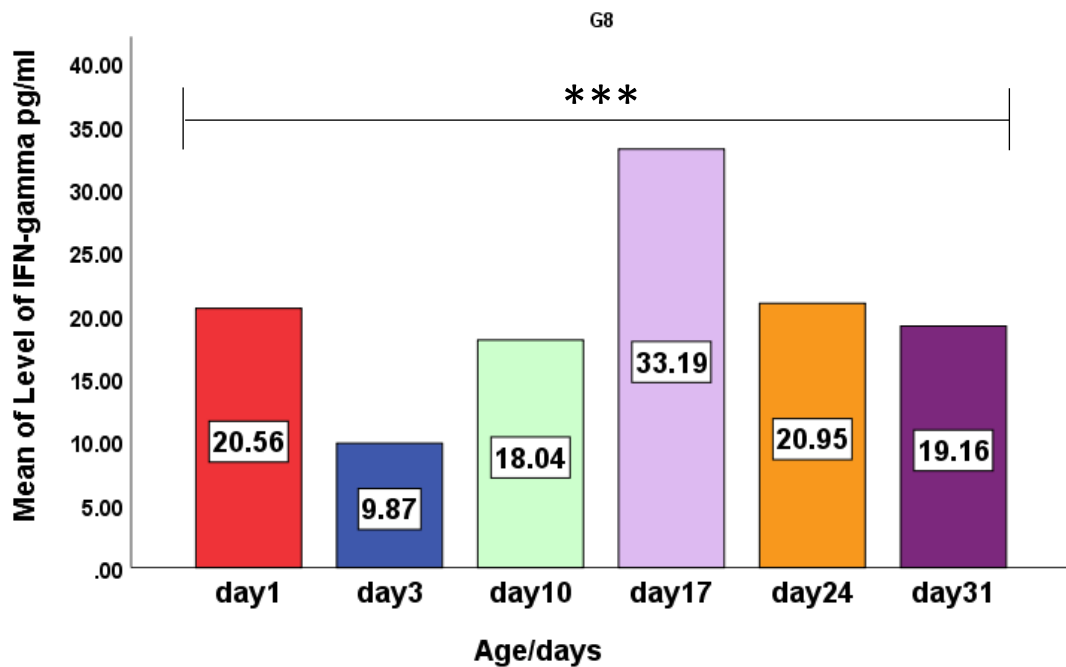


(***) القيم تختلف معنويًا عند مستوى احتمالية $p<0.05$.

شكل (56) مقارنة مستوى الانترفيرون كاما في المجموعة السابعة

4-5-2-4: مقارنة مستوى الانترفيرون كاما في الأسابيع المختلفة ضمن المجموعة الثامنة

أظهرت النتائج تسجيل فروقات معنوية بين جميع الأسابيع في المجموعة الثامنة عند مستوى احتمالية ($p<0.05$)، ولوحظ ارتفاع في اليوم الأول للتجربة ومن ثم انخفض مستوى الانترفيرون كاما حتى بلغ أقل قيمة في اليوم الثالث للتجربة ومن ثم ارتفع تدريجياً حتى بلغ أعلى قيمة له في اليوم السابع عشر للتجربة. شكل (57)



(***) القيم تختلف معنوياً عند مستوى احتمالية $p < 0.05$

شكل (57) مقارنة مستوى الانترفيرون كاما في المجموعة الثامنة

9-5-2-4: مقارنة مستوى الانترفيرون كاما بين المجاميع المختلفة خلال فترة التجربة

بيّنت نتائج المقارنات بين المجاميع المختلفة تفاوتاً من الناحية المعنوية مترافقاً مع تقدم أيام التجربة، وتبيّن عدم وجود فروق معنوية بين المجاميع في اليوم الأول للتجربة، بينما وجد أن هناك فروقات معنوية في اليوم الثالث وبين جميع مجاميع التجربة الملقحة وغير الملقحة والمعلّمة بالزيوت لغير المعلّمة إذ كان أعلى مستوى للانترفيرون كاما في المجموعة الثانية (G2) والتي بلغت (0.06 ± 14.44) وبلغت أقل قيمة لها في المجموعة الرابعة (G4) والتي كانت قيمتها (0.05 ± 9.17) .

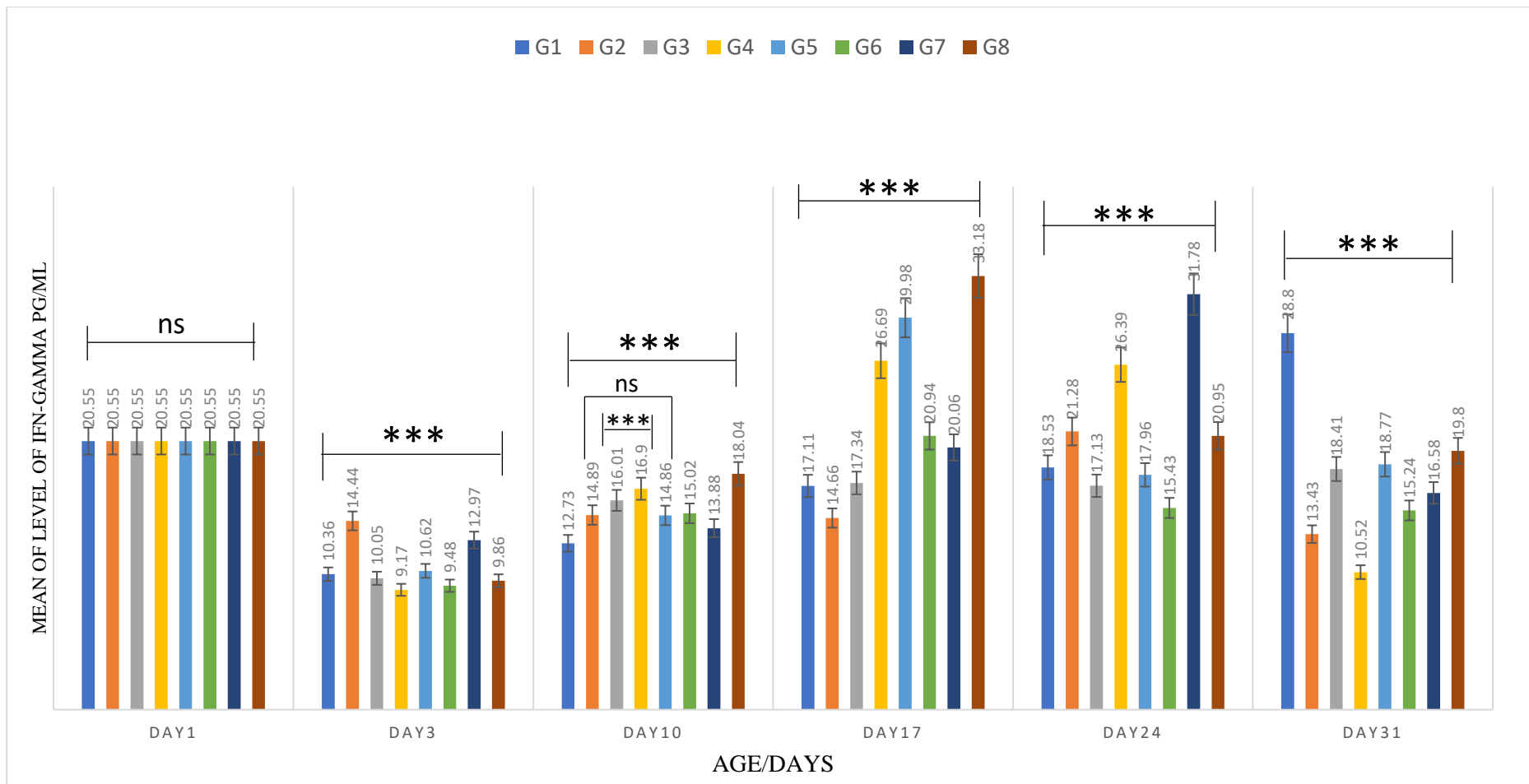
وسجل اليوم العاشر للتجربة فروقات معنوية بين مجاميع التجربة بينما لم يسجل فرقاً معنويّاً بين المجموعة الثانية (G2) التي كانت قيمتها (0.06 ± 14.89) والمجموعة الخامسة (G5) التي كانت قيمتها (0.04 ± 14.86) ، وبلغ أعلى مستوى للانترفيرون كاما في المجموعة الثامنة (G8) حيث بلغ (0.04 ± 18.04) وبلغ أقل مستوى له في المجموعة الأولى (G1) والذي كان (0.07 ± 12.73) .

واظهرت نتائج اليوم السابع عشر للتجربة فروقات معنوية بين جميع مجاميع التجربة الملقحة وغير الملقحة والمعاملة بالزيوت وغير المعاملة إذ بلغ أعلى مستوى للانترفيرون كاما في المجموعة الثامنة (G8) إذ بلغ (0.05 ± 33.18) وأقل مستوى له في المجموعة الثانية (G2) إذ بلغ (0.05 ± 14.66).

أما في اليوم الرابع والعشرين للتجربة وجد أن هنالك فروقات معنوية بين جميع مجاميع التجربة الملقحة وغير الملقحة والمعاملة بالزيوت وغير المعاملة إذ بلغ أعلى مستوى للانترفيرون كاما في المجموعة السابعة (G7) والذي بلغ (0.05 ± 31.78) وكان أقل مستوى للانترفيرون كاما في المجموعة السادسة (G6) والذي بلغ (0.05 ± 15.43).

وسجل اليوم الحادي والثلاثون للتجربة فروقات معنوية بين جميع مجاميع التجربة الملقحة وغير الملقحة والمعاملة بالزيوت وغير المعاملة إذ بلغ أعلى مستوى للانترفيرون كاما في المجموعة الأولى (G1) والذي كان (0.04 ± 28.8) وكان أقل مستوى للانترفيرون كاما في المجموعة الرابعة (G4) إذ بلغ (0.06 ± 10.52). شكل (58)

ومن تحليل الشكل (58) يلاحظ أن مستوى الانترفيرون كاما يتفاوت بين الارتفاع والانخفاض على مدار تقدم أوقات التجربة إلا أنه سجل ارتفاعاً ملحوظاً في بعض المجاميع خصوصاً في اليومين السابع عشر والرابع والعشرين من التجربة.



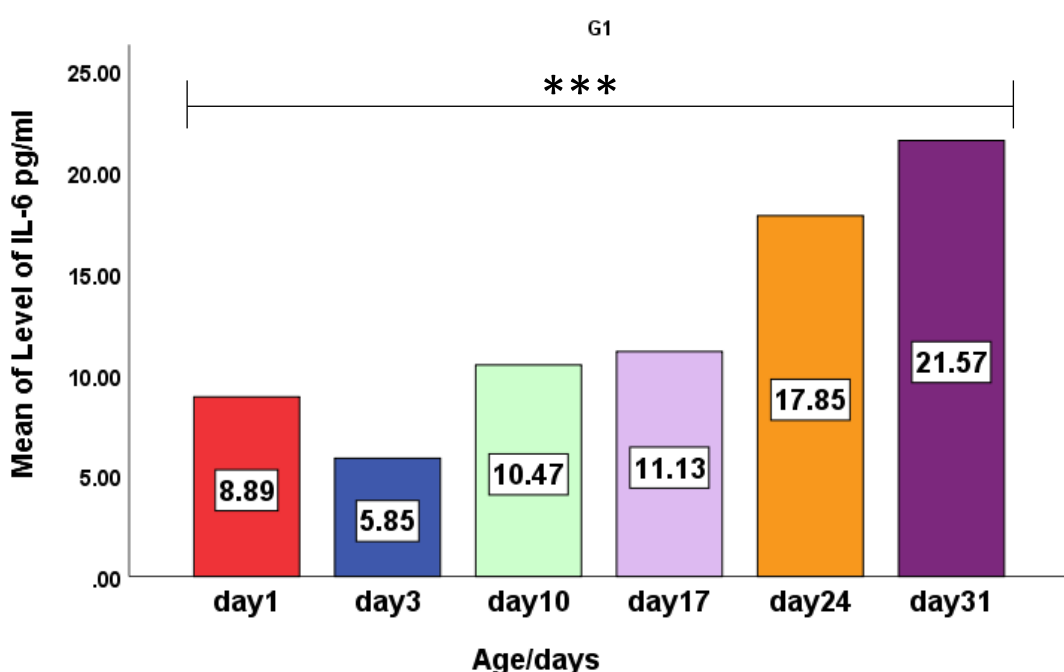
(***) (***) القيم تختلف معنوياً عند مستوى احتمالية $p < 0.05$

(ns) لا يوجد فرق معنوي عند مستوى احتمالية $p < 0.05$

شكل (58) مقارنة مستوى الانترفيرون كاما بين المجاميع المختلفة خلال فترة التجربة

4-2-4: نتائج قياس مستوى الانترلوكين 6

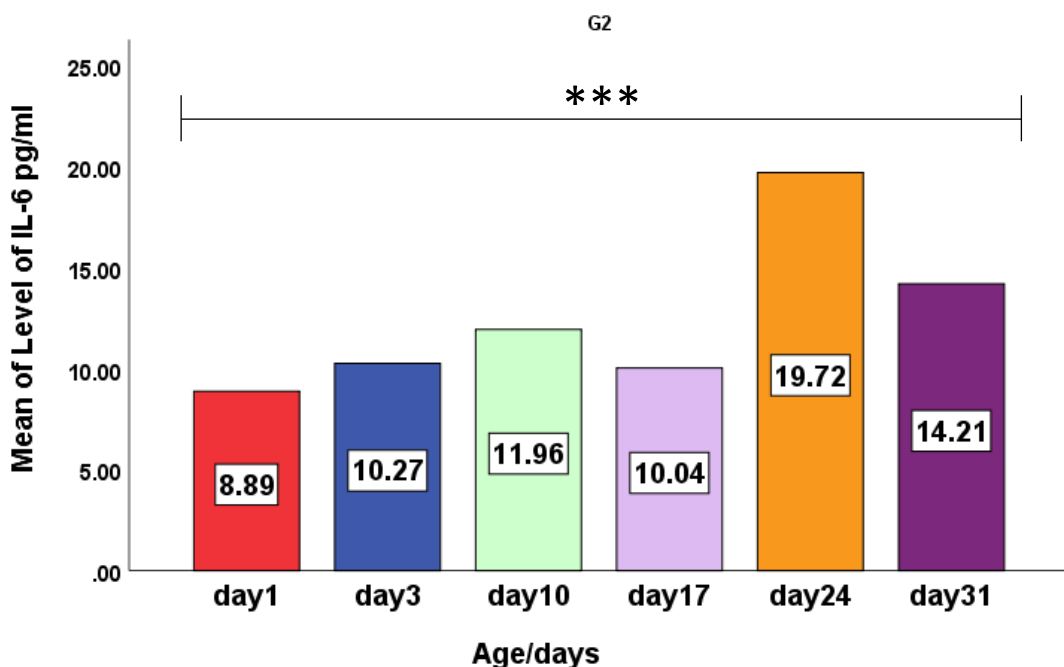
1-6-2-4: مقارنة مستوى الانترلوكين 6 في الأسابيع المختلفة ضمن المجموعة الأولى
 أظهرت النتائج وجود فروقات معنوية بين جميع الأسابيع في المجموعة الأولى عند مستوى احتمالية ($p<0.05$) إذ لوحظ ارتفاع في اليوم الأول ومن ثم انخفض إلى أقل مستوى له في اليوم الثالث ومن ثم ارتفع مستوى الانترلوكين 6 تدريجياً حتى بلغ أعلى قيمة له في اليوم الحادي والثلاثين للتجربة. شكل (59)



(***) القيم تختلف معنويًا عند مستوى احتمالية $p<0.05$.

شكل (59) مقارنة مستوى الانترلوكين 6 في المجموعة الأولى

2-6-2-4: مقارنة مستوى الانترلوكين 6 في الأسابيع المختلفة ضمن المجموعة الثانية
 بينت النتائج وجود فروقات معنوية بين جميع الأسابيع في المجموعة الثانية عند مستوى احتمالية ($p<0.05$), وبلغ أقل مستوى للانترلوكين 6 في اليوم الأول من التجربة ثم ارتفع تدريجياً حتى بلغ أعلى قيمة له في اليوم الرابع والعشرين من التجربة. شكل (60)

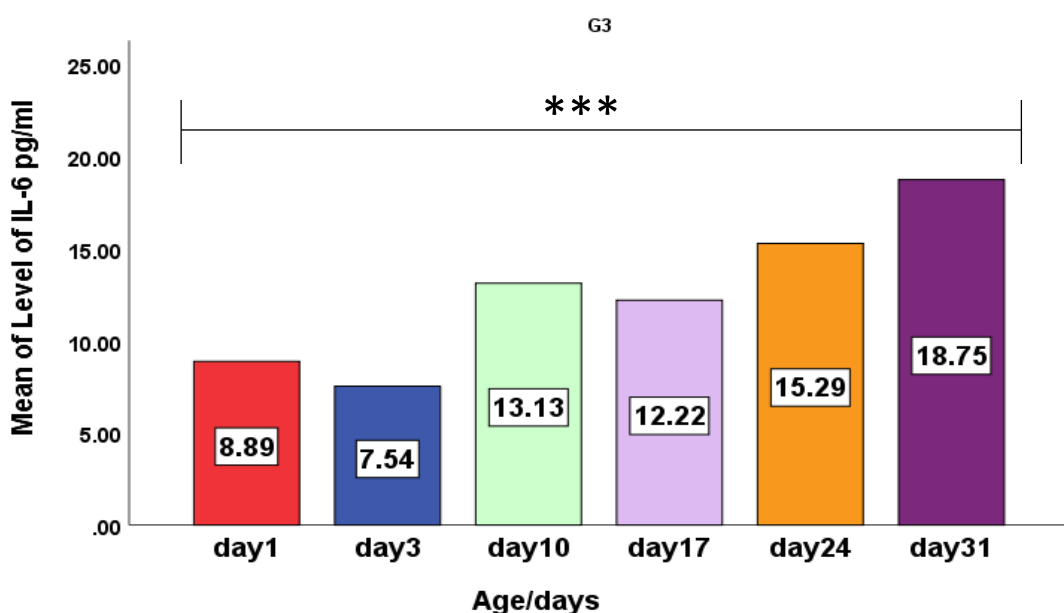


(***) القيم تختلف معنوياً عند مستوى احتمالية $p<0.05$

شكل (60) مقارنة مستوى الانترلوكين 6 في المجموعة الثانية

3-6-2-4: مقارنة مستوى الانترلوكين 6 في الأسابيع المختلفة ضمن المجموعة الثالثة

أظهرت النتائج وجود فروقات معنوية بين جميع الأسابيع في المجموعة الثالثة عند مستوى احتمالية ($p<0.05$), وبلغ أقل مستوى لانترلوكين 6 في اليوم الثالث من التجربة ثم ارتفع تدريجياً حتى بلغ أعلى مستوى له في اليوم الحادي والثلاثين من التجربة. شكل (61)

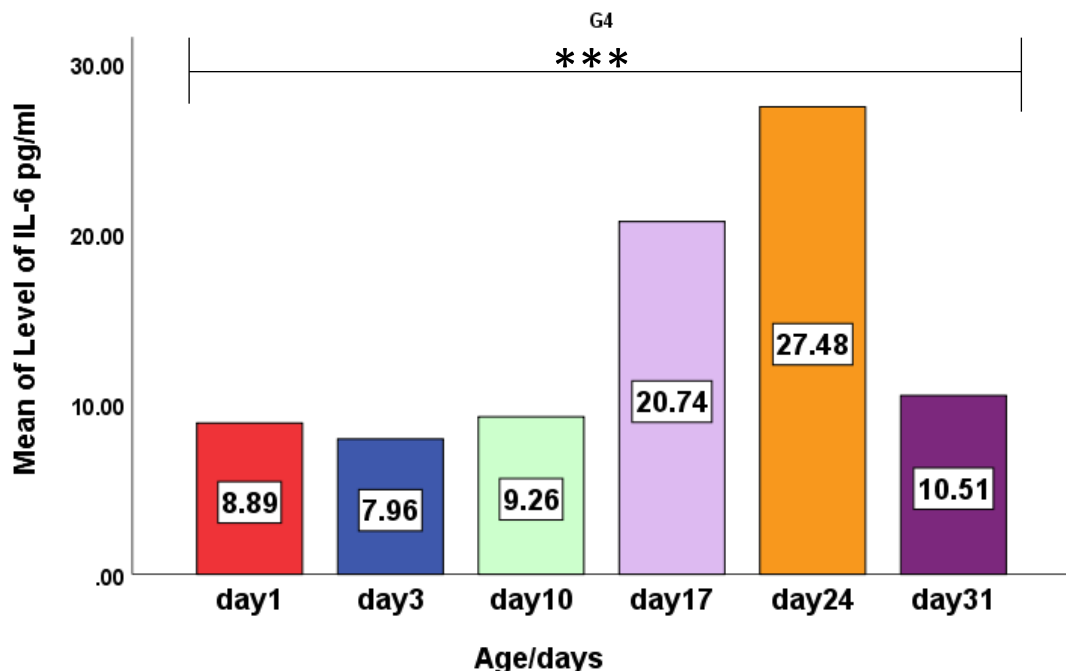


(***) القيم تختلف معنوياً عند مستوى احتمالية $p<0.05$

شكل (61) مقارنة مستوى الانترلوكين 6 في المجموعة الثالثة

4-6-2-4: مقارنة مستوى الانترلوكين 6 في الأسابيع المختلفة ضمن المجموعة الرابعة

سجلت النتائج وجود فروقات معنوية بين جميع الأسابيع في المجموعة الرابعة عند مستوى احتمالية ($p<0.05$)، وبلغ أقل مستوى للانترلوكين 6 في اليوم الثالث من التجربة ثم ارتفع تدريجياً حتى بلغ أعلى مستوى له في اليوم الرابع والعشرين من التجربة. شكل (62)

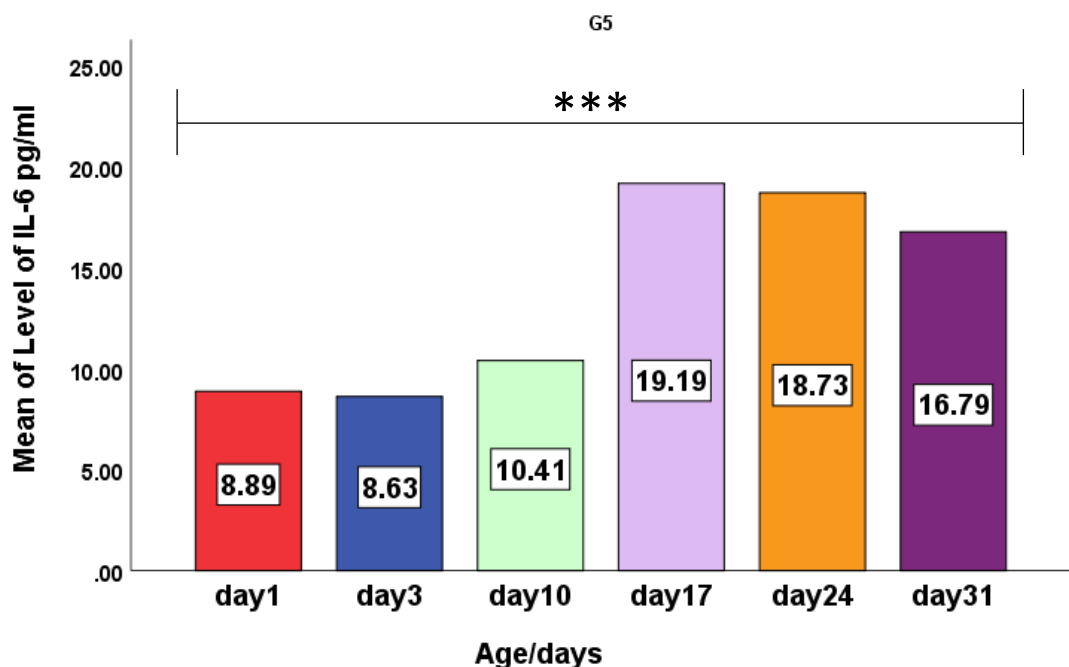


(***) القيم تختلف معنويًا عند مستوى احتمالية $p<0.05$.

شكل (62) مقارنة مستوى الانترلوكين 6 في المجموعة الرابعة

4-6-2-4: مقارنة مستوى الانترلوكين 6 في الأسابيع المختلفة ضمن المجموعة الخامسة

أظهرت النتائج وجود فروقات معنوية بين جميع الأسابيع في المجموعة الخامسة عند مستوى احتمالية ($p<0.05$)، وبلغ أقل مستوى للانترلوكين 6 في اليوم الثالث من التجربة ومن ثم ارتفع تدريجياً حتى بلغ أعلى مستوى له في اليوم السابع عشر من التجربة. شكل (63)

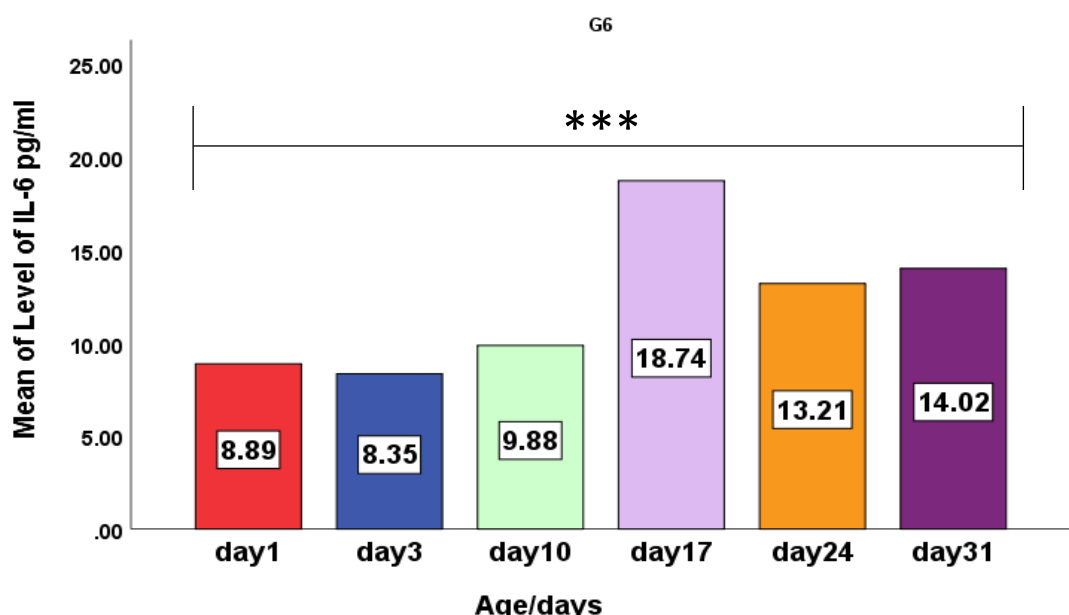


(***) القيم تختلف معنوياً عند مستوى احتمالية $p<0.05$.

شكل (63) مقارنة مستوى الانترلوكين 6 في المجموعة الخامسة

6-6-2-4: مقارنة مستوى الانترلوكين 6 في الأسابيع المختلفة ضمن المجموعة السادسة

أظهرت النتائج وجود فروقات معنوية بين جميع الأسابيع في المجموعة السادسة عند مستوى احتمالية ($p<0.05$), وبلغ أقل مستوى لانترلوكين 6 في اليوم الثالث من التجربة ومن ثم ارتفع حتى بلغ أعلى مستوى له في اليوم السابع عشر. شكل (64)

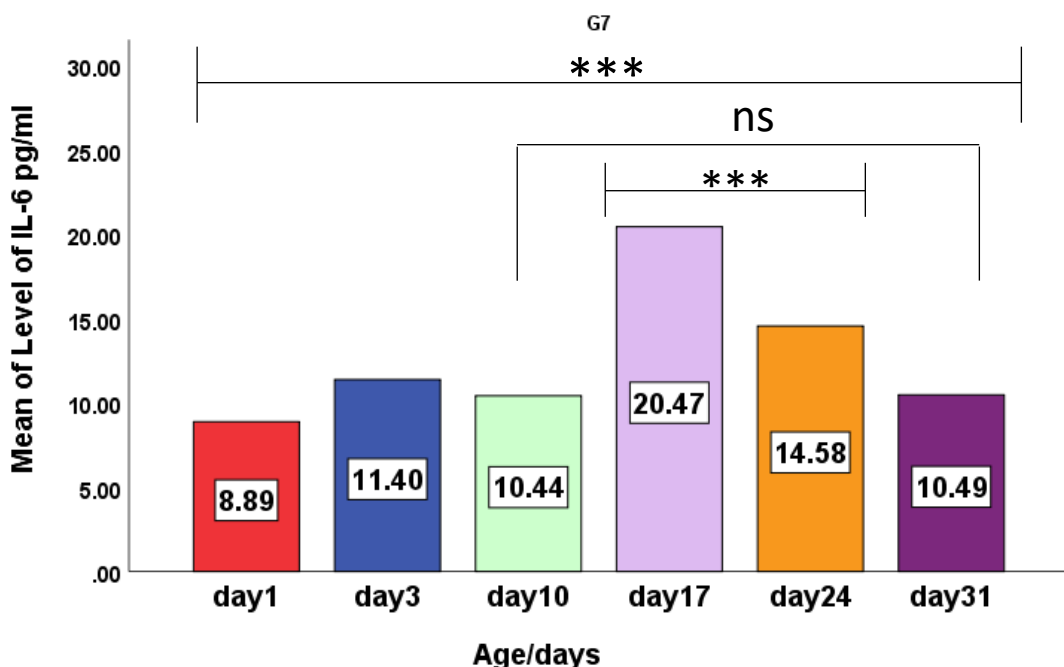


(***) القيم تختلف معنوياً عند مستوى احتمالية $p<0.05$.

شكل (64) مقارنة مستوى الانترلوكين 6 في المجموعة السادسة

4-6-2-4: مقارنة مستوى الانترلوكين 6 في الأسابيع المختلفة ضمن المجموعة السابعة

سجلت النتائج وجود فروقات معنوية بين جميع الأسابيع في المجموعة السابعة باستثناء يومي (31 و 10) فلم يسجل وجود فرق معنوي بينهما وذلك عند مستوى احتمالية ($p < 0.05$)، بلغ أقل مستوى للانترلوكين 6 في اليوم الأول ومن ثم ارتفع تدريجياً حتى بلغ أعلى مستوى له في اليوم السابع عشر من التجربة. شكل (65)



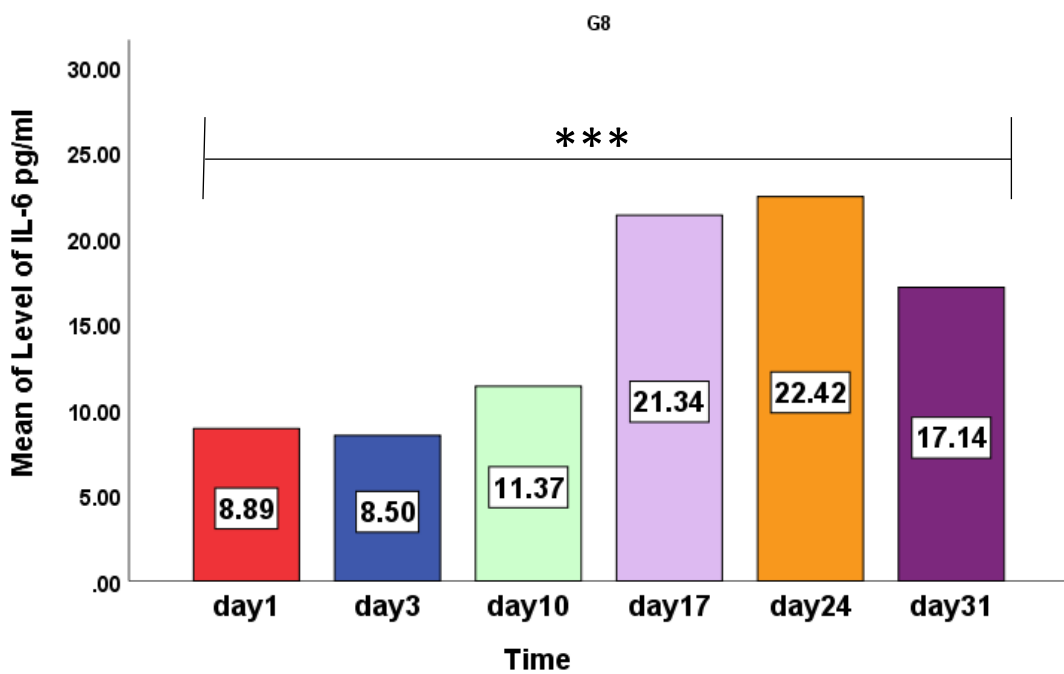
(***) القيم تختلف معنويًا عند مستوى احتمالية $p < 0.05$.

(ns) لا يوجد فرق معنوي عند مستوى احتمالية $p > 0.05$.

شكل (65) مقارنة مستوى الانترلوكين 6 في المجموعة السابعة

4-6-2-4: مقارنة مستوى الانترلوكين 6 في الأسابيع المختلفة ضمن المجموعة الثامنة

أظهرت النتائج وجود فروقات معنوية بين جميع الأسابيع في المجموعة الثامنة عند مستوى احتمالية ($p < 0.05$)، بلغ أقل مستوى للانترلوكين 6 في اليوم الثالث من التجربة ومن ثم ارتفع تدريجياً حتى بلغ أعلى مستوى له في اليوم الرابع والعشرين من التجربة. شكل (66)



(***) القيم تختلف معنوياً عند مستوى احتمالية $p < 0.05$.

شكل (66) مقارنة مستوى الانترلوكين 6 في المجموعة الثامنة

4-9-6-2-4: مقارنة مستوى الانترلوكين 6 بين المجاميع المختلفة خلال فترة التجربة

عند مقارنة مستويات الاستجابة للانترلوكين 6 في مختلف مجاميع التجربة تبين عدم وجود فروق معنوية بين المجاميع في اليوم الأول للتجربة، بينما وجد ان هناك فروقات معنوية في اليوم الثالث بين جميع مجاميع التجربة الملقحة وغير الملقحة والمعاملة بالزيوت وغير المعاملة إذ كان أعلى مستوى للانترلوكين 6 في المجموعة السابعة (G7) والذي بلغ 11.39 ± 0.07 وبلغ أقل مستوى له في المجموعة الأولى (G1) والذي كان (5.85 ± 0.02).

وأظهر اليوم العاشر للتجربة فروقات معنوية بين مجاميع التجربة بينما لم يكن هناك فرق معنوي بين المجاميع الأولى (G1) والخامسة (G5) والسبعين (G7) والتي كانت قيمهم (0.01 ± 10.46 و 0.05 ± 10.43 و 0.11 ± 10.41) على التوالي، وبلغ أعلى مستوى للانترلوكين 6 في المجموعة الثالثة (G3) والذي كان (13.13 ± 0.03) وكان أقل مستوى له في المجموعة الرابعة (G4) والذي بلغ (9.25 ± 0.05).

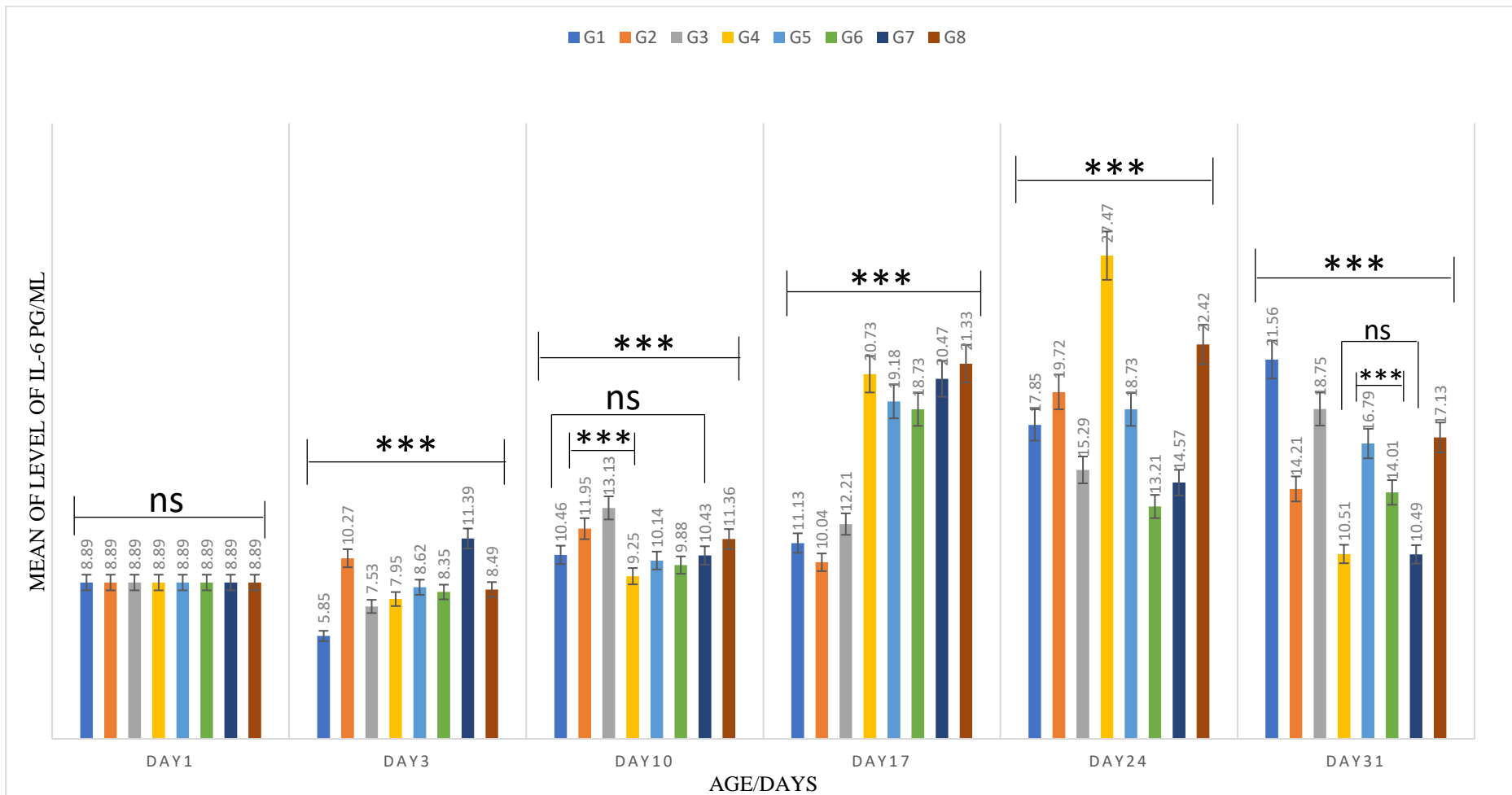
وسجل اليوم السابع عشر للتجربة فروقات معنوية بين جميع مجاميع التجربة الملقحة وغير الملقحة والمعاملة بالزيوت وغير المعاملة إذ كان أعلى مستوى للانترلوكين 6 في

المجموعة الثامنة (G8) إذ بلغ (0.1 ± 21.33) وسجلت المجموعة الثانية (G2) أقل مستوى له (0.05 ± 10.04).

بينما أظهر اليوم الرابع والعشرين للتجربة فروقات معنوية بين جميع مجاميع التجربة الملقحة وغير الملقحة والمعاملة بالزيوت وغير المعاملة حيث كان أعلى مستوى للانترلوكين 6 في المجموعة الرابعة (G4) والذي بلغ (0.05 ± 27.47) وبلغ أقل مستوى له في المجموعة السادسة (G6) والذي كان (0.06 ± 13.21).

ولوحظ وجود فروقات معنوية بين مجاميع التجربة لليوم الحادي والثلاثين من التجربة بينما لم يكن هناك فرق معنوي بين المجموعة الرابعة (G4) والتي كانت قيمتها (± 10.51) و المجموعة السابعة (G7) والتي كانت قيمتها (0.09 ± 10.49), وبلغ أعلى مستوى للانترلوكين 6 في المجموعة الأولى (G1) إذ كان (0.03 ± 21.56) وكان أقل مستوى له في المجموعة السابعة (G7) إذ بلغ (0.09 ± 10.49). شكل (67)

ومن تحليل الشكل (67) يلاحظ ارتفاع مستويات الانترلوكين 6 باستمرار التقدم نحو نهاية التجربة مع وجود تذبذب في هذا الارتفاع بين المجاميع المعاملة المختلفة



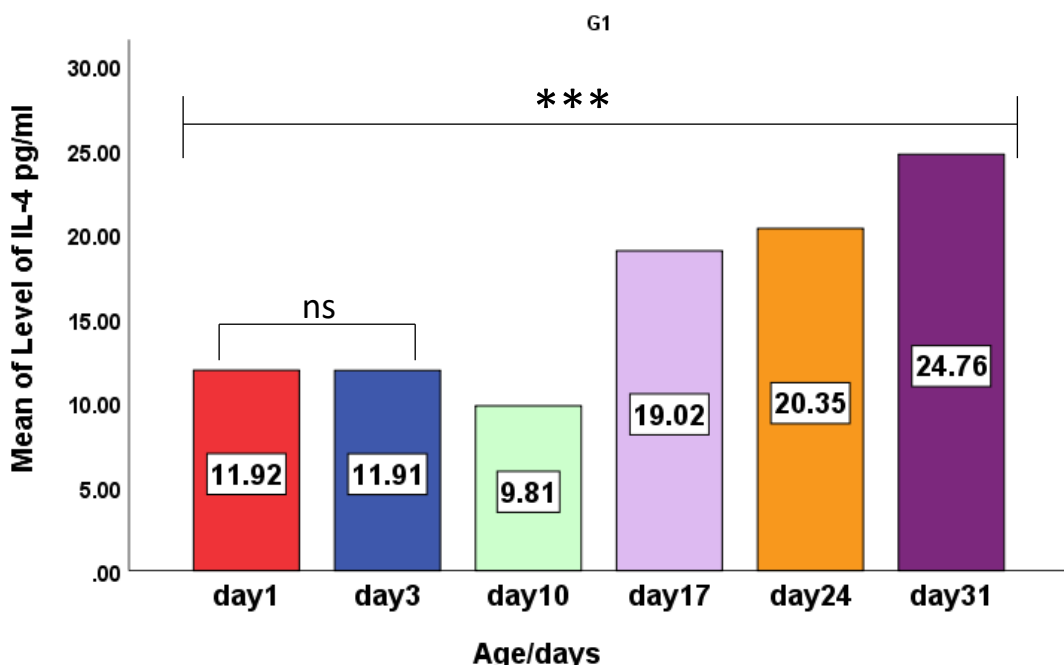
(***) القيم تختلف معنوياً عند مستوى احتمالية $p < 0.05$.

(ns) لا يوجد فرق معنوي عند مستوى احتمالية $p > 0.05$.

شكل (67) مقارنة مستوى الانترلوكين 6 بين المجاميع المختلفة خلال فترة التجربة

4-2-7: نتائج قياس مستوى الانترلوكين 4

1-7-2-4: مقارنة مستوى الانترلوكين 4 في الأسابيع المختلفة ضمن المجموعة الأولى
 أظهرت النتائج وجود فروقات معنوية بين جميع الأسابيع في المجموعة الأولى باستثناء اليومين الأول والثالث عند مستوى احتمالية ($p<0.05$)، وبلغ أقل مستوى للانترلوكين 4 في اليوم العاشر للتجربة ثم ارتفع تدريجياً حتى بلغ أعلى مستوى له في اليوم الحادي والثلاثين للتجربة. شكل (68)

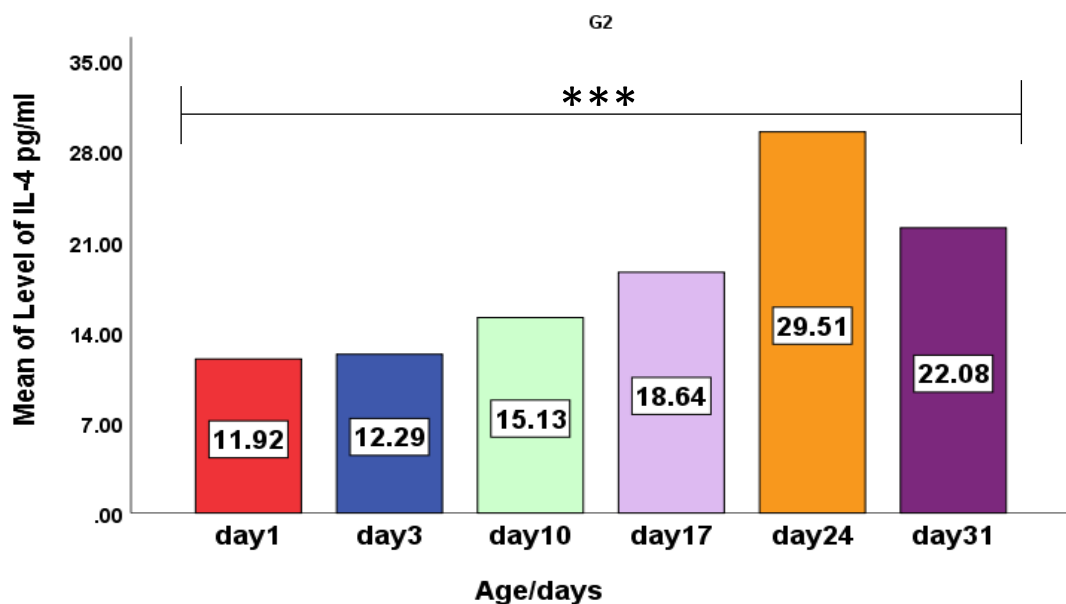


*** (القيم تختلف معنويًا عند مستوى احتمالية $p<0.05$).

.ns (لا يوجد فرق معنوي عند مستوى احتمالية $p>0.05$).

شكل (68) مقارنة مستوى الانترلوكين 4 في المجموعة الأولى

4-2-7-2-4: مقارنة مستوى الانترلوكين 4 في الأسابيع المختلفة ضمن المجموعة الثانية
 بينت النتائج وجود فروقات معنوية بين جميع الأسابيع في المجموعة الثانية عند مستوى احتمالية ($p<0.05$)، وكان أقل مستوى للانترلوكين 4 في اليوم الأول للتجربة تم ارتفاع تدريجياً حتى بلغ أعلى مستوى له في اليوم الرابع والعشرين للتجربة. شكل (69)

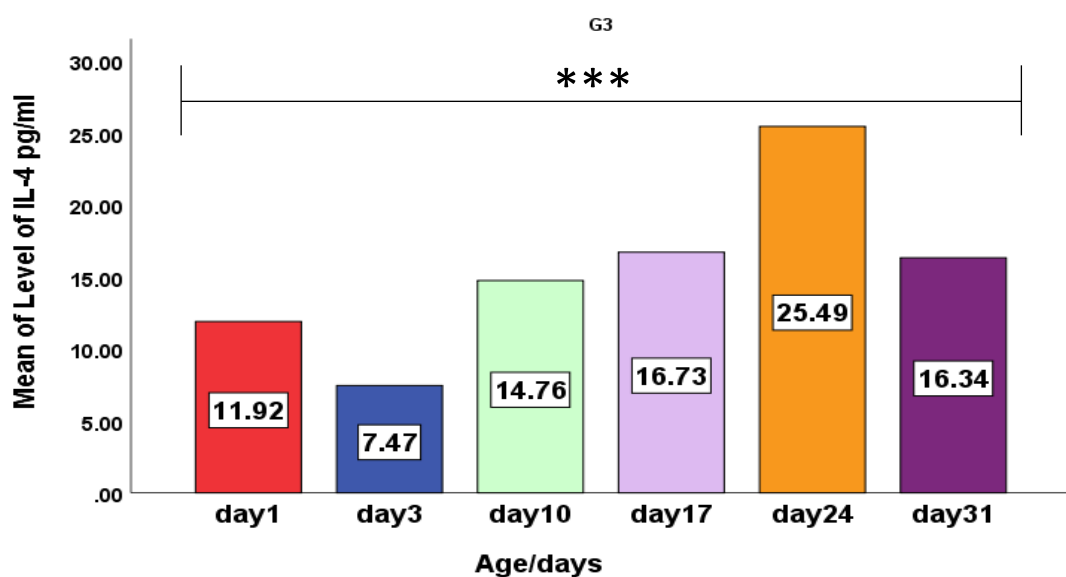


(***) القيم تختلف معنوياً عند مستوى احتمالية $p<0.05$

شكل (69) مقارنة مستوى الانترلوكين 4 في المجموعة الثانية

3-7-2-4: مقارنة مستوى الانترلوكين 4 في الأسابيع المختلفة ضمن المجموعة الثالثة

سجلت أسابيع المجموعة الثالثة فروقات معنوية عند مستوى احتمالية ($p<0.05$), وظهر أقل مستوى لانترلوكين 4 في اليوم الثالث للتجربة ومن ثم ارتفاعاً تدريجياً حتى بلغ أعلى مستوى له في اليوم الرابع والعشرين للتجربة ومن ثم انخفض في اليوم الحادي والثلاثين للتجربة. شكل (70)

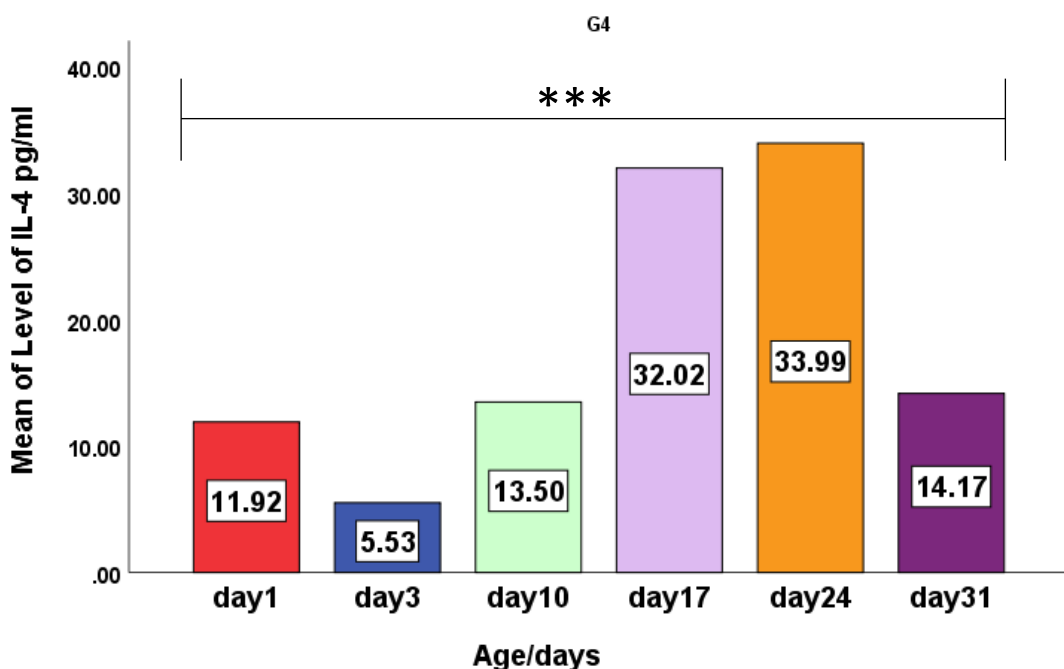


(***) القيم تختلف معنوياً عند مستوى احتمالية $p<0.05$

شكل (70) مقارنة مستوى الانترلوكين 4 في المجموعة الثالثة

4-7-2-4: مقارنة مستوى الانترلوكين 4 في الأسابيع المختلفة ضمن المجموعة الرابعة

أظهرت النتائج وجود فروقات معنوية بين جميع الأسابيع في المجموعة الرابعة عند مستوى احتمالية ($p<0.05$)، وكان أقل مستوى للانترلوكين 4 في اليوم الثالث ومن ثم ارتفعت تدريجياً حتى بلغ أعلى مستوى في اليوم الرابع والعشرين من التجربة. شكل (71)

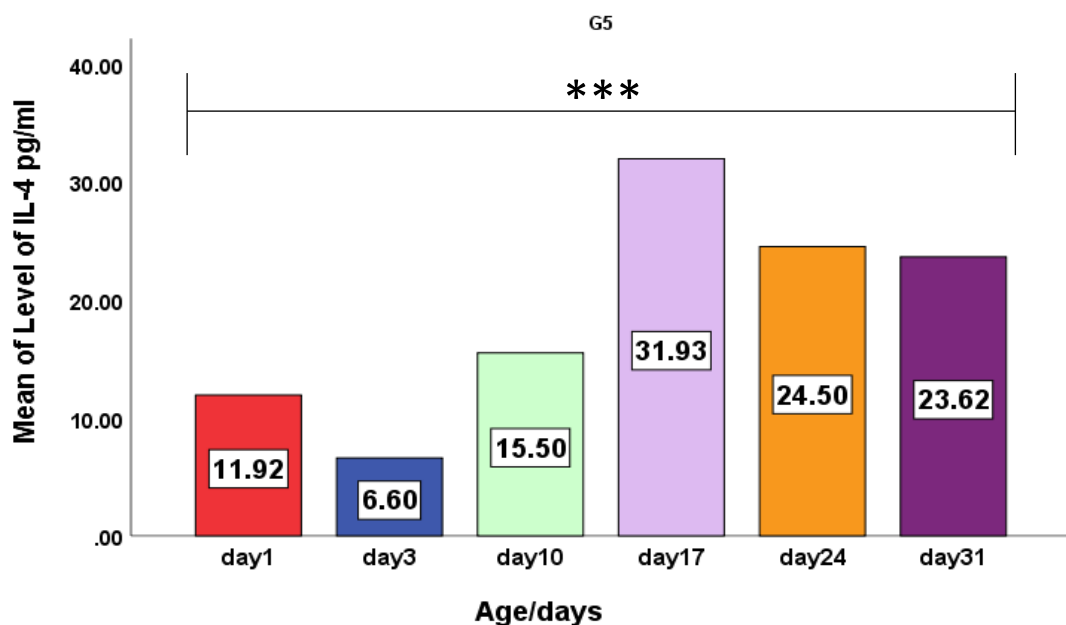


(***) القيم تختلف معنويًا عند مستوى احتمالية $p<0.05$.

شكل (71) مقارنة مستوى الانترلوكين 4 في المجموعة الرابعة

4-7-2-4: مقارنة مستوى الانترلوكين 4 في الأسابيع المختلفة ضمن المجموعة الخامسة

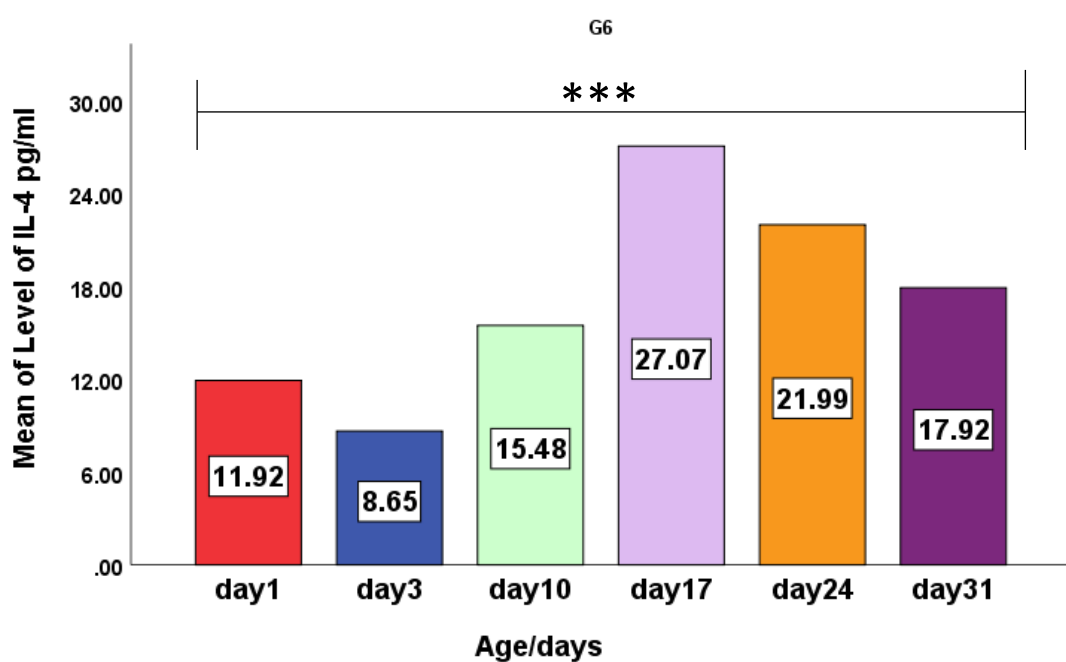
بيّنت النتائج وجود فروقات معنوية بين جميع الأسابيع في المجموعة الخامسة عند مستوى احتمالية ($p<0.05$)، وبلغ أقل مستوى للانترلوكين 4 في اليوم الثالث للتجربة ومن ثم ارتفع تدريجياً حتى بلغ أعلى مستوى له في اليوم السابع عشر من التجربة. شكل (72)



(**) القيم تختلف معنويًا عند مستوى احتمالية $p < 0.05$.

شكل (72) مقارنة مستوى الانترلوكين 4 في المجموعة الخامسة

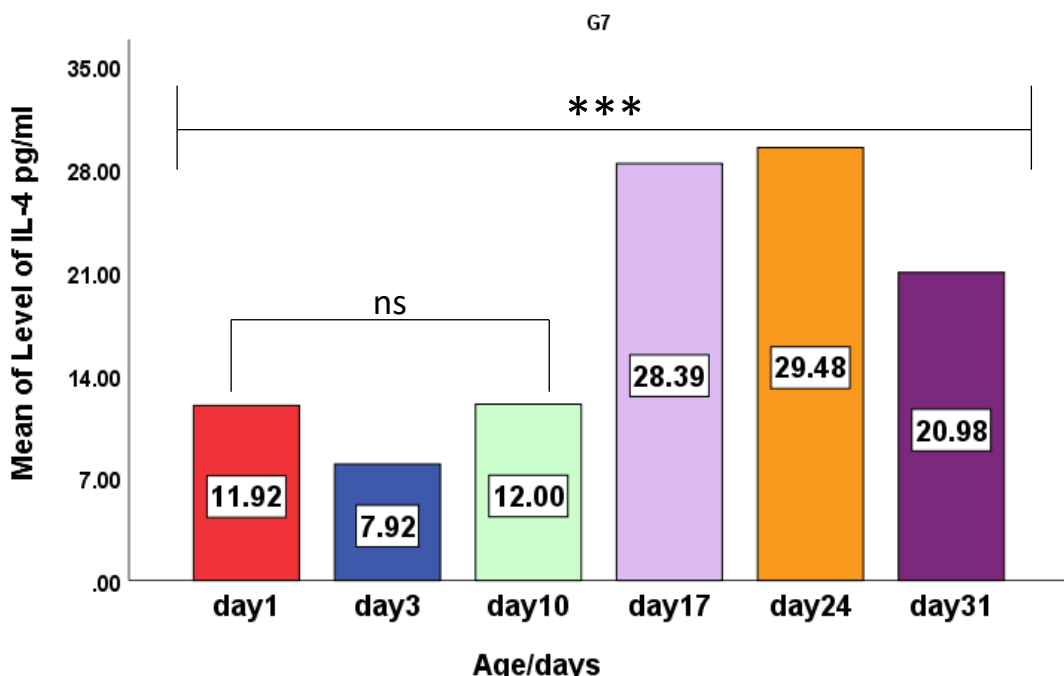
6-7-2-4: مقارنة مستوى الانترلوكين 4 في الأسابيع المختلفة ضمن المجموعة السادسة
 سجلت النتائج وجود فروقات معنوية بين جميع الأسابيع في المجموعة السادسة عند مستوى احتمالية ($p < 0.05$), وبلغ أقل مستوى للانترلوكين 4 في اليوم الثالث من التجربة ومن ثم ارتفع حتى بلغ أعلى مستوى له في اليوم السابع عشر من التجربة. شكل (73)



(**) القيم تختلف معنويًا عند مستوى احتمالية $p < 0.05$.

شكل (73) مقارنة مستوى الانترلوكين 4 في المجموعة السادسة

4-7-2-4: مقارنة مستوى الانترلوكين 4 في الأسابيع المختلفة ضمن المجموعة السابعة
 أظهرت النتائج وجود فروقات معنوية بين جميع الأسابيع في المجموعة السابعة باستثناء اليومين الأول والعشر عند مستوى احتمالية ($p < 0.05$)، وبلغ أقل مستوى للانترلوكين 4 في اليوم الثالث ومن ثم ارتفع تدريجياً حتى بلغ أعلى مستوى له في اليوم الرابع والعشرين من التجربة ومن ثم انخفض في اليوم الحادي والثلاثين من التجربة. شكل (74)

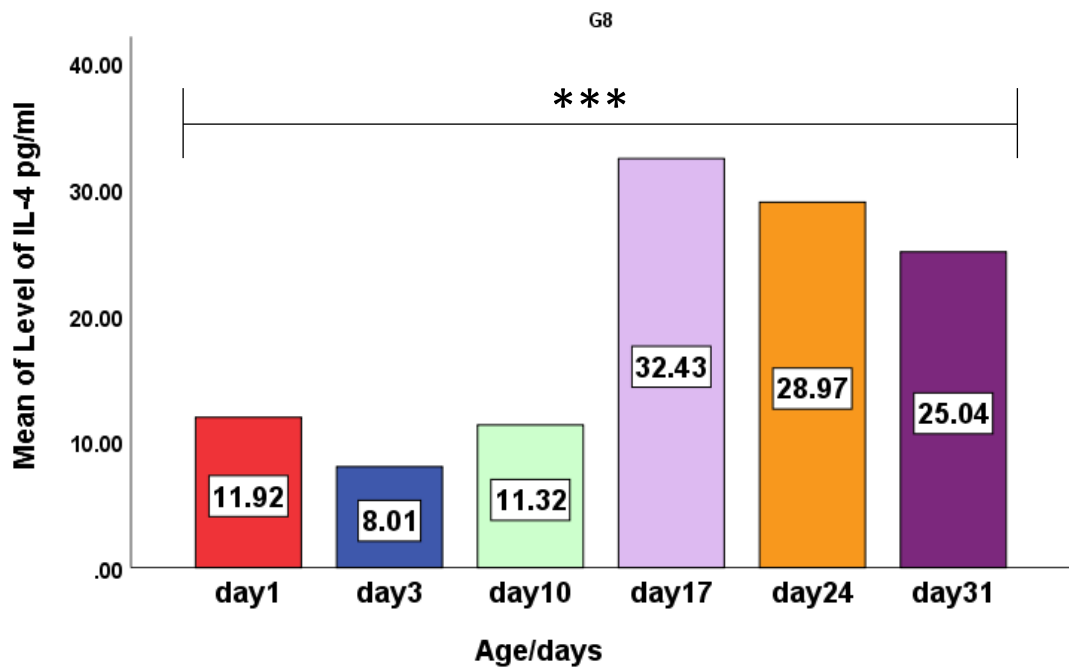


(***) القيم تختلف معنويًا عند مستوى احتمالية $p < 0.05$.

(ns) لا يوجد فرق معنوي عند مستوى احتمالية $p > 0.05$.

شكل (74) مقارنة مستوى الانترلوكين 4 في المجموعة السابعة

4-7-2-4: مقارنة مستوى الانترلوكين 4 في الأسابيع المختلفة ضمن المجموعة الثامنة
 أظهرت النتائج وجود فروقات معنوية بين جميع الأسابيع في المجموعة الثامنة عند مستوى احتمالية ($p < 0.05$)، وبلغ أقل مستوى للانترلوكين 4 في اليوم الثالث من التجربة ثم ارتفع تدريجياً حتى بلغ أعلى مستوى له في اليوم السابع عشر من التجربة. شكل (75)



(***) القيم تختلف معنوياً عند مستوى احتمالية $p < 0.05$.

شكل (75) مقارنة مستوى الانترلوكين 4 في المجموعة الثامنة

4-9-7-2-4: مقارنة مستوى الانترلوكين 4 بين المجاميع المختلفة خلال فترة التجربة

بمقارنة المجاميع المعاملة المختلفة على مدار أيام التجربة لوحظ عدم وجود فروق معنوية بين المجاميع في اليوم الأول للتجربة، بينما وجد أن هناك فروقات معنوية في اليوم الثالث وبين جميع مجاميع التجربة الملقحة وغير الملقحة والمعاملة بالزيوت وغير المعاملة إذ كان أعلى مستوى ل الانترلوكين 4 في المجموعة الثانية (G2) إذ بلغ (12.29 ± 0.1) وبلغ أقل مستوى له في المجموعة الرابعة (G4) والذي كان (0.03 ± 5.52) .

وظهرت فروقات معنوية بين مجاميع التجربة في اليوم العاشر للتجربة، بينما لم يكن هناك فرق معنوي بين المجموعة الخامسة (G5) التي كانت قيمتها (0.24 ± 15.49) والمجموعة السادسة (G6) والتي بلغت قيمتها (0.07 ± 15.48) وكان أعلى مستوى ل الانترلوكين 4 في المجموعة الخامسة (G5) إذ بلغ (0.24 ± 15.49) وأقل مستوى له في المجموعة الأولى (G1) والذي كان (0.07 ± 9.81) .

وسجل اليوم السابع عشر للتجربة فروقات معنوية بين جميع مجاميع التجربة الملقحة وغير الملقحة والمعاملة بالزيوت وغير المعاملة إذ كان أعلى مستوى ل الانترلوكين 4 في

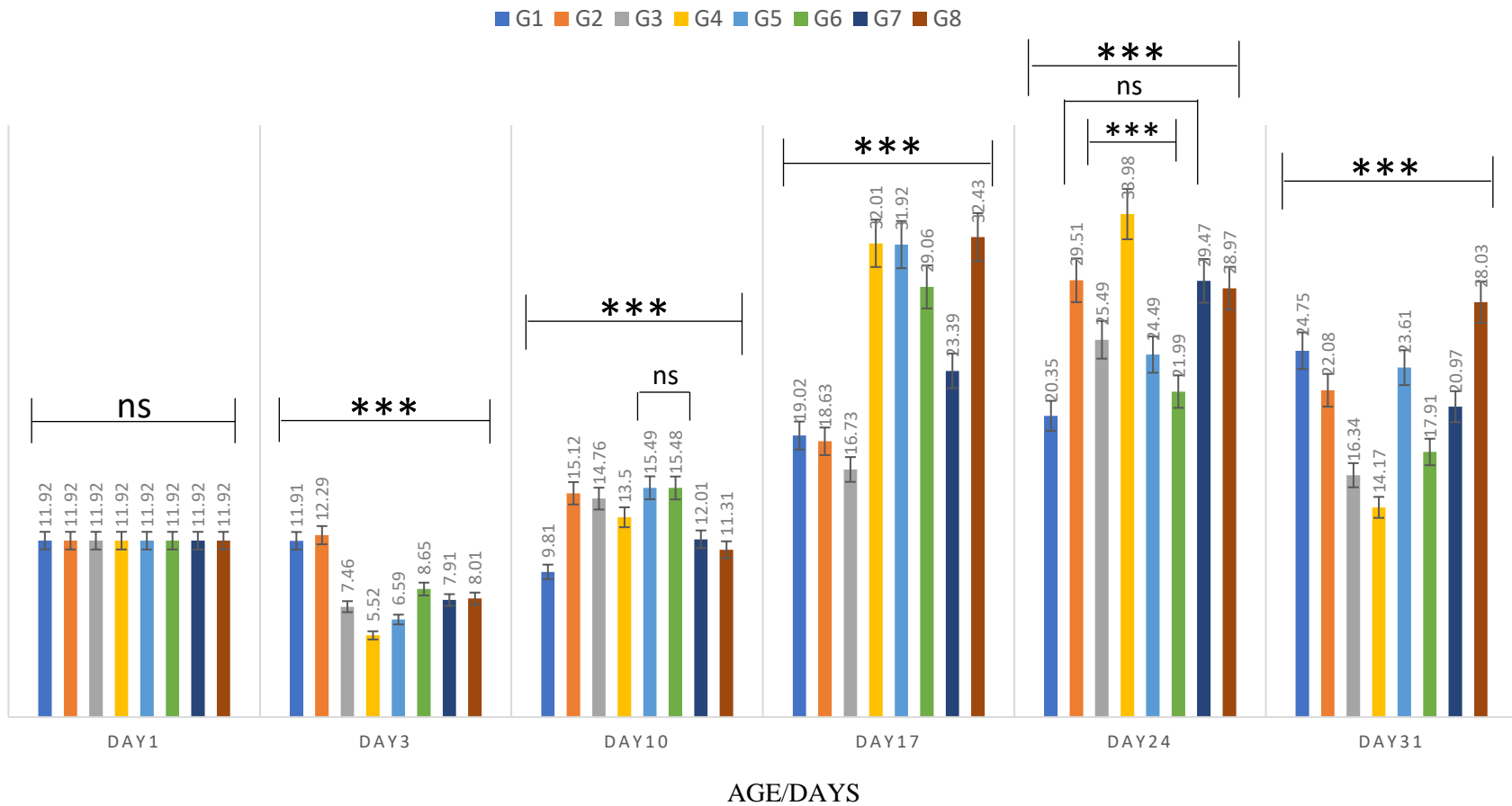
المجموعة الثامنة (G8) إذ بلغ (0.06 ± 32.43) وكان أقل مستوى له في المجموعة الثالثة (G3) إذ بلغ (0.04 ± 16.73).

وأظهر اليوم الرابع والعشرين للتجربة فروقات معنوية بين مجاميع التجريبية بينما لم يكن هناك فرق بين المجموعة الثانية (G2) والتي كانت قيمتها (0.14 ± 29.51) والمجموعة السابعة (G7) والتي كانت قيمتها (0.07 ± 29.47) وكان أعلى مستوى للانترلوكين 4 في المجموعة الرابعة (G4) حيث بلغ (0.04 ± 33.98) وكان أقل مستوى له في المجموعة الأولى (G1) إذ بلغ (0.09 ± 20.35).

وفي نهاية التجربة أظهر اليوم الحادي والثلاثون من التجربة فروقات معنوية بين جميع مجاميع التجربة حيث بلغ أعلى مستوى للانترلوكين 4 في المجموعة الثامنة (G8) والذي كان ($\pm 14.17 \pm 25.03$) وبلغ أقل مستوى له في المجموعة الرابعة (G4) إذ كان (0.07 ± 0.07). شكل (76).

ومن تحليل الشكل (76) يلاحظ ارتفاع مستويات الانترلوكين 4 باستمرار التقدم نحو نهاية التجربة مع وجود تذبذب في هذا الارتفاع بين المجاميع المعاملة المختلفة (وبصورة مشابهة لما لوحظ في نتائج الانترلوكين 6 مع وجود الخصوصية لكل منها).

MEAN OF LEVEL OF IL-4 PG/ML



(***) القيم تختلف معنوياً عند مستوى احتمالية $p < 0.05$.

(ns) لا يوجد فرق معنوي عند مستوى احتمالية $p > 0.05$.

شكل (76) مقارنة مستوى الانترلوكين 4 بين المجاميع المختلفة خلال فترة التجربة

الفصل الخامس

المناقشة

Discussion

5-1: التجربة الأولى (الأولية)

أجريت هذه الدراسة لتحديد نسبة الزيوت المضافة لمعرفة تأثيرها في افراخ فروج اللحم، وتم اختيار نسبة 1% بالاعتماد على ما جاء في (Abdulwahid & Mudheher, 2017; Al-zuhairy & Taher, 2014; Sahib *et al.*, 2012) ، وبعد إضافة هذه النسبة من الزيوت لم تظهر أي أعراض جانبية على الحيوانات مثل الإسهال وغيرها وتم خلال التجربة قياس نسبة الأجسام المضادة الخاصة بمرض النيوكاسل واظهرت النتائج ارتفاعاً في معيارية الأجسام المضادة في عمر يوم واحد ويعزى ذلك إلى المناعة الأممية وهذا يتفق مع ما جاء في (Isihak *et al.*, 2020; Martinez *et al.*, 2018) ومن ثم انخفضت في اليوم السابع من التجربة وفي مجموعة السيطرة غير الملقحة استمر الانخفاض حتى نهاية التجربة أما في المجاميع المعاملة بالزيوت والملقحة فأظهرت استجابة مناعية عالية مع تقدم أيام التجربة وحتى نهايتها وهذه النتائج تتوافق مع النتائج المستحصلة من قبل (Jameel *et al.*, 2015) إذ أظهرت نتائجه ارتفاعاً معنوياً في معيارية الأجسام المضادة وفي المجاميع المعاملة بزيت بذور الكتان وزيت الأوميغا 3.

5-2: التجربة الثانية (الرئيسية)

5-2-1: تأثير الزيوت المعززة على لقاح مرض النيوكاسل

تلعب الدواجن دوراً مهما في إنتاج أكثر من 30% من البروتينات الحيوانية كونها أحد أكبر مجموعات الحيوانات الداجنة التي يتم تربيتها، وتظهر الأهمية الاقتصادية لصناعة الدواجن من كبر حجم الخسائر الاقتصادية الناتجة عن الإصابات المرضية (Rehan *et al.*, 2019; Tanveer *et al.*, 2023)، تسبب الإصابة بفايروس مرض النيوكاسل عدوى قوية ومميتة في العديد من أنواع الطيور الداجنة ومنها الدواجن، وتترافق الإصابة مع ظهور أعراض تنفسية وعصبية وهضمية، وتختلف العلامات والأفات من حالة إلى أخرى وتعتمد على عوامل عددة

منها ضراوة العترة المعدية والحالة المناعية وطريقة العدوى (Ibrahim & Fayyadh, 2022; Nooruzzaman *et al.*, 2022).

تمثل اللقاحات الحية المضيفة واللقاحات المقاومة أحد أهم طرائق السيطرة على الاندلاعات المرضية، وتعد اللقاحات الحية المضيفة الأكثر استعمالاً على الصعيد العالمي وتصنع من العتر الفايروسية التابعة لأنماط المصلية I2, B1, F, LaSota, V4, and I2، إذ تحفز اللقاحات المضيفة استجابات الأجسام المضادة الوقائية وبشكل مرتفع مما يجعلها مناسبة للاستعمال في البلدان التي يكون فيها فيروس مرض النيوكاسل الضاري مستوطناً (Bello *et al.*, 2018; Perozo *et al.*, 2008).

كما وتلعب تغذية الدواجن دوراً مهماً في تقديم كافة الاحتياجات الغذائية للنمو والتطور الصحي للدواجن فضلاً عن احتوائها على الأحماض الدهنية الأساسية التي لا تصنع داخل جسم الطائر والتي يتم تجهيزها عن طريق إضافة العديد من أنواع الزيوت (Shaikh & Edidin, 2006)، يعد زيت بذور الكتان وزيت السمك مصدراً مهماً للدهون وخصوصاً الأحماض الدهنية غير المشبعة الأساسية والتي يجب تجهيزها من مصادر خارجية لعدم قدرة الطائر على تصنيعها داخلياً (Al-zuhairy & Taher, 2014; Bernacchia *et al.*, 2014; Gheorghe *et al.*, 2022).

يلعب النظام المناعي دوراً مهماً في التصدي للعوامل الممرضة المختلفة التي بإمكانها أن تسبب أمراضاً في الطيور، وتعد التغذية المناسبة حجر الأساس في نشاط وفاعلية أعضاء وخلايا الجهاز المناعي وبيّنت الدراسات وجود تأثير للأحماض الدهنية غير المشبعة على النظام المناعي للطيور، إذ تمتلك مجموعتي الأوميغا 3 و 6 القدرة على تعزيز وتنظيم استجابات الجهاز المناعية الفاعلة والمنفعة وبطريق وmekanikيات مختلفة بدءاً من التأثير في مستوى الجينات مروراً بتحسين استجابة الخلايا المناعية للطائر وانتهائاً بزيادة معيار الأجسام المضادة (Gutiérrez *et al.*, 2019; Kakhki *et al.*, 2021; Kakhki & Kiarie, 2020; Paschoal *et al.*, 2013)، ونظراً لقلة المصادر المتعلقة باستعمال الزيوت وتأثيرها في المعايير المناعية في الدواجن فسوف تتضمن المناقشة ما توصل إليه الباحثان من مصادر حول هذا الموضوع.

5-2-2: كريات الدم البيض

تعد كريات الدم البيض أهم أعمدة الجهاز المناعي للطيور إذ تمثل خلاياها المناعية أحد الخطوط الدفاعية الأولى ضد الإصابة بالأمراض فضلاً عن توسطها في إنتاج العديد من النوافل المناعية المتوسطة لإنتاج المناعة الخلطية والخلوية (Kaspers *et al.*, 2021)، سجلت نتائج تعداد خلايا الدم البيض وجود اختلافات طفيفة وجود العديد من التقلبات في أعدادها ضمن المجاميع والأيام المختلفة، إلا أنها بقيت ضمن الحدود الطبيعية وتتراوح قيمها بين 17.14×10^9 و 53.28×10^9 وجاءت النتائج مطابقة لما توصل إليه (Nowaczewski & Kostecka, 2012) عند دراستهم لمعايير الدم في الدجاج اللام إذ وجدوا أن قيمها تراوح بين 16.90×10^9 إلى 59.60×10^9 ، وسجل الدجاج على 10% زيت بذور الكتان وبصورة مماثلة لنتائج هذه الدراسة، وجاءت نتائج تعداد كريات الدم البيض في التجربة الحالية على عكس النتائج المسجلة من قبل (Taher, 2018) والتي لم تسجل أي فرق معنوي بعد معاملة الدجاج باستعمال 0.6% زيت بذور الكتان ومقاربة العدد (19.7×10^9) والمسجلة من قبل (Shunthwal *et al.*, 2017)، عند إضافة زيت بذور الكتان بنسبة 100% للعلبة، كما تمثلت نتائجنا مع النتائج المستحصلة من قبل (Oyebanji *et al.*, 2020) عند دراسته التغير في المعايير الدموية بعد استعمال لقاح النيوكاسل.

أظهرت نتائج صورة الدم ارتفاعاً في نسب خلايا العدلات في أيام التجربة المختلفة بين المجاميع المختلفة إذ سجلت أعلى قيم لها في يوم 31 من التجربة مع وجود اختلاف في أعداد الخلايا خلال الأوقات المختلفة، وبين (Ibrahim & Abdul-Rahman, 2024) حدوث انخفاض معنوي في النسبة المئوية للخلايا العدلة في أمهات فروج اللحم بعد المعاملة بزيت بذور الكتان بنسبة 2%， بينما سجل (Shunthwal *et al.*, 2017) ارتفاعاً غير معنوي في أعداد الخلايا العدلة بعد معاملة علائق الدواجن بزيت بذور الكتان بنسبة 100%， وتوصلت هذه الدراسة إلى أن الزيادة الحادثة في النسبة المئوية لأعداد الخلايا العدلة أعلى من المعدل العام المسجل من قبل (Nowaczewski & Kostecka, 2012) والبالغ (56-61%)، وقد يعود ذلك إلى حدوث تحفيز للخلايا نتيجة استعمال الزيوت وهذا يتفق مع ما ذهب إليه (Gorjão *et al.*, 2006) من أنه تزداد عمليات هجرة خلايا العدلات نتيجة المعاملة بواسطة زيت الأوميجا 3 في الإنسان.

أظهرت نتائج صورة الدم اختلافات في نسب الخلايا المتفاوتة وبشكل معاكس للاستجابة المسجلة من قبل الخلايا العدالة ضمن أيام التجربة المختلفة وبين المجاميع المختلفة إذ أظهرت النتائج انخفاضاً في النسبة المئوية للخلايا المتفاوتة مع تقدم التجربة ولكافة المجاميع إلا أن هذه الزيادة كانت ضمن الحدود الطبيعية المذكورة من قبل (Nowaczewski & Kostecka, 2012)، إذ أدرج أن نسبة أعداد الخلايا المتفاوتة تتراوح بين (36 - 77.48%) لفروج اللحم، خالفت نتائج هذه الدراسة النتائج المستحصلة من قبل (Al-Khalaifah *et al.*, 2021)، الذي لاحظ عدم وجود تغير في عدد الخلايا المتفاوتة عند تغذية الدجاج على أعلاف حاوية على 10% زيت بذور الكتان أو زيت عباد الشمس وخالفت أيضاً النتائج المتحصلية من قبل (Ibrahim & Abdul-Rahman, 2024) التي لم تجد فرقاً إحصائياً واضحاً عند معاملة الدواجن بـ 2% من زيت التحيل أو زيت بذور الكتان بوجود أو بعده وجود فيتامين C. كما توصل (Shunthwal *et al.*, 2017) إلى نفس النتيجة بعد معاملة علائق الدواجن بنسبة 100% من زيت بذور الكتان، كما سجلت نتائج متطابقة مع الباحثين السابقين نتائج (Maroufyan *et al.*, 2012)، عند دراسته لتأثير استعمال زيت الأوميغا 3 على المناعة المتولدة ضد مرض التهاب غدة فايريشيا المعدية. كما بين (Martinez *et al.*, 2018) حدوث انخفاض معنوي في نسبة الخلايا المتفاوتة بعد مرور سبعة أيام من إجراء التحصين بلقاح النيوكاسل الحي.

وقد يعود حدوث الارتفاع للخلايا المتفاوتة إلى انسحاب هذه الخلايا من الأعضاء المتفاوتة إلى الدم نتيجة حدوث استجابة مناعية غير كاملة ومنقوصة الفعالية نتيجة التحفيز اللقاحي إلا أن هذا الارتفاع لا يليث إلا أن يعادل بواسطة تأثير الزيوت والتي تعمل على تخفيف معامل الكرب وبالتالي تسبب تأثيراً موجياً في الأعضاء المتفاوتة (Ibrahim & Abdul-Rahman, 2024; Martinez *et al.*, 2018) مما يعدل نسبة الخلايا المتفاوتة في الدم.

أظهرت نتائج صورة الدم ارتفاعات بسيطة في نسبة الخلايا وحيدة الخلية، الحمضة والقعدة إلا أنها بقيت ضمن معدلاتها الطبيعية في دم افراخ فروج اللحم (Nowaczewski & Kostecka, 2012) مما يدل على عدم تأثيرها بالزيوت المستخدمة.

5-2-3: قياس مؤشر البلعمة

سجلت نتائجنا ارتفاعاً معنوياً في مؤشرات البلعمة ضمن الأيام في كل مجموعة من المجموعات المعاملة كما ارتفع مؤشر نسبة البلعمة في معظم مجاميع التجربة مترافقاً مع تقدم أيام التجربة وبصورة معنوية عند مقارنتها مع مجاميع السيطرة وهذا يتفق مع النتيجة المستحصلة من قبل (Al-Khalaifah *et al.*, 2021; Al-Khalaifah & Al-Nasser, 2020) إذ لاحظوا زيادة قابلية البلعمة بعد معاملة فروج اللحم بعليقة حاوية على 60 غم/كغم من زيت بذور الكتان ، وبين (Nahed *et al.*, 2020) زيادة معامل البلعمة بصورة معنوية في فروج اللحم المعاملة بالزيوت التجارية والملقحة بلفاح مرض النيوكاسل مقارنة بمجاميع السيطرة غير الملقحة وبيؤشر ذلك قدرة الزيوت المستخدمة لزيادة قابلية البلعمة وخصوصاً زيت الأوميجا 3 وزيت بذور الكتان (Chang *et al.*, 2015; Gutiérrez *et al.*, 2019; Hellwing *et al.*, 2018) ، وعلى الرغم من أن العديد من البحوث حول استعمال الزيوت وخاصة زيت بذور الكتان على فاعلية البلعمة غير حاسمة إذ أشارت بعض البحوث إلى رفعها (Al-Khalaifah & Al-Nasser, 2021; El-Katcha *et al.*, 2014) ، بينما بينت بحوث أخرى انخفاضها (Al-Khalifa *et al.*, 2014) أو عدم تأثيرها (Al-zuhairy & Taher, 2014) ، إلا أن زيادة عمليات البلعمة قد تعود إلى تركيب الأحماض الدهنية في الجدار الخلوي (Gutiérrez *et al.*, 2019; Hellwing *et al.*, 2018; Schoeniger *et al.*, 2016) ، والتي تؤثر في سيولة الجدار الخلوي وبالتالي تسبب التأثير في عمل المستقبلات على الجدار الخلوي للخلايا، إذ بينت الدراسات المختبرية تأثير الأحماض الدهنية غير المشبعة في زيادة فاعلية عملية البلعمة مع رفع قدرتها على الالتصاق، وذكر وجود ارتباط موجب بين فاعلية البلعمة وكمية الأحماض الدهنية الكلية (Kew *et al.*, 2003) سواءً كانت سداسية أم ثلاثية مما يعزز وجود التأثير المعدل لهذه الزيوت في الخلايا المناعية إذ تعمل الزيوت المستخدمة على تعديل استجابة الخلايا البلعمية على المستوى الجيني وبطريق غير متماثلة وذلك لاختلاف تأثير حمض إيكوسابنتينويك eicosapentaenoic acid، وحمض دوكوساهيكسانويك docosahexaenoic acid على الجينات المحفزة إذ يعزز الأول من جينات تكاثر الخلايا بينما يستهدف الثاني جينات الاستجابات المناعية وبالتالي يؤثران كلاهما في نوعية وطبيعة الحامض الرايببي الميكروي miRNA مما يغير أنماط التعبير الجيني وانتقال الإشارات الخلوية وتكاثر الخلايا ونموها ونشاطها (Allam-Ndoul *et al.*, 2017; Roessler *et al.*, 2017)

5-2-4: الانفجار التنفسى

بيّنت نتائج اختبار الانفجار التنفسى وجود ارتفاع معنوي بإنتاج عوامل الاكسجة الخلوية في المجموعة الواحدة مع تقدم أيام التجربة كما لوحظ وجود ارتفاع معنوي في مؤشر الانفجار التنفسى بين مجاميع الحيوانات المختلفة الملقحة والمعاملة ومجاميع السيطرة مترافقاً مع تقدم أيام التجربة ليصل إلى أعلى مدى له في اليوم الرابع والعشرين ويؤشر ذلك الاستجابة والفعالية العالية التي اكتسبتها الخلايا نتيجة المعاملات بالزيوت واللقاحات، وانفتقت نتائجنا مع (Gutiérrez *et al.*, 2019; Paschoal *et al.*, 2013) إذ لاحظ ازدياد الانفجار التنفسى المترافق مع استعمال الحامض الدهنى يكوسابنتاينويك eicosapentaenoic acid و دوكوساهيكسانويك docosahexaenoic acid، بينما تختلف نتائجنا عن النتائج المسجلة من قبل (Rees *et al.*, 2006) من حيث نقصان معامل الانفجار التنفسى في الأعمراء الكبيرة بعد المعاملة بالحامض الدهنى eicosapentaenoic acid أو زيت الذرة، إذ تؤثر نوعية وكمية الاحماس الدهنية في الزيوت المستخدمة على عملية الانفجار التنفسى (Gutiérrez *et al.*, 2019; Paschoal *et al.*, 2013) كما توصل (Gutiérrez *et al.*, 2019) أن كلاً من الحامض الدهنى docosahexaenoic acid و eicosapentaenoic acid بإمكانهما تعزيز انتاج الانفجار التنفسى وحسب الجرع المستخدمة ، ونميل للاعتقاد بأن التأثير الإيجابي بارتفاع الانفجار التأكسدي للخلايا ناتج من تأثير سيولة الجدار الخلوي للخلايا المناعية نتيجة تغاير محتواه من الأحماس الدهنية وبالتالي يؤثر في آلية انتقال الإشارات والأنزيمات الخاصة بعملية الانفجار التنفسى؛ فضلاً عن تأثيرها في التعبير الجيني لفعالية المستقبلات و انتقال الإشارات داخل الخلية عن طريق تأثيرها في عوامل تنشيط عملية النسخ (de Lima-Salgado *et al.*, 2011) ويدعم هذا التفسير وجود العديد من الدراسات التي توّكّد زيادة الأوكسجين الذري O₂، بيروكسيد الهروجين وأكاسيد النتریک بعد المعاملة باستعمال الأحماس الدهنية (de Lima-Salgado *et al.*, 2011; de Lima *et al.*, 2011; Jüttner *et al.*, 2008) ، ويعود ذلك إلى زيادة انزيم NADPH Oxidase في جدار الخلايا المناعية والذي يؤثر على مستقبلات بروتين G و انزيم بروتين كاينيز C مما يسبب زيادة قابلية الانفجار التنفسى (de Lima-Salgado *et al.*, 2011; Jüttner *et al.*, 2008)

5-2-5: الأجسام المضادة

أظهرت النتائج عدم وجود فرق معنوي بين المجاميع خلال اليوم الأول ويعود ذلك إلى وجود معيارية عالية للأجسام المضادة قادمة من الام والتي تعمل على حماية الأفراخ خلال الأيام الأولى من عمرها ويتفق ذلك مع ما ذهب إليه كل من (Isihak *et al.*, 2020; Martinez *et al.*, 2018) إذ بينما أن الارتفاع العالي للأجسام المضادة في الأيام الأولى من حياة الأفراخ ناتج عن وجود المناعة الأمية التي تعمل على حمايته من العوامل الممرضة لحين تطور النظام المناعي له.

بيّنت النتائج ارتفاعاً معنواً في مستوى معيارية الأجسام المضادة لفايروس مرض النيوكاسل ضمن الأيام في كل مجموعة من المجاميع المعاملة بينما لم يظهر هذا الارتفاع في مجاميع السيطرة (غير الملقحة) وظهر الارتفاع في المجاميع المعاملة مع تقدم أيام التجربة كما لوحظ اختلاف وفروقات معنوية في مستوى معيارية الأجسام المضادة بين مجاميع التجربة المعاملة ومجاميع السيطرة ويعود هذا الاختلاف نتيجة التحفيز الحاصل بواسطة التلقيح بالفايروس وهذا يتطابق مع النتائج التي استحصل عليها الباحثون (Al-Saigh, 2006; Martinez *et al.*, 2018; شمعون والحيالي، 2012) عند دراستهم معايير الأجسام المضادة للنيوكاسل بعد التلقيح.

لوحظ ارتفاعاً معنواً في المجاميع الملقحة والمعاملة بالزيوت وخصوصاً في اليوم الثامن والعشرين والخامس والثلاثين من التجربة إذ كان أعلى مستوى لمعيارية الأجسام المضادة في المجموعة الملقحة والمعاملة بزيت بذور الكتان في اليوم الخامس والثلاثين من التجربة وهذا يتفق مع النتائج المستحصلة من قبل (Jameel *et al.*, 2015) عند دراسته تأثير الزيت وبجرعتين مختلفتين على مناعة الطائر ولاحظ زيادة في مستوى الأجسام المضادة عند استعمال زيت بذور الكتان في علية فروج اللحم وبنسب مختلفة.

كما أظهرت النتائج ارتفاعاً معنواً في معايير الأجسام المضادة في المجموعة المعاملة بزيت الأوميجا 3 والملقحة بفايروس مرض النيوكاسل وبلغت أعلى قيمة لها في اليوم الخامس والثلاثين من التجربة وهذا يتفق مع ما جاء في (Jameel *et al.*, 2015) إذ أظهرت نتائجه تأثير زيت الأوميجا 3 على معايير الأجسام المضادة وزيادتها مقارنة مع المجاميع غير المعاملة بالزيوت، وذكر (Puthpong Siriporn & Scheideler, 2005; Wang *et al.*, 2002) أن أحماض الأوميجا 3 الدهنية تعد مكوناً مهماً في بنية الخلايا المناعية وتكوين ال eicosanoids

ولذلك فإن الإمداد الغذائي بأحماض أو ميجا 3 غير المشبعة خلال فترة ما بعد الفقس يؤثر على تطور نظام مناعة قوي في الطيور، ويزيد من إنتاج الأجسام المضادة استجابة للقاح.

5-2-6: الانترفيرون كاما

أظهرت نتائج هذه الدراسة ارتفاعاً معنوياً في مستوى الانترفيرون كاما ضمن الأيام في كل مجموعة من المجاميع المعاملة ومجاميع السيطرة وظهر الارتفاع مع تقدم أيام التجربة كما لوحظ اختلاف وفروقات معنوية في مستوى الانترفيرون كاما بين مجاميع التجربة المعاملة ومجاميع السيطرة ويعود ذلك نتيجة التحفيز الحاصل بواسطة التلقيح للخلايا المناعية (Bhagat *et al.*, 2008).

إذ لوحظ ارتفاعاً معنوياً في مجاميع السيطرة بالنسبة للمجاميع المعاملة وخصوصاً في اليوم السابع عشر واليوم الرابع والعشرين وخصوصاً في مجاميع السيطرة التي لم تستلم اللقاح وهذا يتفق مع الذي جاء في (Audsley and Moseley, 2013; Fleming, 2016) إذ أوضحا أن فايروس النيوكاسل يثبط إنتاج الانترفيرون عن طريق زيادة إنتاج العكسية السالبة وبالتالي يقلل من إنتاج الانترفيرون فضلاً عن ذلك وجد أن فايروسبات العائد لجنس Paramyxo لها أكثر من آلية لتنبيط إنتاج الانترفيرون وفي مناطق مختلفة من سلسلة إنتاجه الداخل خلوية.

كما بينت النتائج زيادة مستويات الانترفيرون مع تقدم التجربة مترافقاً مع تغذية الدجاج بالاعلاف الحاوية على الزيوت كما في المجموعة الرابعة (المعاملة بزيت بذور الكتان وزيت الأولميغا 3 مع التلقيح) والمجموعة الخامسة المعاملة بزيت الأولميغا 3 بدون تلقيح والمجموعة الثامنة المعاملة بزيتين بدون تلقيح هذه النتيجة تتفق مع (Ibrahim *et al.*, 2017) إذ أظهرت نتائجه ارتفاعاً معنوياً في مستوى الانترفيرون كاما في المجاميع المعاملة بزيت بذور الكتان أو زيت الأولميغا 3 لوحدهما أو عند خلطهما مع زيت عباد الشمس ولاحظ وجود ارتفاع معنوي في مستوى الانترفيرون كاما عند استعمال زيت الأولميغا 3 وبدون إعطاء أي لقاح، واتفقنا نتائجنا أيضاً مع (Maroufyan *et al.*, 2012; Sadeghi *et al.*, 2014) إذ أوضحت نتائجهم ارتفاعاً في مستوى الحمض الريبي المراسل mRNA للإنترفيرون كاما في المجاميع الملقحة بفيروس مرض النيوكاسل والمعاملة بزيت السمك (الأولميغا 3) وخصوصاً بعد اليوم 28 من التلقيح وبدونه وخلافت نتائجنا ما ذهب إليه (Betz & Fox, 1991; Fedyk *et al.*, 1996).

Goodwin & Webb, 1980) من أنه استعمال الزيوت الغنية بالأحماض الدهنية غير المشبعة السداسية تعمل على زيادة إنتاج البروستاكلاندينات 2 سواءً كانت عرضي من عمليات أيضها أو بتعزيزها المباشر لإنتاجها مما يوثر سلباً في إنتاج الانترفيرون كاما.

ولأن إنتاج الانترفيرون كاما يكون أساساً من قبل الخلايا المناعية الملمفية التائية Th1 فضلاً عن الخلايا القاتلة الطبيعية وخلايا البلعميات المحفزة، ليعمل على إيقاف مقاومة انتشار الفايروس (Fleming, 2016) فمثيل بالاعتقاد بأن استعمال الزيوت سواءً زيت بذور الكتان أو زيت الأوميغا 3 يعمل على زيادة إنتاج المناعة الفطرية وذلك بزيادة إنتاج خلايا Th1 وتقليل إنتاج النواقل الأيضية eicosanoids (البروستاكلاندينات Prostaglandin E2) المنتج من قبل خلايا البلعمية الطرفية والمتراقة مع زيادة وجود الأحماض الدهنية غير المشبعة الثلاثية التي تعمل على تعديل استجابة الخلايا لتعزيز إنتاج الانترفيرون من الخلايا المناعية الانترفيرون كاما حدثت بعد إجراء عمليات التلقيح المعززة مما يدعم اعتقادنا بتحفيز خلايا Th1 من قبل كل من الزيوت واللقالح.

6-2-7: الانترلوكين 6

سجلت نتائجنا ارتفاعاً معنوياً في مستوى الانترلوكين 6 ضمن الأيام في كل مجموعة من مجموعات التجربة إذ ارتفع مستوى الانترلوكين 6 في معظم مجاميع التجربة مع تقدم أيام التجربة وبصورة معنوية وخصوصاً في المجاميع الملقة ولغاية اليوم السابع عشر، وكما هو معلوم ان الانترلوكين 6 يعد أحد العوامل المنشطة للالتهاب Proinflammatory cytokines والتي تفرز من قبل كل من الخلايا المناعية وخاصة البلعميات المفعولة، الخلايا التسجيرية، والخلايا الملمفية المختلفة فضلاً عن الخلايا الطلائية (Rattanasrisomporn *et al.*, 2022) ويعمل عند إفرازه على تنشيط الخلايا الالتهابية وهذا يتفق مع ما ذهب إليه (Tanveer *et al.*, 2023) من أن التلقيح بفايروس مرض النيوكاسل يعمل على زيادة إنتاج مستويات الحمض الريبي المراسل الخاص بالانترلوكين 6 وقد يفسر هذا الزيادة الحاصلة بعد مرور 24 يوماً في المجاميع الملقة والحاصلة على جرعة التعزيز.

إن التغير في إنتاج الانترلوكين 6 قد يعود إلى تأثير Eicosanoids و docosahexaenoic acid، والتي تؤثر في عوامل النسخ في النواة، إذ أن وجود كميات كبيرة من الحامض الدهني غير المشبعة الثلاثي يسبب قلة في إنتاج نواتج الأيض من الأحماض

الدهنية غير المشبعة السداسية مثل البروستاكلاندين (Ibrahim *et al.*, 2017) وما يدعم هذا الاعتقاد النتائج التي توصل إليها (Fries-Craft *et al.*, 2021) عند دراسته لتأثير أكسدة الدهون على إنتاج الانترلوكين 6 حيث لاحظ أن زيت بذور الكتان المؤكسد ي العمل على جمع مواد بيولوجية مؤكسدة بدرجة أكبر من زيت الأوميغا 3 وبالتالي ي العمل على تعديل الاستجابات المناعية وزيادة إنتاج الانترلوكين 6، والذي قد يعود لوجود محتوى عالي من الحامض الدهني ألفا لولنك اسد في زيت بذور الكتان (Mohammed *et al.*, 2021).

5-2-8: الانترلوكين 4

نظراً لقلة عدد الأبحاث التي تسلط الضوء على الاستجابة المناعية للانترلوكين 4 سواءً نتيجة التلقيح أو الإضافات الغذائية فسوف يتم مناقشة نتائجه حسب الملاحظات البحثية للباحثين، بينت النتائج حدوث زيادة في المجاميع الملقة مترافق مع تقدم أيام التجربة والذي يعكس الاستجابة المناعية التي تحدث في الدواجن مع تغير الاستجابة المناعية نحو المناعة الخلطية بعد حدوث عمليات التعزيز اللقاحي والذي يتراافق مع زيادة التكاثر الخلوي الناتج عن الاستجابة للمستضدات عند التحفيز المتتالي، وبصورة معاكسة لاستجابة الانترفيرون كاماً والتي تعكس استجابة خلايا الثانية النمط 2 (Th2) (Evans *et al.*, 1998) وهذا يتطرق مع ما توصل إليه (Elbestawy *et al.*, 2023) عند استعمال عترة لاسوتا في عمليات تلقيح الدواجن إذ لاحظ زيادة إنتاج الانترلوكين 4 و 10 من قبل الخلايا البيضاء متعددة النواة في الطحال بعد عملية التلقيح باستعمال لقاح النيوكاسل كما ذكر (Marcano *et al.*, 2021; Rasoli *et al.*, 2014) إمكانية زيادة مستويات الانترلوكين 4 مترافق مع الإصابة بفايروس النيوكاسل.

بينت النتائج زيادة إنتاج الانترلوكين 4 في اليوم السابع عشر واليوم الرابع والعشرين وهذا يتراافق مع زيادة الأجسام المضادة المشاهدة في نفس المدة ويعكس حسب اعتقادنا التطور المناعي بعد عملية التحفيز المتكرر لإنتاج الأجسام المضادة (Evans *et al.*, 1998; Marcano *et al.*, 2021).

إن الزياد الملاحظة في الاستجابة للانترلوكين 4 خصوصاً في المجاميع غير الملقة والمعاملة بالزيوت تحدث نتيجة التأثير المعدل للاستجابة المناعية بواسطة الزيوت المستخدمة إذ تحتوي الزيوت على حمض إيكوسابنتانويك acid eicosapentaenoic ، وحمض دوكوساهيكسانويك docosahexaenoic acid والتي تعمل على دفع الخلايا البلعمية للتحول من النمط الأول إلى النمط الثاني المنتج للانترلوكين 4 والذي ينظم من قبل العوامل التنظيمية المناعية والتي تشمل مجاميع مختلفة (Videla *et al.*, 2023).

الفصل السادس

الاستنتاجات والتوصيات

Conclusions and Recommendations

الاستنتاجات:

1. بيّنت هذه الدراسة إمكانية إضافة زيت بذور الكتان وزيت الأوميغا 3 بتركيز 1% كلاً على حدة أو سوياً إلى علبة أفراخ فروج اللحم وفي مدة التربية وبدون حدوث مشاكل تغذوية.
2. إن استعمال زيت بذور الكتان وزيت الأوميغا 3 سوياً عزز إنتاج الأجسام المضادة والسيتوكينات المناعية أكثر من استعمالها كلاً على حدة.
3. أوضحت الدراسة إمكانية إعطاء زيت بذور الكتان و/أو زيت الأوميغا 3 (1%) إلى أفراخ فروج اللحم الملقحة يعزز من مستويات الأجسام المضادة الناتجة بعد عملية التلقيح بلقاح مرض النيوكاسل.
4. يستنتج من هذه الدراسة أن استعمال الزيوت يمكن أن يحسن إجمالي عدد خلايا الدم البيض وكذلك يزيد من قدرتها على نشاط البلعمة والقتل.
5. سجلت الدراسة قدرة الزيوت (زيوت بذور الكتان والأوميغا 3) على تحفيز إنتاج الانترفيرون كاما والانترلوكين 6 و4.
6. بيّنت الدراسة إمكانية استعمال زيوت بذور الكتان والأوميغا 3 كمعدلات مناعية تعمل على تعزيز الاستجابات المناعية الفاعلة والمنفعلة.

التوصيات:

1. دراسة تأثير الزيوت المعززة (زيت بذور الكتان وزيت الأوميغا 3) على الاستجابة المناعية وإنتاجية الدجاج البياض.
2. تأثير إضافة الزيوت المعززة على الاستجابة المناعية للأفراخ المعرضة للإجهاد الحراري.
3. تقييم حالة التعبير الجيني لبعض المعلمات المناعية لأفراخ فروج اللحم المعاملة بالزيوت المعززة.
4. تقييم الحالة المناعية لأفراخ فروج اللحم والمعاملة بالزيوت المعززة (زيت بذور الكتان وزيت الأوميغا 3) ضمن برامج لقاحية أخرى.
5. دراسة تأثير (زيت بذور الكتان وزيت الأوميغا 3) في أنواع أخرى من الخلايا المناعية والسيتوكينات مثل: IL10 , TNF α , TGF, CD4 $^{+}$ T cells, CD8 $^{+}$ T cells
6. اجراء دراسة نسجية ونسيجية مناعية لقياس مدى تطور واستجابة الأنسجة المناعية للطيور المعاملة بالزيوت.

المصادر

References

المصادر العربية:

- الحمداني، ااء حسين علي وعبدالرحمن، نوار علي. 2009. تأثير إضافة مسحوق الثوم إلى عليةة فروج اللحم المخمرة تجريبياً بالفايروس المسبب لمرض النيوكاسل. *المجلة العراقية للعلوم البيطرية*، مج.23، عدد إضافي 1
- الربيعي، اميرة حسين قادر والعاني، عماد الدين عباس والزهيري، مشعان عباس عبد. 2014. تأثير إضافة مصادر غنية بالأوميغا-3 (بذور الكتان وزيت السمك) وفيتامين E في علائق طيور السمان الياباني في انتاج اللحم. *مجلة الزراعة العراقية البحثية* (عدد خاص)، مج. 4، ع. 19
- الرحيبي، محمد شرتوح. 1974. إقليم دواجن بغداد، رسالة ماجستير، كلية الآداب، جامعة بغداد.
- العلي، صفاء علي حسن قاسم. 2023. دراسة مقارنة بين خميرة *Saccharomyces cerevisiae* والمعزز الحيوي poultry star® في تعزيز الاستجابة المناعية للاقاح النيوكاسل في فروج اللحم. رسالة ماجستير، امراض دواجن. كلية الطب البيطري، جامعة الموصل. الموصل. العراق.
- الفضلي، مراد كاظم محمد والياسين، علي عبد الخالق. 2015. تأثير استخدام نسب من مصادر الأوميغا-3 في علائق للدجاج البياض في دهون مصل الدم ونسبة الأحماض الدهنية في البيضة. *مجلة علوم الدواجن العراقية*، مج. 9، ع. 2، ص ص. 75-85.
- المشهداني، عيسى حسين وعزت، حسنين نشأت. 2014. تأثير إضافة زيوت بذور الكتان والسمك والجوز إلى العليةة في الصفات الانتاجية لدجاج اللوهمان البني. *مجلة العلوم الزراعية العراقية* 45 (4) (عدد خاص): 335-340.
- شمعون، علاء عبدالاحد والحيالي، ايمان عبدالله علي. 2012. الاستجابة المناعية لقاحي مرض النيوكاسل الحي والمقتول (عترة لاسوتا) في فروج اللحم. *المجلة العراقية للعلوم البيطرية*، مج. 26، عدد إضافي 3، ص 257-261.

- عبد الكاظم، نبأ جواد وجعفر ، قصي موسى. 2014. تأثير مصادر الطاقة من الأوميغا والدهون في العلاقة على الأداء الإنتاجي والفسلجي لفروج اللحم. مجلة الفرات للعلوم الزراعية – 111-101:(3)6
- عوادة، حياة كاظم. 2009. دراسة تحليلية للمشكلات الإنتاجية والمالية والإدارية والتسويقية لمشاريع تربية فروج اللحم في محافظة الديوانية. مجلة الفرات للعلوم البيطرية 1 (3): 141-130
- مصطففي، نضال عبد الغني ويونس، دريد ذنون. 2015. تأثير استخدام زيت بذور الكتان وزيت فول الصويا في التطوير الجيني وبعض صفات الفقس لبيض أمهات فروج اللحم والمناعة الأمية للأفراخ الفاقسية. مجلة جامعة تكريت للعلوم الزراعية، مج. 9، ع. 2، issn- 1813-1646
- مصطففي، نضال عبد الغني ويونس، دريد ذنون. 2016. تأثير استخدام زيت بذور الكتان وزيت فول الصويا (مصادر أوميغا – 3 النباتي) في الأداء الإنتاجي والصفات النوعية لبيض أمهات فروج اللحم. مجلة علوم الدواجن العراقية، 10 (2)، 27 – 34.
- يونس، دريد ذنون ومصطففي، نضال عبد الغني. 2019. تأثير استخدام زيت بذور الكتان وزيت فول الصويا (مصادر أوميغا- 3 النباتي) في الأداء الإنتاجي وبعض الصفات النوعية لبيض أمهات فروج اللحم. مجلة زراعة الرافدين، مج. (47)، عدد إضافي (1).
- وزارة التخطيط، تقرير الدواجن 2002، الجهاز المركزي للإحصاء، العراق، 2002
- وزارة التخطيط، تقرير الدواجن 2021، الجهاز المركزي للإحصاء، العراق، 2021

المصادر الأجنبية:

- Abdisa, T., & Tagesu, T. (2017). Review on Newcastle disease of poultry and its public health importance. *Journal of Veterinary Science & Technology*. 8(3), 441.
- Abdulwahid Talib, M., & Jabbar Mudheher, S. (2017). Influence of probiotic and flaxseed oil supplementation on some physiological parameters and immune response of broilers. ~ 1836 ~ *Journal of Entomology and Zoology Studies*, 5(6), 1836–1842.

- <https://www.entomoljournal.com/archives/2017/vol5issue6/PartY/5-6-3-674.pdf>
- Ahmed, A. A. (2013). Neutrophils phagocytic function in chronic myelogenous leukemia after imatinib mesylate therapy. *Iraqi Journal of Cancer and Medical Genetics*, 6(1), 65–71. <https://doi.org/10.29409/ijcmg.v6i1.103>
- Ahmed, A. I., & Odisho, S. M. (2018). Isolation identification and pathotyping of newcastle disease viruses form naturally infected chickens in Iraqi Kurdistan region. *Iraqi Journal of Agricultural Sciences*, 49(1), 132–141. <https://doi.org/10.36103/ijas.v49i1.216>
- Al-Garib, S. O., Gielkens, A. L. J., Gruys, E., Hartog, L., & Koch, G. (2003a). Immunoglobulin class distribution of systemic and mucosal antibody responses to newcastle disease in chickens. *Avian Diseases*, 47(1), 32–40. [https://doi.org/10.1637/0005-2086\(2003\)047\[0032:ICDOSA\]2.0.CO;2](https://doi.org/10.1637/0005-2086(2003)047[0032:ICDOSA]2.0.CO;2)
- Al-Garib, S. O., Gielkens, A. L. J., Gruys, E., & Koch, G. (2003b). Review of Newcastle disease virus with particular references to immunity and vaccination. *World's Poultry Science Journal*, 59(2), 185-200+260. <https://doi.org/10.1079/WPS20030011>
- Al-Khalaifah, H. (2020). Modulatory Effect of Dietary Polyunsaturated Fatty Acids on Immunity, Represented by Phagocytic Activity. *Frontiers in Veterinary Science*, 7(September), 9–21. <https://doi.org/10.3389/fvets.2020.569939>
- Al-Khalaifah, H., & Al-Nasser, Afaf, and T. A.-S. (2021). Dietary Supplementation With Various Fat Oils Affect Phytohemagglutinin Skin Test in Broiler Chickens. *Frontiers in Immunology*, 11, 1–36. <https://doi.org/10.3389/fimmu.2020.01735>
- Al-Khalaifah, H., & Al-Nasser, A. (2020). Dietary Supplementation With

- Various Fat Oils Affect Phytohemagglutinin Skin Test in Broiler Chickens. *Frontiers in Immunology*, 11(August), 1–9. <https://doi.org/10.3389/fimmu.2020.01735>
- Al-Khalaifah, H., & Al-Nasser, A. (2021). Dietary source of polyunsaturated fatty acids influences cell cytotoxicity in broiler chickens. *Scientific Reports*, 11(1), 1–10. <https://doi.org/10.1038/s41598-021-89381-3>
- Al-Khalifa, H., Givens, D. I., Rymer, C., & Yaqoob, P. (2012). Effect of n-3 fatty acids on immune function in broiler chickens. *Poultry Science*, 91(1), 74–88. <https://doi.org/10.3382/ps.2011-01693>
- Al-Saigh, A. M. S. (2006). EFFECT OF BROILER DIET COMPOSITION ON NEWCASTLE DISEASE ANTIBODY PRODUCTION. *Mesopotamia J. of Agric.*, 34(3).
- Al- Zuhairy, M. A., & Taher, M. G. (2014). Effects of feeding different levels of flaxseed on performance traits and blood parameters in broiler. 6, 1–10.
- Al Daraji Hazim J., et al. (2011). Effect of feeds containing different sources of manganese on certain carcass parameters of quail. *Scientific Messenger of LNU of Veterinary Medicine and Biotechnologies*, 19(79). <https://doi.org/10.15421/nvlvet7903>
- Alagawany, M., Elnesr, S. S., Farag, M. R., Abd El-Hack, M. E., Khafaga, A. F., Taha, A. E., Tiwari, R., Iqbal Yatoo, M., Bhatt, P., Khurana, S. K., & Dhamma, K. (2019). Omega-3 and omega-6 fatty acids in poultry nutrition: Effect on production performance and health. *Animals*, 9(8). <https://doi.org/10.3390/ani9080573>
- Alders, R. G. (2014). Making Newcastle disease vaccines available at village level. *Veterinary Record*, 174(20), 502–503. <https://doi.org/10.1136/vr.g3209>

- Alexander, D. J. (2000). Newcastle disease, other avian paramyxoviruses, and avian metapneumovirus infections. *Diseases of Poultry*, 19(2), 111–166. <https://doi.org/10.1002/9781119371199.ch3>
- Allam-Ndoul, B., Guénard, F., Barbier, O., & Vohl, M. C. (2017). A study of the differential effects of eicosapentaenoic acid (EPA) and docosahexaenoic acid (DHA) on gene expression profiles of stimulated thp-1 macrophages. *Nutrients*, 9(5), 7–10. <https://doi.org/10.3390/nu9050424>
- Audsley, M. D. G. W. M. (2013). Paramyxovirus evasion of innate immunity: Diverse strategies for common targets. *World Journal of Virology*, 2(2), 57. <https://doi.org/10.5501/wjv.v2.i2.57>
- Awadin, W. F., Eladl, A. H., El-Shafei, R. A., El-Adl, M. A., Aziza, A. E., Ali, H. S., & Saif, M. A. (2020). Effect of omega-3 rich diet on the response of Japanese quails (*Coturnix coturnix japonica*) infected with Newcastle disease virus or avian influenza virus H9N2. *Comparative Biochemistry and Physiology Part - C: Toxicology and Pharmacology*, 228(August 2019), 108668. <https://doi.org/10.1016/j.cbpc.2019.108668>
- Azis, A. (2012). Performance and Heterophil to Lymphocyte (H/L) ratio profile of broiler chickens subjected to feeding time restriction. *International Journal of Poultry Science*, 11(2), 153–157. <https://doi.org/10.3923/ijps.2012.153.157>
- Basavarajappa, M., Kumar, S., Khattar, S. K., Gebreluul, G. T., Paldurai, A., & Samal, S. K. (2014). A recombinant Newcastle disease virus (NDV) expressing infectious laryngotracheitis virus (ILTV) surface glycoprotein D protects against highly virulent ILTV and NDV challenges in chickens. *Vaccine*, 32(28), 3555–3563. <https://doi.org/10.1016/j.vaccine.2014.04.068>

- Behboudi, E., & Hamidi-Sofiani, V. (2021). Immune responses to Newcastle disease virus as a minor zoonotic viral agent. *Journal of Zoonotic Diseases*, 5(4), 12–23. <https://doi.org/10.22034/jzd.2021.14024>
- Bello, M. B., Yusoff, K., Ideris, A., Hair-Bejo, M., Peeters, B. P. H., & Omar, A. R. (2018). Diagnostic and Vaccination Approaches for Newcastle Disease Virus in Poultry: The Current and Emerging Perspectives. *BioMed Research International*, 2018. <https://doi.org/10.1155/2018/7278459>
- Bernacchia, R., Preti, R., & Vinci, G. (2014). Chemical Composition and Health Benefits of Flaxseed. *Austin Journal of Nutrition and Food Sciences*, 2(8), 1–9.
- Betz, M., & Fox, B. S. (1991). Prostaglandin E2 inhibits production of Th1 lymphokines but not of Th2 lymphokines. *The Journal of Immunology*, 146(1), 108–113. <https://doi.org/10.4049/jimmunol.146.1.108>
- Bhagat, J., Ahmed, K. A., Tyagi, P., Saxena, M., & Saxena, V. K. (2008). Effects of supplemental chromium on interferon-gamma (IFN- γ) mRNA expression in response to Newcastle disease vaccine in broiler chicken. *Research in Veterinary Science*, 85(1), 46–51. <https://doi.org/10.1016/j.rvsc.2007.08.003>
- Bu, Y. wen, Yang, H. ming, Jin, J. hui, Zhao, J., Xue, J., & Zhang, G. zhong. (2019). Recombinant Newcastle disease virus (NDV) La Sota expressing the haemagglutinin–neuraminidase protein of genotype VII NDV shows improved protection efficacy against NDV challenge. *Avian Pathology*, 48(2), 91–97. <https://doi.org/10.1080/03079457.2018.1548754>
- Calder, P. C. (2014). Metabolic benefits of marine n-3 fatty acids demonstrated in nonhuman primates. *Journal of Nutrition*, 144(1), 1–

2. <https://doi.org/10.3945/jn.113.186999>
- Cardenas-Garcia, S., Dunwoody, R. P., Marcano, V., Diel, D. G., Williams, R. J., Gogal, R. M., Brown, C. C., Miller, P. J., & Afonso, C. L. (2016). Effects of chicken interferon gamma on newcastle disease virus vaccine immunogenicity. *PLoS ONE*, 11(7), 1–19. <https://doi.org/10.1371/journal.pone.0159153>
- Caroline, V. S. (2022). Newcastle disease virus (NDV) in poultry birds. *African Journal of Poultry Farming*, 10(2), 001-002.
- Carrascoa, A. de O. T., Sekia, M. C., Benevenutea, J. L., Ikeda, P., & Pinto, A. A. (2016). Experimental infection with Brazilian newcastle disease virus strain in pigeons and chickens. *Brazilian Journal of Microbiology*, 47(1), 231–242. <https://doi.org/10.1016/j.bjm.2015.07.001>
- Cattoli, G., Susta, L., Terregino, C., & Brown, C. (2011). Newcastle disease: A review of field recognition and current methods of laboratory detection. *Journal of Veterinary Diagnostic Investigation*, 23(4), 637–656. <https://doi.org/10.1177/1040638711407887>
- Chang, H. Y., Lee, H. N., Kim, W., & Surh, Y. J. (2015). Docosahexaenoic acid induces M2 macrophage polarization through peroxisome proliferator-activated receptor γ activation. *Life Sciences*, 120(December), 39–47. <https://doi.org/10.1016/j.lfs.2014.10.014>
- Chen, X., Jia, Y., Wei, N., Ye, C., Hao, H., Xiao, S., Wang, X., Liu, H., & Yang, Z. (2021). Identification of a new amino acid mutation in the HN protein of NDV involved in pathogenicity. *Veterinary Research*, 52(1), 147. <https://doi.org/10.1186/s13567-021-01019-4>
- Cho, S. H., Kwon, H. J., Kim, T. E., Kim, J. H., Yoo, H. S., Park, M. H., Park, Y. H., & Kim, S. J. (2008). Characterization of a recombinant newcastle disease virus vaccine strain. *Clinical and Vaccine*

- Immunology*, 15(10), 1572–1579. <https://doi.org/10.1128/CVI.00156-08>
- Choi, K. S. (2017). Newcastle disease virus vectored vaccines as bivalent or antigen delivery vaccines. *Clinical and Experimental Vaccine Research*, 6(2), 72–82. <https://doi.org/10.7774/cevr.2017.6.2.72>
- de Lima-Salgado Martins, T., Coccuzzo Sampaio, S., Fernanda Cury-Boaventura, M., & Curi, R. (2011). Modulatory effect of fatty acids on fungicidal activity, respiratory burst and TNF- α and IL-6 production in J774 murine macrophages. *British Journal of Nutrition*, 105(8), 1173–1179. <https://doi.org/10.1017/S0007114510004873>
- de Lima, T. M., de Sa Lima, L., Scavone, C., & Curi, R. (2006). Fatty acid control of nitric oxide production by macrophages. *FEBS Letters*, 580(13), 3287–3295. <https://doi.org/10.1016/j.febslet.2006.04.091>
- Denis, D. J. (2021). *Applied univariate, bivariate, and multivariate statistics: Understanding statistics for social and natural scientists, with applications in SPSS and R*. John Wiley & Sons.
- Dewidar, A. A. A., Kilany, W. H., El-Sawah, A. A., Shany, S. A. S., Dahshan, A. H. M., Hisham, I., Elkady, M. F., & Ali, A. (2022). Genotype VII.1.1-Based Newcastle Disease Virus Vaccines Afford Better Protection against Field Isolates in Commercial Broiler Chickens. *Animals*, 12(13). <https://doi.org/10.3390/ani12131696>
- Dimitrov, K. M., Afonso, C. L., Yu, Q., & Miller, P. J. (2017). Newcastle disease vaccines—A solved problem or a continuous challenge? *Veterinary Microbiology*, 206, 126–136. <https://doi.org/10.1016/j.vetmic.2016.12.019>
- Dortmans, J. C. F. M., Peeters, B. P. H., & Koch, G. (2012). Newcastle disease virus outbreaks: Vaccine mismatch or inadequate application? *Veterinary Microbiology*, 160(1–2), 17–22.

- <https://doi.org/10.1016/j.vetmic.2012.05.003>
- Dortmans, J. C., Koch, G., Rottier, P. J., & Peeters, B. P. (2011). Virulence of newcastle disease virus: What is known so far? *Veterinary Research*, 42(1), 1–11. <https://doi.org/10.1186/1297-9716-42-122>
- Dzogbema, K. F. X., Talaki, E., Batawui, K. B., & Dao, B. B. (2021). Review on Newcastle disease in poultry. *International Journal of Biological and Chemical Sciences*, 15(2), 773–789. <https://doi.org/10.4314/ijbcs.v15i2.29>
- Ebeid, T., Fayoud, A., Abou El-Soud, S., Eid, Y., & El-Habbak, M. (2011). The effect of omega-3 enriched meat production on lipid peroxidation, antioxidative status, immune response and tibia bone characteristics in Japanese quail. *Czech Journal of Animal Science*, 56(7), 314–324. <https://doi.org/10.17221/1293-cjas>
- Ecco, R., Brown, C., Susta, L., Cagle, C., Cornax, I., Pantin-Jackwood, M., Miller, P. J., & Afonso, C. L. (2011b). In vivo transcriptional cytokine responses and association with clinical and pathological outcomes in chickens infected with different Newcastle disease virus isolates using formalin-fixed paraffin-embedded samples. *Veterinary Immunology and Immunopathology*, 141(3–4), 221–229. <https://doi.org/10.1016/j.vetimm.2011.03.002>
- Ecco, R., Susta, L., Afonso, C. L., Miller, P. J., & Brown, C. (2011a). Neurological lesions in chickens experimentally infected with virulent Newcastle disease virus isolates. *Avian Pathology*, 40(2), 145–152. <https://doi.org/10.1080/03079457.2010.544289>
- Edison, C. S., & Kleven, S. H. (1975). A comparison of various routes of Newcastle disease vaccination at one day of age. *Poultry Science*, 55(5), 1778–1787.

- El-Katcha MI, El-Kholy ME, S. M. & E.-G. A. (2014). Effect of Dietary Omega-3 to Omega-6 Ratio on Growth Performance ,Immune Response, Carcass Traits and Meat Fatty Acids Profile of Broiler Chickens. *Poultry Science Journal*, 2(2), 71–94.
- Elbestawy, A., Ellakany, H., Sedeik, M., Gado, A., Abdel-Latif, M., Noreldin, A., Orabi, A., Radwan, I., & El-Ghany, W. A. (2023). Superior Efficacy of Apathogenic Genotype I (V4) over Lentogenic Genotype II (LaSota) Live Vaccines against Newcastle Disease Virus Genotype VII.1.1 in Pathogen-Associated Molecular Pattern-H9N2 Vaccinated Broiler Chickens. *Vaccines*, 11(11). <https://doi.org/10.3390/vaccines11111638>
- Evans, T. G., Fitzgerald, T., Gibbons, D. C., Keefer, M. C., & Soucier, H. (1998). Th1/Th2 cytokine responses following HIV-1 immunization in seronegative volunteers. *Clinical and Experimental Immunology*, 111(2), 243–250. <https://doi.org/10.1046/j.1365-2249.1998.00486.x>
- Fedyk, E. R., Brown, D. M., & Phipps, R. P. (1996). PGE2 regulation of B lymphocytes and T helper 1 and T helper 2 cells: Induction of inflammatory versus allergic responses. *Advances in Experimental Medicine and Biology*, 407, 237–242. https://doi.org/10.1007/978-1-4899-1813-0_35
- Fellahi, S., & Boudouma, F. (2021). *Virus de la maladie de Newcastle chez la volaille : Perspectives actuelles et émergentes*. 9(3), 453–460.
- Fleming, S. B. (2016). Viral inhibition of the IFN-induced JAK/STAT signalling pathway: Development of live attenuated vaccines by mutation of viral-encoded IFN-antagonists. *Vaccines*, 4(3), 1–26. <https://doi.org/10.3390/vaccines4030023>
- Fries-Craft, K. A., Meyer, M. M., Lindblom, S. C., Kerr, B. J., & Bobeck, E. A. (2021). Lipid Source and Peroxidation Status Alter Immune Cell

- Recruitment in Broiler Chicken Ileum. *Journal of Nutrition*, 151(1), 223–234. <https://doi.org/10.1093/jn/nxaa356>
- Gallili, G. E. & D. B. (1998). Newcastle disease vaccines. *Biotechnology in Agriculture and Forestry*, 68(2), 179–195. https://doi.org/10.1007/978-3-662-43836-7_10
- Ganar, K., Das, M., Sinha, S., & Kumar, S. (2014). Newcastle disease virus: Current status and our understanding. *Virus Research*, 184, 71–81. <https://doi.org/10.1016/j.virusres.2014.02.016>
- Gao, K., Chu, W., Sun, J., & Mao, X. (2020). Identification of an alkaline lipase capable of better enrichment of EPA than DHA due to fatty acids selectivity and regioselectivity. *Food Chemistry*, 330(5), 127225. <https://doi.org/10.1016/j.foodchem.2020.127225>
- Getabalew, M., Alemneh, T., Akeberegn, D., Getahun, D., & Zewdie, D. (2019). Epidemiology, Diagnosis & Prevention of Newcastle Disease in Poultry. *American Journal of Biomedical Science & Research*, 3(1), 50–59. <https://doi.org/10.34297/ajbsr.2019.03.000632>
- Gheorghe, A., Habeau, M., Ciurescu, G., Lefter, N. A., Ropota, M., Custura, I., & Tudorache, M. (2022). Effects of Dietary Mixture Enriched in Polyunsaturated Fatty Acids and Probiotic on Performance, Biochemical Response, Breast Meat Fatty Acids, and Lipid Indices in Broiler Chickens. *Agriculture (Switzerland)*, 12(8). <https://doi.org/10.3390/agriculture12081120>
- Ghobashy, M., Gaafar, K., Fathalla, S., Abu-Alya, I., & Abou-elkhair, R. (2023). Beneficial Effects of n-3 Fatty Acids as Feed Additive on Broiler Chicken. *Matrouh Journal of Veterinary Medicine*, 3(1), 58–69. <https://doi.org/10.21608/mjvm.2023.294173>
- Gonzalez, D. (2008). *Effect of Dietary Fatty Acids, Time of Feeding and Immune Response in Poultry*. 1(June), 1–44.

- Goodwin, J. S., & Webb, D. R. (1980). Regulation of the immune response by prostaglandins. *Clinical Immunology and Immunopathology*, 15(1), 106–122. [https://doi.org/10.1016/0090-1229\(80\)90024-0](https://doi.org/10.1016/0090-1229(80)90024-0)
- Gooty, J. R., Shashirekha, A., Guntakala, V. R., & Palaparthi, R. (2019). Estimation of phagocytic activity of polymorphonuclear leukocytes in chronic and aggressive periodontitis patients with nitroblue tetrazolium test. *Journal of Indian Society of Periodontology*, 23(4), 316-321. <https://doi.org/10.4103/jisp.jisp>
- Gorjão, R., Verlengia, R., Lima, T. M. de, Soriano, F. G., Boaventura, M. F. C., Kanunfre, C. C., Peres, C. M., Sampaio, S. C., Otton, R., Folador, A., Martins, E. F., Curi, T. C. P., Portolli, É. P., Newsholme, P., & Curi, R. (2006). Effect of docosahexaenoic acid-rich fish oil supplementation on human leukocyte function. *Clinical Nutrition*, 25(6), 923–938. <https://doi.org/10.1016/j.clnu.2006.03.004>
- Gutiérrez, S., Svahn, S. L., & Johansson, M. E. (2019). Effects of omega-3 fatty acids on immune cells. *International Journal of Molecular Sciences*, 20(20). <https://doi.org/10.3390/ijms20205028>
- Habibi, H., Firouzi, S., Nili, H., Asasi, K., & Mosleh, N. (2020). Efficacy of thermostable newcastle disease virus strain I-2 in broiler chickens challenged with highly virulent newcastle virus. *Archives of Razi Institute*, 75(1), 31–37. <https://doi.org/10.22092/ARI.2019.122830.1228>
- Habibi, H., Nili, H., Asasi, K., Mosleh, N., Firouzi, S., & Mohammadi, M. (2014). Efficacy and transmissibility of Newcastle disease I-2 vaccine strain against a field isolate of virulent ND virus (JF820294.1) in village chicken. *Tropical Animal Health and Production*, 47(1), 73–78. <https://doi.org/10.1007/s11250-014-0687-1>
- Heiden, S., Grund, C., Röder, A., Granzow, H., Kühnel, D., Mettenleiter,

- T. C., & Römer-Oberdörfer, A. (2014). Different regions of the newcastle disease virus fusion protein modulate pathogenicity. *PLoS ONE*, 9(12), 1–19. <https://doi.org/10.1371/journal.pone.0113344>
- Hellwing, C., Tigistu-Sahle, F., Fuhrmann, H., Käkelä, R., & Schumann, J. (2018). Lipid composition of membrane microdomains isolated detergent-free from PUFA supplemented RAW264.7 macrophages. *Journal of Cellular Physiology*, 233(3), 2602–2612. <https://doi.org/10.1002/jcp.26138>
- Hu, S., Ma, H., Wu, Y., Liu, W., Wang, X., Liu, Y., & Liu, X. (2009). A vaccine candidate of attenuated genotype VII Newcastle disease virus generated by reverse genetics. *Vaccine*, 27(6), 904–910. <https://doi.org/10.1016/j.vaccine.2008.11.091>
- Hu, Z., He, X., Deng, J., Hu, J., & Liu, X. (2022). Current situation and future direction of Newcastle disease vaccines. *Veterinary Research*, 53(1), 99. <https://doi.org/10.1186/s13567-022-01118-w>
- Hu, Z., Hu, J., Hu, S., Song, Q., Ding, P., Zhu, J., Liu, X., Wang, X., & Liu, X. (2015). High levels of virus replication and an intense inflammatory response contribute to the severe pathology in lymphoid tissues caused by Newcastle disease virus genotype VIIId. *Archives of Virology*, 160(3), 639–648. <https://doi.org/10.1007/s00705-014-2301-2>
- Hu, Z., Hu, S., Meng, C., Wang, X., Zhu, J., & Liu, X. (2011). Generation of a genotype VII newcastle disease virus vaccine candidate with high yield in embryonated chicken eggs. *Avian Diseases*, 55(3), 391–397. <https://doi.org/10.1637/9633-122410-Reg.1>
- Ibrahim, A. M., & Abdul-Rahman, S. Y. (2024). Effect of Vegetable Oil Types and Vitamin C on Some Physiological Traits and Immune Status of Broiler Breeder Hens. *Egyptian Journal of Veterinary*

- Science(Egypt), 55(6), 1609–1617.
<https://doi.org/10.21608/EJVS.2024.259198.1752>
- Ibrahim, D., El-Sayed, R., Khater, S. I., Said, E. N., & El-Mandrawy, S. A. M. (2017). Changing dietary n-6:n-3 ratio using different oil sources affects performance, behavior, cytokines mRNA expression and meat fatty acid profile of broiler chickens. *Animal Nutrition*, 4(1), 44–51. <https://doi.org/10.1016/j.aninu.2017.08.003>
- Ibrahim, Z. Y., & Fayyadh, H. M. (2022). Proper Vaccination Timing against Newcastle Disease in Regard to Maternal Immunity. *Revista Electronica de Veterinaria*, 23(3), 429–434.
- Isihak, F. A., Hassan, S. M., Shaker, B. Z., & Saleh, Y. A. (2020). Follow up the antibodies titer against newcastle disease virus in broiler breeders using elisa test. *Iraqi Journal of Veterinary Sciences*, 34(2), 295–299. <https://doi.org/10.33899/ijvs.2019.125931.1189>
- Iwasaki, A., & Medzhitov, R. (2015). Control of adaptive immunity by the innate immune system. *Nature Immunology*, 16(4), 343–353. <https://doi.org/10.1038/ni.3123>
- Jameel, Y. J., Sahib, A. M., & Husain, M. A. (2015). Effect of Dietary Omega-3 Fatty Acid on Antibody Production Against Newcastle. *International Journal of Science and Nature*, 6(1), 23–27.
- Ji, Y., Liu, T., Du, Y., Cui, X., Yu, Q., Wang, Z., Zhang, J., Li, Y., & Zhu, Q. (2018). A novel genotype VII Newcastle disease virus vaccine candidate generated by mutation in the L and F genes confers improved protection in chickens. *Veterinary Microbiology*, 216(January), 99–106. <https://doi.org/10.1016/j.vetmic.2018.01.021>
- Jüttner, B., Kröplin, J., Coldewey, S. M., Witt, L., Osthaus, W. A., Weilbach, C., & Scheinichen, D. (2008). Unsaturated long-chain fatty acids induce the respiratory burst of human neutrophils and monocytes

- in whole blood. *Nutrition and Metabolism*, 5(1), 1–8.
<https://doi.org/10.1186/1743-7075-5-19>
- Kakhki Akbari Moghaddam, R., Ma, D. W. L., Price, K. R., Moats, J., Karrow, N. A., & Kiarie, E. G. (2021). Impact of feeding n-3 fatty acids to layer breeders and their offspring on concentration of antibody titres against infectious bronchitis, and Newcastle diseases and plasma fatty acids in the offspring. *British Poultry Science*, 62(2), 270–277.
<https://doi.org/10.1080/00071668.2020.1847254>
- Kakhki Moghaddam, R. A., & Kiarie, E. G. (2020). Effects of feeding isa brown and shaver white layer breeders with sources of n-3 fatty acids on hatching egg profiles, apparent embryonic uptake of egg components, and body composition of day-old chicks. *Canadian Journal of Animal Science*, 101(1), 168–176.
<https://doi.org/10.1139/cjas-2020-0026>
- Kapczynski, D. R., Afonso, C. L., & Miller, P. J. (2013). Immune responses of poultry to Newcastle disease virus. *Developmental and Comparative Immunology*, 41(3), 447–453.
<https://doi.org/10.1016/j.dci.2013.04.012>
- Kaspers, B., Schat, K. A., Göbel, T., & Vervelde, L. (Eds.). (2021). Avian immunology. In *Academic Press*.
- Kew, S., Banerjee, T., Minihane, A. M., Finnegan, Y. E., Williams, C. M., & Calder, P. C. (2003). Relation between the fatty acid composition of peripheral blood mononuclear cells and measures of immune cell function in healthy, free-living subjects aged 25-72 y. *American Journal of Clinical Nutrition*, 77(5), 1278–1286.
<https://doi.org/10.1093/ajcn/77.5.1278>
- Kim, S. H., & Samal, S. K. (2016). Newcastle disease virus as a vaccine vector for development of human and veterinary vaccines. In *Viruses*

- (Vol. 8, Issue 7). <https://doi.org/10.3390/v8070183>
- Krasimira, G., Ivona, D., Stancheva, N., Geno, A., Jivko, N., Tandju, M., & Svetlana, G. (2013). Study of the effects of breed on some innate immunity parameters in rams. *Macedonian Veterinary Review*, 36(2), 111–115.
- Li, R., Guo, K., Liu, C., Wang, J., Tan, D., Han, X., Tang, C., Zhang, Y., & Wang, J. (2016). Strong inflammatory responses and apoptosis in the oviducts of egg-laying hens caused by genotype VIIId Newcastle disease virus. *BMC Veterinary Research*, 12(1), 1–12. <https://doi.org/10.1186/s12917-016-0886-2>
- Liu, H., de Almeida, R. S., Gil, P., Majó, N., Nofrarías, M., Briand, F. X., Jestin, V., & Albina, E. (2018). Can genotype mismatch really affect the level of protection conferred by Newcastle disease vaccines against heterologous virulent strains? *Vaccine*, 36(27), 3917–3925. <https://doi.org/10.1016/j.vaccine.2018.05.074>
- Mao, Q., Ma, S., Schrickel, P. L., Zhao, P., Wang, J., Zhang, Y., Li, S., & Wang, C. (2022). Review detection of Newcastle disease virus. *Frontiers in Veterinary Science*, 9(2). <https://doi.org/10.3389/fvets.2022.936251>
- Marcano, V. C., Susta, L., Diel, D. G., Cardenas- Garcia, S., Miller, P. J., Afonso, C. L., & Brown, C. C. (2021). Evaluation of chickens infected with a recombinant virulent NDV clone expressing chicken IL4. *Microbial Pathogenesis*, 159(July), 105116. <https://doi.org/10.1016/j.micpath.2021.105116>
- Mariappan, A. K., Munusamy, P., Kumar, D., Latheef, S. K., Singh, S. D., Singh, R., & Dhama, K. (2018). Pathological and molecular investigation of velogenic viscerotropic Newcastle disease outbreak in a vaccinated chicken flocks. *VirusDisease*, 29(2), 180–191.

<https://doi.org/10.1007/s13337-018-0445-5>

- Maroufyan, E., Kasim, A., Ebrahimi, M., Loh, T. C., Bejo, M. H., Zerihun, H., Hosseni, F., Goh, Y. M., & Farjam, A. S. (2012). Omega-3 polyunsaturated fatty acids enrichment alters performance and immune response in infectious bursal disease challenged broilers. *Lipids in Health and Disease*, 11, 1–10. <https://doi.org/10.1186/1476-511X-11-15>
- Martinez, J. C. S., Chou, W. K., Berghman, L. R., & Carey, J. B. (2018). Evaluation of the effect of live LaSota Newcastle disease virus vaccine as primary immunization on immune development in broilers. *Poultry Science*, 97(2), 455–462. <https://doi.org/10.3382/ps/pex339>
- Miller and Koch. (2013). Viral diseases. *Weedon's Skin Pathology: Third Edition*, 607–631. <https://doi.org/10.1016/B978-0-7020-3485-5.00027-9>
- Miller, P. J., Afonso, C. L., El Attrache, J., Dorsey, K. M., Courtney, S. C., Guo, Z., & Kapczynski, D. R. (2013). Effects of Newcastle disease virus vaccine antibodies on the shedding and transmission of challenge viruses. *Developmental and Comparative Immunology*, 41(4), 505–513. <https://doi.org/10.1016/j.dci.2013.06.007>
- Miller, P. J., King, D. J., Afonso, C. L., & Suarez, D. L. (2007). Antigenic differences among Newcastle disease virus strains of different genotypes used in vaccine formulation affect viral shedding after a virulent challenge. *Vaccine*, 25(41), 7238–7246. <https://doi.org/10.1016/j.vaccine.2007.07.017>
- Mohammed, H. E., Attiyah, S. M., & Atta, S. A. (2021). Comparative Study on the Pro-Inflammatory Activity of Turmeric (*Curcuma longa*) and flaxseed (*Linumusitatissimum*). *Annals of the Romanian Society for Cell Biology*, 6329-6335.

- Moustapha, A., Talaki, E., Akourki, A., & Ousseini, M. (2023). Newcastle Disease Virus in Poultry: Current Status and Control Prospects. *World's Veterinary Journal*, 13(2), 240–249. <https://doi.org/10.54203/scil.2023.wvj26>
- Muñoz-Barroso, I., Cobaleda, C., Zhadan, G., Shnyrov, V., & Villar, E. (1997). Dynamic properties of Newcastle Disease Virus envelope and their relations with viral hemagglutinin-neuraminidase membrane glycoprotein. *Biochimica et Biophysica Acta - Biomembranes*, 1327(1), 17–31. [https://doi.org/10.1016/S0005-2736\(97\)00040-0](https://doi.org/10.1016/S0005-2736(97)00040-0)
- Nahed El-Shall A., Shewita, R. S., Abd El-Hack, M. E., AlKahtane, A., Alarifi, S., Alkahtani, S., Abdel-Daim, M. M., & Sedeik, M. E. (2020). Effect of essential oils on the immune response to some viral vaccines in broiler chickens, with special reference to Newcastle disease virus. *Poultry Science*, 99(6), 2944–2954. <https://doi.org/10.1016/j.psj.2020.03.008>
- Naz, D., Rahman, S. ur, Aslam, M. A., & Muhammad, F. (2022). Newcastle disease virus in poultry with an interface as a human vector. *Veterinary Vaccine*, 1(1), 100003. <https://doi.org/10.1016/j.vetvac.2022.100003>
- Nooruzzaman, M., Hossain, I., Begum, J. A., Moula, M., Khaled, S. A., Parvin, R., Chowdhury, E. H., Islam, M. R., Diel, D. G., & Dimitrov, K. M. (2022). The First Report of a Virulent Newcastle Disease Virus of Genotype VII.2 Causing Outbreaks in Chickens in Bangladesh. *Viruses*, 14(12), 1–18. <https://doi.org/10.3390/v14122627>
- Nowaczewski, S., & Koniecka, H. (2012). Haematological indices, size of erythrocytes and haemoglobin saturation in broiler chickens kept in commercial conditions. *Animal Science Papers and Reports*, 30(2), 181–190.

- Nurzijah, I., Elbohy, O. A., Kanyuka, K., Daly, J. M., & Dunham, S. (2022). Development of Plant-Based Vaccines for Prevention of Avian Influenza and Newcastle Disease in Poultry. *Vaccines*, 10(3), 1–21. <https://doi.org/10.3390/vaccines10030478>
- Oyebanji, V. O., Jarikre, T. A., Jagun-Jubril, A., Adeniran, G. A. A., & Emikpe, B. O. (2020). Haematological Changes Associated with Newcastle Disease Vaccination in Chickens Using Gums from *Cedrela odorata* and *Khaya senegalensis* as Delivery Agents. *Nigerian Journal of Physiological Sciences*, 35(2), 167–171.
- Palya, V., Kiss, I., Tatár-Kis, T., Mató, T., Felföldi, B., & Gardin, Y. (2010). Advancement in Vaccination Against Newcastle Disease: Recombinant HVT NDV Provides High Clinical Protection and Reduces Challenge Virus Shedding with the Absence of Vaccine Reactions. *Avian Diseases Digest*, 7(2), e3–e4. <https://doi.org/10.1637/10095-993512-digest.1>
- Palya, V., Kiss, I., Tatár-Kis, T., Mató, T., Felföldi, B., & Gardin, Y. (2012). Advancement in vaccination against newcastle disease: Recombinant HVT NDV provides high clinical protection and reduces challenge virus shedding with the absence of vaccine reactions. *Avian Diseases*, 56(2), 282–287. <https://doi.org/10.1637/9935-091511-Reg.1>
- Park, B. H., Fikrig, S. M., & Smithwick, E. M. (1968). Infection and nitroblue-tetrazolium reduction by neutrophils. A diagnostic acid. *Lancet*, 2(7567), 532–534. [https://doi.org/10.1016/s0140-6736\(68\)92406-9](https://doi.org/10.1016/s0140-6736(68)92406-9)
- Park, J. K., Lee, D. H., Yuk, S. S., Tseren-Ochir, E. O., Kwon, J. H., Noh, J. Y., Kim, B. Y., Choi, S. W., Kang, S. M., Lee, J. B., Park, S. Y., Choi, I. S., & Song, C. S. (2014). Virus-like particle vaccine confers

- protection against a lethal newcastle disease virus challenge in chickens and allows a strategy of differentiating infected from vaccinated animals. *Clinical and Vaccine Immunology*, 21(3), 360–365. <https://doi.org/10.1128/CVI.00636-13>
- Paschoal, V. A., Vinolo, M. A. R., Crisma, A. R., Magdalon, J., & Curi, R. (2013). Eicosapentaenoic (EPA) and docosahexaenoic (DHA) acid differentially modulate rat neutrophil function in vitro. *Lipids*, 48(2), 93–103. <https://doi.org/10.1007/s11745-012-3726-6>
- Perozo, F., Marcano, R., & Afonso, C. L. (2012). Biological and phylogenetic characterization of a genotype VII Newcastle disease virus from Venezuela: Efficacy of field vaccination. *Journal of Clinical Microbiology*, 50(4), 1204–1208. <https://doi.org/10.1128/JCM.06506-11>
- Perozo, F., Villegas, P., Dolz, R., Afonso, C. L., & Purvis, L. B. (2008). The VG/GA strain of Newcastle disease virus: Mucosal immunity, protection against lethal challenge and molecular analysis. *Avian Pathology*, 37(3), 237–245. <https://doi.org/10.1080/03079450802043734>
- Phale, S. (2018). Newcastle Disease Virus: Structural and Molecular Basis of Pathogenicity. *Medicinal Chemistry*, 08(08), 202–204. <https://doi.org/10.4172/2161-0444.1000514>
- Puro, K., & Sen, A. (2022). Newcastle Disease in Backyard Poultry Rearing in the Northeastern States of India: Challenges and Control Strategies. *Frontiers in Veterinary Science*, 9(April), 1–7. <https://doi.org/10.3389/fvets.2022.799813>
- Puthponsiriporn, U., & Scheideler, S. E. (2005). Effects of dietary ratio of linoleic to linolenic acid on performance, antibody production, and in vitro lymphocyte proliferation in two strains of Leghorn pullet

- chicks. *Poultry Science*, 84(6), 846–857. <https://doi.org/10.1093/ps/84.6.846>
- Putri, D. D., Handharyani, E., Soejoedono, R. D., Setiyono, A., Mayasari, N. L. P. I., & Poetri, O. N. (2017). Pathotypic characterization of Newcastle disease virus isolated from vaccinated chicken in West Java, Indonesia. *Veterinary World*, 10(4), 438–444. <https://doi.org/10.14202/vetworld.2017.438-444>
- Qin, Z. M., Tan, L. T., Xu, H. Y., Ma, B. C., Wang, Y. L., Yuan, X. Y., & Liu, W. J. (2008). Pathotypical characterization and molecular epidemiology of newcastle disease virus isolates from different hosts in China from 1996 to 2005. *Journal of Clinical Microbiology*, 46(2), 601–611. <https://doi.org/10.1128/JCM.01356-07>
- Ramakrishnan, S., Annamalai, A., Sachan, S., Kumar, A., Sharma, B. K., Govindaraj, E., Chellappa, M. M., Dey, S., & Krishnaswamy, N. (2015). Synergy of lipopolysaccharide and resiquimod on type I interferon, pro-inflammatory cytokine, Th1 and Th2 response in chicken peripheral blood mononuclear cells. *Molecular Immunology*, 64(1), 177–182. <https://doi.org/10.1016/j.molimm.2014.11.013>
- Rasoli, M., Yeap, S. K., Tan, S. W., Moeini, H., Ideris, A., Bejo, M. H., Alitheen, N. B. M., Kaiser, P., & Omar, A. R. (2014). Alteration in lymphocyte responses, cytokine and chemokine profiles in chickens infected with genotype VII and VIII velogenic Newcastle disease virus. *Comparative Immunology, Microbiology and Infectious Diseases*, 37(1), 11–21. <https://doi.org/10.1016/j.cimid.2013.10.003>
- Rattanasrisomporn, J., Tantikositruj, C., Thiptara, A., Kitpipit, W., Wichianrat, I., Kayan, A., & Boonkaewwan, C. (2022). Pro-inflammatory cytokine release from chicken peripheral blood mononuclear cells stimulated with lipopolysaccharide. *Veterinary*

- World*, 15(4), 885–889. <https://doi.org/10.14202/vetworld.2022.885-889>
- Rauw, F., Gardin, Y., Palya, V., Anbari, S., Gonze, M., Lemaire, S., van den Berg, T., & Lambrecht, B. (2010). The positive adjuvant effect of chitosan on antigen-specific cell-mediated immunity after chickens vaccination with live Newcastle disease vaccine. *Veterinary Immunology and Immunopathology*, 134(3–4), 249–258. <https://doi.org/10.1016/j.vetimm.2009.10.028>
- Rauw, F., Gardin, Y., van den Berg, T., & Lambrecht, B. (2009). Vaccination against Newcastle disease in chickens | La vaccination contre la maladie de Newcastle chez le poulet (*Gallus gallus*). *Biotechnology, Agronomy and Society and Environment*, 13(4), 587–596.
- Rauw, F., Van Borm, S., Welby, S., Ngabirano, E., Gardin, Y., Palya, V., & Lambrecht, B. (2015). Quantification of rHVT-F genome load in feather follicles by specific real-time qPCR as an indicator of NDV-specific humoral immunity induced by day-old vaccination in SPF chickens. *Avian Pathology*, 44(3), 154–161. <https://doi.org/10.1080/03079457.2015.1018869>
- Rees, D., Miles, E. A., Banerjee, T., Wells, S. J., Roynette, C. E., Wahle, K. W. J., & Calder, P. C. (2006). Dose-related effects of eicosapentaenoic acid on innate immune function in healthy humans: A comparison of young and older men. *American Journal of Clinical Nutrition*, 83(2), 331–342. <https://doi.org/10.1093/ajcn/83.2.331>
- Rehan, M., Aslam, A., Khan, M.-R., Abid, M., Hussain, S., Umber, J., Anjum, A., & Hussain, A. (2019). Potential Economic Impact of Newcastle Disease Virus Isolated from Wild Birds on Commercial Poultry Industry of Pakistan: A Review. *Hosts and Viruses*, 6(1).

- <https://doi.org/10.17582/journal.hv/2019/6.1.1.15>
- Reynolds, D. L., & Maraqa, A. D. (2000). Protective immunity against Newcastle disease: The role of cell-mediated immunity. *Avian Diseases*, 44(1), 145–154. <https://doi.org/10.2307/1592518>
- Roessler, C., Kuhlmann, K., Hellwing, C., Leimert, A., & Schumann, J. (2017). Impact of polyunsaturated fatty acids on miRNA profiles of monocytes/macrophages and endothelial cells—a pilot study. *International Journal of Molecular Sciences*, 18(2), 1–24. <https://doi.org/10.3390/ijms18020284>
- Ruan, B., Liu, Q., Chen, Y., Niu, X., Wang, X., Zhang, C., Guo, M., Zhang, X., Cao, Y., & Wu, Y. (2020). Generation and evaluation of a vaccine candidate of attenuated and heat-resistant genotype VIII Newcastle disease virus. *Poultry Science*, 99(7), 3437–3444. <https://doi.org/10.1016/j.psj.2020.01.034>
- Sachan, S., Ramakrishnan, S., Annamalai, A., Sharma, B. K., Malik, H., Saravanan, B. C., ... & Krishnaswamy, N. (2015). Adjuvant potential of resiquimod with inactivated Newcastle disease vaccine and its mechanism of action in chicken. *Vaccine*, 33(36), 4526–4532.
- Sadeghi, A. A., Safaei, A., & Aminafshar, M. (2014). Effects of dietary oil sources on performance, Serum corticosterone level, Antibody titers and IFN- γ gene expression in broiler chickens. *Kafkas Universitesi Veteriner Fakultesi Dergisi*, 20(6), 857–862. <https://doi.org/10.9775/kvfd.2014.11163>
- Sahib, A. M., Al-Hillali, A. H., & Al-Khalisy, A. F. (2012). Effect of Supplementing Different Sources and Levels of Omega-3 in Ration on Body Weights of Broilers. *Kufa Journal For Veterinary Medical Sciences*, 3(2), 127–135. <https://doi.org/10.36326/kjvs/2012/v3i23942>

- Samal, S. K. (2019). Avian Virology. *Caister Academic press*.
<https://doi.org/https://doi.org/10.21775/9781912530106> Edited
- Samal, S., Kumar, S., Khattar, S. K., & Samal, S. K. (2011). A single amino acid change, Q114R, in the cleavage-site sequence of Newcastle disease virus fusion protein attenuates viral replication and pathogenicity. *Journal of General Virology*, 92(10), 2333–2338.
<https://doi.org/10.1099/vir.0.033399-0>
- Schoeniger, A., Fuhrmann, H., & Schumann, J. (2016). LPS- or *Pseudomonas aeruginosa*- mediated activation of the macrophage TLR4 signaling cascade depends on membrane lipid composition. *PeerJ*, 2016(2), 1–17. <https://doi.org/10.7717/peerj.1663>
- Shaikh, S. R., & Edidin, M. (2006). Polyunsaturated fatty acids, membrane organization, T cells, and antigen presentation. *American Journal of Clinical Nutrition*, 84(6), 1277–1289.
<https://doi.org/10.1093/ajcn/84.6.1277>
- Shanmugam, L., Ravinder, S. S., Johnson, P., Padmavathi, R., Rajagopalan, B., & Kindo, A. J. (2015). Assessment of phagocytic activity of neutrophils in chronic obstructive pulmonary disease. *Lung India*, 32(5), 437–440. <https://doi.org/10.4103/0970-2113.164159>
- Shawky Sherif M. , Said i. fathalla , ibrahiM S. Zahran , khalid M. Gaafar , MohaMed k. huSSein, ibrahiM S. abu-alya. et al. (2020). Research Article Research Article. *Archives of Anesthesiology and Critical Care*, 4(4), 527–534.
<http://www.globalbuddhism.org/jgb/index.php/jgb/article/view/88/100>
- Shunthwal, J. (2017). Effect of Linseed oil supplementation on Hematological Parameters and Economics of Feeding in Broiler Chicks. *International Journal of Pure & Applied Bioscience*, 5(5),

- 1258–1265. <https://doi.org/10.18782/2320-7051.5943>
- Sokol, C. L., & Luster, A. D. (2015). The chemokine system in innate immunity. *Cold Spring Harbor Perspectives in Biology*, 7(5), 1–20. <https://doi.org/10.1101/cshperspect.a016303>
- Song, R., Li, W., Deng, S., Zhao, Y., & Tao, N. (2023). Assessment of lipid composition and eicosapentaenoic acid/docosahexaenoic acid bioavailability in fish oil obtained through different enrichment methods. *Frontiers in Nutrition*, 10(March), 1–10. <https://doi.org/10.3389/fnut.2023.1136490>
- Sonkusale, P. M., Ghosh, R. C., Giri, D., Kumar, V., Shukla, N., & Gumasta, P. (2023). *Pathology and Molecular Diagnosis of Velogenic Viscerotropic Newcastle Disease Virus in Desi Chicken of Chhattisgarh*. 4–7.
- Steiner, T. (2009). *Phylogenics in animal nutrition: natural concepts to optimize gut health and performance*. Nottingham University Press. <https://doi.org/10.7313/upo9781904761747>
- Stulnig, T. M. (2003). Immunomodulation by polyunsaturated fatty acids: Mechanisms and effects. *International Archives of Allergy and Immunology*, 132(4), 310–321. <https://doi.org/10.1159/000074898>
- Swayne, D. E. (2013). Diseases of poultry. In *The Economics of Animal Health and Production*. <https://doi.org/10.3382/ps.0440618>
- Taher, M. G. (2018). EFFECTS OF FEEDING FLAXSEED OIL ON PERFORMANCE AND SOME BLOOD BIOCHEMICAL TRAITS OF BROILER Maisaa. *Diyala Journal of Agricultural Sciences*, 10(1), 20–28.
- Takeuchi, O., & Akira, S. (2010). Pattern Recognition Receptors and Inflammation. *Cell*, 140(6), 805–820.

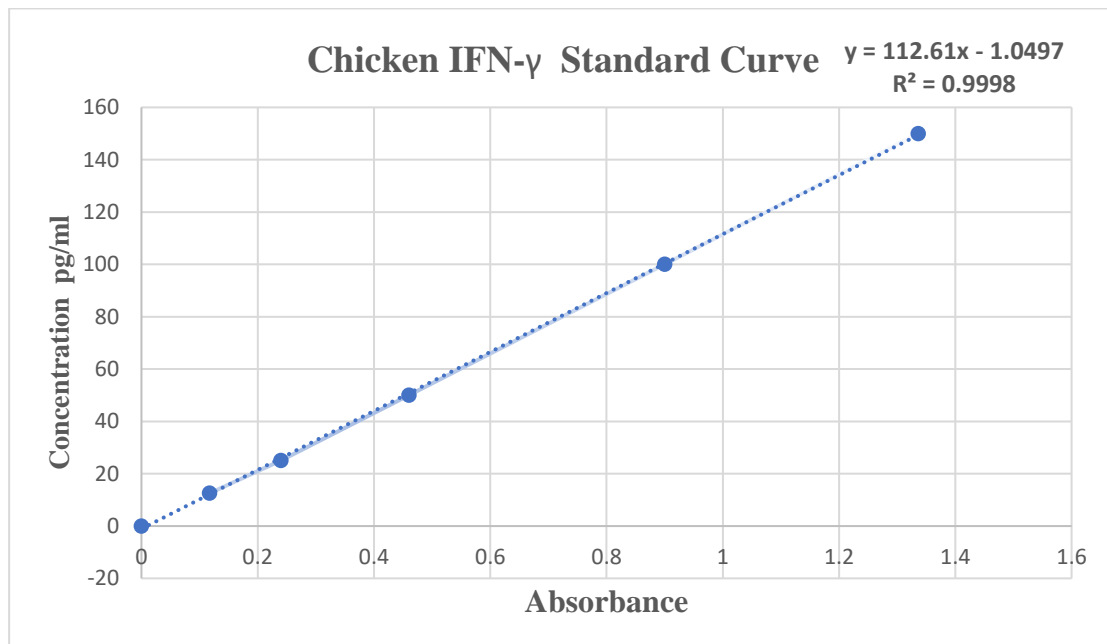
- <https://doi.org/10.1016/j.cell.2010.01.022>
- Tanveer, S., Malik, H. A., Shahid, N., Salisu, I. B., Ahmed, N., Latif, A., Yasmeen, A., Hassan, S., Bakhsh, A., & Rao, A. Q. (2023). Production of proinflammatory cytokines by expressing Newcastle disease vaccine candidates in corn. *Journal of King Saud University - Science*, 35(3), 102537. <https://doi.org/10.1016/j.jksus.2022.102537>
- Tariq, R. A., Al-Sudani, B. T., & Arif, I. S. (2020). Promising preclinical data to a possible antidiabetic drug. *International Journal of Pharmaceutical Research*, 12(4), 2737–2744. <https://doi.org/10.31838/ijpr/2020.12.04.378>
- Tseng, L. P., Chiou, C. J., Chen, C. C., Deng, M. C., Chung, T. W., Huang, Y. Y., & Liu, D. Z. (2009). Effect of lipopolysaccharide on intranasal administration of liposomal Newcastle disease virus vaccine to SPF chickens. *Veterinary Immunology and Immunopathology*, 131(3–4), 285–289. <https://doi.org/10.1016/j.vetimm.2009.04.009>
- Vénéreau, E., Ceriotti, C., & Bianchi, M. E. (2015). DAMPs from cell death to new life. *Frontiers in Immunology*, 6(AUG), 1–11. <https://doi.org/10.3389/fimmu.2015.00422>
- Videla, L. A., Valenzuela, R., Del Campo, A., & Zúñiga-Hernández, J. (2023). Omega-3 Lipid Mediators: Modulation of the M1/M2 Macrophage Phenotype and Its Protective Role in Chronic Liver Diseases. *International Journal of Molecular Sciences*, 24(21), 1–17. <https://doi.org/10.3390/ijms242115528>
- Wang, Y. (2001). *OMEGA-3 POLYUNSATURATED FATTY ACIDS AND CHICKEN IMMUNITY*.
- Wang, Y. W., Ajuyah, A. O., Sunwoo, H. H., Cherian, G., & Sim, J. S. (2002). Maternal dietary N-3 fatty acids alter the spleen fatty acid composition and bovine serum albumin-induced wing web swelling in

- broilers. *Poultry Science*, 81(11), 1722–1727.
<https://doi.org/10.1093/ps/81.11.1722>
- Wang, Z., Ning, Z., Sun, M., Gao, S., Kang, Y., Xie, P., & Ren, T. (2014). Interferon regulatory factor 7- (IRF7-) mediated immune response affects newcastle disease virus replication in chicken embryo fibroblasts. *Acta Veterinaria Hungarica*, 62(4), 500–511.
<https://doi.org/10.1556/AVet.2014.023>
- Wei, J., Zhang, X., Bi, Y., Miao, R., Zhang, Z., & Su, H. (2015). Anti-Inflammatory Effects of Cumin Essential Oil by Blocking JNK, ERK, and NF- B Signaling Pathways in LPS-Stimulated RAW 264.7 Cells. *Evidence-Based Complementary and Alternative Medicine*, 2015.
<https://doi.org/10.1155/2015/474509>
- Worku, T., & Teshome, I. (2020). Review on the Role of Viral Structural Proteins on the Pathogenecity of Newcastle Disease Virus in Chickens. *American Journal of Zoology*, 3(2), 40–46.
<https://doi.org/10.11648/j.ajz.20200302.12>
- Wu, D., Lewis, E. D., Pae, M., & Meydani, S. N. (2019). Nutritional modulation of immune function: Analysis of evidence, mechanisms, and clinical relevance. *Frontiers in Immunology*, 10(JAN), 1–19.
<https://doi.org/10.3389/fimmu.2018.03160>
- Xiao, S., Nayak, B., Samuel, A., Paldurai, A., Kanabagattebasavarajappa, M., Prajitno, T. Y., Bharoto, E. E., Collins, P. L., & Samal, S. K. (2012). Generation by Reverse Genetics of an Effective, Stable, Live-Attenuated Newcastle Disease Virus Vaccine Based on a Currently Circulating, Highly Virulent Indonesian Strain. *PLoS ONE*, 7(12).
<https://doi.org/10.1371/journal.pone.0052751>
- Xu, Q., Sun, J., Gao, M., Zhao, S., Liu, H., Zhang, T. T., Han, Z., Kong, X., & Liu, S. (2017). Genetic, antigenic, and pathogenic characteristics

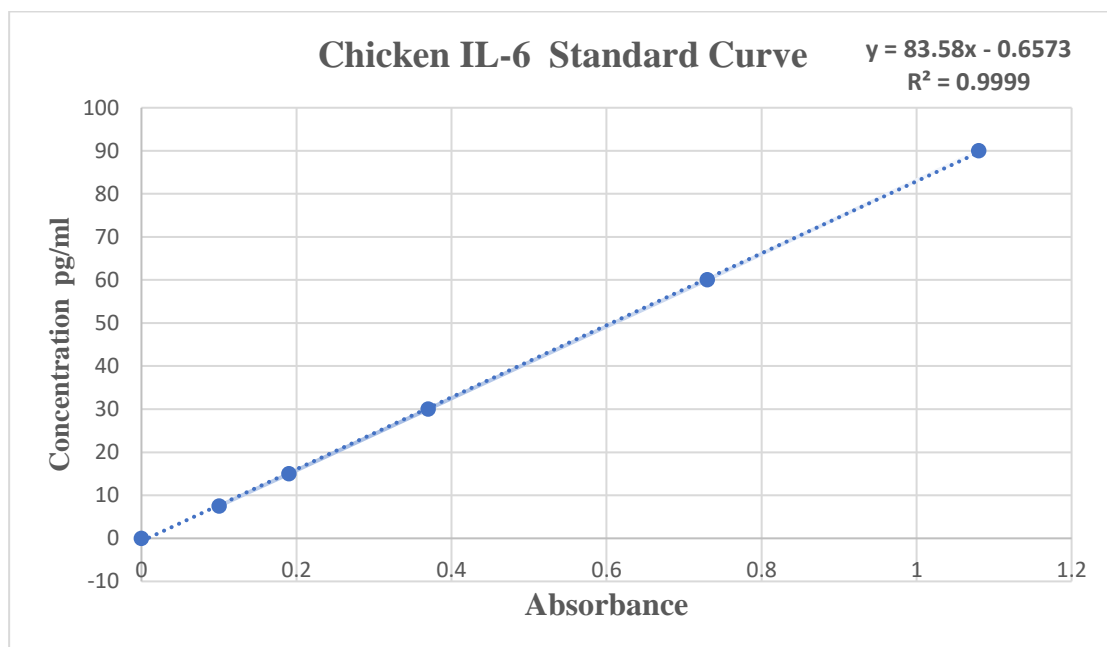
- of Newcastle disease viruses isolated from geese in China. *Journal of Veterinary Diagnostic Investigation*, 29(4), 489–498.
<https://doi.org/10.1177/1040638717709855>
- Yu, Q., Roth, J. P., Hu, H., Estevez, C. N., Zhao, W., & Zsak, L. (2013). Protection by Recombinant Newcastle Disease Viruses (NDV) Expressing the Glycoprotein (G) of Avian Metapneumovirus (aMPV) Subtype A or B against Challenge with Virulent NDV and aMPV. *World Journal of Vaccines*, 03(04), 130–139.
<https://doi.org/10.4236/wjv.2013.34018>
- Yuming, G., Chen, S., Xia, Z., & Yuan, J. (2004). Effects of different types of polyunsaturated fatty acids on immune function and PGE2 synthesis by peripheral blood leukocytes of laying hens. *Animal Feed Science and Technology*, 116(3–4), 249–258.
<https://doi.org/10.1016/j.anifeedsci.2004.07.011>
- Zhao, K., Rong, G., Hao, Y., Yu, L., Kang, H., Wang, X., Wang, X., Jin, Z., Ren, Z., & Li, Z. (2016a). IgA response and protection following nasal vaccination of chickens with Newcastle disease virus DNA vaccine nanoencapsulated with Ag@SiO₂ hollow nanoparticles. *Scientific Reports*, 6(October 2015), 1–12.
<https://doi.org/10.1038/srep25720>
- Zhao, K., Sun, Y., Chen, G., Rong, G., Kang, H., Jin, Z., & Wang, X. (2016b). Biological evaluation of N-2-hydroxypropyl trimethyl ammonium chloride chitosan as a carrier for the delivery of live Newcastle disease vaccine. *Carbohydrate Polymers*, 149, 28–39.
<https://doi.org/10.1016/j.carbpol.2016.04.085>

ملحق رقم (1)

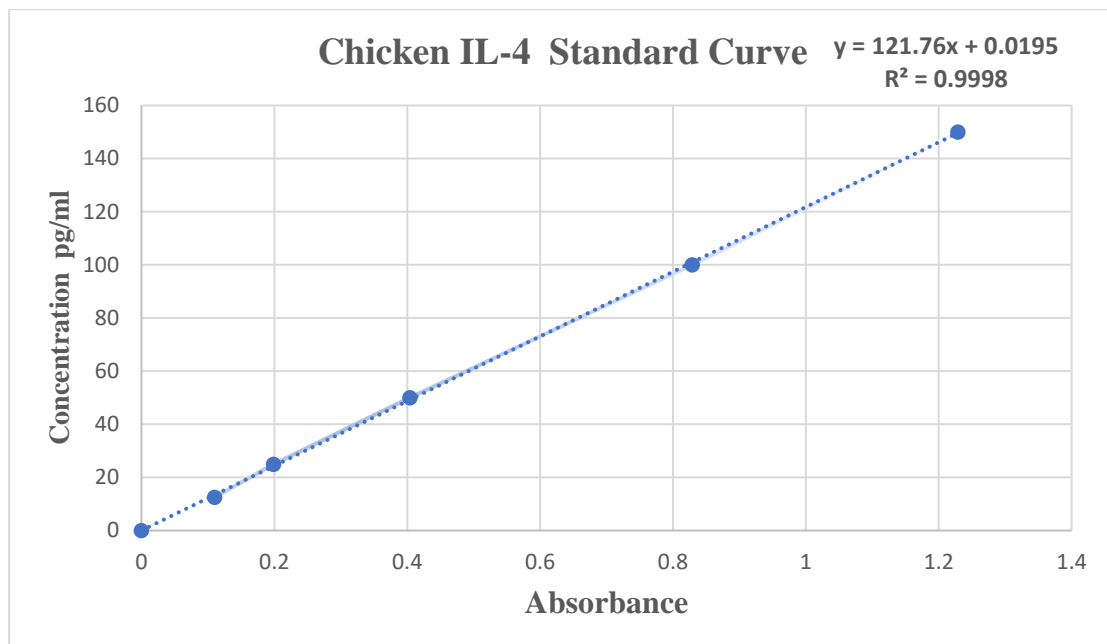
رسم المنحنى المعياري للإنترفيرون كاما



رسم المنحنى المعياري للانترلوكين 6



رسم المنحنى المعياري للانترلوكين 4



ملحق رقم (2)

صورة من شهادة لجنة رعاية واستعمال الحيوان المؤسسية التابعة لكلية الطب البيطري.



University of Mosul
College of Veterinary Medicine
Institutional Animal Care and Use Committee



Date: 15/7/2023

Ref: UM.VET.2023.068

Project title: Comparative Effect of two types of oils on some immunological Aspects in broiler vaccinated against Newcastle Virus.

Researchers: Obaida Abdulmalik Abdulmohsen Al-kalo and Ammar Mahmood Al-Aalim

Number of approved animals: 350

Research area: Animal house/ Microbiology laboratory, Department of Microbiology, College of Veterinary Medicine, University of Mosul, Mosul-Iraq

Duration: 1/8/2023 — 1/9/2024

Assistant. Prof. Dr. Ahmed Sālah Naser

Chairman,

Institutional Animal Care and Use Committee

University of Mosul. College of Veterinary Medicine

Vet.med.mosul@uomosul.edu.iq



ملحق رقم (3)

صورة من كتاب تأييد من المكتب الاستشاري الاحصائي التابع لجامعة الموصل.



Abstract

Newcastle virus is one of the types of non-segmented single-stranded RNA viruses that causes Newcastle disease. Newcastle disease represents one of the most important daily challenges. For poultry industry, since its discovery in 1926, it has caused many disease outbreaks in poultry fields accompanied by large economic losses. Control of the disease depends mainly on improving the level of protection among birds against Newcastle disease by vaccinating birds while adopting better management conditions. This study aimed to find out the effect of adding omega-3 oil and flaxseed oil to the diets of broiler vaccinated with Newcastle disease virus, as well as to compare the two oils and their effect on chicks' immunity.

Our study was divided into two experiments. The first (primary) experiment was conducted on 48 broiler chickens, and the second (main) experiment was conducted on 240 broiler chickens (Ross 308), flaxseed oil and omega-3 oil were used at a concentration of 1%, Two types of vaccine also used, the first is inactivated vaccine from (MSD) company and given subcutaneously at the age of one day at a dose of (0.1 ml) for each chick using a mechanical administration gun, The second vaccine was an attenuated vaccine Nobilis® ND Clone 30 strain from (MSD) company and was given at the age of (7, 14 and 21) days at a dose of 2500 doses/10 liters in drinking water, The chicks of the first (primary) experiment were divided into four groups, each group had 12 chicks with different treatments.

As for as the second experiment (main) its chicks were divided into eight groups, each group has 30 chicks, the groups were as follow:

Group one (G1): vaccinated with the two vaccine (inactivated and attenuated) and gives water and feeds only.

Group two (G2): vaccinated with the two vaccine (inactivated and attenuated) and add flaxseed oil by percentage 1% to the feeds.

Group three (G3): vaccinated with the two vaccine (inactivated and attenuated) and add fish oil (omega 3) by percentage 1% to the feeds.

Group four (G4): vaccinated with the two vaccine (inactivated and attenuated) and add flaxseed oil and fish oil (omega 3) by percentage 1% to the feeds.

Group five (G5): added fish oil (omega 3) by percentage 1% to the feeds without vaccinated.

Group six (G6): added flaxseed oil by percentage 1% to the feeds without vaccinated.

Group seven (G7): (control group) gives feeds and water only and without vaccinated.

Group eight (G8): added flaxseed oil and fish oil (omega 3) by percentage 1% to the feeds without vaccinated.

these groups were treated with various transactions to study the effect of additives and supplements on the titer of antibodies, measuring the numbers of total white and differential blood cells and detecting the level of the phagocytic index, respiratory burst, immune parameters, including interferon- γ and interleukins-6,4. The blood samples were collected to detecting the standards of antibodies in days (1, 7, 14, 21, 28 and 35), while blood samples were collected to detecting the numbers of white blood cells, the phagocytic index, the respiratory burst, and immune parameters in days (1, 3, 10, 17, 24 and 31) of the experiment.

Total and differential white blood cell counts were performed using a blood analyzer, while phagocytic index and respiratory burst tests were

used to detect their functions, along with the use of ELISA (enzyme-linked immunosorbent assay) for measuring the levels of immune parameters (interleukin-6&4 and interferon- γ).

The results of the first (primary) experiment showed that there were no side effects in birds when using oils (flaxseed oil and omega-3 oil) at a rate of 1%, with a significant increase in antibody titer for Newcastle disease at the probability level ($p \leq 0.05$) when using flaxseed oil and Omega 3 oil in broiler diets.

While the results of the second (main) experiment showed a significant increase in antibody titers on the days 28 and 35 in the groups vaccinated with the Newcastle disease vaccine compared to the other days of the experiment, and the second group treated with flaxseed oil with the Newcastle disease vaccine given the highest antibody titer on the 35 day its value was (13249.92 ± 13.11) , while the unvaccinated groups did not record any significant increase in antibodies titers at another days of the experiment.

The results showed there is an increase in the number of total and differential white blood cells in all experimental groups, but they remained in their normal domains in broiler chicken, and the rates of neutrophils decreased, while the lymphocytes increased, the lineage of monocytes, eosinophils and basophils, showed a few response and reached (0.7 and 4.1 and 0.2%), respectively, the phagocytic index and respiratory burst reveals a significant increase in all treated groups compared to control, as it reached the highest value of the phagocytic index in the first group and on the day 24 of the experiment, as it reached (80.01 ± 0.64) While the highest percentage of the respiratory burst on the day 24 in the second group was (78.01 ± 0.67) .

The results of measuring the level of interferon- γ showed a significant increase on the days 17, 24 and 31 of the experiment and in most of the

experimental groups, the highest value of the level of interferon- γ was reached in the eighth group treated with flaxseed oil and omega-3 oil without vaccination on the day 17 where its value was (33.18 ± 0.05) , while the third and tenth days did not record a significant increase in the level of interferon- γ .

When comparing the levels of response to interleukin-6 in the various groups of the experiment, it was found that there was a significant increase in days 17, 24, and 31 of the experiment in most of the experimental groups, the highest value of interleukin-6 was recorded in day 24 of the experiment and in the fourth group that treated with flaxseed oil with omega-3 oil with the administration of the vaccine where its value reached (27.47 ± 0.05) , no increase was detected on the third and tenth days of the experiment.

The results of measuring the level of interleukin-4 showed a significant increase in days 17, 24 and 31 of the experiment and in most of the experimental groups, the highest value for the level of interleukin-4 was in day 24 and in the fourth group treated with flaxseed oil with omega-3 oil with vaccination (33.98 ± 0.04) , while no significant increase was recorded on the third and tenth days of the experiment.

We conclude from this study that adding enhanced oils (flaxseed oil and omega-3 oil) to broiler diets does not cause any side effects on the health of the chickens, while it helps to stimulate the immunity and raise antibody levels in the chickens, the use of oils can also improve the total number of white blood cells also increases its ability to phagocytic killing activity. In addition, both oils (flaxseed and omega-3 oils) have additional effects on the response of interferon- γ and interleukin-6 and 4, and they can modify the immunity of broiler to provide a good immune status after vaccination with Newcastle disease vaccine, which may provide greater protection against infection.

**Comparative Study of two types of oils on some
immunological Aspects in broiler vaccinated
against Newcastle Disease Virus.**

A Thesis Submitted
By
Obaida Abdulmalik Abdulmohsen Hamid Al-kalo

To
The Council of College of Veterinary Medicine
University of Mosul
In
Partial Fulfillment of the Requirement for
the degree of Master of Science
In
Veterinary Medicine / Veterinary Microbiology

Supervised By
Professor
Dr. Ammar Mahmood Ahmed Al-Aalim



**Comparative Study of two types of oils
on some immunological Aspects in
broiler vaccinated against Newcastle
Disease Virus.**

Obaida Abdulmalik Abdulmohsen Hamid Al-kalo

**M. Sc. Thesis
Veterinary Medicine / Veterinary Microbiology**

Supervised By

Professor

Dr. Ammar Mahmood Ahmed Al-Aalim